

การวิเคราะห์ผลกระบวนการกระจายสนามไฟฟ้าที่มีผลมาจากการทำงาน
ของโทรศัพท์มือถือใกล้สายน้ำไฟฟ้าแรงสูง

นายรัฐธรงค์ นุญุตติวัฒน์

วิทยานิพนธ์นี้เป็นส่วนหนึ่งของการศึกษาตามหลักสูตรปริญญาวิศวกรรมศาสตรมหาบัณฑิต
สาขาวิศวกรรมไฟฟ้า
มหาวิทยาลัยเทคโนโลยีสุรนารี
ปีการศึกษา 2550

**ANALYSIS OF ELECTRIC FIELD DISTRIBUTION
RESULTING FROM MOBILE PHONE OPERATION
USED NEAR A HIGH-VOLTAGE POWER
TRANSMISSION LINE**

Rattarong Bonwutiwiwat

**A Thesis Submitted in Partial Fulfillment of the Requirements for the
Degree of Master of Engineering in Electrical Engineering
Suranaree University of Technology
Academic Year 2007**

การวิเคราะห์ผลกระบวนการกระจายสนามไฟฟ้าที่มีผลมาจากการทำงาน
ของโทรศัพท์มือถือใกล้สายส่งไฟฟ้าแรงสูง

มหาวิทยาลัยเทคโนโลยีสุรนารี อนุมัติให้นับวิทยานิพนธ์ฉบับนี้เป็นส่วนหนึ่งของการศึกษา
ตามหลักสูตรปริญญามหาบัณฑิต

คณะกรรมการสอบวิทยานิพนธ์

(รศ. ดร.กิตติ ขัดกิจมงคล)

ประธานกรรมการ

(ผศ. ดร.ธนดชัย กลัววรรณชพงษ์)

กรรมการ (อาจารย์ที่ปรึกษาวิทยานิพนธ์)

(อ. ดร.แพ็คกี้ เพื่อละออ)

กรรมการ

(ผศ. ดร.อนันนท์ อุ่นคิวไอล์)

กรรมการ

(อ. ดร.นิมิต ชมนาวัง)

กรรมการ

(ศ. ดร.ไพรожน์ สัตยธรรม)

รองอธิการบดีฝ่ายวิชาการ

(รศ. น.อ. ดร.วรพจน์ จำพิษ)

คณบดีสำนักวิชาศึกษาศาสตร์

รัฐธรรม์ บุญวุฒิวิวัฒน์ : การวิเคราะห์ผลกระทบของการกระจายสนามไฟฟ้าที่มีผลมาจากการทำงานของโทรศัพท์มือถือใกล้สายส่งไฟฟ้าแรงสูง (ANALYSIS OF ELECTRIC FIELD DISTRIBUTION RESULTING MOBILE PHONE OPERATION USED NEAR A HIGH-VOLTAGE POWER TRANSMISSION LINE) อาจารย์ที่ปรึกษา :

ผศ. ดร. ชนัดชัย กุลวรรณนิชพงษ์, 212 หน้า

วิทยานิพนธ์นี้นำเสนอแบบจำลองทางคณิตศาสตร์และการจำลองผลค่าสนามไฟฟ้าที่เกิดขึ้นภายในระบบสายส่งไฟฟ้า 1 เฟส 3 เฟสสมดุล และ 3 เฟสไม่สมดุล เพื่อศึกษาผลกระทบของสนามไฟฟ้าที่เกิดขึ้นกับมนุษย์ ในขณะใช้งานอุปกรณ์สื่อสาร และแนวทางการป้องกันอันตรายจาก การใช้งานโทรศัพท์มือถือในบริเวณดังกล่าว โดยระบบสายส่งไฟฟ้า 1 เฟสเป็นระบบขนาด 220 V 22 kV และ 115 kV ส่วนระบบไฟฟ้า 3 เฟสสมดุลและระบบไฟฟ้า 3 เฟสไม่สมดุลเป็นระบบขนาด 69 kV 115 kV 230 kV และ 500 kV การจำลองผลได้ใช้ระเบียบวิธีไฟไนท์ดิฟเฟอร์เรนท์ และ ระเบียบวิธีไฟไนท์อิลิเมนท์แบบ 2 มิติ โดยตรวจสอบความถูกต้องในการคำนวณด้วยการเปรียบเทียบผลการกระจายค่าสนามไฟฟ้าของระบบไฟฟ้าขนาดต่าง ๆ จากการจำลองผลของระเบียบวิธีไฟไนท์ดิฟเฟอร์เรนท์ และระเบียบวิธีไฟไนท์อิลิเมนท์ด้วยโปรแกรมคอมพิวเตอร์ที่พัฒนาขึ้นเอง กับผลที่ได้จากโปรแกรมสำเร็จรูป PDETOOL ซึ่งเป็น TOOLBOX ของโปรแกรม MATLAB™ มี ความเชื่อถือได้กันได้รับความนิยมอย่างแพร่หลายในงานวิจัยทางด้านวิศวกรรม ผลลัพธ์ที่ได้จาก การเปรียบเทียบความถูกต้องกับโปรแกรมสำเร็จรูป PDETOOL ปรากฏว่ามีความสอดคล้องไปในทิศทางเดียวกัน โดยระบบที่มีความเสี่ยงต่อความปลดปล่อยมนุษย์ คือ ระบบสายส่งไฟฟ้า 3 เฟส สมดุล และ 3 เฟสไม่สมดุล เพราะเนื่องจากปริมาณสนามไฟฟ้ามีค่าสูงเกิน 5 kV/m ตามมาตรฐาน IRPA จึงไม่สามารถย่องอิ่งในการใช้งานอุปกรณ์สื่อสารในบริเวณดังกล่าว นอกจากนี้ในงานวิจัยได้ทำการจำลองผลค่าสนามไฟฟ้าของระบบสายส่งไฟฟ้า 1 เฟส และ 3 เฟสสมดุล ในขณะใช้งานโทรศัพท์มือถือในบริเวณระบบสายส่งแบบ 3 มิติด้วยโปรแกรมสำเร็จรูป COMSOL™ Multiphysics Version 3.4 ซึ่งโปรแกรมนี้ใช้ระเบียบวิธีไฟไนท์อิลิเมนท์ในการหาผลเฉลย และแสดงค่าผลเฉลยเชิงกราฟฟิกของระบบสายส่งไฟฟ้าขนาดต่าง ๆ ทำให้การวิเคราะห์ผลการจำลองง่ายและเป็นมิตรกับผู้ใช้โปรแกรม

สาขาวิชาวิศวกรรมไฟฟ้า
ปีการศึกษา 2550

ลายมือชื่อนักศึกษา _____
ลายมือชื่ออาจารย์ที่ปรึกษา _____
ลายมือชื่ออาจารย์ที่ปรึกษา _____

RATTARONG BOONWUTIWAT : ANALYSIS OF ELECTRIC FIELD
DISTRIBUTION RESULTING FROM MOBILE PHONE OPERATION
USED NEAR A HIGH-VOLTAGE POWER TRANSMISSION LINE.
THESIS ADVISOR : ASST. PROF. THANATCHAI
KULWORAWANICHPONG, Ph.D. 212 PP.

FINITE DIFFERENCE METHOD/FINITE ELEMENT METHOD/TRANSMISSION
LINE/MOBILE PHONE/ELECTRIC FIELD

The thesis proposes the mathematical modeling and simulation of electric field resulting from operation of single-phase, balanced and unbalanced three-phase overhead power transmission lines. The main objective is to study effect of electric field distribution on human located nearby the power transmission line, especially while using a communication device. It also includes recommendation to prevent people from harm that may happen due to excessive electric field strength acting across human body. This work is based on two widely-used numerical methods of solving partial differential equations, namely, finite difference method (FDM) and finite element method (FEM). The study can be divided into two main categories according to its domain dimension. The first category is the two dimensional (2D) problem in which satisfactory results obtained by using the FDM and the FEM can be compared with those obtained by the PDETOOL, a partial differential equation TOOLBOX of MATLABTM. The simulation results show that the most harmful cases are the balanced and unbalanced three-phase power systems due to their electric field strength over 5 kV/m, according to the IRPA standard. It strongly recommends that use of any communication device underneath an overhead high-voltage power transmission line

should be avoidable. The second category involves the three-dimensional (3D) problem. Commercial finite element software, COMSOLTM Multiphysics Version 3.4, is employed to perform 3D electric field simulation. With its approximate solution and graphical presentation features, simulation and analysis of 3D electric field distribution are simplified and user-friendly.

School of Electrical Engineering

Academic Year 2007

Student's Signature _____

Advisor's Signature _____

Co-advisor's Signature _____

กิตติกรรมประกาศ

วิทยานิพนธ์นี้สำเร็จลุล่วงด้วยดี เนื่องจากได้รับความช่วยเหลืออย่างดีเยี่ยม ทั้งด้านวิชาการ และด้านดำเนินงานวิจัย จากบุคคลและกลุ่มบุคคลต่าง ๆ ได้แก่

ผู้ช่วยศาสตราจารย์ ดร.ธนัคชัย กุลวรรณพิชพงษ์ อาจารย์ที่ปรึกษาวิทยานิพนธ์ ที่ให้คำปรึกษา แนะนำ และแนะนำทางอันเป็นประযิชน์แก่ผู้วิจัยมาโดยตลอด และเป็นแบบอย่างที่ดีในการดำเนินชีวิต พร้อมดูแลเอาใจใส่ ให้กำลังใจ ช่วยเหลือผู้วิจัยด้วยดีเสมอมา

ดร.เพ็ชร แผ่นดิน อาจารย์ที่ปรึกษาวิทยานิพนธ์ร่วม ที่ได้กรุณาให้คำปรึกษา แนะนำ และให้ความรู้ทางด้านวิชาการที่จำเป็นสำหรับงานวิจัยอย่างดีเยี่ยมมาโดยตลอด รวมถึงได้ช่วยตรวจสอบ และแก้ไขรายงานวิทยานิพนธ์ นอกจากนี้ยังมีความเป็นกันเองแก่ผู้วิจัย และเป็นที่ปรึกษาที่ดีในทุกเรื่อง พร้อมดูแลเอาใจใส่ ให้กำลังใจ ช่วยเหลือผู้วิจัยด้วยดีเสมอมา

รองศาสตราจารย์ ดร.กิตติ อัตถกิจมงคล ผู้ช่วยศาสตราจารย์ ดร.อาทิตย์ ศรีแก้ว และอาจารย์ ดร.นิมิต ชมนวาง อาจารย์ประจำสาขาวิชาศึกกรรมไฟฟ้า มหาวิทยาลัยเทคโนโลยีสุรนารี ที่ให้กำลังใจ และปรึกษาได้ในทุก ๆ เรื่อง

ขอขอบคุณ นายสุกกร วิศวกรชนาธร และ นส.สุกันญา ทพศรี ที่ได้ให้ความช่วยเหลือดูแล และเป็นกำลังใจอย่างใกล้ชิดแก่ผู้วิจัยเสมอมา และขอบคุณ พี่ ๆ เพื่อน ๆ และน้อง ๆ บันทึกศึกษา ทุกท่าน ที่ให้กำลังใจในการทำวิจัยมาโดยตลอด

สุดท้ายนี้ ผู้เขียนขอขอบคุณอาจารย์ผู้สอนทุกท่านที่ให้ความรู้ทางด้านวิชาการทั้งในด้าน และปัจจุบัน ขอกราบขอบพระคุณ คุณพ่ออดิศักดิ์ บุญวุฒิวัฒน์ และคุณแม่อชรา บุญวุฒิวัฒน์ ที่ให้ความรัก กำลังใจ การอบรมเลี้ยงดู และดูแลส่งเสริมทางด้านการศึกษาอย่างดีมาโดยตลอด จนทำให้ผู้วิจัยประสบความสำเร็จในชีวิตเรื่อยมา

รัฐธรรมงค์ บุญวุฒิวัฒน์

สารบัญ

หน้า

บทคัดย่อ (ภาษาไทย).....	ก
บทคัดย่อ (ภาษาอังกฤษ).....	ข
กิตติกรรมประกาศ	ง
สารบัญ	จ
สารบัญตาราง	ฉ
สารบัญรูป.....	ญ
คำอธิบายสัญลักษณ์และคำย่อ	ก
บทที่	
1 บทนำ	1
1.1 ความเป็นมาและความสำคัญของปัญหา	1
1.2 วัตถุประสงค์ของการวิจัย	3
1.3 ข้อตกลงเบื้องต้น	3
1.4 ขอบเขตของการวิจัย	4
1.5 ประโยชน์ที่คาดว่าจะได้รับ	4
1.6 การจัดรูปเล่มวิทยานิพนธ์.....	4
2 ปริศน่าวรวณกรรมและงานวิจัยที่เกี่ยวข้อง	6
2.1 บทนำ.....	6
2.2 ปริศน่าวรวณกรรมและงานวิจัยที่เกี่ยวข้อง.....	6
2.3 สรุป	10
3 ทฤษฎีที่เกี่ยวข้อง	11
3.1 บทนำ.....	11
3.2 สารนามไฟฟ้า.....	11
3.2.1 ความสัมพันธ์ระหว่างสารนามไฟฟ้ากับศักย์ไฟฟ้า	11
3.2.2 สมการปั่นส์ของและสมการลาปลาช	13

สารบัญ (ต่อ)

หน้า

3.3	สายสั่งกำลังไฟฟ้า.....	15
	3.3.1 โครงสร้างระบบสายสั่งไฟฟ้า 1 เฟสและ 3 เฟส	15
	3.3.2 หลักการเห็นี่ยวนำสานามไฟฟ้าภายในระบบสายสั่ง.....	19
3.4	โทรศัพท์มือถือ	25
3.5	ระเบียบวิธีไฟไนท์ดิฟเฟอร์เรนท์.....	27
3.6	ระเบียบวิธีไฟไนท์อิลิเมนท์	33
3.7	สรุป	41
4	การคำนวณสานามไฟฟ้าของสายสั่งโดยระเบียบวิธีไฟไนท์ดิฟเฟอร์เรนท์	42
4.1	บทนำ.....	42
4.2	แบบจำลองทางคณิตศาสตร์ของสานามไฟฟ้าของสายสั่งไฟฟ้าแรงสูง.....	42
4.3	การคำนวณสานามไฟฟ้าโดยระเบียบวิธีไฟไนท์ดิฟเฟอร์เรนท์.....	47
	4.3.1 การออกแบบกริดของพื้นที่ศึกษา.....	47
	4.3.2 การประกอบสมการ โนดขึ้นเป็นระบบ	51
	4.3.3 เสื่อนไขเริ่มต้นและเสื่อนไขค่าขอบเขต	53
	4.3.4 คำนวณหาค่าตัวแปรต่าง ๆ ภายในระบบ	54
4.4	สรุป	55
5	การคำนวณสานามไฟฟ้าของสายสั่งด้วยระเบียบวิธีไฟไนท์อิลิเมนท์	56
5.1	บทนำ.....	56
5.2	แบบจำลองทางคณิตศาสตร์ของสานามไฟฟ้าของสายสั่งไฟฟ้าแรงสูง.....	57
5.3	การคำนวณค่าสานามไฟฟ้าด้วยระเบียบวิธีไฟไนท์อิลิเมนท์.....	58
	5.3.1 การออกแบบกริดของพื้นที่ศึกษา.....	58
	5.3.2 พังก์ชันการประมาณภายในอิลิเมนท์	59
	5.3.3 การสร้างสมการของอิลิเมนท์	67
	5.3.4 การประกอบสมการอิลิเมนท์ขึ้นเป็นระบบ.....	76
	5.3.5 ประยุกต์เสื่อนไขขอบเขตพร้อมหาผลเฉลย.....	77

สารบัญ (ต่อ)

หน้า

5.4 สรุป	77
6 โปรแกรมจำลองผลสนามไฟฟ้าและผลการจำลองของระบบสายส่งแบบ 2 มิติ	78
6.1 บทนำ.....	78
6.2 ระเบียบวิธีไฟน์ทิดไฟฟอร์เรนท์	79
6.2.1 โปรแกรมออกแบบกริดรูปสี่เหลี่ยมให้กับระบบ	80
6.2.2 กำหนดค่าเริ่มต้น.....	80
6.2.3 การสร้างสมการค่าสนามไฟฟ้าในแต่ละโโนด	81
6.2.4 การสร้างเมทริกซ์ระบบสมการรวม	82
6.2.5 กำหนดเงื่อนไขค่าข้อมูล.....	84
6.2.6 แก้ระบบสมการรวมเพื่อหาผลเฉลย.....	88
6.3 ระเบียบวิธีไฟน์ท็อลิเมนท์	88
6.3.1 โปรแกรมออกแบบกริดรูปสามเหลี่ยมให้กับระบบ	88
6.3.2 กำหนดค่าเริ่มต้น.....	95
6.3.3 การสร้างสมการค่าสนามไฟฟ้าในแต่ละอิลิเมนท์	95
6.3.4 การสร้างเมทริกซ์ระบบสมการรวม	95
6.3.5 กำหนดเงื่อนไขค่าข้อมูล.....	96
6.3.6 แก้ระบบสมการรวมเพื่อหาผลเฉลย.....	96
6.4 ผลการจำลองด้วยระเบียบวิธีไฟน์ทิดไฟฟอร์เรนท์.....	97
6.4.1 ระบบสายส่งไฟฟ้า 1 เฟส	97
6.4.2 ระบบสายส่งไฟฟ้า 3 เฟสสมดุล	101
6.4.3 ระบบสายส่งไฟฟ้า 3 เฟสไม่สมดุล.....	111
6.5 ผลการจำลองด้วยระเบียบวิธีไฟน์ท็อลิเมนท์	121
6.5.1 ระบบสายส่งไฟฟ้า 1 เฟส	121
6.5.2 ระบบสายส่งไฟฟ้า 3 เฟสสมดุล	124
6.5.3 ระบบสายส่งไฟฟ้า 3 เฟสไม่สมดุล.....	134

สารบัญ (ต่อ)

หน้า

6.6	ผลการจำลองเมื่อพิจารณาสายสั่งในสภาวะตกท้องช้าง.....	144
6.7	เปรียบเทียบผลการจำลองแบบ 2 มิติกับโปรแกรมสำเร็จรูป	153
6.7	สรุป.....	163
7	การจำลองสนามไฟฟ้าของสายสั่งโดยระเบียนวิธีไฟน์ทอเลิมентаแบบ 3 มิติ	164
7.1	บทนำ.....	164
7.2	การกำหนดพารามิเตอร์และเงื่อนไขขอบเขต.....	164
7.3	ระบบสายสั่งไฟฟ้า 1 เฟส	167
7.4	ระบบสายสั่งไฟฟ้า 3 เฟสสมดุล	180
7.5	สรุป	195
8	สรุปและข้อเสนอแนะ	196
8.1	สรุป	196
8.2	ข้อเสนอแนะงานวิจัยในอนาคต.....	198
	รายการอ้างอิง	199
	ภาคผนวก	
	ภาคผนวก ก. การพิสูจน์สมการคำนวนหาค่าสนามไฟฟ้าภายใต้ระบบสายสั่ง	203
	ภาคผนวก ข. การประยุกต์เงื่อนไขค่าขอบเขต.....	208
	ภาคผนวก ค. บทความที่ได้รับการตีพิมพ์เผยแพร่	210
	ประวัติผู้เขียน	212

สารบัญตาราง

ตารางที่

หน้า

2.1	ผลงานวิจัยที่เกี่ยวข้อง	6
3.1	ค่าสนามไฟฟ้าสูงสุดในแต่ละด้านของโทรศัพท์มือถือในระหว่างการรับสาย (Incoming call phase) โทรศัพท์ (Outgoing call phase) และสันทนา (Talking phase)	26
3.2	ลักษณะข้อมูลของโนนด	28
3.3	ลักษณะพิกัดในแต่ละ โนนด	29
3.4	ลักษณะข้อมูลของอุลิเมนท์.....	35
3.5	ลักษณะข้อมูลของตำแหน่ง โนนด	35
4.1	การประมาณค่าระเบียบวิธีไฟในท่อไฟฟ้าเรนท์ ณ ตำแหน่ง โนนดบริเวณค่าขอบ	46
6.1	ค่าพารามิเตอร์สำหรับระเบียบวิธีไฟในท่อไฟฟ้าเรนท์	81
6.2	กำหนดค่าพารามิเตอร์สำหรับโปรแกรม PDETOOL	154
6.3	เปรียบเทียบค่าสนามไฟฟ้าระหว่างการใช้งานกับไม่ใช้งานโทรศัพท์มือถือ	160
6.4	ผลต่างค่าสนามไฟฟ้าระหว่างการใช้งานกับไม่ใช้งานโทรศัพท์มือถือ	161
6.5	ระดับสูงสุดของสนามไฟฟ้าที่มนุษย์สามารถสัมผัสได้อย่างปลอดภัย	162
7.1	การกำหนดค่าพารามิเตอร์โครงสร้างของระบบไฟฟ้าแบบ 3 มิติ	164
7.2	ค่าพารามิเตอร์การวางแผนตำแหน่งตัวนำของระบบไฟฟ้าแบบ 3 มิติ	166

สารบัญรูป

รูปที่	หน้า
3.1 สำนวนไฟฟ้าและสนามแม่เหล็กบริเวณรอบตัวนำ 2 เส้นที่มีความต่างศักย์ไฟฟ้าและกระแสไฟ lod ผ่าน	15
3.2 โครงสร้างระบบสายส่ง 1 เฟสขนาด 220 V	16
3.3 โครงสร้างระบบสายส่ง 1 เฟสขนาด 22 kV	16
3.4 โครงสร้างระบบสายส่ง 1 เฟสขนาด 69 kV	17
3.5 โครงสร้างระบบสายส่ง 3 เฟสขนาด 69 kV	17
3.6 โครงสร้างระบบสายส่ง 3 เฟสขนาด 115 kV	18
3.7 โครงสร้างระบบสายส่ง 3 เฟสขนาด 230 kV	18
3.8 โครงสร้างระบบสายส่ง 3 เฟสขนาด 500 kV	19
3.9 ความเข้มสนามไฟฟ้าของระบบไฟฟ้า 1 เฟส	20
3.10 ความเข้มสนามไฟฟ้าของระบบไฟฟ้า 3 เฟสไม่สมดุล	21
3.11 ความเข้มสนามไฟฟ้าของระบบไฟฟ้า 3 เฟสสมดุล	24
3.12 การติดกริครูปสี่เหลี่ยมของระบบที่ต้องการวิธีไฟฟ้าในท่อเฟอร์เรนท์ 2 มิติ	28
3.13 รูปร่างของปัญหาที่ประกอบด้วยกริดสี่เหลี่ยมจำนวน 9 โฉนด	29
3.14 การประมาณค่าอนุพันธ์แบบต่าง ๆ	31
3.15 โครงสร้างโฉนดย่อยสำหรับปัญหา 2 มิติ	32
3.16 การแบ่งรูปร่างของปัญหาออกเป็นอิลิเมนท์	34
3.17 รูปร่างของปัญหาที่ประกอบด้วย 3 อิลิเมนท์ 4 โฉนด	35
3.18 การประมาณการในแบบเชิงเส้นบนอิลิเมนท์รูปสามเหลี่ยม	36
4.1 โครงสร้างของระบบที่ต้องการวิธีไฟฟ้าในท่อเฟอร์เรนท์	45
4.2 โครงสร้างของระบบไฟฟ้าขนาด 220 V	48
4.3 โครงสร้างของระบบไฟฟ้าขนาด 22 kV	49
4.4 โครงสร้างของระบบไฟฟ้าขนาด 69 kV	50
4.5 แบบจำลองมนุษย์สำหรับระบบที่ต้องการวิธีไฟฟ้าในท่อเฟอร์เรนท์	52

สารบัญรูป (ต่อ)

รูปที่	หน้า
4.6 บริเวณรอบประสานระหว่างบริเวณที่มีค่าสภาพยอม ทางไฟฟ้าที่แตกต่างกัน.....	53
4.7 เงื่อนไขค่าข้อบ่งเขตของโทรศัพท์มือถือสำหรับระเบียนวิธี ไฟในที่ดินไฟฟอร์เรนท์.....	54
5.1 โครงสร้างของระบบไฟฟ้า 1 เฟสขนาด 220 V	60
5.2 โครงสร้างของระบบไฟฟ้า 1 เฟสขนาด 22 kV	61
5.3 โครงสร้างของระบบไฟฟ้า 1 เฟสขนาด 69 kV	62
5.4 โครงสร้างของระบบไฟฟ้า 3 เฟสขนาด 69 kV	63
5.5 โครงสร้างของระบบไฟฟ้า 3 เฟสขนาด 115 kV	64
5.6 โครงสร้างของระบบไฟฟ้า 3 เฟสขนาด 230 kV	65
5.7 โครงสร้างของระบบไฟฟ้า 3 เฟสขนาด 500 kV	66
6.1 แผนภูมิการดำเนินงานของโปรแกรมคำนวณสนามไฟฟ้า ด้วยระเบียนวิธีไฟในที่ดินไฟฟอร์เรนท์	79
6.2 โครงสร้างของระเบียนไฟในที่ดินไฟฟอร์เรนท์	81
6.3 การสร้างเมทริกซ์ระบบสมการรวม	83
6.4 ลักษณะการวางแผนตัวของสมาชิกภายในเมทริกซ์ของระบบสมการรวม	83
6.5 แผนภูมิการดำเนินงานของโปรแกรมคำนวณสนามไฟฟ้า ด้วยระเบียนวิธีไฟในที่อิเล็กเมนท์	89
6.6 การแบ่งพื้นที่เป็นหมวดหมู่ตามลักษณะความแตกต่างของวัตถุ	91
6.7 ลักษณะการสร้างกริดภายในระบบไฟฟ้า 3 เฟสขนาด 69 kV	92
6.8 ลักษณะการสร้างกริดในบริเวณที่เป็นอากาศ	93
6.9 ลักษณะการสร้างกริดในบริเวณที่เป็นด้านนำสายส่งตัวที่ 1 และ 3	93
6.10 ลักษณะการสร้างกริดในบริเวณที่เป็นด้านนำสายส่งตัวที่ 2	94
6.11 ลักษณะการสร้างกริดในบริเวณที่เป็นมนุษย์	94
6.12 ลักษณะการวางแผนตัวของสมาชิกภายในเมทริกซ์ของระบบสมการรวม	96

สารบัญรูป (ต่อ)

รูปที่	หน้า
6.13 การกระจายค่าสนามไฟฟ้าของระบบสายส่งไฟฟ้า 1 เฟสขนาด 220 V เมื่อมนุษย์ใช้งานโทรศัพท์มือถือ ณ ตำแหน่ง $x = 1 \text{ m}$	98
6.14 การกระจายค่าสนามไฟฟ้าของระบบสายส่งไฟฟ้า 1 เฟสขนาด 220 V เมื่อมนุษย์ใช้งานโทรศัพท์มือถือ ณ ตำแหน่ง $x = 4 \text{ m}$	98
6.15 การกระจายค่าสนามไฟฟ้าของระบบสายส่งไฟฟ้า 1 เฟสขนาด 220 V เมื่อมนุษย์ใช้งานโทรศัพท์มือถือ ณ ตำแหน่ง $x = 7 \text{ m}$	99
6.16 การกระจายค่าสนามไฟฟ้าของระบบสายส่งไฟฟ้า 1 เฟสขนาด 22 kV เมื่อมนุษย์ใช้งานโทรศัพท์มือถือ ณ ตำแหน่ง $x = 4 \text{ m}$	100
6.17 การกระจายค่าสนามไฟฟ้าของระบบสายส่งไฟฟ้า 1 เฟสขนาด 69 kV เมื่อมนุษย์ใช้งานโทรศัพท์มือถือ ณ ตำแหน่ง $x = 4 \text{ m}$	100
6.18 การกระจายค่าสนามไฟฟ้า (V/m) ของระบบสายส่งไฟฟ้า 3 เฟสสมดุลขนาด 69 kV ณ ตำแหน่ง $x = 2 \text{ m}$	101
6.19 การกระจายค่าสนามไฟฟ้า (V/m) ของระบบสายส่งไฟฟ้า 3 เฟสสมดุลขนาด 69 kV ณ ตำแหน่ง $x = 5 \text{ m}$	102
6.20 การกระจายค่าสนามไฟฟ้า (V/m) ของระบบสายส่งไฟฟ้า 3 เฟสสมดุลขนาด 69 kV ณ ตำแหน่ง $x = 8 \text{ m}$	102
6.21 เปรียบเทียบค่าสนามไฟฟ้า (V/m) บริเวณศีรษะมนุษย์จากการใช้งานโทรศัพท์มือถือ ณ ตำแหน่งต่าง ๆ ของระบบไฟฟ้า 3 เฟสสมดุลขนาด 69 kV	103
6.22 การกระจายค่าสนามไฟฟ้า (V/m) ของระบบสายส่งไฟฟ้า 3 เฟสสมดุลขนาด 115 kV ณ ตำแหน่ง $x = 3 \text{ m}$	104
6.23 การกระจายค่าสนามไฟฟ้า (V/m) ของระบบสายส่งไฟฟ้า 3 เฟสสมดุลขนาด 115 kV ณ ตำแหน่ง $x = 7 \text{ m}$	104
6.24 การกระจายค่าสนามไฟฟ้า (V/m) ของระบบสายส่งไฟฟ้า 3 เฟสสมดุลขนาด 115 kV ณ ตำแหน่ง $x = 11 \text{ m}$	105
6.25 เปรียบเทียบค่าสนามไฟฟ้า (V/m) บริเวณศีรษะมนุษย์จากการใช้งานโทรศัพท์มือถือ ณ ตำแหน่งต่าง ๆ ของระบบไฟฟ้า 3 เฟสสมดุลขนาด 115 kV	105

สารบัญรูป (ต่อ)

รูปที่	หน้า
6.26 การกระจายค่าสนามไฟฟ้า (V/m) ของระบบสายส่งไฟฟ้า 3 เฟสสมดุลขนาด 230 kV ณ ตำแหน่ง $x = 3 \text{ m}$	106
6.27 การกระจายค่าสนามไฟฟ้า (V/m) ของระบบสายส่งไฟฟ้า 3 เฟสสมดุลขนาด 230 kV ณ ตำแหน่ง $x = 10 \text{ m}$	107
6.28 การกระจายค่าสนามไฟฟ้า (V/m) ของระบบสายส่งไฟฟ้า 3 เฟสสมดุลขนาด 230 kV ณ ตำแหน่ง $x = 17 \text{ m}$	107
6.29 เปรียบเทียบค่าสนามไฟฟ้า (V/m) บริเวณศีรษะมน núย์จากการใช้งานโทรศัพท์มือถือ ณ ตำแหน่งต่าง ๆ ของระบบไฟฟ้า 3 เฟสสมดุลขนาด 230 kV	108
6.30 การกระจายค่าสนามไฟฟ้า (V/m) ของระบบสายส่งไฟฟ้า 3 เฟสสมดุลขนาด 500 kV ณ ตำแหน่ง $x = 2 \text{ m}$	109
6.31 การกระจายค่าสนามไฟฟ้า (V/m) ของระบบสายส่งไฟฟ้า 3 เฟสสมดุลขนาด 500 kV ณ ตำแหน่ง $x = 10 \text{ m}$	109
6.32 การกระจายค่าสนามไฟฟ้า (V/m) ของระบบสายส่งไฟฟ้า 3 เฟสสมดุลขนาด 500 kV ณ ตำแหน่ง $x = 22 \text{ m}$	110
6.33 เปรียบเทียบค่าสนามไฟฟ้า (V/m) บริเวณศีรษะมน núย์จากการใช้งานโทรศัพท์มือถือ ณ ตำแหน่งต่าง ๆ ของระบบไฟฟ้า 3 เฟสสมดุลขนาด 500 kV	110
6.34 การกระจายค่าสนามไฟฟ้า (V/m) ของระบบสายส่งไฟฟ้า 3 เฟสไม่สมดุล เมื่อ $V_A = 230\angle 0^\circ \text{ kV } V_B = 207\angle -120^\circ \text{ kV } V_C = 253\angle 120^\circ \text{ kV }$ ณ ตำแหน่ง $x = 3 \text{ m}$	111
6.35 การกระจายค่าสนามไฟฟ้า (V/m) ของระบบสายส่งไฟฟ้า 3 เฟสไม่สมดุล เมื่อ $V_A = 253\angle 0^\circ \text{ kV } V_B = 230\angle -120^\circ \text{ kV } V_C = 207\angle 120^\circ \text{ kV }$ ณ ตำแหน่ง $x = 3 \text{ m}$	112
6.36 การกระจายค่าสนามไฟฟ้า (V/m) ของระบบสายส่งไฟฟ้า 3 เฟสไม่สมดุล เมื่อ $V_A = 207\angle 0^\circ \text{ kV } V_B = 253\angle -120^\circ \text{ kV } V_C = 230\angle 120^\circ \text{ kV }$ ณ ตำแหน่ง $x = 3 \text{ m}$	112
6.37 การกระจายค่าสนามไฟฟ้า (V/m) ของระบบสายส่งไฟฟ้า 3 เฟสไม่สมดุล เมื่อ $V_A = 230\angle 0^\circ \text{ kV } V_B = 207\angle -120^\circ \text{ kV } V_C = 253\angle 120^\circ \text{ kV }$ ณ ตำแหน่ง $x = 10 \text{ m}$	113
6.38 การกระจายค่าสนามไฟฟ้า (V/m) ของระบบสายส่งไฟฟ้า 3 เฟสไม่สมดุล เมื่อ $V_A = 253\angle 0^\circ \text{ kV } V_B = 230\angle -120^\circ \text{ kV } V_C = 207\angle 120^\circ \text{ kV }$ ณ ตำแหน่ง $x = 10 \text{ m}$	113

สารบัญรูป (ต่อ)

รูปที่	หน้า
6.39 การกระจายค่าสนามไฟฟ้า (V/m) ของระบบสายส่งไฟฟ้า 3 เฟสไม่สมดุล เมื่อ $V_A = 207\angle 0^\circ$ kV $V_B = 253\angle -120^\circ$ kV $V_C = 230\angle 120^\circ$ kV ณ ตำแหน่ง $x = 10$ m	114
6.40 การกระจายค่าสนามไฟฟ้า (V/m) ของระบบสายส่งไฟฟ้า 3 เฟสไม่สมดุล เมื่อ $V_A = 230\angle 0^\circ$ kV $V_B = 207\angle -120^\circ$ kV $V_C = 253\angle 120^\circ$ kV ณ ตำแหน่ง $x = 17$ m	114
6.41 การกระจายค่าสนามไฟฟ้า (V/m) ของระบบสายส่งไฟฟ้า 3 เฟสไม่สมดุล เมื่อ $V_A = 253\angle 0^\circ$ kV $V_B = 230\angle -120^\circ$ kV $V_C = 207\angle 120^\circ$ kV ณ ตำแหน่ง $x = 17$ m	115
6.42 การกระจายค่าสนามไฟฟ้า (V/m) ของระบบสายส่งไฟฟ้า 3 เฟสไม่สมดุล เมื่อ $V_A = 207\angle 0^\circ$ kV $V_B = 253\angle -120^\circ$ kV $V_C = 230\angle 120^\circ$ kV ณ ตำแหน่ง $x = 17$ m	115
6.43 เปรียบเทียบค่าสนามไฟฟ้า (V/m) บริเวณศีรษะมน núย์จากการใช้งานโทรศัพท์มือถือ ณ ตำแหน่งต่าง ๆ ของระบบไฟฟ้า 3 เฟสไม่สมดุล (ขนาด) 230 kV แบบที่ 1	116
6.44 เปรียบเทียบค่าสนามไฟฟ้า (V/m) บริเวณศีรษะมน núย์จากการใช้งานโทรศัพท์มือถือ ณ ตำแหน่งต่าง ๆ ของระบบไฟฟ้า 3 เฟสไม่สมดุล (ขนาด) 230 kV แบบที่ 2	116
6.45 เปรียบเทียบค่าสนามไฟฟ้า (V/m) บริเวณศีรษะมน núย์จากการใช้งานโทรศัพท์มือถือ ณ ตำแหน่งต่าง ๆ ของระบบไฟฟ้า 3 เฟสไม่สมดุล (ขนาด) 230 kV แบบที่ 3	117
6.46 การกระจายค่าสนามไฟฟ้า (V/m) ของระบบสายส่งไฟฟ้า 3 เฟสไม่สมดุล เมื่อ $V_A = 230\angle 0^\circ$ kV $V_B = 230\angle -150^\circ$ kV $V_C = 230\angle 150^\circ$ kV ณ ตำแหน่ง $x = 3$ m	117
6.47 การกระจายค่าสนามไฟฟ้า (V/m) ของระบบสายส่งไฟฟ้า 3 เฟสไม่สมดุล เมื่อ $V_A = 230\angle 30^\circ$ kV $V_B = 230\angle -120^\circ$ kV $V_C = 230\angle 90^\circ$ kV ณ ตำแหน่ง $x = 3$ m	118
6.48 การกระจายค่าสนามไฟฟ้า (V/m) ของระบบสายส่งไฟฟ้า 3 เฟสไม่สมดุล เมื่อ $V_A = 230\angle -30^\circ$ kV $V_B = 230\angle -90^\circ$ kV $V_C = 230\angle 120^\circ$ kV ณ ตำแหน่ง $x = 3$ m	118
6.49 เปรียบเทียบค่าสนามไฟฟ้า (V/m) บริเวณศีรษะมน núย์จากการใช้งานโทรศัพท์มือถือ ณ ตำแหน่งต่าง ๆ ของระบบไฟฟ้า 3 เฟสไม่สมดุล (เฟส) 230 kV แบบที่ 1	119
6.50 เปรียบเทียบค่าสนามไฟฟ้า (V/m) บริเวณศีรษะมน núย์จากการใช้งานโทรศัพท์มือถือ ณ ตำแหน่งต่าง ๆ ของระบบไฟฟ้า 3 เฟสไม่สมดุล (เฟส) 230 kV แบบที่ 2	120
6.51 เปรียบเทียบค่าสนามไฟฟ้า (V/m) บริเวณศีรษะมน núย์จากการใช้งานโทรศัพท์มือถือ ณ ตำแหน่งต่าง ๆ ของระบบไฟฟ้า 3 เฟสไม่สมดุล (เฟส) 230 kV แบบที่ 3	120

สารบัญรูป (ต่อ)

รูปที่	หน้า
6.52 การกระจายค่าสนามไฟฟ้า (V/m) ของระบบสายส่งไฟฟ้า 1 เฟสขนาด 220 V เมื่อมนุษย์ใช้งานโทรศัพท์มือถือ ณ ตำแหน่ง $x = 1\text{ m}$	121
6.53 การกระจายค่าสนามไฟฟ้า (V/m) ของระบบสายส่งไฟฟ้า 1 เฟสขนาด 220 V เมื่อมนุษย์ใช้งานโทรศัพท์มือถือ ณ ตำแหน่ง $x = 4\text{ m}$	122
6.54 การกระจายค่าสนามไฟฟ้า (V/m) ของระบบสายส่งไฟฟ้า 1 เฟสขนาด 220 V เมื่อมนุษย์ใช้งานโทรศัพท์มือถือ ณ ตำแหน่ง $x = 7\text{ m}$	122
6.55 การกระจายค่าสนามไฟฟ้า (V/m) ของระบบสายส่งไฟฟ้า 1 เฟสขนาด 22 kV เมื่อมนุษย์ใช้งานโทรศัพท์มือถือ ณ ตำแหน่ง $x = 4\text{ m}$	123
6.56 การกระจายค่าสนามไฟฟ้า (V/m) ของระบบสายส่งไฟฟ้า 1 เฟสขนาด 69 kV เมื่อมนุษย์ใช้งานโทรศัพท์มือถือ ณ ตำแหน่ง $x = 4\text{ m}$	124
6.57 การกระจายค่าสนามไฟฟ้า (V/m) ของระบบสายส่งไฟฟ้า 3 เฟสสมดุลขนาด 69 kV ณ ตำแหน่ง $x = 2\text{ m}$	125
6.58 การกระจายค่าสนามไฟฟ้า (V/m) ของระบบสายส่งไฟฟ้า 3 เฟสสมดุลขนาด 69 kV ณ ตำแหน่ง $x = 5\text{ m}$	125
6.59 การกระจายค่าสนามไฟฟ้า (V/m) ของระบบสายส่งไฟฟ้า 3 เฟสสมดุลขนาด 69 kV ณ ตำแหน่ง $x = 8\text{ m}$	126
6.60 เปรียบเทียบค่าสนามไฟฟ้า (V/m) บริเวณศีรษะมนุษย์จากการใช้งานโทรศัพท์มือถือ ณ ตำแหน่งต่าง ๆ ของระบบไฟฟ้า 3 เฟสสมดุลขนาด 69 kV	126
6.61 การกระจายค่าสนามไฟฟ้า (V/m) ของระบบสายส่งไฟฟ้า 3 เฟสสมดุลขนาด 115 kV ณ ตำแหน่ง $x = 3\text{ m}$	127
6.62 การกระจายค่าสนามไฟฟ้า (V/m) ของระบบสายส่งไฟฟ้า 3 เฟสสมดุลขนาด 115 kV ณ ตำแหน่ง $x = 7\text{ m}$	128
6.63 การกระจายค่าสนามไฟฟ้า (V/m) ของระบบสายส่งไฟฟ้า 3 เฟสสมดุลขนาด 115 kV ณ ตำแหน่ง $x = 11\text{ m}$	128
6.64 เปรียบเทียบค่าสนามไฟฟ้า (V/m) บริเวณศีรษะมนุษย์จากการใช้งานโทรศัพท์มือถือ ณ ตำแหน่งต่าง ๆ ของระบบไฟฟ้า 3 เฟสสมดุลขนาด 115 kV	129

สารบัญรูป (ต่อ)

รูปที่	หน้า
6.65 การกระจายค่าสนามไฟฟ้า (V/m) ของระบบสายส่งไฟฟ้า 3 เฟสสมดุลขนาด 230 kV ณ ตำแหน่ง $x = 3 \text{ m}$	130
6.66 การกระจายค่าสนามไฟฟ้า (V/m) ของระบบสายส่งไฟฟ้า 3 เฟสสมดุลขนาด 230 kV ณ ตำแหน่ง $x = 10 \text{ m}$	130
6.67 การกระจายค่าสนามไฟฟ้า (V/m) ของระบบสายส่งไฟฟ้า 3 เฟสสมดุลขนาด 230 kV ณ ตำแหน่ง $x = 17 \text{ m}$	131
6.68 เปรียบเทียบค่าสนามไฟฟ้า (V/m) บริเวณศีรษะมน núย์จากการใช้งานโทรศัพท์มือถือ ณ ตำแหน่งต่าง ๆ ของระบบไฟฟ้า 3 เฟสสมดุลขนาด 230 kV	131
6.69 การกระจายค่าสนามไฟฟ้า (V/m) ของระบบสายส่งไฟฟ้า 3 เฟสสมดุลขนาด 500 kV ณ ตำแหน่ง $x = 2 \text{ m}$	132
6.70 การกระจายค่าสนามไฟฟ้า (V/m) ของระบบสายส่งไฟฟ้า 3 เฟสสมดุลขนาด 500 kV ณ ตำแหน่ง $x = 10 \text{ m}$	133
6.71 การกระจายค่าสนามไฟฟ้า (V/m) ของระบบสายส่งไฟฟ้า 3 เฟสสมดุลขนาด 500 kV ณ ตำแหน่ง $x = 22 \text{ m}$	133
6.72 เปรียบเทียบค่าสนามไฟฟ้า (V/m) บริเวณศีรษะมน núย์จากการใช้งานโทรศัพท์มือถือ ณ ตำแหน่งต่าง ๆ ของระบบไฟฟ้า 3 เฟสสมดุลขนาด 500 kV	134
6.73 การกระจายค่าสนามไฟฟ้า (V/m) ของระบบสายส่งไฟฟ้า 3 เฟสไม่สมดุล เมื่อ $V_A = 230\angle 0^\circ \text{ kV } V_B = 207\angle -120^\circ \text{ kV } V_C = 253\angle 120^\circ \text{ kV }$ ณ ตำแหน่ง $x = 3 \text{ m}$	135
6.74 การกระจายค่าสนามไฟฟ้า (V/m) ของระบบสายส่งไฟฟ้า 3 เฟสไม่สมดุล เมื่อ $V_A = 253\angle 0^\circ \text{ kV } V_B = 230\angle -120^\circ \text{ kV } V_C = 207\angle 120^\circ \text{ kV }$ ณ ตำแหน่ง $x = 3 \text{ m}$	135
6.75 การกระจายค่าสนามไฟฟ้า (V/m) ของระบบสายส่งไฟฟ้า 3 เฟสไม่สมดุล เมื่อ $V_A = 207\angle 0^\circ \text{ kV } V_B = 253\angle -120^\circ \text{ kV } V_C = 230\angle 120^\circ \text{ kV }$ ณ ตำแหน่ง $x = 3 \text{ m}$	136
6.76 การกระจายค่าสนามไฟฟ้า (V/m) ของระบบสายส่งไฟฟ้า 3 เฟสไม่สมดุล เมื่อ $V_A = 230\angle 0^\circ \text{ kV } V_B = 207\angle -120^\circ \text{ kV } V_C = 253\angle 120^\circ \text{ kV }$ ณ ตำแหน่ง $x = 10 \text{ m}$	136
6.77 การกระจายค่าสนามไฟฟ้า (V/m) ของระบบสายส่งไฟฟ้า 3 เฟสไม่สมดุล เมื่อ $V_A = 253\angle 0^\circ \text{ kV } V_B = 230\angle -120^\circ \text{ kV } V_C = 207\angle 120^\circ \text{ kV }$ ณ ตำแหน่ง $x = 10 \text{ m}$	137

สารบัญรูป (ต่อ)

รูปที่	หน้า
6.78 การกระจายค่าสนามไฟฟ้า (V/m) ของระบบสายส่งไฟฟ้า 3 เฟสไม่สมดุล เมื่อ $V_A = 207\angle 0^\circ$ kV $V_B = 253\angle -120^\circ$ kV $V_C = 230\angle 120^\circ$ kV ณ ตำแหน่ง $x = 10$ m.....	137
6.79 การกระจายค่าสนามไฟฟ้า (V/m) ของระบบสายส่งไฟฟ้า 3 เฟสไม่สมดุล เมื่อ $V_A = 230\angle 0^\circ$ kV $V_B = 207\angle -120^\circ$ kV $V_C = 253\angle 120^\circ$ kV ณ ตำแหน่ง $x = 17$ m.....	138
6.80 การกระจายค่าสนามไฟฟ้า (V/m) ของระบบสายส่งไฟฟ้า 3 เฟสไม่สมดุล เมื่อ $V_A = 253\angle 0^\circ$ kV $V_B = 230\angle -120^\circ$ kV $V_C = 207\angle 120^\circ$ kV ณ ตำแหน่ง $x = 17$ m.....	138
6.81 การกระจายค่าสนามไฟฟ้า (V/m) ของระบบสายส่งไฟฟ้า 3 เฟสไม่สมดุล เมื่อ $V_A = 207\angle 0^\circ$ kV $V_B = 253\angle -120^\circ$ kV $V_C = 230\angle 120^\circ$ kV ณ ตำแหน่ง $x = 17$ m.....	139
6.82 เปรียบเทียบค่าสนามไฟฟ้า (V/m) บริเวณศีรษะมน núย์จากการใช้งานโทรศัพท์มือถือ ณ ตำแหน่งต่าง ๆ ของระบบไฟฟ้า 3 เฟสไม่สมดุล (ขนาด) 230 kV แบบที่ 1	139
6.83 เปรียบเทียบค่าสนามไฟฟ้า (V/m) บริเวณศีรษะมน núย์จากการใช้งานโทรศัพท์มือถือ ณ ตำแหน่งต่าง ๆ ของระบบไฟฟ้า 3 เฟสไม่สมดุล (ขนาด) 230 kV แบบที่ 2	140
6.84 เปรียบเทียบค่าสนามไฟฟ้า (V/m) บริเวณศีรษะมน núย์จากการใช้งานโทรศัพท์มือถือ ณ ตำแหน่งต่าง ๆ ของระบบไฟฟ้า 3 เฟสไม่สมดุล (ขนาด) 230 kV แบบที่ 3	140
6.85 การกระจายค่าสนามไฟฟ้า (V/m) ของระบบสายส่งไฟฟ้า 3 เฟสไม่สมดุล เมื่อ $V_A = 230\angle 0^\circ$ kV $V_B = 230\angle -150^\circ$ kV $V_C = 230\angle 150^\circ$ kV ณ ตำแหน่ง $x = 3$ m.....	141
6.86 การกระจายค่าสนามไฟฟ้า (V/m) ของระบบสายส่งไฟฟ้า 3 เฟสไม่สมดุล เมื่อ $V_A = 230\angle 30^\circ$ kV $V_B = 230\angle -120^\circ$ kV $V_C = 230\angle 90^\circ$ kV ณ ตำแหน่ง $x = 3$ m.....	141
6.87 การกระจายค่าสนามไฟฟ้า (V/m) ของระบบสายส่งไฟฟ้า 3 เฟสไม่สมดุล เมื่อ $V_A = 230\angle -30^\circ$ kV $V_B = 230\angle -90^\circ$ kV $V_C = 230\angle 120^\circ$ kV ณ ตำแหน่ง $x = 3$ m.....	142
6.88 เปรียบเทียบค่าสนามไฟฟ้า (V/m) บริเวณศีรษะมน núย์จากการใช้งานโทรศัพท์มือถือ ณ ตำแหน่งต่าง ๆ ของระบบไฟฟ้า 3 เฟสไม่สมดุล (เฟส) 230 kV แบบที่ 1	143
6.89 เปรียบเทียบค่าสนามไฟฟ้า (V/m) บริเวณศีรษะมน núย์จากการใช้งานโทรศัพท์มือถือ ณ ตำแหน่งต่าง ๆ ของระบบไฟฟ้า 3 เฟสไม่สมดุล (เฟส) 230 kV แบบที่ 2	143
6.90 เปรียบเทียบค่าสนามไฟฟ้า (V/m) บริเวณศีรษะมน núย์จากการใช้งานโทรศัพท์มือถือ ณ ตำแหน่งต่าง ๆ ของระบบไฟฟ้า 3 เฟสไม่สมดุล (เฟส) 230 kV แบบที่ 3	144

สารบัญรูป (ต่อ)

รูปที่	หน้า
6.91 การกระจายค่าสนามไฟฟ้า (V/m) ของระบบไฟฟ้า 3 เฟสสมดุลขนาด 69 kV เมื่อของระดับความสูงของตัวนำที่ 100%	145
6.92 การกระจายค่าสนามไฟฟ้า (V/m) ของระบบไฟฟ้า 3 เฟสสมดุลขนาด 69 kV เมื่อของระดับความสูงของตัวนำที่ 75%	145
6.93 การกระจายค่าสนามไฟฟ้า (V/m) ของระบบไฟฟ้า 3 เฟสสมดุลขนาด 69 kV เมื่อของระดับความสูงของตัวนำที่ 50%	146
6.94 เปรียบเทียบค่าสนามไฟฟ้า (V/m) ที่เปลี่ยนแปลงตามระดับความสูงของตัวนำของระบบไฟฟ้า 3 เฟสสมดุลขนาด 69 kV	146
6.95 การกระจายค่าสนามไฟฟ้า (V/m) ของระบบไฟฟ้า 3 เฟสสมดุลขนาด 115 kV เมื่อของระดับความสูงของตัวนำที่ 100%.....	147
6.96 การกระจายค่าสนามไฟฟ้า (V/m) ของระบบไฟฟ้า 3 เฟสสมดุลขนาด 115 kV เมื่อของระดับความสูงของตัวนำที่ 75%	147
6.97 การกระจายค่าสนามไฟฟ้า (V/m) ของระบบไฟฟ้า 3 เฟสสมดุลขนาด 115 kV เมื่อของระดับความสูงของตัวนำที่ 50%	148
6.98 เปรียบเทียบค่าสนามไฟฟ้า (V/m) ที่เปลี่ยนแปลงตามระดับความสูงของตัวนำของระบบไฟฟ้า 3 เฟสสมดุลขนาด 115 kV	148
6.99 การกระจายค่าสนามไฟฟ้า (V/m) ของระบบไฟฟ้า 3 เฟสสมดุลขนาด 230 kV เมื่อของระดับความสูงของตัวนำที่ 100%	149
6.100 การกระจายค่าสนามไฟฟ้า (V/m) ของระบบไฟฟ้า 3 เฟสสมดุลขนาด 230 kV เมื่อของระดับความสูงของตัวนำที่ 75%	149
6.101 การกระจายค่าสนามไฟฟ้า (V/m) ของระบบไฟฟ้า 3 เฟสสมดุลขนาด 230 kV เมื่อของระดับความสูงของตัวนำที่ 50%	150
6.102 เปรียบเทียบค่าสนามไฟฟ้า (V/m) ที่เปลี่ยนแปลงตามระดับความสูงของตัวนำของระบบไฟฟ้า 3 เฟสสมดุล 230 kV	150
6.103 การกระจายค่าสนามไฟฟ้า (V/m) ของระบบไฟฟ้า 3 เฟสสมดุลขนาด 500 kV เมื่อของระดับความสูงของตัวนำที่ 100%	151

สารบัญรูป (ต่อ)

รูปที่	หน้า
6.104 การกระจายค่าสนามไฟฟ้า (V/m) ของระบบไฟฟ้า 3 เฟสสมดุลขนาด 500 kV เมื่อของระดับความสูงของตัวนำที่ 75%	151
6.105 การกระจายค่าสนามไฟฟ้า (V/m) ของระบบไฟฟ้า 3 เฟสสมดุลขนาด 500 kV เมื่อของระดับความสูงของตัวนำที่ 50%	152
6.106 เปรียบเทียบค่าสนามไฟฟ้า (V/m) ที่เปลี่ยนแปลงตามระดับความสูงของตัวนำของระบบไฟฟ้า 3 เฟสสมดุล 500 kV	152
6.107 เปรียบเทียบค่าสนามไฟฟ้า (V/m) ในแต่ละระบบ ตามระดับความสูงของตัวนำ	153
6.108 การออกแบบกริดด้วย PDETOOL ของระบบสายส่งไฟฟ้านาด 230 kV	155
6.109 การกระจายสนามไฟฟ้าที่กระจายรอบสายส่งไฟฟ้า 3 เฟสนาด 230 kV ด้วย PDETOOL	155
6.110 การกระจายค่าสนามไฟฟ้าของระบบสายส่งไฟฟ้า 3 เฟสนาด 230 kV ด้วยระเบียบวิธีไฟไนท์ดิฟเฟอร์เรนท์	156
6.111 การกระจายค่าสนามไฟฟ้าของระบบสายส่งไฟฟ้า 3 เฟสนาด 230 kV ด้วยระเบียบวิธีไฟไนท์อิลิเมนท์	156
6.112 คำตอบโอนดต่อโอนดภายในช่วงโอนด 1-847	158
6.113 คำตอบโอนดต่อโอนดภายในช่วงโอนด 100-300	158
6.114 คำตอบโอนดต่อโอนดภายในช่วงโอนด 200-450	159
6.115 คำตอบโอนดต่อโอนดภายในช่วงโอนด 550-847	159
7.1 ลักษณะการกำหนดค่าพารามิเตอร์โครงสร้างของระบบไฟฟ้าแบบ 3 มิติ	165
7.2 โครงสร้างของระบบสายส่งไฟฟ้า 1 เฟสนาด 220 V ($x = 2 m$)	167
7.3 การออกแบบกริดของระบบสายส่งไฟฟ้า 1 เฟสนาด 220 V ($x = 2 m$)	167
7.4 ค่อนทัวร์ค่าสนามไฟฟ้าแบบ 2 มิติของระบบสายส่งไฟฟ้า 1 เฟส ขนาด 220 V ($x = 2 m$)	168
7.5 ลักษณะค่าสนามไฟฟ้าแบบ 3 มิติบริเวณภายในระบบสายส่งไฟฟ้า 1 เฟส ขนาด 220 V ($x = 2 m$)	168

สารบัญรูป (ต่อ)

รูปที่	หน้า
7.6 ลักษณะค่าสนามไฟฟ้าแบบ 3 มิติบริเวณพื้นผิวภายนอกของระบบสายส่งไฟฟ้า 1 เฟสขนาด 220 V ($x = 2 \text{ m}$).....	169
7.7 โครงสร้างของระบบสายส่งไฟฟ้า 1 เฟสขนาด 220 V ($x = 5 \text{ m}$)	169
7.8 การออกแบบกริดของระบบสายส่งไฟฟ้า 1 เฟสขนาด 220 V ($x = 5 \text{ m}$)	170
7.9 ค่อนทัวร์ค่าสนามไฟฟ้าแบบ 2 มิติของระบบสายส่งไฟฟ้า 1 เฟสขนาด 220 V ($x = 5 \text{ m}$)	170
7.10 ลักษณะค่าสนามไฟฟ้าแบบ 3 มิติบริเวณภายในระบบสายส่งไฟฟ้า 1 เฟสขนาด 220 V ($x = 5 \text{ m}$)	171
7.11 ลักษณะค่าสนามไฟฟ้าแบบ 3 มิติบริเวณพื้นผิวภายนอกของระบบสายส่งไฟฟ้า 1 เฟสขนาด 220 V ($x = 5 \text{ m}$).....	171
7.12 โครงสร้างของระบบสายส่งไฟฟ้า 1 เฟสขนาด 220 V ($x = 8 \text{ m}$)	172
7.13 การออกแบบกริดของระบบสายส่งไฟฟ้า 1 เฟสขนาด 220 V ($x = 8 \text{ m}$)	172
7.14 ค่อนทัวร์ค่าสนามไฟฟ้าแบบ 2 มิติของระบบสายส่งไฟฟ้า 1 เฟสขนาด 220 V ($x = 8 \text{ m}$)	173
7.15 ลักษณะค่าสนามไฟฟ้าแบบ 3 มิติบริเวณภายในระบบสายส่งไฟฟ้า 1 เฟสขนาด 220 V ($x = 8 \text{ m}$)	173
7.16 ลักษณะค่าสนามไฟฟ้าแบบ 3 มิติบริเวณพื้นผิวภายนอกของระบบสายส่งไฟฟ้า 1 เฟสขนาด 220 V ($x = 8 \text{ m}$).....	174
7.17 โครงสร้างของระบบสายส่งไฟฟ้า 1 เฟสขนาด 22 kV ($x = 7.5 \text{ m}$)	175
7.18 การออกแบบกริดของระบบสายส่งไฟฟ้า 1 เฟสขนาด 22 kV ($x = 7.5 \text{ m}$)	175
7.19 ค่อนทัวร์ค่าสนามไฟฟ้าแบบ 2 มิติของระบบสายส่งไฟฟ้า 1 เฟสขนาด 22 kV ($x = 7.5 \text{ m}$)	176
7.20 ลักษณะค่าสนามไฟฟ้าแบบ 3 มิติบริเวณภายในระบบสายส่งไฟฟ้า 1 เฟสขนาด 22 kV ($x = 7.5 \text{ m}$).....	176
7.21 ลักษณะค่าสนามไฟฟ้าแบบ 3 มิติบริเวณพื้นผิวภายนอกของระบบสายส่งไฟฟ้า 1 เฟสขนาด 22 kV ($x = 7.5 \text{ m}$).....	177

สารบัญรูป (ต่อ)

รูปที่	หน้า
7.22 โครงสร้างของระบบสายส่งไฟฟ้า 1 เฟสขนาด 69 kV ($x = 7.5 \text{ m}$).....	177
7.23 การออกแบบกริดของระบบสายส่งไฟฟ้า 1 เฟสขนาด 69 kV ($x = 7.5 \text{ m}$).....	178
7.24 ค่อนทัวร์ค่าสนามไฟฟ้าแบบ 2 มิติของระบบสายส่งไฟฟ้า 1 เฟสขนาด 69 kV ($x = 7.5 \text{ m}$).....	178
7.25 ลักษณะค่าสนามไฟฟ้าแบบ 3 มิติบริเวณภายในระบบสายส่งไฟฟ้า 1 เฟสขนาด 69 kV ($x = 7.5 \text{ m}$).....	179
7.26 ลักษณะค่าสนามไฟฟ้าแบบ 3 มิติบริเวณพื้นผิวภายนอกของ ระบบสายส่งไฟฟ้า 1 เฟสขนาด 69 kV ($x = 7.5 \text{ m}$).....	179
7.27 โครงสร้างของระบบสายส่งไฟฟ้า 3 เฟสขนาด 69 kV ($x = 4.5 \text{ m}$).....	180
7.28 การออกแบบกริดของระบบสายส่งไฟฟ้า 3 เฟสขนาด 69 kV ($x = 4.5 \text{ m}$).....	181
7.29 ค่อนทัวร์ค่าสนามไฟฟ้าแบบ 2 มิติของระบบสายส่งไฟฟ้า 3 เฟสขนาด 69 kV เมื่อ $V_A = 69\angle 0^\circ \text{ kV}$ $V_B = 69\angle -120^\circ \text{ kV}$ $V_C = 69\angle 120^\circ \text{ kV}$ ($x = 4.5 \text{ m}$)	181
7.30 ลักษณะค่าสนามไฟฟ้าแบบ 3 มิติบริเวณภายในระบบสายส่งไฟฟ้า 3 เฟสขนาด 69 kV เมื่อ $V_A = 69\angle 0^\circ \text{ kV}$ $V_B = 69\angle -120^\circ \text{ kV}$ $V_C = 69\angle 120^\circ \text{ kV}$ ($x = 4.5 \text{ m}$)	182
7.31 ลักษณะค่าสนามไฟฟ้าแบบ 3 มิติบริเวณพื้นผิวภายนอกของระบบไฟฟ้า 3 เฟส 69 kV เมื่อ $V_A = 69\angle 0^\circ \text{ kV}$ $V_B = 69\angle -120^\circ \text{ kV}$ $V_C = 69\angle 120^\circ \text{ kV}$ ($x = 4.5 \text{ m}$)	182
7.32 โครงสร้างของระบบสายส่งไฟฟ้า 3 เฟสขนาด 69 kV ($x = 7.5 \text{ m}$).....	183
7.33 การออกแบบกริดของระบบสายส่งไฟฟ้า 3 เฟสขนาด 69 kV ($x = 7.5 \text{ m}$).....	183
7.34 ค่อนทัวร์ค่าสนามไฟฟ้าแบบ 2 มิติของระบบสายส่งไฟฟ้า 3 เฟสขนาด 69 kV เมื่อ $V_A = 69\angle 0^\circ \text{ kV}$ $V_B = 69\angle -120^\circ \text{ kV}$ $V_C = 69\angle 120^\circ \text{ kV}$ ($x = 7.5 \text{ m}$)	184
7.35 ลักษณะค่าสนามไฟฟ้าแบบ 3 มิติบริเวณภายในระบบสายส่งไฟฟ้า 3 เฟสขนาด 69 kV เมื่อ $V_A = 69\angle 0^\circ \text{ kV}$ $V_B = 69\angle -120^\circ \text{ kV}$ $V_C = 69\angle 120^\circ \text{ kV}$ ($x = 7.5 \text{ m}$)	184
7.36 ลักษณะค่าสนามไฟฟ้าแบบ 3 มิติบริเวณพื้นผิวภายนอกของระบบไฟฟ้า 3 เฟส 69 kV เมื่อ $V_A = 69\angle 0^\circ \text{ kV}$ $V_B = 69\angle -120^\circ \text{ kV}$ $V_C = 69\angle 120^\circ \text{ kV}$ ($x = 7.5 \text{ m}$)	185
7.37 โครงสร้างของระบบสายส่งไฟฟ้า 3 เฟสขนาด 69 kV ($x = 10.5 \text{ m}$).....	185
7.38 การออกแบบกริดของระบบสายส่งไฟฟ้า 3 เฟสขนาด 69 kV ($x = 10.5 \text{ m}$).....	186

สารบัญรูป (ต่อ)

รูปที่	หน้า
7.39 ค่อนทัวร์ค่าสนามไฟฟ้าแบบ 2 มิติของระบบสายส่งไฟฟ้า 3 เฟสขนาด 69 kV เมื่อ $V_A = 69\angle 0^\circ$ kV $V_B = 69\angle -120^\circ$ kV $V_C = 69\angle 120^\circ$ kV ($x = 10.5$ m)	186
7.40 ลักษณะค่าสนามไฟฟ้าแบบ 3 มิติบริเวณภายในระบบสายส่งไฟฟ้า 3 เฟสขนาด 69 kV เมื่อ $V_A = 69\angle 0^\circ$ kV $V_B = 69\angle -120^\circ$ kV $V_C = 69\angle 120^\circ$ kV ($x = 10.5$ m)	187
7.41 ลักษณะค่าสนามไฟฟ้าแบบ 3 มิติบริเวณพื้นผิวภายนอกของระบบไฟฟ้า 3 เฟส 69 kV เมื่อ $V_A = 69\angle 120^\circ$ kV $V_B = 69\angle 0^\circ$ kV $V_C = 69\angle -120^\circ$ kV ($x = 10.5$ m)	187
7.42 โครงสร้างของระบบสายส่งไฟฟ้า 3 เฟสขนาด 115 kV ($x = 10$ m)	188
7.43 การออกแบบกริดของระบบสายส่งไฟฟ้า 3 เฟสขนาด 115 kV ($x = 10$ m)	188
7.44 ค่อนทัวร์ค่าสนามไฟฟ้าแบบ 2 มิติของระบบสายส่งไฟฟ้า 3 เฟสขนาด 115 kV เมื่อ $V_A = 115\angle 0^\circ$ kV $V_B = 115\angle -120^\circ$ kV $V_C = 115\angle 120^\circ$ kV ($x = 10$ m)	189
7.45 ลักษณะค่าสนามไฟฟ้าแบบ 3 มิติบริเวณภายในระบบสายส่งไฟฟ้า 3 เฟสขนาด 115 kV เมื่อ $V_A = 115\angle 0^\circ$ kV $V_B = 115\angle -120^\circ$ kV $V_C = 115\angle 120^\circ$ kV ($x = 10$ m)	189
7.46 ลักษณะค่าสนามไฟฟ้าแบบ 3 มิติบริเวณพื้นผิวภายนอก ของระบบไฟฟ้า 3 เฟส 115 kV เมื่อ $V_A = 115\angle 0^\circ$ kV $V_B = 115\angle -120^\circ$ kV $V_C = 115\angle 120^\circ$ kV ($x = 10$ m)	190
7.47 โครงสร้างของระบบสายส่งไฟฟ้า 3 เฟสขนาด 230 kV ($x = 10$ m)	190
7.48 การออกแบบกริดของระบบสายส่งไฟฟ้า 3 เฟสขนาด 230 kV ($x = 10$ m)	191
7.49 ค่อนทัวร์ค่าสนามไฟฟ้าแบบ 2 มิติของระบบสายส่งไฟฟ้า 3 เฟสขนาด 230 kV เมื่อ $V_A = 230\angle 0^\circ$ kV $V_B = 230\angle -120^\circ$ kV $V_C = 230\angle 120^\circ$ kV ($x = 10$ m)	191
7.50 ลักษณะค่าสนามไฟฟ้าแบบ 3 มิติบริเวณภายใน ระบบสายส่งไฟฟ้า 3 เฟสขนาด 230 kV เมื่อ $V_A = 230\angle 0^\circ$ kV $V_B = 230\angle -120^\circ$ kV $V_C = 230\angle 120^\circ$ kV ($x = 10$ m)	192
7.51 ลักษณะค่าสนามไฟฟ้าแบบ 3 มิติบริเวณพื้นผิวภายนอก ของระบบไฟฟ้า 3 เฟส 230 kV เมื่อ $V_A = 230\angle 0^\circ$ kV $V_B = 230\angle -120^\circ$ kV $V_C = 230\angle 120^\circ$ kV ($x = 10$ m)	192
7.52 โครงสร้างของระบบสายส่งไฟฟ้า 3 เฟสขนาด 500 kV ($x = 12.5$ m)	193

สารบัญรูป (ต่อ)

รูปที่	หน้า
7.53 การออกแบบกริดของระบบสายส่งไฟฟ้า 3 เฟสขนาด 500 kV ($x = 12.5$ m).....	193
7.54 ค่อนทัวร์ค่าสนามไฟฟ้าแบบ 2 มิติของระบบสายส่งไฟฟ้า 3 เฟสขนาด 500 kV เมื่อ $V_A = 500\angle 0^\circ$ kV $V_B = 500\angle -120^\circ$ kV $V_C = 500\angle 120^\circ$ kV ($x = 12.5$ m)	194
7.55 ลักษณะค่าสนามไฟฟ้าแบบ 3 มิติบริเวณภายในระบบสายส่งไฟฟ้า 3 เฟสขนาด 500 kV เมื่อ $V_A = 500\angle 120^\circ$ kV $V_B = 500\angle 0^\circ$ kV $V_C = 500\angle -120^\circ$ kV ($x = 12.5$ m)	194
7.56 ลักษณะค่าสนามไฟฟ้าแบบ 3 มิติบริเวณพื้นผิวภายนอกของระบบไฟฟ้า 3 เฟส 500 kV เมื่อ $V_A = 500\angle 0^\circ$ kV $V_B = 500\angle -120^\circ$ kV $V_C = 500\angle 120^\circ$ kV ($x = 12.5$ m)	195
ก.1 ประจุตัวนำและประจุตัวนำเทียมที่เป็นเส้นยาวอนันต์.....	204
ก.2 ประจุตัวนำและประจุตัวนำเทียมในระบบสายส่ง.....	206

คำอธิบายสัญลักษณ์และคำย่อ

A	=	ค่าสัมประสิทธิ์ของระบบรวม
A_e	=	พื้นที่ภายในแต่ละอิเล็กทรอนิกส์
b	=	ค่าแรงกากยกที่มีการทำ ณ ตำแหน่งโนดต่าง ๆ
D_{1n}	=	ค่าไดอิเล็กทริกของบริเวณที่ 1
D_{2n}	=	ค่าไดอิเล็กทริกของบริเวณที่ 2
$D_x \ D_y \ G$ และ Q	=	ค่าคงที่สัมประสิทธิ์
E	=	ค่าสนามไฟฟ้า
E_1	=	ค่าสนามไฟฟ้าในตัวนำที่ 1
E_2	=	ค่าสนามไฟฟ้าในตัวนำที่ 2
E_3	=	ค่าสนามไฟฟ้าในตัวนำที่ 3
E_n	=	ผลลัพธ์ของค่าสนามไฟฟ้าเชิงเวกเตอร์ในแต่ละ โนดของอิเล็กทรอนิกส์
$[f]_e$	=	เมทริกซ์ค่าแรงกากยกที่มีการทำในแต่ละอิเล็กทรอนิกส์
f	=	ความถี่
gv	=	เวกเตอร์เกรเดียนต์
h	=	ระยะห่างระหว่างโนด
i, j และ k	=	หมายเลขของโนดที่ i, j และ k ในทิศทางทวนเข็มนาฬิกา
$[K]_{sys}$	=	เมทริกซ์ของระบบรวม
$[N]^T$	=	เวกเตอร์เมทริกซ์แนวตั้งของฟังก์ชันการประมาณภายในอิเล็กทรอนิกส์
N_n	=	ฟังก์ชันการประมาณภายในอิเล็กทรอนิกส์
n_{11}	=	ค่า self potential-coefficient ของสายส่ง
n_{1p}	=	ค่า mutual potential-coefficient ระหว่างจุด $P(x,y)$ กับสายส่ง เส้นที่ 1
n_{2p}	=	ค่า mutual potential-coefficient ระหว่างจุด $P(x,y)$ กับสายส่ง เส้นที่ 2
P_1	=	ค่าสนามไฟฟ้าบริเวณขอบนซ้ายของโตรัสพท์มีอ็อฟ
P_2	=	ค่าสนามไฟฟ้าบริเวณขอบขวาของโตรัสพท์มีอ็อฟ

คำอธิบายสัญลักษณ์และคำย่อ (ต่อ)

P_3	=	ค่าสนามไฟฟ้าบริเวณขอบด้านซ้ายของโถรัศพที่มีอถือ
P_4	=	ค่าสนามไฟฟ้าบริเวณขอบด้านขวาของโถรัศพที่มีอถือ
P_5	=	ค่าสนามไฟฟ้าบริเวณขอบล่างซ้ายของโถรัศพที่มีอถือ
P_6	=	ค่าสนามไฟฟ้าบริเวณขอบล่างขวาของโถรัศพที่มีอถือ
q	=	ประจุทดลอง
R	=	เศษตกค้าง
r	=	รัศมีของสายสั่ง
t	=	เวลา
$[u]_e$	=	เมทริกซ์ตัวไม่ทราบค่าในแต่ละอิเลมเมต์ของระบบ
U_1	=	ค่าแรงดันของสายสั่ง
ν	=	ความเร็วในการแพร่กระจาย
v_x	=	ค่าศักย์ไฟฟ้าตามแนวแกน x
v_y	=	ค่าศักย์ไฟฟ้าตามแนวแกน y
W	=	ฟังก์ชันน้ำหนัก
x	=	ค่าสนามไฟฟ้าที่ยังไม่ทราบค่า ณ ตำแหน่ง โนนดต่าง ๆ
Δx	=	ระยะห่างระหว่างโนนตามแนวแกน x
Δy	=	ระยะห่างระหว่างโนนตามแนวแกน y
ρ	=	ความหนาแน่นประจุเชิงปริมาตรการกระจายตัวประจุไฟฟ้า
σ	=	สภาพนำทางไฟฟ้า
∇^2	=	ลาปลาเซียน
φ	=	ค่าศักย์ไฟฟ้า ณ ตำแหน่งใด ๆ
ϕ	=	ฟังก์ชันใด ๆ ที่ต้องการทราบค่า
Δ_e	=	พื้นที่ของแต่ละอิเลมเมต์
ε_0	=	สภาพยอมของอวากาวรัง
ε_1	=	สภาพยอมของบริเวณที่ 1
ε_2	=	สภาพยอมของบริเวณที่ 2

คำอธิบายสัญลักษณ์และคำย่อ (ต่อ)

ε_r	=	สภาระของทางไฟฟ้าสัมพัทธ์
μ	=	สภาระของชีมได้ทางแม่เหล็ก
μ_r	=	สภาระของชีมได้ทางแม่เหล็กสัมพัทธ์
ω	=	อัตราเร็วเชิงมุม

บทที่ 1

บทนำ

1.1 ความเป็นมาและความสำคัญของปัจจุบัน

ระบบส่งจ่ายกำลังไฟฟ้ามีการส่งจ่ายกำลังไฟฟ้า 2 แบบ คือ การส่งจ่ายกำลังไฟฟ้าแรงสูง กระแสตรงและการส่งจ่ายกำลังไฟฟ้าแรงสูงกระแสสลับ การส่งจ่ายกำลังไฟฟ้าแรงสูงกระแสตรง ถูกนำมาใช้ในกรณีที่สายส่งมีระยะทางไกลมาก ๆ หรือถูกใช้เป็นสายส่งเชื่อมโยงเมื่อระบบทั้งสองมีความถี่ที่แตกต่างกัน ส่วนการส่งจ่ายกำลังไฟฟ้าแรงสูงกระแสสลับจะผ่านหม้อแปลงเพื่อลดตอนระดับแรงดันคล้ายเป็นไฟฟ้ากระแสสลับแรงต่ำ เพื่อนำไปใช้โดยทั่วไปตามบ้านเรือน และเนื่องจาก การส่งจ่ายกำลังไฟฟ้ากระแสสลับส่วนใหญ่มักจะมีการติดตั้งสายส่งไฟฟ้าแรงสูงใกล้บริเวณแหล่งชุมชน ดังนั้นถึงที่ต้องคำนึงถึง คือ ผลกระทบที่เกิดขึ้นจากการเหนี่ยวนำของสนามไฟฟ้า ซึ่งอาจก่อให้เกิดอันตรายแก่ประชาชนที่อาศัยในแหล่งชุมชนนั้น ๆ ได้

สำหรับระบบสายส่งไฟฟ้าแรงสูงกระแสสลับ สนามไฟฟ้าเกิดขึ้นจากแรงดันไฟฟ้าใน ตัวนำสายส่งทำให้เกิดประจุไฟฟ้าบวกและประจุไฟฟ้าลบ กระจายอยู่ทั่วบริเวณสายส่งไฟฟ้าแรงสูง ตามลักษณะการเปลี่ยนแปลงของแรงดันไฟฟ้ากระแสสลับ 50 Hz การที่มั่นคงย์ในแหล่งชุมชนที่มีสายส่งไฟฟ้าแรงสูงพาดผ่านได้รับอันตรายจากการอยู่ใกล้สายส่งแรงสูงสามารถแบ่งได้เป็น 3 กรณี คือ กรณีสนามไฟฟ้าจากระบบไฟฟ้า 1 เฟส กรณีสนามไฟฟ้า 3 เฟสไม่สมดุล และกรณีสนามไฟฟ้า 3 เฟสสมดุล ซึ่งค่าสนามไฟฟ้าที่มีผลกระทบต่อมั่นคงย์สามารถเกิดขึ้นได้จากค่าสนามไฟฟ้าที่มีค่าสูงขึ้นเนื่องจากความต่างศักย์ไฟฟ้าที่เกิดขึ้นระหว่างพื้นดินกับสายส่ง ตำแหน่งของมั่นคงย์ที่อยู่ใกล้สายส่ง เมื่อเทียบกับพื้นดินซึ่งสามารถทำให้เกิดความไม่สมดุลของสายส่งได้ และความไม่สมดุลของแรงดันภายในสายส่งแต่ละเส้น ก่อให้เกิดอันตรายจากสายส่งแรงสูงที่มีผลต่อมั่นคงย์ได้ในที่สุด นอกจากนี้การใช้อุปกรณ์สื่อสาร เช่น โทรศัพท์มือถือใกล้บริเวณสายส่งแรงสูงอาจทำให้ผู้ใช้โทรศัพท์มือถือได้รับอันตราย เช่นกัน เนื่องจากหลักการทำงานของโทรศัพท์มือถือ คือ การเปลี่ยนแปลงอากาศบริเวณรอบ ๆ โทรศัพท์มือถือถูกติดต่อสื่อสารจากดาวเทียมหรือสถานีส่งสัญญาณได้โดยอาศัยหลักการการเหนี่ยวนำของสนามไฟฟ้าเกิดขึ้นบริเวณใกล้ ๆ สายส่งไฟฟ้าแรงสูงอาจทำให้เกิดการเหนี่ยวนำของสนามไฟฟ้ากันเอง ระหว่างโทรศัพท์มือถือกับ

สายส่งไฟฟ้าแรงสูง เพราะปกติแล้วอานาบริเวณรอบ ๆ เสาไฟฟ้าแรงสูงมีการก่อตัวของสนามไฟฟ้าที่เกิดจากความเครื่องด้านไฟฟ้า (electric field stress) หรืออาจเรียกว่าความคงทนของจำนวนต่อแรงดันไฟฟ้า (dielectric strength) ส่งผลให้ประจุไฟฟ้ากระจายตัวอยู่ทั่วบริเวณสายส่งไฟฟ้าแรงสูง ถ้าการเห็นนี้ยานำของสนามไฟฟ้าระหว่างโทรศัพท์มือถือกับสายไฟฟ้าแรงสูงมีค่าสูงเกินกว่าค่าความเครื่องด้านไฟฟ้าวิกฤตของอากาศโดยรอบ ก่อให้เกิดกระแสไฟฟ้าเห็นนี้ยานำที่สามารถไหลผ่านอากาศทำให้อากาศเปลี่ยนสถานะจากการเป็นอนุวนไฟฟ้ามาเป็นตัวนำได้ในช่วงเวลาสั้น ๆ ทำอันตรายต่อโทรศัพท์มือถือและส่งผลให้เกิดอันตรายถึงชีวิตแก่ผู้ใช้งานได้ในที่สุด อย่างไรก็ตาม ปัจจุบันสำหรับประเทศไทย ปัญหาเรื่องอันตรายจากสายส่งแรงสูงที่มีผลต่อมนุษย์ อันเนื่องมาจาก การกระจายตัวของสนามไฟฟ้ารอบ ๆ สายส่ง หากการละเลียดเนื่องจากเหตุการณ์นี้ไม่ได้เกิดขึ้นบ่อยนัก แต่ทุกครั้งที่เกิดจะนำมาซึ่งการสูญเสียถึงแก่ชีวิตของผู้ประสบอุบัติเหตุ

ปัญหาสนามไฟฟ้าในทางวิศวกรรม โดยปกติสามารถอธิบายได้ในรูปของสมการอนุพันธ์ (differential equation) หรือสมการปริพันธ์ (integral equation) อาจจะมีลักษณะความไม่เป็นเชิงเส้น (non-linear) ปรากฏอยู่ จึงเป็นไปได้ยากที่จะหาผลเฉลยแม่นตรง (exact solution) ได้ ดังนั้น จำเป็นต้องใช้วิธีการหาผลเฉลยโดยประมาณ (approximate solution) อีกทั้งสมรรถนะของคอมพิวเตอร์ที่สูงขึ้นทำให้การคำนวณเชิงตัวเลขสามารถทำได้อย่างรวดเร็ว สำหรับวิธีการหาผลเฉลยโดยประมาณ ได้แก่ ระเบียบวิธีไฟไนท์ดิฟเฟอร์เรนท์ (finite difference method : FDM) และระเบียบวิธีไฟไนท์อิลิเมนท์ (finite element method : FEM) การหาผลเฉลยดังกล่าว ได้รับความนิยมอย่างแพร่หลายในปัจจุบัน ระเบียบวิธีไฟไนท์ดิฟเฟอร์เรนท์ เป็นระเบียบวิธีเชิงตัวเลขที่ถูกนำมาใช้ในการแก้ปัญหา สมการเชิงอนุพันธ์บ่อย เนื่องจากง่ายต่อการทำความเข้าใจ ซึ่งถูกพัฒนาขึ้น (Thoum, 1920) โดยใช้ชื่อ ระเบียบวิธีสี่เหลี่ยม (method of squares) จนถูกพัฒนาอย่างต่อเนื่องจนกระทั่งถึงปัจจุบัน เนื่องจาก ระเบียบวิธีนี้จะจัดแบ่งพื้นที่ของปัญหาเป็นโนด (vertices) อยู่ต่าง ๆ ตามรูปสี่เหลี่ยม และเชื่อมโยง โนดด้วยเส้นต่อ กันด้วยกริด (grid) เป็นชิ้นส่วนบ่อย (element) ทำให้บางครั้งไม่สะดวกในการแก้ ผลเฉลยของระบบที่มีรูปร่างซับซ้อน แต่สำหรับการศึกษาสนามไฟฟ้ารอบ ๆ สายส่งไฟฟ้าแรงสูง จะเป็นระบบที่มีรูปร่างไม่ซับซ้อน เนื่องจากเป็นการศึกษาในพื้นที่โล่งจึงสามารถกำหนดขอบเขตพื้นที่ ในการพิจารณา ได้อย่างอิสระและสอดคล้องตามงานนั้น ๆ ดังนั้น การคำนวณหากำลังสนามไฟฟ้า จึงสามารถคำนวณได้ง่าย ส่วนระเบียบวิธีไฟไนท์อิลิเมนท์ได้ถูกพัฒนา (Courant, 1943) และเริ่มนามา ประยุกต์กับปัญหาสนามไฟฟ้าในปี 1968 ซึ่งระเบียบวิธีนี้จะจัดแบ่งพื้นที่ของปัญหาเป็นชิ้นส่วนบ่อย ที่ประกอบขึ้นจากโนด โดยเชื่อมต่อ กันด้วยกริด ซึ่งจะไม่จำกัดอยู่ในเฉพาะรูปร่างของชิ้นส่วนบ่อยที่ เป็นสี่เหลี่ยมสำหรับปัญหา 2 มิตินิยม ใช้ชิ้นส่วนบ่อยที่เป็นรูปสามเหลี่ยม ใน การประมาณโดยเมน ของปัญหาได้ ซึ่งข้อดีของระเบียบวิธีนี้ คือ สามารถหาผลเฉลยของระบบที่มีรูปร่างซับซ้อน ทึ้งยัง

เหมาๆ กับปัญหาที่มีการแปรเปลี่ยนตามเวลา (time-varying) ปัญหาที่ไม่เป็นเชิงเส้น ซึ่งปัญหาทางสนามไฟฟ้ามักจะมีผลโดยที่ไม่เป็นเชิงเส้น จึงเหมาๆ สมกับการใช้ระบบวิธีดังกล่าวในการหาค่าผลโดย นอกจากนี้ยังง่ายต่อการกำหนดเงื่อนไขของเขตที่อาจมีหลายลักษณะสมกันอยู่ในระบบ ดังนั้นจึงมีความจำเป็นอย่างยิ่งที่ต้องนำระบบวิธีไฟฟ้าในที่ดินฟเฟอร์เรนท์ และระบบวิธีไฟฟ้าที่อิเล็กทรอนิกส์มาใช้ในการดำเนินการ

1.2 วัตถุประสงค์ของการวิจัย

- พัฒนาโปรแกรมด้วยระบบวิธีไฟฟ้าในที่ดินฟเฟอร์เรนท์ และระบบวิธีไฟฟ้าที่อิเล็กทรอนิกส์ ทั้งแบบ 2 มิติ และ 3 มิติ เพื่อกำหนดค่าสนามไฟฟ้าในระบบสายส่งไฟฟ้าแรงสูง 1 เฟส 3 เฟส สมดุล และ 3 เฟสไม่สมดุล
- คำนวณการกระจายตัวของค่าสนามไฟฟ้าที่เกิดขึ้นระหว่างมนุษย์กับระบบสายส่งไฟฟ้าแรงสูง
- วิเคราะห์เชิงตัวเลขด้วยระบบวิธีไฟฟ้าในที่ดินฟเฟอร์เรนท์ และระบบวิธีไฟฟ้าที่อิเล็กทรอนิกส์ เพื่อกำหนดระยะห่างที่เหมาะสมของมนุษย์ที่อาศัยอยู่ใกล้บริเวณที่มีเสาไฟฟ้าแรงสูงพาดผ่าน
- ศึกษาการกระจายตัวของสนามไฟฟ้าที่เกิดขึ้นระหว่างอุปกรณ์สื่อสารกับระบบสายส่งไฟฟ้าแรงสูง
- วิเคราะห์เชิงตัวเลขเพื่อกำหนดระยะห่างที่เหมาะสมของอุปกรณ์สื่อสารที่อยู่ใกล้บริเวณที่มีเสาไฟฟ้าแรงสูงพาดผ่าน

1.3 ข้อตกลงเบื้องต้น

- พื้นที่ในการจำลองระบบเป็นพื้นที่โล่ง ปราศจากการกีดขวางของอาคาร และสิ่งปลูกสร้างต่างๆ
- พิจารณาการเห็นี่ยวนำของสนามไฟฟ้าระหว่างสายส่งไฟฟ้าแรงสูงจำนวน 1 ต้นกับมนุษย์ หรืออุปกรณ์สื่อสารที่สามารถก่อให้เกิดการเห็นี่ยวนำขึ้นได้
- สำหรับในระบบที่พิจารณาจะกำหนดให้ค่าสภาพยอม (permittivity) ของอาคารมีค่าคงที่ตลอดพื้นที่ที่ใช้ในการพิจารณา
- กำหนดให้แรงดันในสายส่งแต่ละเส้นมีค่าแรงดันคงที่สม่ำเสมอตลอดทั้งเส้น
- กำหนดให้สภาพพื้นดินในระบบที่พิจารณาเป็นพื้นดินในสภาพทั่วไปปราศจากน้ำขังหรือความชื้นบนหน้าดินสูง

1.4 ขอบเขตของการวิจัย

- สร้างแบบจำลองทางคณิตศาสตร์สำหรับการกระจายตัวของสนามไฟฟ้าเพื่อจำลองผลการทำงานของอุปกรณ์สื่อสารที่ถูกนำมาใช้งานใกล้สายส่งไฟฟ้าแรงสูง

- ใช้ MATLABTM เพื่อเขียนโปรแกรมระเบียบวิธีไฟไนท์คิฟเฟอร์เรนท์ และระเบียบวิธีไฟไนท์อิลิเมนท์ ทั้ง 2 มิติ และ 3 มิติ สำหรับวิเคราะห์ปัญหาสนามไฟฟ้าในสายส่งไฟฟ้าแรงสูงขนาดต่างๆ

- พิจารณาระบบสายส่งไฟฟ้าแรงสูง 2 ประเภท คือ ระบบสายส่งไฟฟ้าแรงสูง 1 เฟสขนาด 220 V, 22 kV และ 69 kV กับระบบสายส่งไฟฟ้าแรงสูง 3 เฟสขนาด 69 kV, 115 kV, 230 kV และ 500 kV

- ดำเนินการหาระยะห่างที่เหมาะสมสำหรับมนุษย์ เพื่อป้องกันอันตรายที่เกิดขึ้นได้จากบริเวณสายส่งไฟฟ้าแรงสูงพอด้วยมาตรฐานสากล IRPA (international radiation protection association)

1.5 ประโยชน์ที่คาดว่าจะได้รับ

- ได้แบบจำลองของอุปกรณ์สื่อสารและสายส่งไฟฟ้าแรงสูงที่สามารถใช้ได้กับระบบส่งจ่ายกำลังไฟฟ้า 22 kV และ 115 kV ของการไฟฟ้าภูมิภาค และระบบ 230 kV ของการไฟฟ้าฝ่ายผลิต

- ได้โปรแกรมจำลองผลที่เกิดจากการพัฒนาระเบียบวิธีไฟไนท์คิฟเฟอร์เรนท์ และระเบียบวิธีไฟไนท์อิลิเมนท์ เพื่อใช้ในการคำนวณหาค่าสนามไฟฟ้าในบริเวณสายส่งไฟฟ้าแรงสูง

- ช่วยเพิ่มความปลอดภัยให้กับมนุษย์ในแหล่งชุมชนที่อาศัยอยู่ใกล้บริเวณที่มีสายส่งไฟฟ้าแรงสูงพอด้วย

- ได้ลิขสิทธิ์จากการศึกษาผลการทดลองของสนามไฟฟ้าจากการใช้งานโทรศัพท์มือถือบริเวณใกล้สายส่งไฟฟ้าแรงสูง

1.6 การจัดรูปเล่มวิทยานิพนธ์

วิทยานิพนธ์นี้ประกอบด้วย 8 บท และ 3 ภาคผนวก โดยที่บทที่ 1 เป็นบทนำ กล่าวถึงความสำคัญของปัญหา วัตถุประสงค์และเป้าหมายของงานวิจัยวิทยานิพนธ์ รวมทั้งขอบเขตของงานส่วนบทอื่น ๆ ประกอบด้วยเนื้อหาดังต่อไปนี้

บทที่ 2 กล่าวถึงการสำรวจปริทศน์วรรณกรรมและงานวิจัยที่เกี่ยวข้อง เพื่อให้ทราบถึงแนวทาง และระเบียบวิธีการดำเนินการวิจัยที่เกี่ยวข้อง โดยผลจากการสำรวจสืบกัน จะใช้เป็นแนวทางสำหรับการประยุกต์ และพัฒนาเข้ากับงานวิจัยวิทยานิพนธ์นี้

บทที่ 3 นำเสนอทฤษฎีต่าง ๆ ที่เกี่ยวข้องกับงานวิจัยวิทยานิพนธ์ โดยเนื้อหาประกอบไปด้วย 5 หัวข้อหลัก ๆ ได้แก่ สารานุกรมภาษาไทยสั่งคำลังไฟฟ้า โทรศัพท์มือถือ ระบบเบินวิชีไฟในท์ดิฟเฟอร์เรนท์ และระบบเบินวิชีไฟในท์อิลิเมนท์

บทที่ 4 มีเนื้อหาว่าด้วยการคำนวณสารานุกรมภาษาไทยของสายสั่งด้วยระบบเบินวิชีไฟในท์ดิฟเฟอร์เรนท์แบบ 2 มิติ และขั้นตอนต่าง ๆ ในการประยุกต์ใช้ระบบเบินวิชีไฟในท์ดิฟเฟอร์เรนท์ เพื่อคำนวณหาค่าสารานุกรมภาษาไทยที่กระจายรอบ ๆ บริเวณสายสั่งไฟฟ้าแรงสูง ขณะเดียวกันก็ใช้อุปกรณ์สื่อสาร

บทที่ 5 มีเนื้อหาว่าด้วยการคำนวณสารานุกรมภาษาไทยของสายสั่งด้วยระบบเบินวิชีไฟในท์อิลิเมนท์แบบ 2 มิติ และขั้นตอนต่าง ๆ ในการประยุกต์ใช้ระบบเบินวิชีไฟในท์อิลิเมนท์ เพื่อคำนวณหาค่าสารานุกรมภาษาไทยที่กระจายรอบ ๆ บริเวณสายสั่งไฟฟ้าแรงสูง ขณะเดียวกันก็ใช้อุปกรณ์สื่อสารในทำนองเดียวกับบทที่ 4

บทที่ 6 อธิบายถึงโปรแกรมจำลองผลสารานุกรมภาษาไทย ผลการจำลองของระบบสายสั่งแบบ 2 มิติ โดยกล่าวถึงพารามิเตอร์ที่ประยุกต์ใช้ในการจำลองผล รวมถึงการอธิบายโครงสร้างของโปรแกรมจำลองผล ประกอบกับเปรียบเทียบผลเฉลยค่าสารานุกรมภาษาไทยจากการจำลองผลแบบ 2 มิติ กับโปรแกรมสำหรับรูป

บทที่ 7 กล่าวถึงการจำลองสารานุกรมภาษาไทยของสายสั่งโดยระบบเบินวิชีไฟในท์อิลิเมนท์แบบ 3 มิติ โดยการกำหนดพารามิเตอร์ และเงื่อนไขขอบเขตตามโครงสร้างของระบบสายสั่งไฟฟ้า 1 เฟส และ 3 เฟสแบบ 3 มิติ เพื่อการคำนวณหาค่าสารานุกรมภาษาไทยของระบบสายสั่ง ภายใต้ระบบสายสั่งไฟฟ้า 1 เฟส ระบบสายสั่งไฟฟ้า 3 เฟสสมดุล และระบบสายสั่งไฟฟ้า 3 เฟสไม่สมดุล

บทที่ 8 เป็นบทสรุปและข้อเสนอแนะ พร้อมงานวิจัยที่จะดำเนินการต่อ

ภาคผนวกประกอบด้วยเนื้อหา 3 ส่วน ได้แก่ ภาคผนวก ก. การพิสูจน์สมการคำนวณหาค่าสารานุกรมภาษาไทยให้ระบบสายสั่งที่ใช้สำหรับประยุกต์เงื่อนไขค่าขอบเขต ภาคผนวก ข. กล่าวถึงการรวบรวมผลงานที่ได้รับการเผยแพร่องค์งานวิจัยวิทยานิพนธ์ในขณะดำเนินการศึกษา และภาคผนวก ค. เป็นการกำหนดเงื่อนไขค่าขอบเขต โดยยกตัวอย่างการประยุกต์เงื่อนไขขอบเขต ด้วยการนำหลักการการดัดแปลงระบบสมการรวม ก่อนทำการแก้ระบบสมการรวม เพื่อให้เห็นภาพการทำงานของโปรแกรมภายในงานวิจัยนี้

บทที่ 2

ปริทัศน์วรรณกรรมและงานวิจัยที่เกี่ยวข้อง

2.1 บทนำ

วัตถุประสงค์หลักของงานวิจัยนี้ คือ การสำรวจหาการกระจายของค่าสนามไฟฟ้าที่เกิดขึ้นระหว่างระบบสายส่งไฟฟ้าแรงสูงกับมนุษย์ ณ ขณะที่ใช้อุปกรณ์สื่อสารใกล้บริเวณสายส่งดังกล่าว โดยเลือกใช้ระเบียบวิธีไฟไนท์อิลิเมนท์ และระเบียบวิธีไฟไนท์ฟเฟอร์เรนท์ มาเป็นเครื่องมือในการแก้ปัญหา ดังนั้นจึงมีความจำเป็นอย่างยิ่งที่ต้องดำเนินการสำรวจปริทัศน์วรรณกรรมและงานวิจัยที่เกี่ยวข้อง เพื่อให้ทราบถึงแนวทางการวิจัย ระเบียบวิธีที่เคยมีการใช้งานมาก่อน ผลการดำเนินงานข้อเสนอแนะต่าง ๆ จากคณะนักวิจัยตั้งแต่อดีตเป็นต้นมา โดยใช้ฐานข้อมูลที่เป็นแหล่งสะสมรายงานวิจัยและวรรณกรรมที่เกี่ยวข้องทางด้านวิทยาศาสตร์และเทคโนโลยี อันได้แก่ ฐานข้อมูลจาก IEEE IEE และ ScienceDirect เป็นต้น ผลการสำรวจสืบค้นงานวิจัยดังกล่าวจะใช้เป็นแนวทางสำหรับการประยุกต์ และพัฒนาเข้ากับงานวิจัยวิทยานิพนธ์นี้

2.2 ปริทัศน์วรรณกรรมและงานวิจัยที่เกี่ยวข้อง

การนำเสนอปริทัศน์วรรณกรรมและงานวิจัยที่เกี่ยวข้อง จากรี่องการวิเคราะห์การกระจายตัวของค่าสนามไฟฟ้าบริเวณใกล้สายส่งตั้งแต่อดีตจนถึงปัจจุบัน สามารถสรุปโดยย่อเป็นตารางได้ดังตารางที่ 2.1 ซึ่งสามารถจัดลำดับการเรียบเรียงผลงานที่มีผู้ได้ดำเนินการก่อนไปสู่งานที่ใหม่กว่า ได้ดังต่อไปนี้

ตารางที่ 2.1 ผลงานวิจัยที่เกี่ยวข้อง

ค.ศ.	คณะผู้ทำวิจัย	การดำเนินงานวิจัย
1997	Krajewski	อธิบายถึงแบบจำลองทางคณิตศาสตร์และสมการอินทิกรัล ที่ใช้สำหรับวิเคราะห์สนามไฟฟ้าที่เกิดขึ้นบริเวณสายส่งไฟฟ้าแรงสูงที่เกิดขึ้นบริเวณใกล้สายส่งด้วยระเบียบวิธีสามชิกค่าขอบ (boundary element method : BEM)

ตารางที่ 2.1 ผลงานวิจัยที่เกี่ยวข้อง (ต่อ)

ค.ศ.	คณะผู้ทำวิจัย	การดำเนินงานวิจัย
2000	Farzaneh and Volat	อธิบายถึงการจำลองผลของสนามไฟฟ้าที่เกิดขึ้นบริเวณลูกถัวหดัก (post insulator) ในกรณีที่มีน้ำแข็งปกคลุมอยู่บนลูกถัวหดักนั้น ส่งผลทำให้เกิดการกระจายตัวของสนามไฟฟ้าที่แตกต่างไปจากในสภาวะปกติ ซึ่งผู้ทำการวิจัยได้แบ่งลูกถัวหดักออกเป็น 3 ประเภท ตามการเกาะของน้ำแข็งที่ปกคลุมลูกถัวหดักในบริเวณต่าง ๆ ในการศึกษานี้ยังได้ทำการพิจารณาผลการเปลี่ยนแปลงของค่าสนามไฟฟ้าที่เกิดขึ้น เมื่อมีการเปลี่ยนแปลงของค่าความหนาของชั้นน้ำแข็งที่มาปกคลุม ชนิดของวัสดุที่ใช้ทำลูกถัว และปริมาณของน้ำในอากาศบริเวณรอบ ๆ ลูกถัวที่ลูกความแน่นให้กลายเป็นหยดน้ำ และเกาะอยู่บนผิวของลูกถัวจนนาน
2000	Ohchi and Furukawa	ศึกษาค่าสนามไฟฟ้าที่มีผลกระทบต่อสมองของมนุษย์ โดยใช้ระเบียบวิธีไฟไนท์อิเลิมента ทำการแพร่กระจายสนามไฟฟ้าที่เกิดขึ้นบริเวณศีรษะของมนุษย์ ซึ่งจะคำนึงถึงค่าสภาพลมที่แตกต่างกันภายในสมอง
2002	Elhribawy, Nguyen, Jennings, and Keerthipala	คำนวณหาค่าสนามไฟฟ้าและสนามแม่เหล็กที่กระจายรอบ ๆ สายส่งไฟฟ้าแรงสูง 3 เฟส โดยใช้ระเบียบวิธีไฟไนท์ฟเฟอร์เรนต์ แบบ 2 มิติในการหาผลเฉลย
2004	Desideri, Guarnieri, and Enrico Poli	คำนวณหาค่าสนามไฟฟ้าที่ปราฏรอบ ๆ สายส่งที่มีโครงสร้างเส้นแบบคอนกรีต 3 เฟส โดยใช้ระเบียบ

ตารางที่ 2.1 ผลงานวิจัยที่เกี่ยวข้อง (ต่อ)

ค.ศ.	คณะผู้ทำวิจัย	การดำเนินงานวิจัย
		วิธีไฟไนท์อิลิเมนท์ กับระเบียบวิธีการจำลองประจุ (charge simulation method : CSM)
2006	Zhang, Han, and He	ศึกษาการวิเคราะห์เชิงตัวเลขของค่าสนามไฟฟ้าที่กระจายรอบบริเวณลูกถ่วงที่ทำการวัดคุณสมบัติ การวิเคราะห์บริเวณยอดเสาสายส่งไฟฟ้าแรงสูง ซึ่งทำการวิเคราะห์ภายใต้ระบบไฟฟ้า 3 เฟสบนด้วย 330 kV ด้วยระเบียบวิธีสำมารชิกค่าข้อมูล
2006	Zhao and Cui	จำลองผลค่าสนามไฟฟ้าสำหรับระบบสายส่งไฟฟ้าแบบแรงดันสูงกระแสตรง (high voltage direct current : HVDC) ด้วยระเบียบวิธีไฟไนท์อิลิเมนท์แบบ 2 มิติ
2007	Leandros and Athanasios	ศึกษาอิทธิพลผลกระทบของระบบสายดิน กับกระแสโคนาที่มีต่อค่าความเข้มสนามไฟฟ้าของ การเกิดคอโคนา และแรงดันเบรกดาวน์ ณ บริเวณช่องว่างเล็ก ๆ (air-gap) โดยทำการทดสอบภายในระบบที่มีช่องว่างเล็กๆ โหนดที่แตกต่างกัน เพื่อเปรียบเทียบผลการทดสอบการหาค่าสนามไฟฟ้าสูงสุดที่ ก่อให้เกิดคอโคนา และการเบรกดาวน์กับการคำนวณด้วยระเบียบวิธีไฟไนท์อิลิเมนท์
2546 (พ.ศ.)	นุชิต ทิพย์เจริญ, พิทักษ์ ปืนอนงค์ และ ศิริวัฒน์ โพธิเวชกุล	การวิเคราะห์ผลกระทบจากสนามไฟฟ้าที่เกิดจากสายส่งไฟฟ้ากระแสตรง ±300 kV และสายส่งไฟฟ้ากระแสสลับวงจรคู่ 500 kV โดยคำนึงความแตกต่างระหว่างผลกระทบจากการเหนี่ยวน้ำที่เกิดจากมนุษย์ สัมผัสกับวัตถุขนาดใหญ่ใกล้สายส่ง

จะเห็นได้ว่าจากการสืบค้นปริทัศน์วรรณกรรมและงานวิจัยที่เกี่ยวข้อง ไม่เคยปรากฏงานวิจัยที่เน้นอันตรายที่เกิดจากผลกระทบของสนามไฟฟ้าระหว่างการใช้งานโทรศัพท์มือถือใกล้บริเวณที่มีสายส่งไฟฟ้าแรงสูงผ่าน จากการวรรณกรรมและงานวิจัยที่ได้สรุปผ่านมา สามารถช่วยให้ผู้ที่จะดำเนินการศึกษาหรือพัฒนาเกี่ยวกับงานวิจัยนี้ พอมองภาพออกอย่างกว้างได้ว่า มีค่านักวิจัยผู้ใดได้ศึกษาถึงได้ไปแล้วบ้าง แต่ยังไม่สามารถแยกเป็นหมวดหมู่ตามวิธีการดำเนินงานศึกษาได้อย่างชัดเจน ดังนั้น ในส่วนถัดไปนี้จึงได้ทำการเรียนรู้และคัดสรรงานวิจัยหลัก ๆ ที่สำคัญ และมีความแตกต่างกันอย่างเด่นชัด จากหลาย ๆ ผลงานที่ได้สรุปไว้ในตารางที่ 2.1 โดยจะได้กล่าวถึงโดยย่อดังนี้

Krajewski (1997) ได้อธิบายถึงแบบจำลองทางคณิตศาสตร์และสมการประพันธ์ที่ใช้สำหรับวิเคราะห์สนามไฟฟ้าที่เกิดขึ้นบริเวณสายส่งไฟฟ้าแรงสูงที่เกิดขึ้นบริเวณใกล้สายส่งด้วยระเบียบวิธีสามเชิงค่าของ (boundary element method: BEM) นอกจากนี้ยังศึกษาผลกระทบของสนามไฟฟ้าจากเสาไฟฟ้าแรงสูงกับวัสดุสิ่งก่อสร้างประเภทต่าง ๆ ที่ใช้สร้างอาคารบ้านเรือน ซึ่งสามารถพิจารณาผลกระทบที่เกิดจากความแตกต่างของวัสดุได้จากค่าสภาระยอมไฟฟ้าสัมพัทธ์ (relative permittivity) และค่าสภาระนำไฟฟ้า (conductivity) โดยวัสดุที่นำมาพิจารณาได้แก่ ไม้ แก้ว และซีเมนต์ เป็นต้น Farzaneh and Volat (2000) อธิบายถึงการจำลองผลของสนามไฟฟ้าที่เกิดขึ้นบริเวณลูกถ้วยหลัก (post insulator) ในกรณีที่มีน้ำแข็งปกคลุมอยู่บนลูกถ้วยหลักนั้น ส่งผลให้เกิดการกระจายตัวของสนามไฟฟ้าที่แตกต่างไปจากในสภาพปกติ ซึ่งผู้ทำการวิจัยได้แบ่งลูกถ้วยหลักออกเป็น 3 ประเภท ตามการเกาะของน้ำแข็งที่ปกคลุมลูกถ้วยหลักในบริเวณต่าง ๆ ในการศึกษานี้ ยังได้ทำการพิจารณาผลการเปลี่ยนแปลงของค่าสนามไฟฟ้าที่เกิดขึ้น เมื่อมีการเปลี่ยนแปลงของค่าความหนาของชั้นน้ำแข็งที่มากคลุม ชนิดของวัสดุที่ใช้ทำลูกถ้วย และปริมาณของน้ำในอากาศบริเวณรอบ ๆ ลูกถ้วยที่ถูกความแน่นให้กลายเป็นหยดน้ำ และเกาะอยู่บนผิวของลูกถ้วยจำนวนมาก นุชิต ทิพย์เจริญ, พิทักษ์ ปันอนงค์ และ ศรีวัฒน์ โพธิเวชกุล (2546) อธิบายถึงการวิเคราะห์ผลกระทบจากสนามไฟฟ้าที่เกิดจากสายส่งไฟฟ้าแรงสูงกระแสตรง ±300 kV และสายส่งไฟฟ้าแรงสูงกระแสสลับ วงจรคู่ 500 kV โดยศึกษาถึงความแตกต่างระหว่างผลกระทบจากการเหนี่ยวนำที่เกิดจากมนุษย์ สัมผัสกับวัตถุขนาดใหญ่ใกล้สายส่งไฟฟ้าสูงทั้งสองชนิด เพื่อเปรียบเทียบความรุนแรงที่เกิดขึ้นระหว่างสนามไฟฟ้าจากสายส่งไฟฟ้าแรงสูงทั้งสองชนิด สำหรับการวัดความรุนแรงของผลกระทบที่เกิดขึ้นจะพิจารณาจากพลังงานสะสมที่เกิดจากการเข้าไปสัมผัสกับวัตถุขนาดใหญ่ภายใต้การวิเคราะห์ในเงื่อนไขต่าง ๆ เป็นต้น

2.3 สรุป

บทที่ 2 นี้ ได้นำเสนอรายงานผลการสืบค้นวรรณกรรมและงานวิจัยอ่อนหลังที่เกี่ยวข้องกับงานวิจัยที่จะดำเนินการ จากฐานข้อมูล IEEE IEE ScienceDirect และอื่น ๆ ซึ่งทำให้ทราบถึงแนวทางการวิจัยที่เกี่ยวข้อง ระเบียบวิธีที่ผู้วิจัยอื่น ๆ ได้นำมาใช้ ผลการดำเนินงาน ข้อเสนอแนะ ต่าง ๆ จากคณะนักวิจัยตั้งแต่อดีตจนถึงปัจจุบัน จากการสืบค้นปริพันธ์วรรณกรรมและงานวิจัยที่เกี่ยวข้อง ไม่เคยปรากฏงานวิจัยที่มุ่งเน้นอันตรายที่เกิดจากผลกระทบของสารน้ำไฟฟ้าระหว่างการใช้งานโทรศัพท์มือถือใกล้บริเวณที่มีสายส่งไฟฟ้าแรงสูงพาดผ่านมาก่อน สำหรับงานวิจัยจะอาศัย MATLABTM ในการคำนวณหาค่าสารน้ำไฟฟ้าด้วยวิธีระเบียบวิธีไฟในท่อพีเพอร์เรนท์ และระเบียบวิธีไฟในท่ออลิเมนท์ เพื่อเปรียบเทียบผลการคำนวณที่ได้กับโปรแกรมสำเร็จรูป ด้วยเหตุนี้งานวิจัยชิ้นนี้จึงพัฒนาขึ้นเพื่อสำรวจแนวทางการจำลองผลกระทบของสารน้ำไฟฟ้าต่อการทำงานของโทรศัพท์มือถือใกล้บริเวณที่มีสายส่งไฟฟ้าแรงสูงพาดผ่านภายใต้ตัวถุประสงค์ของการป้องกันอันตรายที่อาจเกิดขึ้นกับมนุษย์ด้วยสาเหตุดังกล่าว

บทที่ 3

ทฤษฎีเกี่ยวกับ

3.1 บทนำ

การศึกษาและเข้าใจถึงทฤษฎีต่าง ๆ ที่เกี่ยวข้องกับงานวิจัย นับว่ามีความสำคัญ และเป็นประโยชน์อย่างมากในการดำเนินงาน ทั้งนี้เพื่อเป็นพื้นฐานความรู้ และความเข้าใจในงาน สำหรับนำไปเป็นแหล่งอ้างอิงในการดำเนินงานวิจัย ดังนั้นในบทนี้จึงได้นำเสนอทฤษฎีที่เกี่ยวข้องกับงานวิจัยนี้ ซึ่งประกอบไปด้วย 5 หัวข้อหลัก ได้แก่ สนามไฟฟ้า สายส่งกำลังไฟฟ้า โทรศัพท์มือถือ ระบบวิธีไฟฟ้าในติดไฟฟอร์เรนท์ และระบบวิธีไฟฟ้าอิเล็กทรอนิกส์ โดยจะกล่าวถึงเฉพาะส่วนที่เป็นประโยชน์ หรือถูกกล่าวอ้างถึงต่อการดำเนินงานวิจัย ทั้งนี้เพื่อให้เนื้อหา มีความกระชับและชัดเจน

3.2 สนามไฟฟ้า

3.2.1 ความสัมพันธ์ระหว่างสนามไฟฟ้ากับศักย์ไฟฟ้า

จากความรู้เรื่องสนามไฟฟ้าที่ผ่านมาได้กล่าวถึง สนามไฟฟ้าของประจุไฟฟ้าในลักษณะของเวกเตอร์ที่สามารถกำหนดค่าได้ด้วยฟังก์ชันเวกเตอร์ \mathbf{E} นอกจากสนามเวกเตอร์ดังกล่าวแล้ว ยังมีปริมาณไฟฟ้าอีกแบบหนึ่งที่เป็นฟังก์ชันสเกลาร์ หรือ สนามสเกลาร์ โดยสนามสเกลาร์นี้ เป็นฟังก์ชันของตำแหน่งในปริภูมิเช่นเดียวกับสนามไฟฟ้า E แต่กต่างกันที่ค่าดังกล่าวนั้นเป็นปริมาณสเกลาร์ ซึ่งถูกเรียกว่า ศักย์ไฟฟ้า สามารถแทนสัญลักษณ์ได้ด้วย v และสามารถวัดออกมารูปหน่วยของแรงดัน (volt) โดยความสัมพันธ์ระหว่าง v และ E ในรูปปริพันธ์สามารถแสดงได้ดังสมการที่ (3-1)

$$v_x - v_y = -\frac{1}{q} \int_y^x q \mathbf{E} \cdot d\mathbf{r}$$

$$= - \int_y^x \mathbf{E} \cdot d\mathbf{r}$$

$$= - \left(\int_R^x \mathbf{E} \cdot d\mathbf{r} - \int_R^y \mathbf{E} \cdot d\mathbf{r} \right) \quad (3-1)$$

จากสมการที่ (3-1) ทำให้สามารถได้สูตรคำนวณศักย์ไฟฟ้าที่จุดใดจุดหนึ่งใน
สนามไฟฟ้า \mathbf{E} ได้ดังสมการที่ (3-2)

$$v_x = - \int_R^x \mathbf{E} \cdot d\mathbf{r} \quad (3-2)$$

เมื่อ R คือ จุดอ้างอิง

เป็นที่ทราบว่าศักย์ไฟฟ้าเป็นพิigg กชั้นของตำแหน่ง โดยเฉพาะอย่างยิ่งในระบบพิกัด
笛卡尔 ใช้สัญลักษณ์ $v(x,y,z)$ ซึ่งการศึกษาการเปลี่ยนแปลงพิigg กชั้นสเกลาร์ v ในปริภูมิสามารถทำได้
โดยอาศัยทฤษฎีอนุพันธ์ย่ออย

$$dv = \frac{\partial v}{\partial x} dx + \frac{\partial v}{\partial y} dy + \frac{\partial v}{\partial z} dz \quad (3-3)$$

หรือในรูปการกำหนดตัวดำเนินการอนุพันธ์ที่เรียกว่า เดล (∇) ดังสมการที่ (3-4)

$$dv = \nabla v \cdot d\mathbf{r} \quad (3-4)$$

จากสมการที่ (3-20) สามารถสร้างความสัมพันธ์ระหว่างเกรเดียนต์ศักย์ไฟฟ้า และ
สนามไฟฟ้าได้ดังนี้

$$v_{xy} = v_x - v_y = - \int_y^x \mathbf{E} \cdot d\mathbf{r}$$

สามารถเขียนในรูปใหม่ของระบบพิกัด笛卡尔 ได้เป็น

$$\begin{aligned}
 -\int_y^x (\mathbf{E}_x dx + \mathbf{E}_y dy + \mathbf{E}_z dz) &= v(x_x, y_x, z_x) - v(x_y, y_y, z_y) \\
 &= \int_y^x dv(x, y, z) \\
 &= \int_y^x \left(\frac{\partial v}{\partial x} dx + \frac{\partial v}{\partial y} dy + \frac{\partial v}{\partial z} dz \right)
 \end{aligned} \tag{3-5}$$

เมื่อทำการเปรียบเทียบสัมประสิทธิ์ของพจน์ทางซ้ายเทียบกับขวาของสมการที่ (3-5) จะได้

$$\mathbf{E}_x = -\frac{\partial v}{\partial x}, \mathbf{E}_y = -\frac{\partial v}{\partial y}, \mathbf{E}_z = -\frac{\partial v}{\partial z} \tag{3-6}$$

หรือ

$$\mathbf{E} = -\nabla v \tag{3-7}$$

3.2.2 สมการปั่วส์ของและสมการลาปลาซ

จากสมการที่ (3-7) จะเห็นว่าสนามไฟฟ้าสามารถเขียนอยู่ในรูปของกรเดินต์ของ พึงก์ชันสเกลาร์ v ได้ และจากกฎของเกาส์ในรูปอนุพันธ์ ก็อ

$$\nabla \cdot \mathbf{E} = \frac{\rho}{\epsilon_0} \tag{3-8}$$

เมื่อ ρ ก็อ ความหนาแน่นประจุเชิงปริมาตรการกระจายของประจุไฟฟ้า (volume charge density)
 ϵ_0 ก็อ สภาพย้อมของอากาศว่าง (permittivity of free space)

สมการปั่วส์ซอง (poisson's equation) จากไดเวอร์เจนซ์ของ \mathbf{E} สามารถเขียนในรูปของพจน์ v ได้ดังนี้

$$\begin{aligned} \nabla \cdot \mathbf{E} &= \nabla \cdot (-\nabla v) \\ &= -\left(\frac{\partial^2 v}{\partial x^2} + \frac{\partial^2 v}{\partial y^2} + \frac{\partial^2 v}{\partial z^2} \right) \\ &= -\nabla^2 v \end{aligned} \quad (3-9)$$

จากสมการที่ (3-9) จะเห็นว่าสมการดังกล่าว คือ สมการที่มีการคำนวณการเดลสองครั้ง เพื่อให้ได้ออนุพันธ์อันดับสองซึ่งเรียกว่า ลาปลาเซียน (laplacian : ∇^2) และจากสมการข้างต้นสามารถจัดรูปตามกฎของเกาส์ในรูปออนุพันธ์ใหม่ได้เป็น

$$\nabla^2 v = -\frac{\rho}{\epsilon_0} \quad (3-10)$$

และจะเรียกสมการ (3-10) นี้ว่า สมการปั่วส์ซอง

สมการลาปลาซ (laplace's equation) บริเวณใด ๆ ในปริภูมิที่ไม่มีประจุ นั้นคือ $\rho = 0$ ดังนั้น สมการปั่วส์ซองจะกลายเป็น

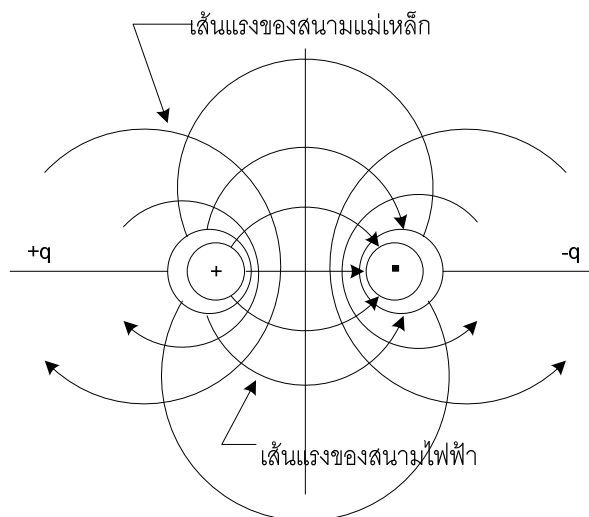
$$\nabla^2 v = 0 \quad (3-11)$$

ซึ่งสมการดังกล่าวสามารถเรียกได้ว่า สมการลาปลาซ

ทั้งสองสมการ คือ สมการปั่นส์ของและสมการคลาป่าซึ่งถูกนำมาใช้ในการคำนวณศักย์ไฟฟ้าและสนามไฟฟ้าในบริเวณสายส่งแรงสูงภายใต้สภาพของเขต (boundary condition) ตามระเบียบวิธีไฟฟ้านิพัทธ์คิฟเฟอร์เรนท์และระเบียบวิธีไฟฟ้านิโอลิเมนท์ ซึ่งจะได้กล่าวต่อไปในบทที่ 4 และ 5 ตามลำดับ

3.3 สายส่งกำลังไฟฟ้า

ตัวนำในสายส่งไฟฟ้าแรงสูงได้ ก็ตามที่มีความต่างศักย์ไฟฟ้าจะทำให้เกิดสนามไฟฟ้า E และเมื่อมีกระแสไฟฟ้าไหลผ่านตัวนำ จะมีสนามแม่เหล็ก B เกิดขึ้นรอบตัวนำนั้น ๆ จุดใด ๆ สนามไฟฟ้าและสนามแม่เหล็กจะตั้งฉากกันเสมอ ดังแสดงในรูปที่ 3.1

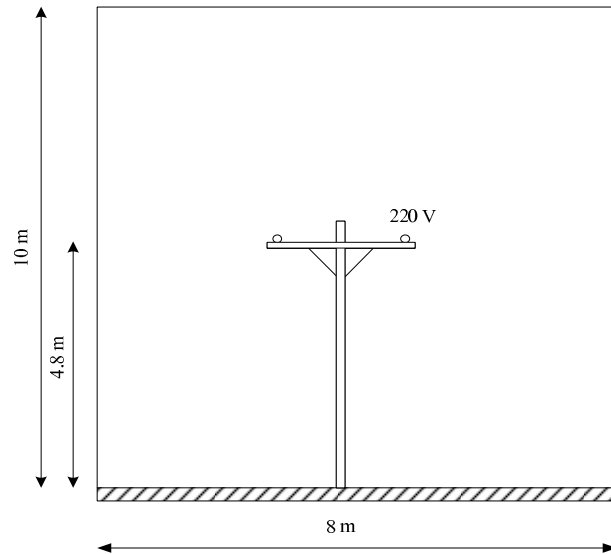


รูปที่ 3.1 สนามไฟฟ้าและสนามแม่เหล็กบริเวณรอบตัวนำ 2 เส้น
ที่มีความต่างศักย์ไฟฟ้าและกระแสไฟฟ้าไหลผ่าน

3.3.1 โครงสร้างระบบสายส่งไฟฟ้า 1 เฟสและ 3 เฟส

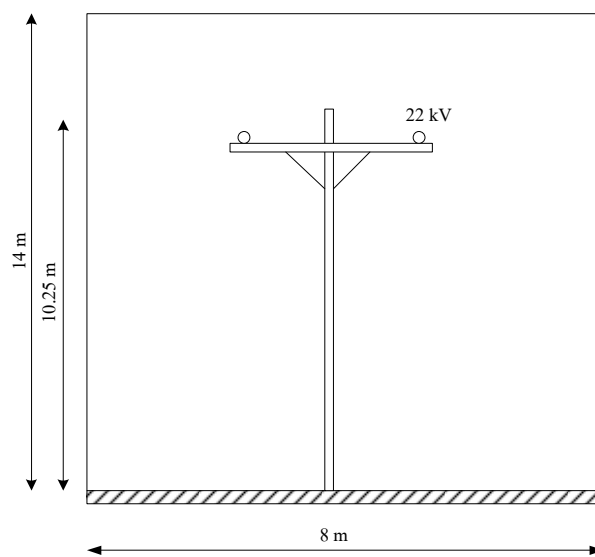
สำหรับในงานวิจัยจะทำการคำนวณค่าสนามไฟฟ้าที่กระจายรอบตัวนำ ตามระบบสายส่งไฟฟ้า 1 เฟสและ 3 เฟส โดยระบบไฟฟ้า 1 เฟสจะคำนึงถึงระบบไฟฟ้าที่มีพิกัดขนาด 220 V, 22 kV และ 69 kV ส่วนระบบไฟฟ้า 3 เฟสจะคำนึงถึงระบบไฟฟ้าที่มีพิกัดตั้งแต่ 69 kV, 115 kV, 230 kV และ 500 kV ซึ่งแต่ละระบบมีรายละเอียดและโครงสร้าง อันได้แก่ ตำแหน่งตัวนำ ระยะห่างระหว่างตัวนำ เป็นต้น ดังนี้

- ระบบไฟฟ้า 1 เฟสขนาด 220 V



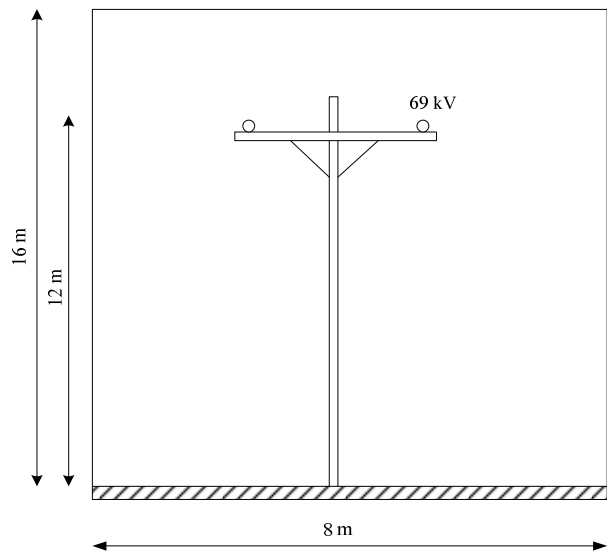
รูปที่ 3.2 โครงสร้างระบบสายส่ง 1 เฟสขนาด 220 V

- ระบบไฟฟ้า 1 เฟสขนาด 22 kV



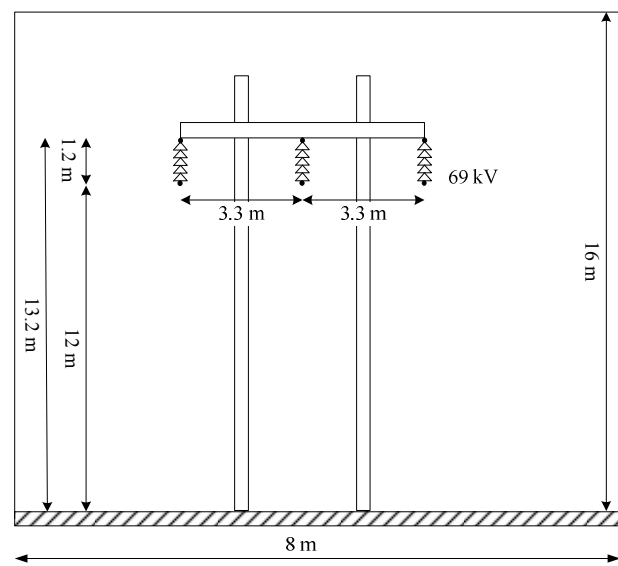
รูปที่ 3.3 โครงสร้างระบบสายส่ง 1 เฟสขนาด 22 kV

- ระบบไฟฟ้า 1 เฟสบนภาค 69 kV



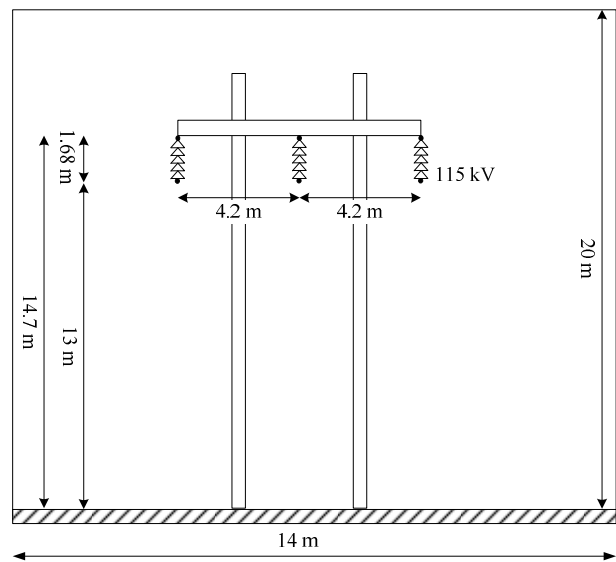
รูปที่ 3.4 โครงสร้างระบบสายต่อ 1 เฟสบนภาค 69 kV

- ระบบไฟฟ้า 3 เฟสบนภาค 69 kV



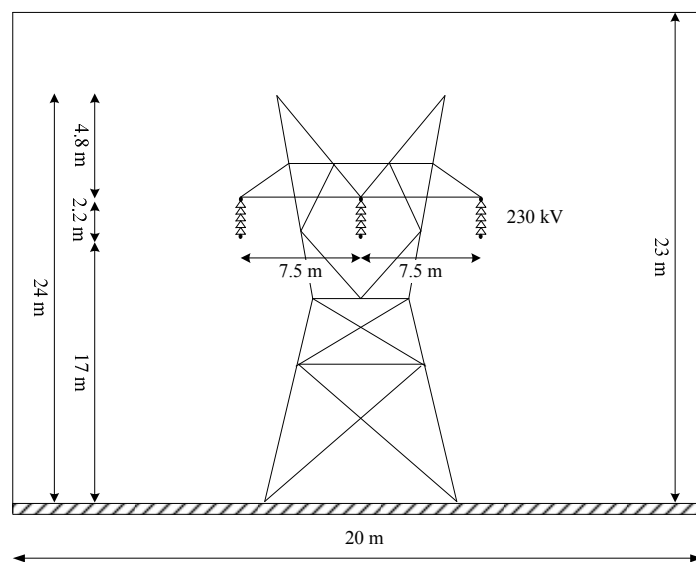
รูปที่ 3.5 โครงสร้างระบบสายต่อ 3 เฟสบนภาค 69 kV

- ระบบไฟฟ้า 3 เฟสบนภาค 115 kV



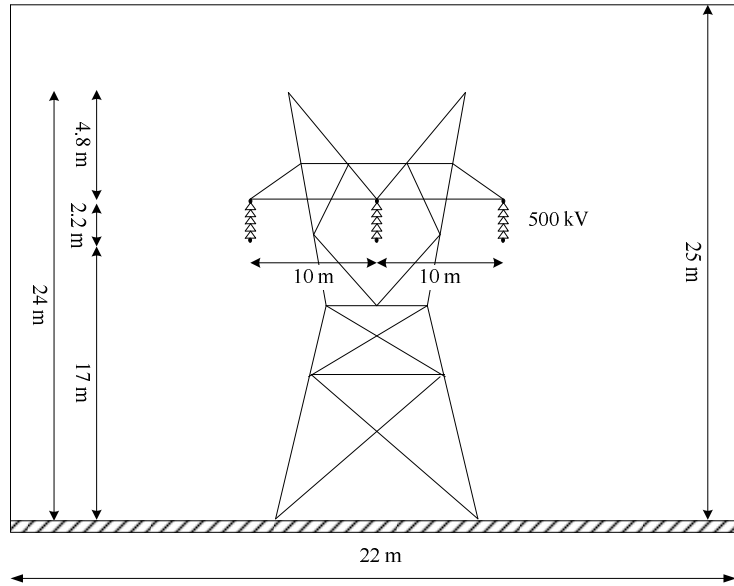
รูปที่ 3.6 โครงสร้างระบบสายส่ง 3 เฟสบนภาค 115 kV

- ระบบไฟฟ้า 3 เฟสบนภาค 230 kV



รูปที่ 3.7 โครงสร้างระบบสายส่ง 3 เฟสบนภาค 230 kV

- ระบบไฟฟ้า 3 เฟสบนด้วย 500 kV



รูปที่ 3.8 โครงสร้างระบบสายส่ง 3 เฟสบนด้วย 500 kV

3.3.2 หลักการเห็นใจว่า命名ไฟฟ้าภายในระบบสายส่ง

ค่าความเข้มสนามไฟฟ้าและสนามแม่เหล็กที่ต้องมีอยู่ในระบบห้องตัวนำนี้จะขึ้นอยู่กับระยะห่างจากตัวนำ ขนาดแรงดันและกระแสในตัวนำ ฉะนั้นตัวนำของระบบสายส่งจ่ายกำลังไฟฟ้าแรงสูง จึงถือได้ว่าเป็นแหล่งกำเนิดของสนามไฟฟ้า และสนามแม่เหล็กได้ประเภทหนึ่ง เพราะเนื่องจากตัวนำในสายส่งภายในระบบส่งจ่ายกำลังไฟฟ้า ประกอบไปด้วยผลคูณของแรงดัน V และกระแส I เมื่อใช้สายส่งจ่ายในการส่งกำลังไฟฟ้า ก็จะมีกระแสไฟไหลในตัวนำ นั้นก็คือจะมีสนามแม่เหล็กโดยรอบตัวนำสายส่งจ่าย ถ้าส่งกำลังไฟฟ้ามาก ๆ หากไม่เพิ่มแรงดัน ก็จะทำให้เกิดกระแสในสายส่งมีค่ามาก เป็นผลให้เกิดกำลังไฟฟ้าสูญเสียเนื่องจากความต้านทาน R ในสายส่ง คือ I^2R ฉะนั้นการส่งกำลังไฟฟ้าปริมาณมาก ๆ เป็นระยะทางไกล ๆ จึงต้องส่งจ่ายด้วยระบบแรงดันสูง เมื่อตัวนำสายส่งมีแรงดันสูง ก็จะก่อให้เกิดความเครียดสนามไฟฟ้าโดยรอบตัวนำมีค่าสูงขึ้น ความเครียดสนามไฟฟ้าสูงสุดเกิดขึ้นที่ผิwtัวนำไฟฟ้ากึ่งมีค่าสูงขึ้นด้วย ในสภาวะแวดล้อมที่เลวร้าย เช่น ความชื้นสูง มีฝุ่นละอองมาก เป็นต้น ความเครียดสนามไฟฟ้าที่ผิwtัวนำเปลือยหิ้งในอากาศ อาจจะทำให้เกิดการดิสชาร์จบางส่วนแบบโคโรนา (partial discharge corona) ได้จ่ายหิ้ง ซึ่งการที่มันจะมีอุปกรณ์ที่มีสายส่งไฟฟ้าแรงสูงพัดผ่านหรือการใช้อุปกรณ์สื่อสาร เช่น โทรศัพท์มือถือก็อาจทำให้ได้รับอันตรายจากการใช้งานใกล้สายส่งไฟฟ้าแรงสูงได้ เช่นกัน อันตราย

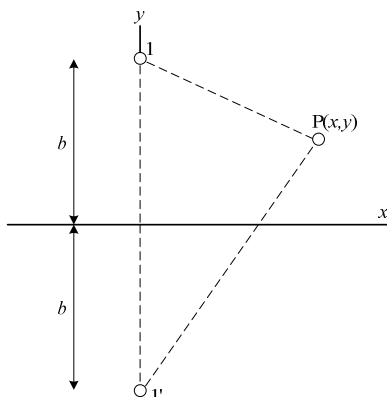
จากการอยู่ใกล้สายส่งแรงสูงสามารถแบ่งได้เป็น 3 กรณี คือ กรณีสนามไฟฟ้าจากระบบไฟฟ้า 1 เฟส กรณีสนามไฟฟ้า 3 เฟสไม่สมดุล และกรณีสนามไฟฟ้า 3 เฟสสมดุล ซึ่งค่าสนามไฟฟ้าที่มีผลกระทำต่อมนุษย์สามารถเกิดขึ้นได้จากค่าสนามไฟฟ้าที่มีค่าสูงขึ้นเนื่องจากความต่างศักย์ไฟฟ้าที่เกิดขึ้นระหว่างพื้นดินกับสายส่ง ตำแหน่งของมนุษย์ที่อยู่ใกล้สายส่ง เมื่อเทียบกับพื้นดินซึ่งสามารถทำให้เกิดความไม่สมดุลของสายส่งได้ และความไม่สมดุลของแรงดันภายในสายส่งแต่ละเส้น ก็สามารถก่อให้เกิดอันตรายจากสายส่งแรงสูงที่มีผลต่อมนุษย์ได้ในที่สุด

จากการศึกษาค่าสนามไฟฟ้าที่เกิดขึ้นรอบ ๆ สายส่งไฟฟ้าแรงสูงทั้งกรณีระบบไฟฟ้า 1 เฟสและ 3 เฟส จะเห็นว่าค่าสนามไฟฟ้าที่เกิดขึ้นมีปริมาณสูงมากพอที่จะทำให้เกิดอันตรายต่อวัตถุที่เคลื่อนเข้าใกล้สายส่งได้ โดยเฉพาะมนุษย์ ดังนั้น การหาพื้นที่ป้องกันหรือระยะห่างน้อยสุดระหว่างสายส่งแรงสูงกับมนุษย์ จึงเป็นสิ่งสำคัญ โดยในที่นี้จะทำการศึกษาค่าความเข้มสนามไฟฟ้าทั้งหมด 3 กรณี ได้แก่

- ความเข้มสนามไฟฟ้าเมื่อพิจารณา 1 เฟส
- ความเข้มสนามไฟฟ้าเมื่อพิจารณา 3 เฟสไม่สมดุล
- ความเข้มสนามไฟฟ้าเมื่อพิจารณา 3 เฟสสมดุล

ความเข้มสนามไฟฟ้าเมื่อพิจารณา 1 เฟส จากสายส่งที่ส่งผลกระแทก

จากรูปที่ 3.9 สามารถแทนตำแหน่งตัวนำสายส่งได้ด้วย 1 และ 1' จากสมการแมกซ์เวลล์ (Maxwell's equation) สามารถหาค่าศักย์ไฟฟ้า (electric potential: φ) ที่จุด $P(x,y)$ ณ ตำแหน่งใด ๆ (Gao, and Yu, 1998) ได้ดังสมการที่ (3-12)



รูปที่ 3.9 ความเข้มสนามไฟฟ้าของระบบไฟฟ้า 1 เฟส

$$\varphi(x, y) = \frac{U_1}{n_{11}} n_{1p} \text{ (V)} \quad (3-12)$$

และสามารถหาค่าสนามไฟฟ้าที่จุด $P(x, y)$ ณ ตำแหน่งใด ๆ ดังสมการที่ (3-13)

$$\mathbf{E} = -\frac{2bU_1}{n_{11}\sqrt{x^4 + y^4 + b^4 + 2b^2x^2 + 2x^2y^2 - 2b^2y^2}} \text{ (V/m)} \quad (3-13)$$

โดยที่ U_1 คือ ค่าแรงดันของสายสั่ง (V)

$n_{11} = \ln \frac{2b}{r}$ เป็นค่า self potential-coefficient ของสายสั่ง

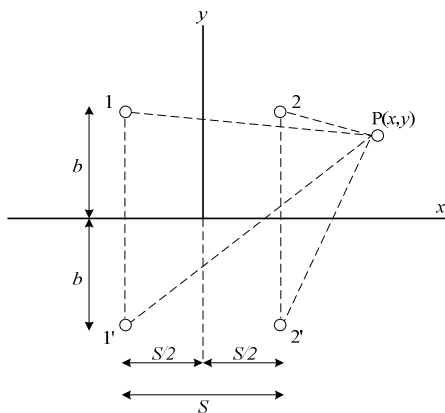
r คือ รัศมีของสายสั่ง

$n_{1p} = \ln \sqrt{\frac{x^2 + (b+y)^2}{x^2 + (b-y)^2}}$ เป็นค่า mutual potential-coefficient

- ความเข้มสนามไฟฟ้าของไฟ 3 เฟสไม่สมดุล จากสายสั่งที่ส่งผลกระแทบ

ต่อร่างกายมนุษย์

เนื่องจากไฟหนึ่งของสายสั่ง 3 เฟส ไม่สมดุล จะเปรียบเสมือนเป็นสายกราวด์ ดังนั้น จะเหลือสายสั่งเพียง 2 เฟสเท่านั้นที่จะส่งผลกระแทบต่อร่างกายมนุษย์ ดังรูปที่ 3.10 จาก สมการแมกซ์เวลล์สามารถหาค่าศักย์ไฟฟ้าที่จุด $P(x, y)$ ณ ตำแหน่งใด ๆ (Gao, and Yu, 1998) ดังสมการที่ (3-14)



รูปที่ 3.10 ความเข้มสนามไฟฟ้าของระบบไฟฟ้า 3 เฟสไม่สมดุล

$$\varphi(x, y) = \frac{\sqrt{3}(n_{1p} + n_{2p})U_1}{2(n_{11} + n_{12})} + j \frac{(n_{1p} - n_{2p})U_1}{2(n_{11} - n_{12})} \quad (3-14)$$

ឧបនិត្ត

$$\begin{aligned} \frac{\partial \varphi}{\partial x} &= \frac{\sqrt{3}U_1}{4(n_{11} + n_{12})} \left\{ \begin{array}{l} \frac{S+2x}{(\frac{S}{2}+x)^2+(b+y)^2} - \frac{S+2x}{(\frac{S}{2}+x)^2+(b-y)^2} \\ - \frac{S-2x}{(\frac{S}{2}-x)^2+(b+y)^2} + \frac{S-2x}{(\frac{S}{2}-x)^2+(b-y)^2} \end{array} \right\} \\ &+ j \frac{U_1}{4(n_{11} - n_{12})} \left\{ \begin{array}{l} \frac{S+2x}{(\frac{S}{2}+x)^2+(b+y)^2} - \frac{S+2x}{(\frac{S}{2}+x)^2+(b-y)^2} \\ + \frac{S-2x}{(\frac{S}{2}-x)^2+(b+y)^2} - \frac{S-2x}{(\frac{S}{2}-x)^2+(b-y)^2} \end{array} \right\} \end{aligned} \quad (3-15)$$

$$\begin{aligned} \frac{\partial \varphi}{\partial y} &= \frac{\sqrt{3}U_1}{2(n_{11} + n_{12})} \left\{ \begin{array}{l} \frac{b+y}{(\frac{S}{2}+x)^2+(b+y)^2} - \frac{b-y}{(\frac{S}{2}+x)^2+(b-y)^2} \\ - \frac{b+y}{(\frac{S}{2}-x)^2+(b+y)^2} + \frac{b-y}{(\frac{S}{2}-x)^2+(b-y)^2} \end{array} \right\} \\ &+ j \frac{U_1}{2(n_{11} - n_{12})} \left\{ \begin{array}{l} \frac{b+y}{(\frac{S}{2}+x)^2+(b+y)^2} - \frac{b-y}{(\frac{S}{2}+x)^2+(b-y)^2} \\ - \frac{b+y}{(\frac{S}{2}-x)^2+(b+y)^2} - \frac{b-y}{(\frac{S}{2}-x)^2+(b-y)^2} \end{array} \right\} \end{aligned} \quad (3-16)$$

គុណភាព

$$n_{1p} = \ln \sqrt{\frac{(\frac{S}{2}+x)^2+(b+y)^2}{(\frac{S}{2}+x)^2+(b-y)^2}} \text{ ជីវិតា mutual potential-coefficient នៃខ្លួនឯង P(x,y) ក្នុងតាមសំណើ 1}$$

$$n_{2p} = \ln \sqrt{\frac{(\frac{S}{2}-x)^2 + (b+y)^2}{(\frac{S}{2}-x)^2 + (b-y)^2}}$$

เป็นค่า mutual potential-coefficient ระหว่างจุด $P(x,y)$ กับสายส่งเส้นที่ 2

$$n_{11} = \ln \frac{2b}{r}$$

เป็นค่า self potential-coefficient ของสายส่ง

$$n_{12} = \ln \sqrt{1 + \frac{4b^2}{S^2}}$$

เป็นค่า mutual potential-coefficient ระหว่างสายส่งเส้นที่ 1 กับสายส่งเส้นที่ 2

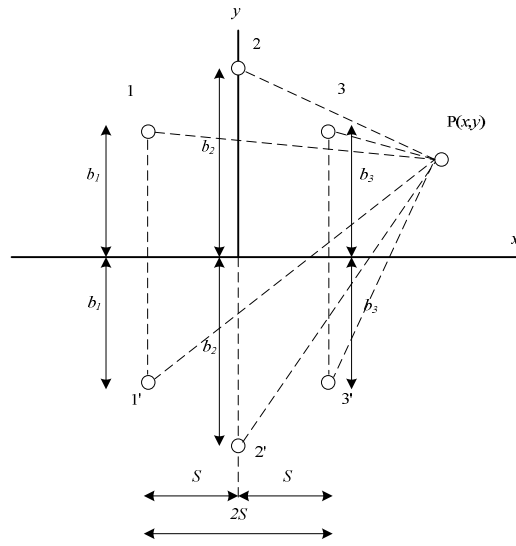
ซึ่งจากการหาค่า $\frac{\partial \varphi}{\partial x}$ และ $\frac{\partial \varphi}{\partial y}$ สามารถหาค่าสนามไฟฟ้าที่จุด $P(x,y)$ ณ ตำแหน่งใด ๆ ได้ดังสมการที่ (3-17)

$$\mathbf{E} = \sqrt{\left| \frac{\partial \varphi}{\partial x} \right|^2 + \left| \frac{\partial \varphi}{\partial y} \right|^2} \quad (3-17)$$

- ความเข้มสนามไฟฟ้าของไฟ 3 เฟสสมดุล จากสายส่งที่ส่งผลกระทบต่อร่างกายมนุษย์

จากการศึกษาค่าสนามไฟฟ้าที่มีผลกระทบต่อมนุษย์ทั้ง 2 กรณีที่ผ่านมา จะเห็นว่า เนื่องจากความไม่สมดุลของแรงดันภายในสายส่งแต่ละเส้นเป็นสาเหตุที่ทำให้เกิดอันตรายต่อมนุษย์ ดังนี้ ในการศึกษาผลกระทบของสนามไฟฟ้าระหว่างสายส่งแรงสูงกับมนุษย์อาจเลือกรากษาค่าสนามไฟฟ้าของระบบไฟฟ้า 3 เฟสสมดุลได้ อย่างไรก็ตาม ผลกระทบจากสนามไฟฟ้าของระบบไฟฟ้า 3 เฟสสมดุลอาจจะส่งผลกระทบถึงมนุษย์ได้ เพราะค่าสนามไฟฟ้าจะมีค่าสูง ได้เนื่องจากความแตกต่างของค่าศักย์ไฟฟ้าระหว่างพื้นดินกับสายส่ง 3 เฟสที่มีความแตกต่างกันมาก และตำแหน่งของมนุษย์ที่อยู่ใกล้สายส่ง เมื่อเทียบกับพื้นดินจึงทำให้เกิดความไม่สมดุลของสายส่ง ได้ ซึ่งถ้าร่างกายมนุษย์อยู่ในตำแหน่งนี้เป็นเวลานานอาจจะทำให้เกิดอันตรายจากสายส่ง ได้ เช่นกัน

ในระบบไฟฟ้า 3 เฟสสมดุลสามารถแสดงได้ดังรูปที่ 3.11 ซึ่งเป็นการคำนวณหาค่าสนามไฟฟ้าได้ในทำนองเดียวกับกรณีความเข้มสนามไฟฟ้าของไฟ 3 เฟสไม่สมดุล



รูปที่ 3.11 ความเข้มสนามไฟฟ้าของระบบไฟฟ้า 3 เฟสสมดุล

จากสมการแม่กล่ำความสามารถหาค่า $\frac{\partial\varphi}{\partial x}$ และ $\frac{\partial\varphi}{\partial y}$ ได้ดังสมการที่ (3-18) และ (3-19) ดังนี้

$$\frac{\partial\varphi}{\partial x} = -\frac{U_1}{\sqrt{3}(n_{l1}-n_{l2})} \left\{ \begin{aligned} & \frac{S+x}{(S+x)^2+(b_1+y)^2} - \frac{S+x}{(S+x)^2+(b_1-y)^2} \\ & + (0.5+j0.866) \left[\frac{x}{x^2+(b_2-y)^2} - \frac{x}{x^2+(b_2+y)^2} \right] \\ & + (0.5-j0.866) \left[\frac{x-S}{(x-S)^2+(b_3-y)^2} - \frac{x-S}{(x-S)^2+(b_3+y)^2} \right] \end{aligned} \right\} \quad (3-18)$$

$$\frac{\partial\varphi}{\partial y} = -\frac{U_1}{\sqrt{3}(n_{l1}-n_{l2})} \left\{ \begin{aligned} & \frac{b_1+y}{(S+x)^2+(b_1+y)^2} - \frac{b_1-y}{(S+x)^2+(b_1-y)^2} \\ & + (0.5+j0.866) \left[\frac{b_2-y}{x^2+(b_2-y)^2} - \frac{b_2+y}{x^2+(b_2+y)^2} \right] \\ & + (0.5-j0.866) \left[\frac{b_3-y}{(x-S)^2+(b_3-y)^2} - \frac{b_3+y}{(x-S)^2+(b_3+y)^2} \right] \end{aligned} \right\} \quad (3-19)$$

ซึ่งจากการหาค่า $\frac{\partial \varphi}{\partial x}$ และ $\frac{\partial \varphi}{\partial y}$ สามารถหาค่าสนามไฟฟ้าที่จุด $P(x,y)$ ณ ตำแหน่งใด ๆ ได้ดังสมการที่ (3-20)

$$\mathbf{E} = \sqrt{\left| \frac{\partial \varphi}{\partial x} \right|^2 + \left| \frac{\partial \varphi}{\partial y} \right|^2} \quad (3-20)$$

3.4 โทรศัพท์มือถือ

จากการศึกษาผลกระบวนการของสนามไฟฟ้าที่มีต่อมนุษย์เมื่ออยู่ใกล้บริเวณสายส่งไฟฟ้าแรงสูงที่อาจทำให้ได้รับอันตรายจากการเหนี่ยวนำระหว่างมนุษย์กับสายส่งนั้น ยังสามารถพิจารณาอีกสาเหตุหนึ่งที่อาจส่งผลให้เกิดอันตรายระหว่างมนุษย์กับสายส่งไฟฟ้าแรงสูงได้อีก นั้นคือ การใช้งานอุปกรณ์สื่อสารใกล้สายส่งไฟฟ้าแรงสูง เพราะเนื่องจากหลักการทำงานของโทรศัพท์มือถือ คือ การเปลี่ยนแปลงอากาศบริเวณรอบ ๆ โทรศัพท์มือถือจากที่มีสภาพเป็นอนุวันให้มีสภาพคล้ายเป็นตัวนำ เพื่อให้สามารถรับข้อมูลการติดต่อสื่อสารจากดาวเทียมหรือสถานีส่งสัญญาณได้ โดยอาศัยหลักการเหนี่ยวนำของสนามไฟฟ้า ถ้าการใช้งานโทรศัพท์มือถือเกิดขึ้นบริเวณใกล้สายส่งไฟฟ้าแรงสูงอาจจะทำให้เกิดการเหนี่ยวนำของสนามไฟฟ้ากันเองระหว่างโทรศัพท์มือถือกับสายไฟฟ้าแรงสูง ถ้าการเหนี่ยวนำของสนามไฟฟ้าระหว่างโทรศัพท์มือถือกับสายไฟฟ้าแรงสูงมีค่าสูงเกินกว่าค่าความเครียดสนามไฟฟ้าวิกฤตของอากาศโดยรอบ จะก่อให้เกิดกระแสไฟฟ้าเหนี่ยวนำที่สามารถไหลผ่านอากาศเข้ามาผ่านโทรศัพท์มือถือ และส่งผลให้เกิดอันตรายถึงชีวิตแก่ผู้ใช้งานได้ในที่สุด ด้วยเหตุนี้จึงทำการศึกษาค่าสนามไฟฟ้าที่เกิดขึ้นบนโทรศัพท์มือถือ และศึกษาผลกระบวนการที่เกิดขึ้นจากการใช้งานโทรศัพท์มือถือใกล้สายส่งไฟฟ้าแรงสูง โดยพิจารณาจากการเปลี่ยนแปลงค่าสนามไฟฟ้าที่เกิดขึ้นภายในระบบ

สำหรับการคำนวณค่าสนามไฟฟ้าระหว่างระบบไฟฟ้าแรงสูงกับโทรศัพท์มือถือ จะกำหนดให้โทรศัพท์มือถือเปรียบเสมือนเป็นแหล่งกำเนิดค่าสนามไฟฟ้าเพียงจุดเดียว (monopole) ซึ่งสามารถทราบค่าสนามไฟฟ้าได้จากตารางที่ 3.1 (Selim, Apaydm, and Celik, 2003)

ตารางที่ 3.1 ค่าสนามไฟฟ้าสูงสุดในแต่ละด้านของโทรศัพท์มือถือในระหว่างการรับสาย
 (Incoming call phase) โทรออก (Outgoing call phase) และสนทนากลุ่ม (Talking phase)

Phone			
PANASONIC GD90			
	Outgoing call	Incoming call	Talking phase
Front side	30.5 V/m	26.1 V/m	23.5 V/m
Back side	30.5 V/m	25.2 V/m	23.1 V/m
Left side	34.5 V/m	30.5 V/m	22.3 V/m
Right side	32.5 V/m	26.2 V/m	20.5 V/m
ERICSSON GH688			
	Outgoing call	Incoming call	Talking phase
Front side	68.0 V/m	47.5 V/m	38.3 V/m
Back side	68.2 V/m	46.3 V/m	34.5 V/m
Left side	69.2 V/m	48.5 V/m	36.4 V/m
Right side	58.1 V/m	40.2 V/m	28.3 V/m
ALCATEL			
	Outgoing call	Incoming call	Talking phase
Front side	40.5 V/m	33.2 V/m	22.5 V/m
Back side	33.5 V/m	31.2 V/m	21.5 V/m
Left side	27.5 V/m	23.5 V/m	17.5 V/m
Right side	25.6 V/m	21.5 V/m	15.6 V/m
NOKIA 3210			
	Outgoing call	Incoming call	Taking phase
Front side	45.5 V/m	37.2 V/m	26.3 V/m
Back side	48.5 V/m	47.2 V/m	35.1 V/m
Left side	33.5 V/m	27.2 V/m	18.6 V/m
Right side	48.2 V/m	47.6 V/m	30.2 V/m

จากการคำนวณหาค่าสนามไฟฟ้าดังกล่าว สามารถนำค่าสนามไฟฟ้าจากโทรศัพท์มือถือ nokia 3210 ที่เกิดขึ้นในบริเวณ Front side, Back side, Left side และ Right side มาใช้ในการกำหนดสถานะของเขต (boundary condition) ตามระเบียนวิธีไฟโนท์ดิฟเฟอร์เรนท์และระเบียนวิธีไฟโนท์ อลิเมนท์ได้ซึ่งจะได้กล่าวต่อไปในบทที่ 4 และ 5 ตามลำดับ

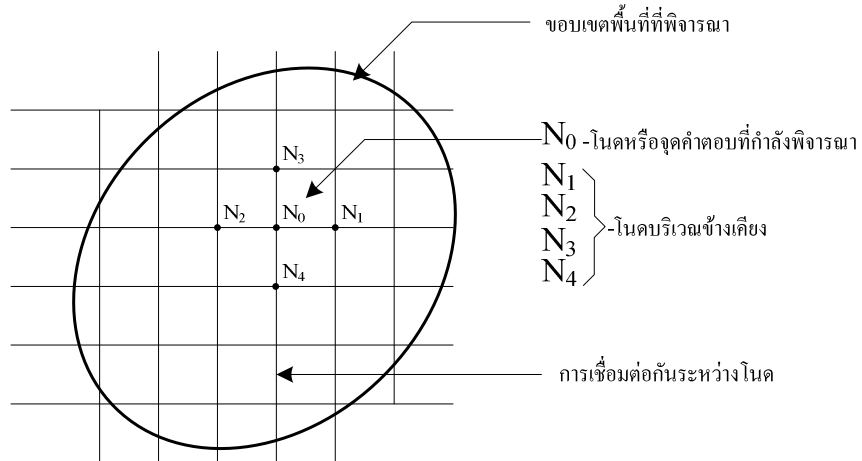
3.5 ระเบียนวิธีไฟโนท์ดิฟเฟอร์เรนท์

เนื่องจากปัญหาทางวิศวกรรมศาสตร์โดยส่วนมากแล้ว จะมีแบบจำลองคณิตศาสตร์อยู่ในรูปสมการเชิงอนุพันธ์หรือสมการอินทิกรัล สำหรับในกรณีที่เป็นสมการเชิงอนุพันธ์ย่อย (partial differential equation: PDE) โดยส่วนมากมักจะต้องหาผลเฉลยด้วยวิธีประมาณ เพราะเนื่องจากความซับซ้อนของสมการเชิงอนุพันธ์นั้นเอง วิธีการหาผลเฉลยด้วยวิธีประมาณในปัจจุบันมีหลายวิธี ซึ่งมีอยู่วิธีหนึ่งที่ได้รับความนิยมอย่างกว้างขวางจากอดีตจนถึงปัจจุบัน คือ ระเบียนวิธีไฟโนท์ดิฟเฟอร์เรนท์ (finite difference method: FDM) โดยวิธีนี้จะแบ่งวัตถุของระบบปัญหาที่สนใจออกเป็นช่องตารางสี่เหลี่ยม ซึ่งตารางสี่เหลี่ยมเหล่านี้จะมีโนด (nodes) ที่เชื่อมต่อกันแบบจุดต่อจุดตามมุมของสี่เหลี่ยมต่าง ๆ และจะมีตัวแปรไม่ทราบค่าขึ้นอยู่กับจำนวนโนดตามขนาดของปัญหานั้น ใน การแบ่งตารางสี่เหลี่ยมหรือออกแบบกริดให้กับระบบจะไม่มีหลักการตายตัวสำหรับการออกแบบ ขึ้นอยู่กับความต้องการของผู้คำนวณว่าต้องการอย่างไร จุดต้องที่มีความละเอียดมากน้อยเพียงใด ถ้าหากต้องการทราบจุดคำนวณที่มีความละเอียดสูง ก็ต้องใช้ขนาดตารางสี่เหลี่ยมที่มีขนาดเล็กลงนั้นคือ การเพิ่มจำนวนตารางสี่เหลี่ยมให้มากขึ้น และจะส่งผลให้สามารถจำลองรูปร่างลักษณะดังเดิมของระบบดังกล่าวได้ใกล้เคียงมากยิ่งขึ้น แต่ในขณะเดียวกันจำนวนโนดที่พิจารณาจะเพิ่มมากขึ้นจนทำให้จำนวนสมการของระเบียนวิธีไฟโนท์ดิฟเฟอร์เรนท์มีจำนวนมากขึ้นด้วย และจะทำให้กระบวนการแก้สมการจะต้องอาศัยระยะเวลาในการหาผลเฉลยที่มากขึ้น แต่อย่างไรก็ตามระเบียนวิธีดังกล่าวก็เป็นระเบียนวิธีที่ง่ายต่อการศึกษาและทำความเข้าใจ รวมถึงมีความสะดวกในการเขียนโปรแกรมคอมพิวเตอร์เพื่อใช้ในการหาผลเฉลยของปัญหานั้น ๆ สำหรับขั้นตอนโดยทั่วไปของระเบียนวิธีไฟโนท์ดิฟเฟอร์เรนท์จะประกอบไปด้วย 5 ขั้นตอน ซึ่งสามารถอธิบายขั้นตอนดังนี้ ได้ดังต่อไปนี้

1) การออกแบบกริดให้กับระบบ

การแบ่งขอบเขตของระบบที่ต้องการหาผลเฉลยออกเป็นตารางสี่เหลี่ยมย่อย ๆ โดยสี่เหลี่ยมแต่ละช่องจะมีการเชื่อมต่อกันโดยอาศัยโนดต่าง ๆ เป็นตัวเชื่อม ดังสามารถแสดงในรูปที่ 3.12

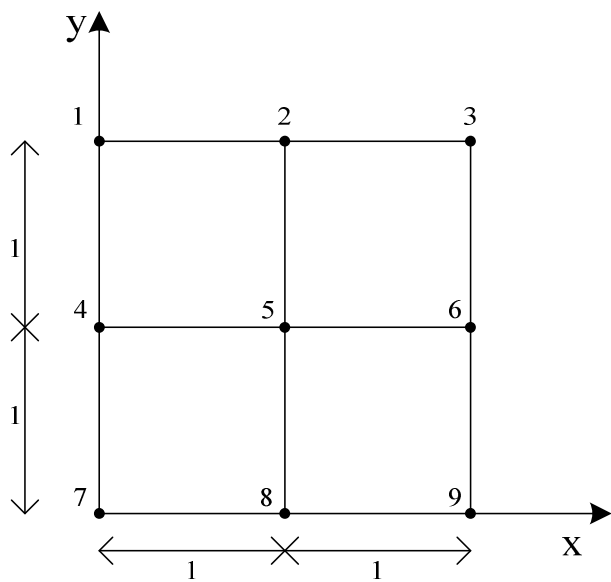
จากขั้นตอนที่ 1) เมื่อออกรูปแบบกริดให้กับระบบเรียบร้อยแล้ว สิ่งที่สำคัญและจำเป็นในการโปรแกรมด้วยคอมพิวเตอร์ คือ ความสัมพันธ์ระหว่างหมายเลขโนดที่พิจารณา กับหมายเลขโนดบริเวณข้างเคียงตามรูปที่ 3.12 รวมถึงค่าตำแหน่งพิกัดของแต่ละโนดภายในระบบ ซึ่งสามารถยกตัวอย่างตามรูปที่ 3.13 โดยสามารถสรุปได้เป็นตารางที่ 3.2 และตารางที่ 3.3 ตามลำดับ



รูปที่ 3.12 การตีกริตรูปสี่เหลี่ยมของระบบที่เปลี่ยนไปในที่ดินฟเฟอร์เรนท์ 2 มิติ

ตารางที่ 3.2 ลักษณะข้อมูลของโนด

หมายเลขโนด (N ₀)	หมายเลขโนดรอบข้าง				
	(N ₁)	(N ₂)	(N ₃)	(N ₄)	
1	2	-	-	4	
2	3	1	-	5	
3	-	2	-	6	
4	5	-	1	7	
5	6	4	2	8	
6	-	5	3	9	
7	8	-	4	-	
8	9	7	5	-	
9	-	8	6	-	



รูปที่ 3.13 รูปร่างของปัญหาที่ประกอบด้วยกริดสี่เหลี่ยมจำนวน 9 โหนด

ตารางที่ 3.3 ลักษณะพิกัดในแต่ละโหนด

หมายเลขโหนด	พิกัดแกน x	พิกัดแกน y
1	0	2
2	1	2
3	2	2
4	0	1
5	1	1
6	2	1
7	0	0
8	1	0
9	2	0

2) พังก์ชันการประมาณภายในแต่ละโนด

เนื่องจากกริดที่ใช้ในการคำนวณเป็นรูปสี่เหลี่ยม ดังนั้นในการพิจารณา 1 ครั้งจึงประกอบไปด้วยโนดทั้งหมด 5 โนด คือ โนดที่พิจารณา 1 โนดกับโนดบริเวณข้างเคียงอีก 4 โนด ซึ่งในการประมาณค่าปัญหา 2 มิติจะต้องอาศัยการประมาณแบบ 1 มิติเป็นพื้นฐาน ซึ่งมีรายละเอียดดังต่อไปนี้

การหาอนุพันธ์อันดับ 1 ของพังก์ชัน f ได้ ๆ สามารถหาได้ดังสมการที่ (3-21)

$$\frac{df}{dx} = \lim_{\Delta x \rightarrow 0} \frac{f(x + \Delta x) - f(x)}{\Delta x} \quad (3-21)$$

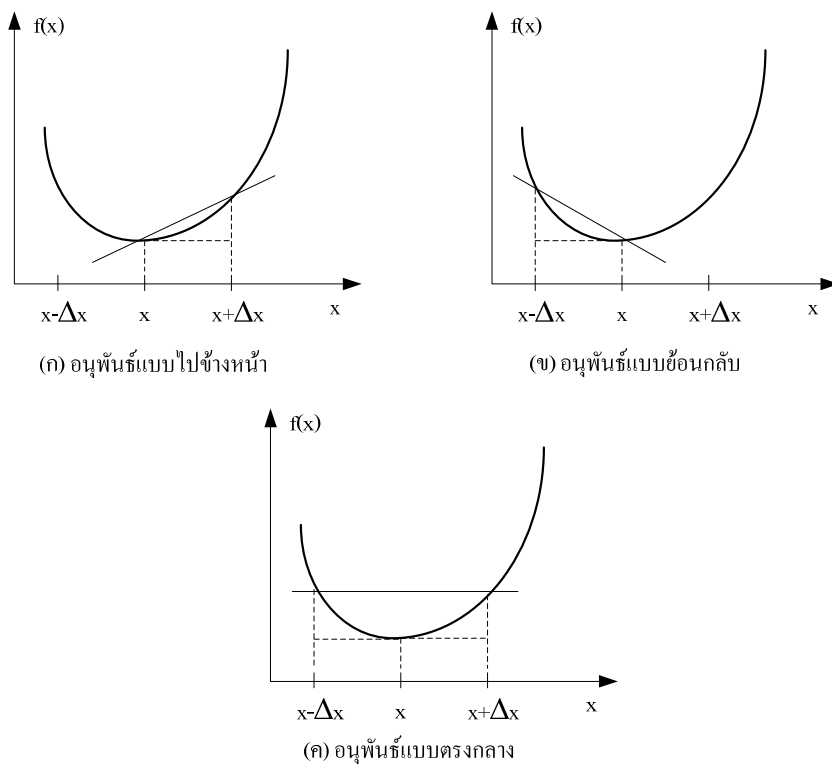
จากสมการที่ (3-21) จะเปลี่ยนวิธีไฟในที่ดินฟเฟอร์เรนท์สามารถประมาณสมการใหม่ได้เป็น

$$\frac{df}{dx} \approx \frac{f(x + \Delta x) - f(x)}{\Delta x} \quad (3-22)$$

การที่สามารถประมาณค่าจากสมการที่ (3-21) ไปเป็นสมการที่ (3-22) ได้ เป็นเพราะอาศัยทฤษฎีอนุกรม泰勒 (taylor series) นั้นคือ การถะเบยตั้งแต่เทอมที่ 3 ของอนุกรม泰ล์เลอร์เป็นต้นไป ซึ่งจากการดำเนินการและอาศัยสมการที่ (3-22) ดังกล่าว ทำให้สามารถสร้างพังก์ชันในการประมาณค่าได้ 3 รูปแบบ คือ อนุพันธ์แบบไปข้างหน้า (forward scheme) อนุพันธ์แบบข้อนหลัง (backward scheme) และอนุพันธ์แบบตรงกลาง (central scheme) ซึ่งสามารถแสดงได้ดังสมการที่ (3-23), (3-24) และ (3-25) ตามลำดับ

อนุพันธ์แบบไปข้างหน้า:

$$\frac{df}{dx} \approx \frac{f(x + \Delta x) - f(x)}{\Delta x} \quad (3-23)$$



รูปที่ 3.14 การประมาณค่าอนุพันธ์แบบต่าง ๆ

อนุพันธ์แบบข้อนหลัง:

$$\frac{df}{dx} \approx \frac{f(x) - f(x - \Delta x)}{\Delta x} \quad (3-24)$$

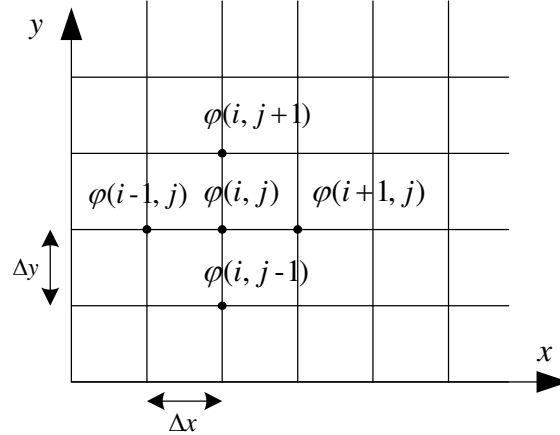
อนุพันธ์แบบตรงกลาง:

$$\frac{df}{dx} \approx \frac{f(x + \Delta x) - f(x - \Delta x)}{2\Delta x} \quad (3-25)$$

จากความรู้เรื่องการประมาณแบบ 1 มิติ เมื่อทำการพิจารณาปัญหา 2 มิติจะได้ค่าณ ตำแหน่งโนดใด ๆ ซึ่งเกิดจากผลรวมเชิงเส้นของค่าณ ตำแหน่งโนดรอบข้างนั้น ๆ โดยสำหรับปัญหาระบบ 2 มิติ ที่มีรูปแบบ xy ตามรูปที่ 3.15 จะลูกกำหนดให้ระบบมีแหล่งจ่ายอิสระ และมีค่า

ขอบเขต (boundary condition) อยู่ในรูปศักย์ไฟฟ้าที่สามารถจัดให้อยู่ในรูปอนุพันธ์ ซึ่งปัญหาดังกล่าวสามารถแสดงได้ในรูปสมการลากลาก

$$\nabla^2 \varphi = 0 \quad (3-26)$$



รูปที่ 3.15 โครงสร้างโนดข้อสำหรับปัญหา 2 มิติ

โดยที่ φ คือ ค่าศักย์ไฟฟ้าที่ไม่ทราบค่าภายในระบบที่พิจารณา

สำหรับปัญหาระบบ 2 มิติในระบบพิกัด笛卡尔 สามารถหาค่าศักย์ไฟฟ้าได้ตามสมการที่ (3-27)

$$\frac{\partial^2 \varphi}{\partial x^2} + \frac{\partial^2 \varphi}{\partial y^2} = 0 \quad (3-27)$$

จากสูตรอนุพันธ์แบบตรงกลาง กับอนุพันธ์อันดับ 2 จะได้

$$\frac{\partial^2 \varphi}{\partial x^2} = \frac{\varphi(i+1, j) - 2\varphi(i, j) + \varphi(i-1, j)}{(\Delta x)^2} \quad (3-28)$$

$$\frac{\partial^2 \varphi}{\partial y^2} = \frac{\varphi(i, j+1) - 2\varphi(i, j) + \varphi(i, j-1)}{(\Delta y)^2} \quad (3-29)$$

แทนค่าสมการที่ (3-28) กับ (3-29) ในสมการตาปเลาที่ (3-27) จะได้สูตรการคำนวณตามสมการที่ (3-30)

$$\varphi(i, j) = \frac{1}{4} [\varphi(i+1, j) + \varphi(i-1, j) + \varphi(i, j+1) + \varphi(i, j-1)] \quad (3-30)$$

3) สร้างสมการรวมของระบบ

นำสมการของแต่ละโนดที่ได้ภายในระบบมาประกอบรวมกัน (assembly) เป็นสมการรวมของระบบ จากขั้นตอนที่ 1 ถ้าทำการแบ่งลักษณะรูปร่างของปัญหาออกเป็นโนดย่อย ๆ ทั้งหมด n โนด จะก่อให้เกิดระบบสมการรวมซึ่งประกอบไปด้วยสมการย่อยทั้งหมด n สมการ

4) เสื่อนไทรเริ่มต้นและเสื่อนไทรค่าขอบเขต

ประยุกต์เสื่อนไทรเริ่มต้นและเสื่อนไทรค่าขอบเขตที่เกี่ยวข้อง ให้สอดคล้องและเหมาะสมกับปัญหา ใส่ลงในสมการรวมของระบบเพื่อหาค่าผลเฉลย โดยการแก้สมการรวมของระบบเพื่อหาตัวแปรไม่ทราบค่าที่โนดต่าง ๆ

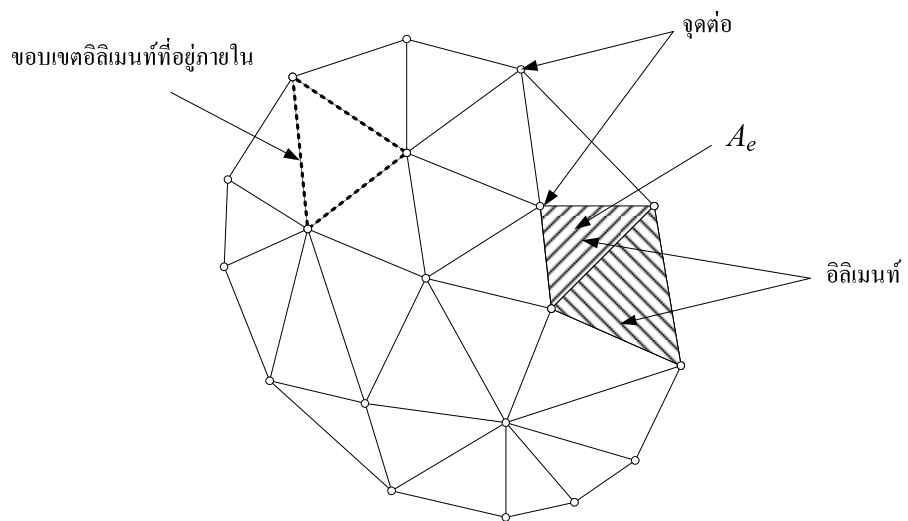
5) คำนวณหาค่าตัวแปรต่าง ๆ ภายในระบบ

จากขั้นตอนที่ 5 ขั้นตอนจะเห็นว่า ถึงแม้วิธีดังกล่าวจะทำความเข้าใจง่าย แต่ถ้าระบบที่พิจารณา มีรูปร่างโถกโถน หรือโครงสร้างที่ซับซ้อน เช่น ชิ้นส่วนของเครื่องจักรกล ไฟฟ้า เป็นต้น จึงทำให้ระบบเป็นรูปที่ซับซ้อนมาก ไม่สามารถรับความนิยมในภาคหลัง แต่เนื่องจากงานวิจัยนี้เป็นงานวิจัยที่มุ่งเน้นการวิเคราะห์สนามไฟฟ้ารอบสายส่งไฟฟ้าแรงสูง บริเวณโดยรอบเป็นพื้นที่โล่ง ไม่มีสิ่งกีดขวาง ทำให้ระบบดังกล่าวเป็นระบบเปิดกว้าง และไม่มีความซับซ้อน จึงสามารถออกแบบกริดของระบบที่พิจารณาได้อย่างอิสระ ซึ่งจะไม่ก่อให้เกิดปัญหาจากการใช้ระบบวิธีไฟฟ้าในที่ดิฟเฟอร์เรนท์

3.6 ระบบวิธีไฟฟ้าในท่ออิเลมานท์

หลักการของระบบวิธีไฟฟ้าในท่ออิเลมานท์ ในขั้นต้นจะคล้ายกับระบบวิธีไฟฟ้าในที่ดิฟเฟอร์เรนท์ คือ เริ่มจากการแบ่งรูปร่างของปัญหาออกเป็นพื้นที่หลาย ๆ ส่วนที่เรียกว่า “อิเลมานท์” โดยที่การกระจัด และแรงภายในของแต่ละอิเลมานท์ ณ จุดที่อิเลมานท์ต่อโdygkhan จะต้องเข้ากันได้และสมดุล ซึ่งอิเลมานท์ต่าง ๆ นี้ จะขึ้นอยู่กับความละเอียดของแต่ละงานว่าต้องการรูปร่างลักษณะ ใกล้เคียงกับของจริงดังเดิมมากเท่าไร ซึ่งอาจอยู่ในรูปลักษณะของสามเหลี่ยมและสี่เหลี่ยมด้านไม่เท่ากันได้ ดังนั้นค่าผลเฉลยโดยประมาณที่มีจำนวนที่นับได้ที่จะคำนวณออกมานี้ มีความแม่นยำ

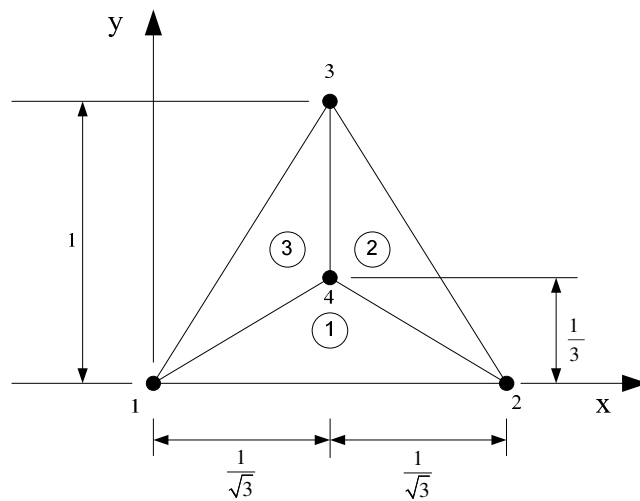
มากขึ้น ซึ่งความแม่นยำนี้ขึ้นอยู่กับขนาด และจำนวนของอิลิเมนท์ที่ใช้ในการแก้ปัญหานั้น ซึ่งขั้นตอนโดยทั่วไปของวิธีไฟไนท์อิลิเมนท์ประกอบไปด้วยขั้นตอนใหญ่ ๆ ทั้งหมด 6 ขั้นตอน (ปราโมทย์ เศษอ่าไฟ, 2542) โดยมีรายละเอียดดังนี้ คือ



รูปที่ 3.16 การแบ่งรูปร่างของปัญหาออกเป็นอิลิเมนท์

1) การออกแบบอิลิเมนท์ย่อยให้กับระบบ (discretization) แบ่งขอบเขต_rup_r่างของระบบปัญหาที่ต้องการหาผลลัพธ์ออกเป็นอิลิเมนท์ย่อย ๆ โดยแต่ละอิลิเมนท์จะมีพื้นที่ A_e ดังแสดงในรูปที่ 3.16 ซึ่งเป็นรูปแสดงการแบ่งอิลิเมนท์ของรูปร่างปัญหาแบบ 2 มิติ (ระบบ xy) โดยใช้อิลิเมนท์รูปสามเหลี่ยมสามจุดต่อ ซึ่งประกอบไปด้วยโนด (nodes) อิลิเมนท์ (elements) และขอบเขตของอิลิเมนท์ที่อยู่ภายใน (interelement boundaries) และเพื่อเป็นแนวทางในการสร้างโปรแกรมการคำนวณสำหรับการป้อนข้อมูลของทุก ๆ อิลิเมนท์ จึงยกตัวอย่างรูปร่างของปัญหาที่ประกอบด้วยอิลิเมนท์รูปสามเหลี่ยมทั้งหมด 3 อิลิเมนท์ 4 โนด ดังแสดงด้านล่างรูปที่ 3.17

ข้อมูลเบื้องต้นสำหรับโปรแกรมคอมพิวเตอร์ที่ต้องการ คือ หมายเลขของอิลิเมนท์ และหมายเลขของโนด พร้อมทั้งค่าพิกัดของแต่ละโนด ดังแสดงด้านล่างรูปที่ 3.18 พร้อมทั้งสรุปเป็นตารางได้ดังตารางที่ 3.4 และ 3.5 ตามลำดับ



รูปที่ 3.17 รูปทรงของปีษุหาที่ประกอบด้วย 3 อิลิเมนท์ 4 โนด

ตารางที่ 3.4 ลักษณะข้อมูลของอิลิเมนท์

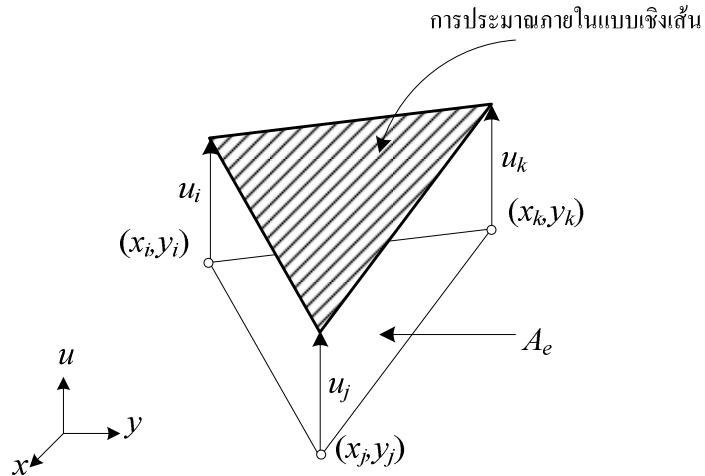
หมายเลข อิลิเมนท์	หมายเลขโนด		
	โนด i	โนด j	โนด k
1	1	2	4
2	4	2	3
3	1	4	3

หมายเหตุ : โนด i , j และ k คือหมายเลขของโนดที่ i , j และ k ในทิศทางทวนเข็มนาฬิกา

ตารางที่ 3.5 ลักษณะข้อมูลของตำแหน่งโนด

หมายเลขโนด	พิกัดแกน x	พิกัดแกน y
1	0	0
2	$2/\sqrt{3}$	0
3	$1/\sqrt{3}$	1
4	$1/\sqrt{3}$	$1/3$

2) พังก์ชันการประมาณภายในแต่ละอิลิเมนท์ เลือกรูปแบบของพังก์ชันการประมาณภายในอิลิเมนท์ (element interpolation function) อย่างในกรณีอิลิเมนท์รูปสามเหลี่ยมจะประกอบด้วย 3 โหนดที่มีตัวห้ออย i, j และ k ซึ่งวนในทิศทางทวนเข็มนาฬิกาตามลำดับ ดังรูปที่ 3.18 (Bickford, 1994) ซึ่งเป็นการประมาณค่าภายในอิลิเมนท์แบบเชิงเส้น (linear representation)



รูปที่ 3.18 การประมาณภายในแบบเชิงเส้นบนอิลิเมนท์รูปสามเหลี่ยม

ตำแหน่งของโหนด (x_n, y_n) $n = i, j, k$ เป็นตำแหน่งของตัวที่ไม่ทราบค่า u_n โดยสมมติลักษณะการกระจายของผลลัพธ์โดยประมาณ ณ ตำแหน่งใด ๆ บนอิลิเมนท์ $u_e(x, y)$ เป็นแบบเชิงเส้นดังนี้

$$u_e(x, y) = \alpha + \beta x + \gamma y \quad (3-31)$$

โดยที่ α, β, γ เป็นค่าคงที่ ซึ่งสามารถหาได้จากโหนดทั้งสามดังนี้

$$u_e(x_i, y_i) = u_i = \alpha + \beta x_i + \gamma y_i$$

$$u_e(x_j, y_j) = u_j = \alpha + \beta x_j + \gamma y_j$$

$$u_e(x_k, y_k) = u_k = \alpha + \beta x_k + \gamma y_k$$

นำค่า α, β, γ ที่ได้จากการแก้สมการทั้งสามข้างต้น แทนค่ากลับลงไปในสมการที่ (3-31) จะได้ลักษณะการกระจายของผลเฉลยโดยประมาณ ณ ตำแหน่งใด ๆ บนอิเล็กทรอนิกส์เป็น

$$u_e(x, y) = u_i N_i + u_j N_j + u_k N_k \quad (3-32)$$

ซึ่ง $N_n, n = i, j, k$ คือ พنجชันการประมาณภายในอิเล็กทรอนิกส์

$$N_n = \frac{a_n + b_n x + c_n y}{2A_e} \quad (3-33)$$

โดยที่

$a_i = x_j y_k - x_k y_j$	$b_i = y_j - y_k$	$c_i = x_k - x_j$
$a_j = x_k y_i - x_i y_k$	$b_j = y_k - y_i$	$c_j = x_i - x_k$
$a_k = x_i y_j - x_j y_i$	$b_k = y_i - y_j$	$c_k = x_j - x_i$

และ A_e คือ พื้นที่ของแต่ละอิเล็กทรอนิกส์ ซึ่ง $2A_e$ หาได้จากดีเทอร์มิเนนต์ของสัมประสิทธิ์ดังนี้

$$2A_e = \begin{vmatrix} 1 & x_i & y_i \\ 1 & x_j & y_j \\ 1 & x_k & y_k \end{vmatrix} = x_j(y_k - y_i) + x_i(y_j - y_k) + x_k(y_i - y_j) \quad (3-34)$$

ความแม่นยำของผลเฉลยจะขึ้นอยู่กับพنجชันการประมาณภายในที่สมมติขึ้นมาหนึ่ง มีความใกล้เคียงกับผลเฉลยแม่นตรงของปัญหามากน้อยเพียงใดด้วย

3) สร้างสมการของอิเล็กทรอนิกส์ (element formulation) ให้สอดคล้องกับสมการเชิงอนุพันธ์ ของปัญหา ซึ่งขึ้นตอนนี้ถือว่าเป็นขึ้นตอนที่สำคัญที่สุดของวิธีไฟโนท์อิเล็กทรอนิกส์ อย่างเช่นกรณี สมการของอิเล็กทรอนิกส์สามเหลี่ยมที่ได้ยกมาเป็นตัวอย่าง ดังแสดงในรูปที่ 3.18 จะอยู่ในรูปแบบดังนี้

$$\begin{bmatrix} K_{11} & K_{12} & K_{13} \\ K_{21} & K_{22} & K_{23} \\ K_{31} & K_{32} & K_{33} \end{bmatrix}_e \begin{bmatrix} u_i \\ u_j \\ u_k \end{bmatrix}_e = \begin{bmatrix} f_i \\ f_j \\ f_k \end{bmatrix}_e \quad (3-35)$$

ซึ่งเขียนโดยย่อได้ว่า $[K]_e [u]_e = [f]_e$ โดย $[u]_e$ คือ เมทริกซ์ตัวไม่ทราบค่าที่ nond และตัวห้อย e แสดงให้ทราบว่าเป็นเมทริกซ์ระดับอิเลิมันที่ซึ่งสมการของอิเลิมันที่ดังกล่าว จำเป็นต้องถูกสร้างขึ้นมาให้สอดคล้องกับสมการเชิงอนุพันธ์ของปัญหา ฯ การสร้างสมการของอิเลิมันที่ซึ่งอยู่ในรูปแบบของสมการที่ (3-35) สามารถทำได้โดย

- วิธีการโดยตรง (direct approach) วิธีนี้สามารถใช้ได้เฉพาะกับปัญหาที่เข้าใจได้ง่าย ๆ อย่างเช่น ปัญหาต่าง ๆ ในรูปทรง 1 มิติ เท่านั้น ซึ่งไม่สามารถขับขยายเปลี่ยนแปลงเพื่อนำไปใช้กับปัญหาใน 2 หรือ 3 มิติ โดยทั่วไปได้

- วิธีการแปรผัน (variational approach) หลักการสำคัญของวิธีการนี้คือ จำเป็นจะต้องทำการหาหรือสร้างฟังก์ชัน ซึ่งมีการทำการหาค่าต่ำสุดของฟังก์ชันนั้นแล้ว จะเป็นผลให้เกิดสมการเชิงอนุพันธ์และเงื่อนไขขอบเขตที่สอดคล้องกับปัญหาที่กำลังสนใจอยู่ อย่างไรก็ตามวิธีการแปรผันเป็นวิธีการดั้งเดิมที่ใช้กันในช่วงต้น ๆ ของการพัฒนาวิธีไฟไนท์อิเลิมันที่ ซึ่งส่วนใหญ่จะเป็นปัญหาที่เกี่ยวกับทางด้านโครงสร้าง และยังมีจุดอ่อนอีก คือ จำเป็นต้องทราบฟังก์ชันแปรผันที่สอดคล้องกับสมการเชิงอนุพันธ์ของปัญหา ฯ ซึ่งปัญหาหลาย ๆ ชนิดในทางปฏิบัติสามารถสร้างสมการอนุพันธ์ขึ้นมาได้ แต่ไม่สามารถหาฟังก์ชันแปรผันที่สอดคล้องกันนั้นได้

- วิธีการอ่วงน้ำหนักเศษตกค้าง (method of weighted residuals) วิธีนี้จะใช้วิธีการสร้างสมการไฟไนท์อิเลิมันที่จากสมการเชิงอนุพันธ์โดยตรง โดยไม่จำเป็นต้องทราบฟังก์ชันแปรผันที่สอดคล้อง ซึ่งสามารถนำไปใช้ในการสร้างสมการไฟไนท์อิเลิมันที่สำหรับปัญหาโดยทั่ว ๆ ไป และถูกจัดให้เป็นวิธีที่นิยมที่สุดในการประยุกต์ใช้กับปัญหาต่าง ๆ ในปัจจุบัน

4) นำสมการของแต่ละอิเลิมันที่ที่ได้มาประกอบกัน (assembly) เป็นสมการรวมของระบบจากขั้นตอนที่ 1 หากแบ่งลักษณะรูปร่างของปัญหาออกเป็นอิเลิมันที่อยู่ซึ่งประกอบด้วย n โนด จะก่อให้เกิดระบบสมการรวมซึ่งประกอบด้วยสมการอย่างจำนวนทั้งสิ้น n สมการ โดยแสดงได้ดังนี้

$$\begin{bmatrix} K_{11} & K_{12} & K_{13} & \dots & K_{1n} \\ K_{21} & K_{22} & K_{23} & \dots & K_{2n} \\ K_{31} & K_{32} & K_{33} & \dots & K_{3n} \\ \vdots & \vdots & \vdots & \ddots & \vdots \\ K_{n1} & K_{n2} & K_{n3} & \dots & K_{nn} \end{bmatrix}_{sys(n \times n)} \begin{bmatrix} u_1 \\ u_2 \\ u_3 \\ \vdots \\ u_n \end{bmatrix}_{sys(n \times 1)} = \begin{bmatrix} f_1 \\ f_2 \\ f_3 \\ \vdots \\ f_n \end{bmatrix}_{sys(n \times 1)} \quad (3-36)$$

หรือเขียนโดยย่อได้ดังนี้ $[K]_{sys} [u]_{sys} = [f]_{sys}$ จากสมการที่ (3-36) เมทริกซ์ $[K]_{sys}$ จะมีคุณสมบัติของความเป็นเมทริกซ์สมมาตร กล่าวคือ $[K]_{sys} = [K]_{sys}^T$ และมีคุณสมบัติของการจับกลุ่มกันของค่าที่ไม่เท่ากันสูนย์บริเวณแนวแท่งมุมของเมทริกซ์ ซึ่งจะมีลักษณะอยู่ร่วมกันเป็นแถบ (banded matrix) จากคุณสมบัติดังกล่าวนี้ จะก่อให้เกิดประโยชน์อย่างมากในการพัฒนาโปรแกรมคอมพิวเตอร์ โดยเฉพาะอย่างยิ่งในทางปฏิบัติที่จำเป็นต้องใช้จำนวนโนดเป็นจำนวนมาก เพื่อที่จะก่อให้เกิดผลเฉลยที่เที่ยงตรง โดยสามารถพัฒนาให้เก็บเฉพาะค่าที่ไม่เท่ากันสูนย์ไว้ในหน่วยความจำเพื่อใช้ในการคำนวณเท่านั้น

การนำสมการย่อของแต่ละอิลิเมนท์มาประกอบกันเข้าเป็นสมการรวมของระบบ จำเป็นต้องมีหลักการ ซึ่งหลักการที่จะกล่าวนี้ เป็นหลักการที่ง่าย สามารถทำได้โดยสะดวก เหมาะกับรูปร่างของปัญหาที่มีอิลิเมนท์อย่างจำนวนมาก ๆ และหลักการนี้จะถูกนำมาใช้ในการพัฒนาคอมพิวเตอร์โปรแกรมด้วย โดยสามารถทำความเข้าใจได้จากตัวอย่างรูปร่างของปัญหาดังรูปที่ 3.18 กล่าวคือ เราจะทำการสร้างสมการรวมของระบบซึ่งประกอบด้วย 3 อิลิเมนท์ 4 โนด โดยจะแสดงการรวมของเมทริกซ์ $[K]_{sys}$ เพื่อเป็นตัวอย่าง

วิธีการนี้ทำได้โดย เขียนสมการของอิลิเมนท์ต่าง ๆ พร้อมทั้งกำกับหมายเลขอ่อนด ทางแคนอนและแยกตั้งของแต่ละอิลิเมนท์ให้ถูกต้อง โดยจากรูปที่ 3.17 $[K]_e$ ของอิลิเมนท์ที่ 1 ประกอบด้วยโนดหมายเลข 1, 2 และ 4 ส่วน $[K]_e$ ของอิลิเมนท์ที่ 2 ประกอบด้วยโนดหมายเลข 2, 3 และ 4 และ $[K]_e$ ของอิลิเมนท์ที่ 3 ซึ่งเป็นอิลิเมนท์สุดท้ายประกอบด้วยโนดหมายเลข 1, 3 และ 4 โดยสามารถเขียนแสดงให้เห็นได้ดังนี้

$$[K]_{e1} = \begin{pmatrix} (1) & (2) & (4) \\ (1) & a_1 & b_1 & c_1 \\ (2) & a_2 & b_2 & c_2 \\ (4) & a_3 & b_3 & c_3 \end{pmatrix} \quad (3-37)$$

$$[K]_{e2} = \begin{pmatrix} (2) & (3) & (4) \\ (2) & d_1 & e_1 & f_1 \\ (3) & d_2 & e_2 & f_2 \\ (4) & d_3 & e_3 & f_3 \end{pmatrix} \quad (3-38)$$

$$[K]_{e3} = \begin{pmatrix} (1) & (3) & (4) \\ (1) & g_1 & h_1 & i_1 \\ (3) & g_2 & h_2 & i_2 \\ (4) & g_3 & h_3 & i_3 \end{pmatrix} \quad (3-39)$$

เมื่อมีหมายเลขกำกับทั้งทางแคลนอนและแคลตั้งกำกับสัมประสิทธิ์ทุกตัวของเมตริกซ์ของทุกอิลิเมนท์แล้ว จากนั้นนำสัมประสิทธิ์ต่าง ๆ เหล่านี้ มาใส่ลงในเมตริกซ์ระบบรวม $[K]_{sys}$ เช่น ค่าสัมประสิทธิ์ b_3 ซึ่งอยู่ในแคลนอนที่ 4 แคลตั้งที่ 2 ของอิลิเมนท์อยู่ที่ 1 จะไปปรากฏอยู่ ในแคลนอนที่ 4 แคลตั้งที่ 2 ของเมตริกซ์ระบบรวมดังแสดงในสมการ เป็นดัง

$$[K]_{sys} = \begin{pmatrix} (1) & (2) & (3) & (4) \\ (1) & a_1 + g_1 & b_1 & h_1 & c_1 + i_1 \\ (2) & a_2 & b_2 + d_1 & e_1 & c_2 + f_1 \\ (3) & g_2 & d_2 & e_2 + h_2 & f_2 + i_2 \\ (4) & a_3 + g_3 & b_3 + d_3 & e_3 + h_3 & c_3 + f_3 + i_3 \end{pmatrix} \quad (3-40)$$

5) ประยุกต์เงื่อนไขเริ่มต้นและเงื่อนไขขอบเขต (initial and boundary conditions) ที่มีความสอดคล้องกับปัญหาลงในสมการรวมของระบบเพื่อหาค่าผลเฉลย โดยการแก้สมการรวมของระบบเพื่อหาตัวไมทราบค่าที่ nond

6) คำนวณหาค่าตัวแปรต่าง ๆ ที่ต้องการต่อไป เมื่อทราบค่าผลลัพธ์ที่ nond ต่าง ๆ แล้ว สามารถคำนวณหาค่าตัวแปรต่าง ๆ ที่สัมพันธ์กับผลลัพธ์นี้ต่อไปได้

จากขั้นตอนทั้ง 6 ขั้นตอน จะเห็นได้ว่า ระเบียบวิธีไฟน์ท์อิลิเมนท์เป็นวิธีที่มีแบบแผนเป็นขั้นเป็นตอน โดยมีส่วนที่สำคัญที่สุดคือการสร้างสมการของอิลิเมนท์ในขั้นตอนที่ 3 ให้สอดคล้องกับสมการเชิงอนุพันธ์ของปัญหาที่กำหนด และในขั้นตอนทั้ง 6 ขั้นตอนนี้จะนำไปพัฒนาเป็นโปรแกรมคอมพิวเตอร์เพื่อช่วยในการคำนวณต่อไป

3.7 สรุป

บทนี้ได้นำเสนอทฤษฎีและหลักการต่าง ๆ ที่เกี่ยวข้องกับงานวิจัย อันได้แก่ ทฤษฎีของ spanning tree สายส่งกำลังไฟฟ้า โทรศัพท์มือถือ ระบบเบียนวิธีไฟในท่อฟเฟอร์เรนท์ และระบบเบียนวิธีไฟในท่ออลิเมนท์ ที่อธิบายถึงขั้นตอนต่าง ๆ ภายในการคำนวณด้วยระบบเบียนวิธีไฟในท่อฟเฟอร์เรนท์ และระบบเบียนวิธีไฟในท่ออลิเมนท์ โดยได้กล่าวเฉพาะส่วนที่จะนำมาใช้หรือส่วนที่จะถูกกล่าวอ้างถึง ในบทต่อ ๆ ไป ทั้งนี้เพื่อเป็นประโยชน์และเป็นแนวทางในการนำไปประยุกต์ใช้แก่ ผู้ดำเนินงานวิจัย

บทที่ 4

การคำนวณสนามไฟฟ้าของสายส่งด้วยระเบียบวิธีไฟไนท์ดิฟเฟอเรนท์

4.1 บทนำ

จากความรู้พื้นฐานเรื่องระเบียบวิธีไฟไนท์ดิฟเฟอเรนท์ในบทที่ 3 เมื่อเข้าใจหลักการและขั้นตอนของระเบียบวิธีดังกล่าวแล้ว ภายในบทที่ 4 นี้จะเป็นการอธิบายถึงการประยุกต์ใช้สมการของระเบียบวิธีไฟไนท์ดิฟเฟอเรนท์ในการคำนวณหาค่าสนามไฟฟ้ารอบสายส่งไฟฟ้าแรงสูง เมื่อมีมนุษย์ใช้อุปกรณ์สื่อสารใกล้บริเวณสายส่ง ดังนั้นในบทนี้จึงได้เสนอแบบจำลองทางคณิตศาสตร์ของสนามไฟฟ้าภายในตัวนำสายส่งไฟฟ้าแรงสูง และประยุกต์ปัญหาค่าขอบเขตตามระเบียบวิธีไฟไนท์ดิฟเฟอเรนท์ ในการคำนวณหาค่าสนามไฟฟ้า

4.2 แบบจำลองทางคณิตศาสตร์ของสนามไฟฟ้าของสายส่งไฟฟ้าแรงสูง

สำหรับปัญหาค่าศักย์ไฟฟ้าแบบ 2 มิติในระบบพิกัดฉาก สมการเชิงอนุพันธ์แบบปั่นส์ของสามารถเขียนได้ตามสมการที่ (4-1)

$$\nabla^2 \varphi = \frac{\partial^2 \varphi}{\partial x^2} + \frac{\partial^2 \varphi}{\partial y^2} = g(x, y) \quad (4-1)$$

จากสูตรอนุพันธ์แบบตรงกลางและอนุพันธ์อันดับที่ 2 จะได้

$$\frac{\partial^2 \varphi}{\partial x^2} = \frac{\varphi(i+1, j) - 2\varphi(i, j) + \varphi(i-1, j)}{(\Delta x)^2} \quad (4-2)$$

$$\frac{\partial^2 \varphi}{\partial y^2} = \frac{\varphi(i, j+1) - 2\varphi(i, j) + \varphi(i, j-1)}{(\Delta y)^2} \quad (4-3)$$

เนื่องจากระบบภายในงานวิจัยนี้เป็นรูปสี่เหลี่ยมจัตุรัส ($\Delta x = \Delta y = h$) แทนค่าสมการที่ (4-2) และ (4-3) ในสมการที่ (4-1) จะได้

$$\frac{\varphi(i+1, j) - 2\varphi(i, j) + \varphi(i-1, j)}{(\Delta x)^2} + \frac{\varphi(i, j+1) - 2\varphi(i, j) + \varphi(i, j-1)}{(\Delta y)^2} = g(x, y)$$

$$\varphi(i+1, j) - 2\varphi(i, j) + \varphi(i-1, j) + \varphi(i, j+1) - 2\varphi(i, j) + \varphi(i, j-1) = h^2 g(x, y)$$

$$4\varphi(i, j) = \varphi(i+1, j) + \varphi(i-1, j) + \varphi(i, j+1) + \varphi(i, j-1) - h^2 g(x, y)$$

$$\therefore \varphi(i, j) = \frac{1}{4}[\varphi(i+1, j) + \varphi(i-1, j) + \varphi(i, j+1) + \varphi(i, j-1) - h^2 g(x, y)] \quad (4-4)$$

แบบจำลองสายส่งไฟฟ้าแรงสูง : ค่าสนามไฟฟ้าที่กระจายรอบบริเวณสายส่งไฟฟ้าแรงสูงสามารถอธิบายได้ด้วยสมการที่ (4-5) (Christopoulos, 1995)

$$\nabla^2 \mathbf{E} - \left(\frac{1}{v^2} \right) \left(\frac{\partial^2 \mathbf{E}}{\partial t^2} \right) - \mu \sigma \left(\frac{\partial \mathbf{E}}{\partial t} \right) = 0 \quad (4-5)$$

โดยที่ \mathbf{E} คือ สนามไฟฟ้า (electric field)

t คือ เวลา (time)

μ คือ สภาพชานซึ่มได้ทางแม่เหล็ก (permeability)

v คือ ความเร็วในการแพร่กระจาย (propagation velocity)

σ คือ สภาพนำทางไฟฟ้า (conductivity)

ความเร็วในการแพร่กระจายของสนามไฟฟ้าสามารถอธิบายได้ในรูปความสัมพันธ์ระหว่างสภาพย้อมทางไฟฟ้า (ϵ) กับสภาพชานซึ่มได้ทางแม่เหล็กดังสมการที่ (4-6)

$$v = \frac{1}{\sqrt{\mu \epsilon}} \quad (4-6)$$

โดยที่ $\mu = \mu_0\mu_r$ และ $\varepsilon = \varepsilon_0\varepsilon_r$ เมื่อ μ_r คือ สภาพชานซึ่งได้ทางแม่เหล็กสัมพัทธ์ และ ε_r คือ สภาพยอนทางไฟฟ้าสัมพัทธ์ เนื่องจากในระบบที่พิจารณาจะกำหนดให้มีสภาวะอากาศ ทั่วไปเช่น $\mu_0 = 4\pi \times 10^{-7}$ H/m, $\mu_r = 1.00000037$, $\varepsilon_r = 1$, $\varepsilon_0 = 8.854 \times 10^{-12}$ F/m และ $\sigma = 0$ แทนค่าพารามิเตอร์ต่าง ๆ กับสมการที่ (4-6) ลงในสมการที่ (4-5) จะได้

$$\nabla^2 \mathbf{E} - \mu\varepsilon \left(\frac{\partial^2 \mathbf{E}}{\partial t^2} \right) - \mu \times (0) \left(\frac{\partial \mathbf{E}}{\partial t} \right) = 0$$

$$\nabla^2 \mathbf{E} - \mu\varepsilon \left(\frac{\partial^2 \mathbf{E}}{\partial t^2} \right) = 0 \quad (4-7)$$

จากคุณสมบัติของระบบที่เป็น time-harmonic จะได้

$$\frac{\partial \mathbf{E}}{\partial t} \approx j\omega \mathbf{E} \quad (4-8)$$

$$\frac{\partial^2 \mathbf{E}}{\partial t^2} \approx -\omega^2 \mathbf{E} \quad (4-9)$$

แทนค่าสมการที่ (4-9) ในสมการที่ (4-7) จะได้สมการอธิบายค่าสนามไฟฟ้าของโนดที่ต้องการพิจารณาดังสมการที่ (4-11)

$$\nabla^2 \mathbf{E} + \mu\varepsilon\omega^2 \mathbf{E}(i, j) = 0 \quad (4-10)$$

จากที่กล่าวมาข้างต้นจึงได้

$$\frac{\mathbf{E}(i+1, j) - 2\mathbf{E}(i, j) + \mathbf{E}(i-1, j)}{(h)^2} + \frac{\mathbf{E}(i, j+1) - 2\mathbf{E}(i, j) + \mathbf{E}(i, j-1)}{(h)^2} = -(\mu\varepsilon\omega^2)\mathbf{E}(i, j)$$

$$\mathbf{E}(i+1, j) + \mathbf{E}(i-1, j) + \mathbf{E}(i, j+1) + \mathbf{E}(i, j-1) - 4\mathbf{E}(i, j) = -h^2(\mu\varepsilon\omega^2)\mathbf{E}(i, j)$$

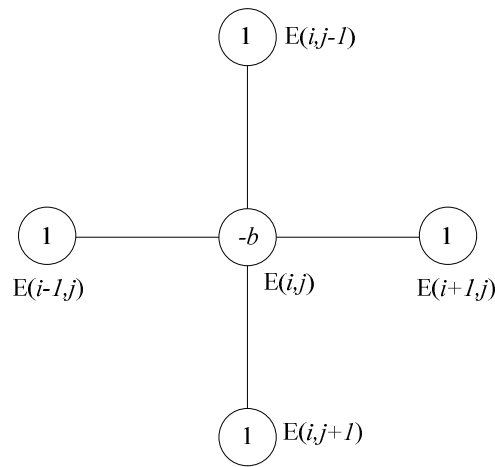
$$\mathbf{E}(i+1, j) + \mathbf{E}(i-1, j) + \mathbf{E}(i, j+1) + \mathbf{E}(i, j-1) - (4 - h^2(\mu\epsilon\omega^2))\mathbf{E}(i, j) = 0$$

$$(4 - h^2(\mu\epsilon\omega^2))\mathbf{E}(i, j) = \mathbf{E}(i+1, j) + \mathbf{E}(i-1, j) + \mathbf{E}(i, j+1) + \mathbf{E}(i, j-1)$$

ท้ายสุดจะได้

$$\mathbf{E}(i, j) = \frac{1}{(4 - \mu\epsilon\omega^2 h^2)} [\mathbf{E}(i+1, j) + \mathbf{E}(i-1, j) + \mathbf{E}(i, j+1) + \mathbf{E}(i, j-1)] \quad (4-11)$$

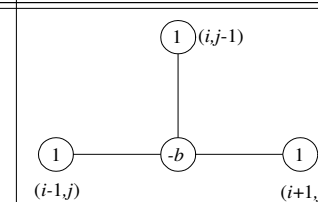
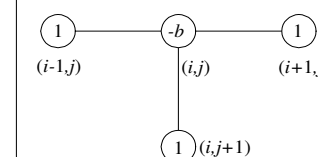
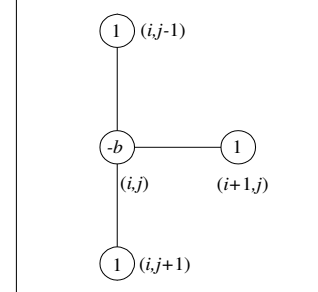
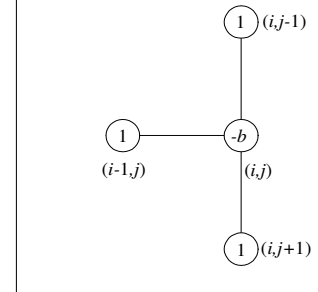
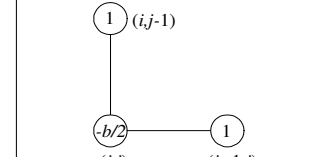
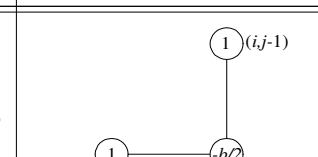
จากสมการที่ (4-11) เพื่อให้เห็นภาพการประยุกต์ใช้ระเบียบวิธีไฟน์ท์ดิฟเฟอร์เรนท์ สามารถดึงกล่าวจะเป็นตัวแทนค่าสนามไฟฟ้าของโนดที่ต้องการพิจารณาเพียง 1 จุด และสามารถเขียนให้อยู่ในรูปโฉมภายในโครงสร้างระเบียบวิธีไฟน์ท์ดิฟเฟอร์เรนท์ ได้ดังรูปที่ 4.1



รูปที่ 4.1 โครงสร้างของระเบียบวิธีไฟน์ท์ดิฟเฟอร์เรนท์

จากรูปที่ 4.1 จะได้ว่า $b = 4 - \mu\epsilon\omega^2 h^2$, 1, 1, 1 และ 1 คือ ค่าสัมประสิทธิ์หน้าตัวแปรของสนามไฟฟ้า ณ ตำแหน่งพิกัด $\mathbf{E}(i, j)$, $\mathbf{E}(i+1, j)$, $\mathbf{E}(i-1, j)$, $\mathbf{E}(i, j+1)$ และ $\mathbf{E}(i, j-1)$ ที่ปรากฏภายในสมการที่ (4-11) ตามลำดับ นอกจากนี้ สำหรับบางบริเวณที่อยู่ต่ำลงและมุมของระบบจะมีลักษณะ โครงสร้างโนดที่แตกต่างไปจากรูปที่ 4.1 ซึ่งสามารถแสดงโครงสร้างและสมการที่ใช้อธิบายค่าสนามไฟฟ้า ณ บริเวณขอบแบบต่างๆ ดังมีรายละเอียดตามตารางที่ 4.1 ดังนี้

ตารางที่ 4.1 การประมาณค่าระเบียบวิชีไฟในท่อฟลือร์เรนท์ ณ ตำแหน่ง โนดบริเวณค่าขอบ

บริเวณ	โครงสร้าง	สมการ
1) ขอบล่าง (Bottom edge)		$\mathbf{E}(i, j) = \frac{1}{(4 + \mu\epsilon\omega^2 h^2)} [\mathbf{E}(i+1, j) + \mathbf{E}(i-1, j) + 2\mathbf{E}(i, j-1)]$
2) ขอบบน (Top edge)		$\mathbf{E}(i, j) = \frac{1}{(4 + \mu\epsilon\omega^2 h^2)} [\mathbf{E}(i+1, j) + \mathbf{E}(i-1, j) + 2\mathbf{E}(i, j+1)]$
3) ขอบซ้าย (Left edge)		$\mathbf{E}(i, j) = \frac{1}{(4 + \mu\epsilon\omega^2 h^2)} [2\mathbf{E}(i+1, j) + \mathbf{E}(i, j-1) + 2\mathbf{E}(i, j+1)]$
4) ขอบขวา (Right edge)		$\mathbf{E}(i, j) = \frac{1}{(4 + \mu\epsilon\omega^2 h^2)} [2\mathbf{E}(i-1, j) + \mathbf{E}(i, j-1) + 2\mathbf{E}(i, j+1)]$
5) มุมล่างซ้าย (Bottom left corner point)		$\mathbf{E}(i, j) = \frac{2}{(4 + \mu\epsilon\omega^2 h^2)} [\mathbf{E}(i+1, j) + \mathbf{E}(i, j-1)]$
6) มุมล่างขวา (Bottom right corner point)		$\mathbf{E}(i, j) = \frac{2}{(4 + \mu\epsilon\omega^2 h^2)} [\mathbf{E}(i-1, j) + \mathbf{E}(i, j-1)]$

ตารางที่ 4.1 การประมาณค่าระเบียบวิธีไฟไนท์ดิฟเฟอร์เรนท์ ณ ตำแหน่งโอนดบริเวณค่าขอบ (ต่อ)

บริเวณ	โครงสร้าง	สมการ
7) มุมบนซ้าย (Top left-corner point)		$\mathbf{E}(i, j) = \frac{2}{(4 + \mu\epsilon\omega^2 h^2)} [\mathbf{E}(i+1, j) + \mathbf{E}(i, j+1)]$
8) มุมบนขวา (Top right-corner point)		$\mathbf{E}(i, j) = \frac{2}{(4 + \mu\epsilon\omega^2 h^2)} [\mathbf{E}(i-1, j) + \mathbf{E}(i, j+1)]$

4.3 การคำนวณค่าสนามไฟฟ้าด้วยระเบียบวิธีไฟไนท์ดิฟเฟอร์เรนท์

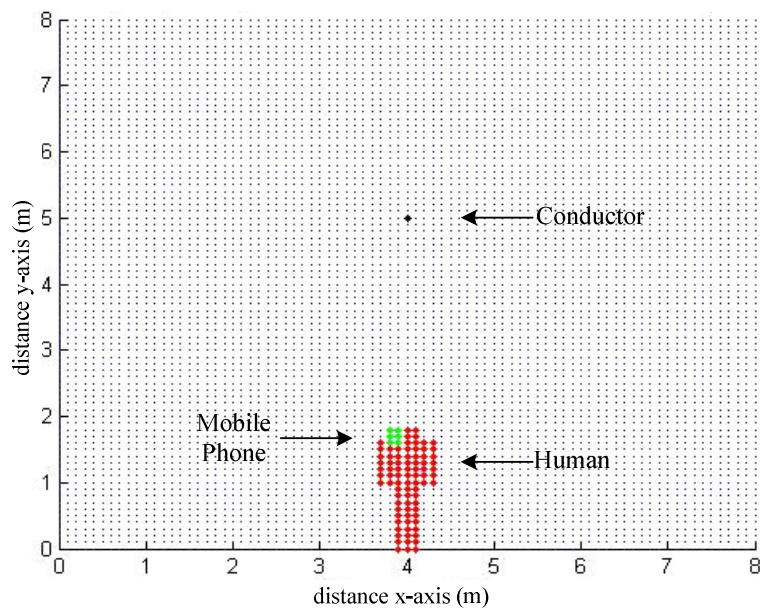
เนื่องจากสมการสนามไฟฟ้าของระบบสายส่งไฟฟ้าแรงสูงเป็นสมการที่อยู่ในรูปสมการเชิงอนุพันธ์ ซึ่งเป็นการยากที่จะหาผลเฉลยแบบแม่นตรง ดังนั้น เพื่อให้สามารถคำนวณหาค่าสนามไฟฟ้าที่เกิดขึ้นภายในระบบได้ จึงมีความจำเป็นที่จะต้องอาศัยการหาค่าผลเฉลยแบบประมาณ ด้วยระเบียบวิธีไฟไนท์ดิฟเฟอร์เรนท์ ซึ่งประกอบไปด้วยขั้นตอนการคำนวณงานต่าง ๆ ดังนี้

4.3.1 การออกแบบกริดของพื้นที่ศึกษา

สำหรับงานวิจัยนี้ระบบที่ใช้ศึกษามีระบบหดายน้ำ เริ่มจากระบบไฟฟ้า 1 เฟสจะประกอบไปด้วยระบบไฟฟ้าขนาด 220 V, 22 kV และ 69 kV ระบบไฟฟ้า 3 เฟส จะประกอบไปด้วยระบบไฟฟ้าขนาด 69 kV, 115 kV, 230 kV และ 500 kV ซึ่งในหัวข้อเรื่องการออกแบบกริดของพื้นที่ศึกษานี้ จะขอยกตัวอย่างเฉพาะระบบไฟฟ้า 1 เฟสเท่านั้น เพื่อให้พอเห็นภาพการออกแบบกริด ให้กับระบบ

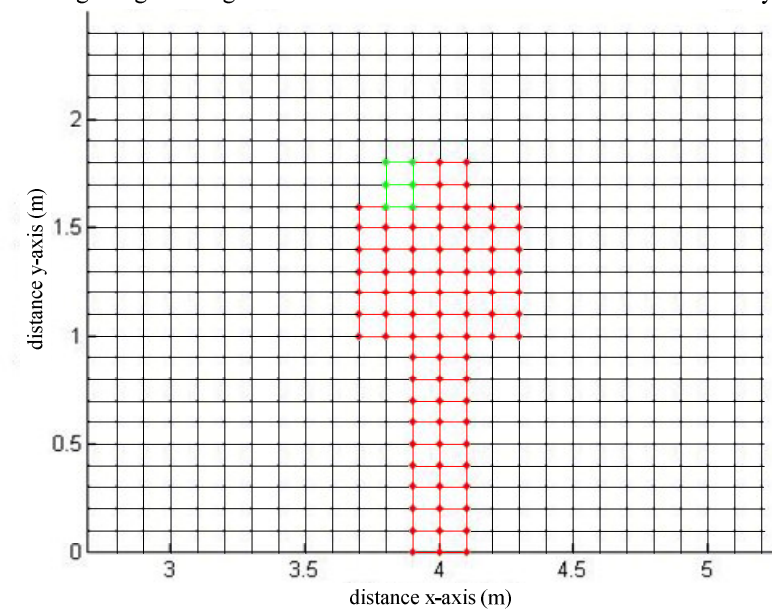
ขั้นตอนแรกเริ่มจากการแบ่งพื้นที่ของระบบสายส่งออกเป็นกริดรูปสี่เหลี่ยมจัตุรัส โดยผ่านการเชื่อมต่อกันระหว่างโอนดต่าง ๆ ภายในระบบ การออกแบบกริดและจุดต่อเชื่อมโอนดต่าง ๆ ได้ใช้โปรแกรม MATLAB™ ที่พัฒนาขึ้น โดยจะมีจำนวนโอนดที่ใช้ภายในระบบ 1 เฟส ดังนี้ ระบบขนาด 220 V มีจำนวนโอนดทั้งหมด 6,561 โอนด ระบบขนาด 22 kV มีจำนวนโอนดทั้งหมด 11,421 โอนด และ ระบบขนาด 69 kV มีจำนวนโอนดทั้งหมด 13,041 โอนด ตัวอย่างการออกแบบกริดของระบบไฟฟ้า 1 เฟสขนาด 220 V, 22 kV และ 69 kV สามารถแสดงได้ด้วยรูปที่ 4.2, 4.3 และ 4.4 ตามลำดับ นอกจากนี้ภายในแต่ละรูปยังได้แสดงภาพขยาย เพื่อให้เห็นถึงความละเอียดในการออกแบบกริดและการเชื่อมต่อระหว่างโอนดได้อย่างชัดเจนยิ่งขึ้น

Rectangular grid design for calculation FDM in 220 V Transmission line system



(ก) การแบ่งกริดรูปสี่เหลี่ยมและการเชื่อมต่อระหว่างโฉนดภายในโครงสร้าง

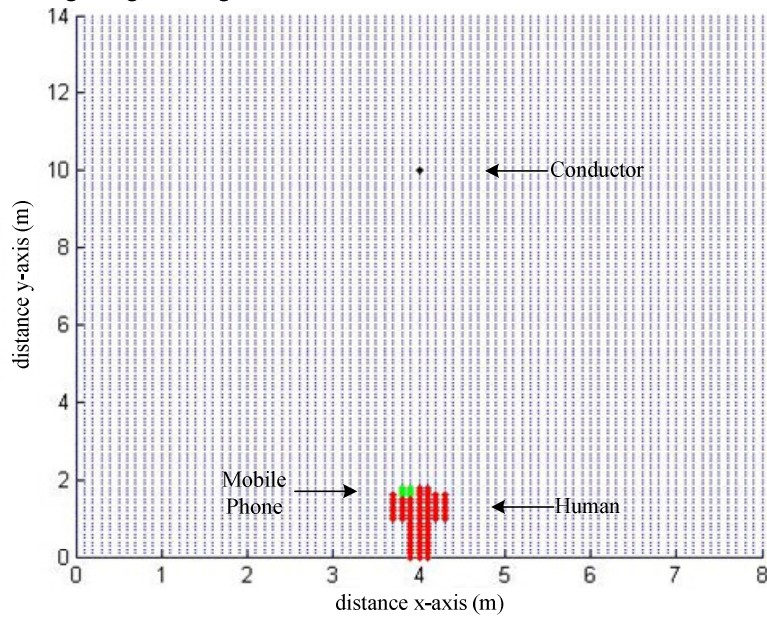
Rectangular grid design for calculation FDM in 220 V Transmission line system



(ข) ภาพขยายการแบ่งกริดและการเชื่อมต่อโฉนดบนบริเวณที่สำคัญ

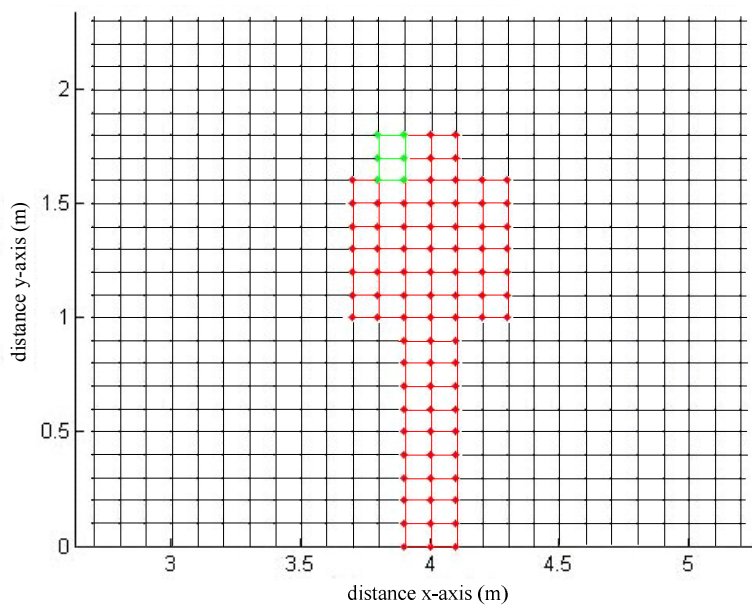
รูปที่ 4.2 โครงสร้างของระบบไฟฟ้าขนาด 220 V

Rectangular grid design for calculation FDM in 22 kV Transmission line system



(ก) การแบ่งกริดรูปสี่เหลี่ยมและการเชื่อมต่อระหว่างโหนดภายในโครงสร้าง

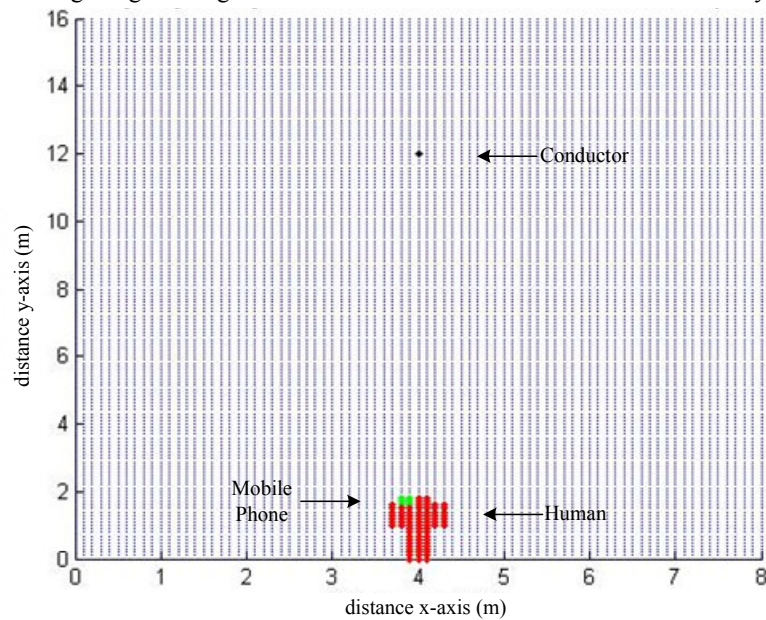
Rectangular grid design for calculation FDM in 22 kV Transmission line system



(ข) ภาพขยายการแบ่งกริดและการเชื่อมต่อโหนดบนบริเวณที่สำคัญ

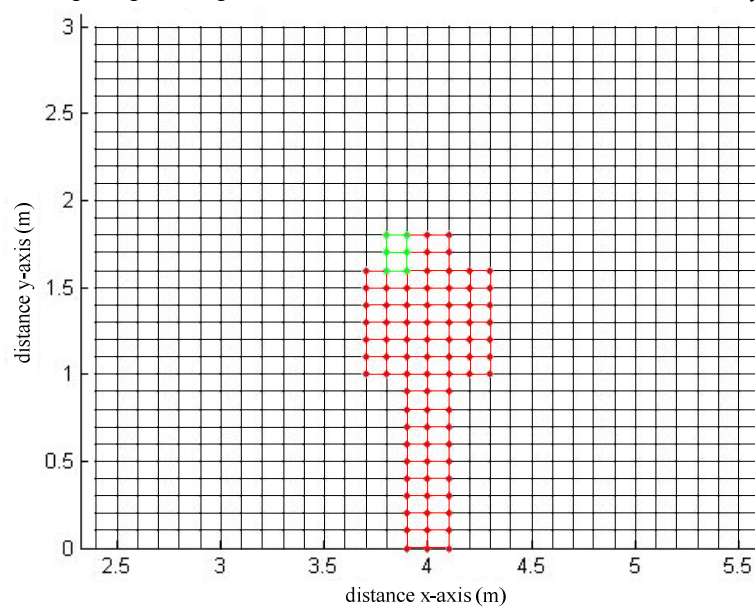
รูปที่ 4.3 โครงสร้างของระบบไฟฟ้าบนภาค 22 kV

Rectangular grid design for calculation FDM in 69 kV Transmission line system



(ก) การแบ่งกริดรูปสี่เหลี่ยมและการเชื่อมต่อระหว่างโฉนดภายในโครงสร้าง

Rectangular grid design for calculation FDM in 69 kV Transmission line system



(ข) ภาพขยายการแบ่งกริดและการเชื่อมต่อโฉนดบนบริเวณที่สำคัญ

รูปที่ 4.4 โครงสร้างของระบบไฟฟ้าบนภาค 69 kV

4.3.2 การประกอบสมการโนดขึ้นเป็นระบบ

ขั้นตอนนี้เป็นการนำสมการของแต่ละโนดที่มีภายในระบบทั้งหมดมาประกอบรวมกัน จนได้สมการรวมของระบบ จากขั้นตอนในหัวข้อที่ 4.3.1 ถ้าทำการแบ่งลักษณะรูปร่างของปัญหาออกเป็นโนดย่อยทั้งหมด n โนด จะก่อให้เกิดระบบสมการรวมซึ่งประกอบไปด้วยสมการย่อยทั้งหมด n สมการ ดังนั้นจึงได้สมการรวมของงานวิจัยนี้ คือ

$$Ax = b \quad (4.12)$$

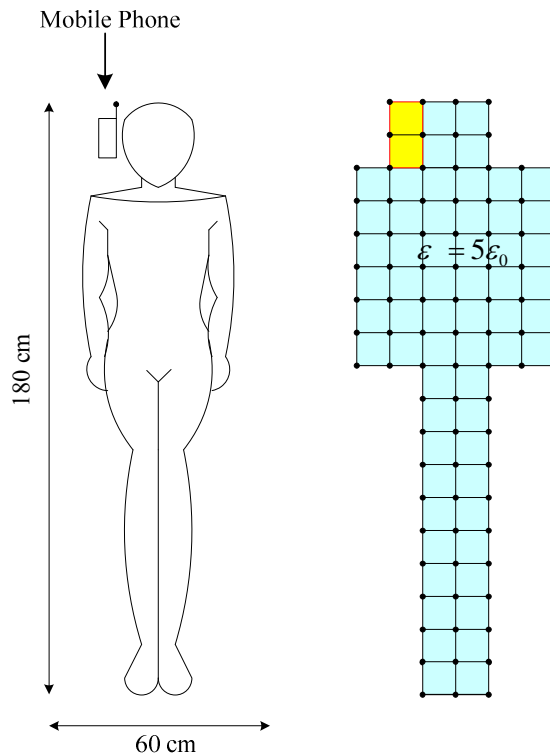
$$\begin{bmatrix} A_{11} & A_{12} & A_{13} & \dots & A_{1n} \\ A_{21} & A_{22} & A_{23} & \dots & A_{2n} \\ A_{31} & A_{32} & A_{33} & \dots & A_{3n} \\ \vdots & \vdots & \vdots & \ddots & \vdots \\ \vdots & \vdots & \vdots & \ddots & \vdots \\ A_{n1} & A_{n2} & A_{n3} & \dots & A_{nn} \end{bmatrix}_{sys(n \times n)} \begin{bmatrix} x_1 \\ x_2 \\ x_3 \\ \vdots \\ \vdots \\ x_n \end{bmatrix}_{sys(n \times 1)} = \begin{bmatrix} b_1 \\ b_2 \\ b_3 \\ \vdots \\ \vdots \\ b_n \end{bmatrix}_{sys(n \times 1)} \quad (4.13)$$

เมื่อ A คือ ค่าสัมประสิทธิ์ของระบบรวม

x คือ ค่าสนามไฟฟ้าที่ยังไม่ทราบค่า ณ ตำแหน่งโนดต่าง ๆ

b คือ ค่าแรงภายนอกที่มากระทำ ณ ตำแหน่ง โนดต่าง ๆ

จากหัวข้อที่ 4.3.1 เมื่อพิจารณาภาพในการแบ่งกริดของระบบไฟฟ้า 1 เฟส จะเห็นว่า ภายในภาพมีโนดที่มีสีแตกต่างกัน โดยสีที่แตกต่างกันนั้นบ่งบอกถึงความแตกต่างที่เกิดขึ้นของเนื้อวัตถุที่มีอยู่ภายในระบบ เมื่อมีความแตกต่างกันระหว่างวัตถุเกิดขึ้น นั้นหมายถึงสมการของระบบเป็นวิธีไฟฟ้านักฟิฟอร์เรนท์จะต้องเกิดการเปลี่ยนแปลงใหม่ตามค่าสภาพ omnithrough ไฟฟ้าของวัตถุแต่ละชนิด เพื่อให้ผลการคำนวณค่าสนามไฟฟ้ามีค่าการจำลองผลใกล้เคียงเหตุการณ์จริงมากที่สุด สำหรับภายในงานวิจัยนี้จะเห็นว่ามีวัตถุที่แตกต่างกันเพียง 2 ชนิดเท่านั้น คือ อากาศ กับ ร่างกายของมนุษย์ ขณะนี้ใช้งานโทรศัพท์มือถือ ซึ่งทั้งสองมีค่าสภาพ omnithrough ไฟฟ้าสามพัทธิ (ε_r) เท่ากับ 1 และ 5 ตามลำดับ จากสมการที่ (4-11) เมื่อคำนึงถึงค่าสภาพ omnithrough ไฟฟ้าจะได้สมการในแต่ละโนดที่ คำนึงถึงคุณลักษณะทางเนื้อวัตถุระหว่างอากาศ กับ ร่างกายมนุษย์ บริเวณที่คำนึงเฉพาะอากาศจะได้ ตามสมการที่ (4-14) และส่วนบริเวณที่คำนึงเฉพาะร่างกายมนุษย์ จะนำเสนอได้ดังสมการที่ (4-15) ซึ่งการระบุสมการตามรูปร่างมนุษย์จะทำการระบุตามรูปที่ 4.5



รูปที่ 4.5 แบบจำลองมนุษย์สำหรับระบบมีบิวซีไฟในท่อฟเฟอร์เรนท์

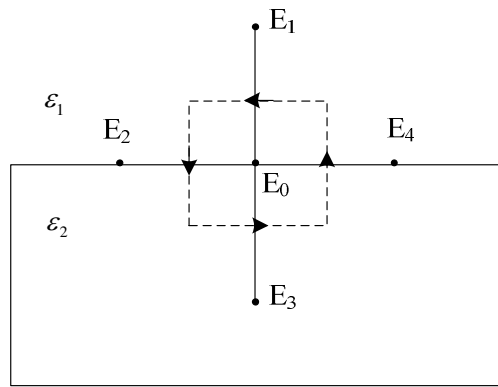
$$\mathbf{E}(i, j) = \frac{1}{(4 - \epsilon_0 \mu \omega^2 h^2)} [\mathbf{E}(i+1, j) + \mathbf{E}(i-1, j) + \mathbf{E}(i, j+1) + \mathbf{E}(i, j-1)] \quad (4-14)$$

$$\mathbf{E}(i, j) = \frac{1}{(4 - 5\epsilon_0 \mu \omega^2 h^2)} [\mathbf{E}(i+1, j) + \mathbf{E}(i-1, j) + \mathbf{E}(i, j+1) + \mathbf{E}(i, j-1)] \quad (4-15)$$

นอกจากนี้จะสังเกตได้ว่า ภายในโครงสร้างของระบบจะมีบริเวณหนึ่งที่ nondispersive ซึ่งต่อระหว่างอากาศกับมนุษย์ ที่มีความแตกต่างกันของสภาระอย่างไฟฟ้า ซึ่งบริเวณดังกล่าวสามารถประมาณสมการ nondispersive ณ บริเวณอยู่ประสานระหว่างเนื้อวัตถุที่แตกต่างกันได้ดังนี้

จากกฎของเกาส์บริเวณอยู่ประสานระหว่างบริเวณที่มีค่าสภาระอย่างไฟฟ้าแตกต่างกันจะก่อให้เกิดค่าโดยอิเล็กทริกของสองบริเวณมีค่าเท่ากัน ($\mathbf{D}_{1n} = \mathbf{D}_{2n}$) จากรูปที่ 4.6 สามารถเขียนสมการที่ (4-16) ได้ดังสมการที่ (4-17)

$$\oint_1 D \times dl = \oint_1 \epsilon E \times dl = 0 \quad (4-16)$$



รูปที่ 4.6 บริเวณรอยประสานระหว่างบริเวณที่มีค่าสภารอยทางไฟฟ้าที่แตกต่างกัน

$$4 \frac{(\epsilon_1 + \epsilon_2)}{2} \mathbf{E}_0 = \epsilon_1 \mathbf{E}_1 + \frac{(\epsilon_1 + \epsilon_2)}{2} \mathbf{E}_2 + \epsilon_2 \mathbf{E}_3 + \frac{(\epsilon_1 + \epsilon_2)}{2} \mathbf{E}_4$$

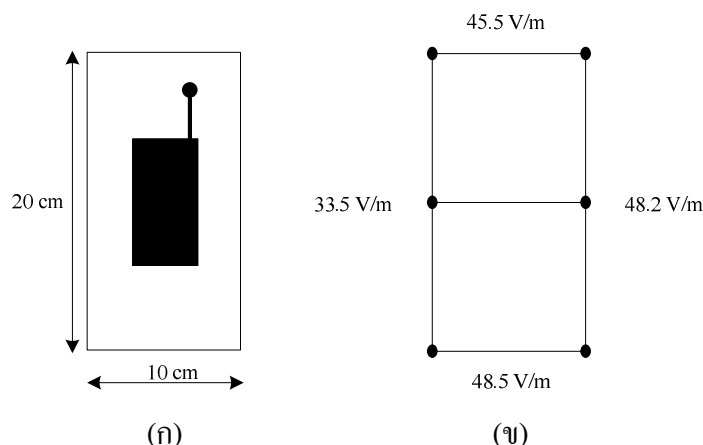
$$2(\epsilon_1 + \epsilon_2) \mathbf{E}_0 = \epsilon_1 \mathbf{E}_1 + \epsilon_2 \mathbf{E}_3 + \frac{(\epsilon_1 + \epsilon_2)}{2} (\mathbf{E}_2 + \mathbf{E}_4)$$

$$\mathbf{E}_0 = \frac{\epsilon_1}{2(\epsilon_1 + \epsilon_2)} \mathbf{E}_1 + \frac{1}{4} \mathbf{E}_2 + \frac{\epsilon_2}{2(\epsilon_1 + \epsilon_2)} \mathbf{E}_3 + \frac{1}{4} \mathbf{E}_4 \quad (4-17)$$

4.3.3 เงื่อนไขเริ่มต้นและเงื่อนไขค่าขอบเขต

สำหรับขั้นตอนการประยุกต์เงื่อนไขเริ่มต้นและเงื่อนไขค่าขอบเขตที่เกี่ยวข้อง จะมี 2 บริเวณที่กำหนดเงื่อนไขค่าขอบ คือ ตัวนำในสายส่งกับโทรศัพท์มือถือ โดยค่าที่กำหนดให้ตัวนำในสายส่งจะเป็นค่าสนามไฟฟ้า ซึ่งค่าสนามไฟฟ้าที่ป้อน入ให้กับระบบสามารถคำนวณหาได้จากสมการที่ 3.31 ในบทที่ 3 โดยถึงที่ต้องทราบสำหรับใช้คำนวณหาค่าสนามไฟฟ้า คือ ค่าศักย์ไฟฟ้าของตัวนำ รัศมีตัวนำ ค่าความสูงระหว่างตัวนำกับพื้นดิน และค่าพิกัดที่ต้องการคำนวณ เมื่อคำนวณหาค่าดังกล่าวได้แล้วก็นำค่านั้นไปใส่ในเวกเตอร์ b ณ ตำแหน่งแกรโนดที่มีค่าตัวเลขลำดับแกรโนดค่าเดียวกับค่า ณ ตำแหน่งแกรโนดของตัวนำนั้น เพื่อเตรียมสำหรับหาค่าผลเฉลยต่อไป

ส่วนค่าสนามไฟฟ้าจากโทรศัพท์มือถือจะกำหนดให้โทรศัพท์มือถือเป็นรูปสี่เหลี่ยมผืนผ้าที่มีขนาด $5 \times 10 \text{ cm}^2$ ที่มีสนามไฟฟ้าคงที่กระจายรอบบริเวณโทรศัพท์มือถือโดยรอบขนาด $10 \times 20 \text{ cm}^2$ (nokia3210) ดังรูปที่ 4.7 (ก) และสามารถอ kok แบบกริดสำหรับระเบียบวิธีไฟในที่ดินเฟอร์เรนท์ได้ดังรูปที่ 4.7 (ข) และนำค่าคงที่ทั้ง 6 จุดของโทรศัพท์มือถือไปใส่ยังเกตเตอร์ b ณ ตำแหน่งแควรอนด เพื่อเตรียมสำหรับหาค่าผลเฉลยต่อไปเมื่อนำมาคำนวณเดียวกับการกำหนดเงื่อนไขค่าขอบภายในตัวนำสายส่ง



รูปที่ 4.7 เงื่อนไขค่าขอบเขตของโทรศัพท์มือถือสำหรับ
ระเบียบวิธีไฟในที่ดินเฟอร์เรนท์

4.3.4 คำนวณหาค่าตัวแปรต่าง ๆ ภายใต้ระบบ

หลังจากอ Kok แบบกริดและการประกอบสมการ nondimension เป็นระบบ (A) กับประยุกต์เงื่อนไขเริ่มต้นและเงื่อนไขค่าขอบเขตให้กับระบบ (b) แล้ว จะสามารถคำนวณหาค่าสนามไฟฟ้า ณ ตำแหน่งที่ nondimension ที่ต้องการทราบค่า (x) ได้ดังนี้

จากสมการที่ (4-12) จะสามารถหาค่าสนามไฟฟ้า ณ ตำแหน่งที่ nondimension ที่ ได้ดังสมการที่ (4-18)

$$x = A^{-1}b$$

$$\begin{bmatrix} x_1 \\ x_2 \\ x_3 \\ \vdots \\ x_n \end{bmatrix}_{sys(n \times 1)} = \begin{bmatrix} A_{11} & A_{12} & A_{13} & \dots & A_{1n} \\ A_{21} & A_{22} & A_{23} & \dots & A_{2n} \\ A_{31} & A_{32} & A_{33} & \dots & A_{3n} \\ \vdots & \vdots & \vdots & \ddots & \vdots \\ A_{n1} & A_{n2} & A_{n3} & \dots & A_{nn} \end{bmatrix}_{sys(n \times n)}^{-1} \begin{bmatrix} b_1 \\ b_2 \\ b_3 \\ \vdots \\ b_n \end{bmatrix}_{sys(n \times 1)} \quad (4-18)$$

เมื่อ A คือ ค่าสัมประสิทธิ์ของระบบรวม
 x คือ ค่าสนามไฟฟ้าที่ยังไม่ทราบค่า ณ ตำแหน่งโนดต่าง ๆ
 b คือ ค่าแรงงานนอกที่มากระทำ ณ ตำแหน่งโนดต่าง ๆ

4.4 สรุป

ในบทนี้ได้นำเสนอแบบจำลองทางคณิตศาสตร์ของสนามไฟฟ้าภายในตัวนำสายส่งไฟฟ้าแรงสูง และการประยุกต์ปัญหาค่าขอบเขตตามระเบียบวิธีไฟไนท์ดิฟเฟอร์เรนท์ ซึ่งแบบจำลองทางคณิตศาสตร์จะปรากฏอยู่ในรูปของสมการอนุพันธ์ย่อยอันดับสอง นอกจากนี้ยังคำนึงถึงค่าสภาพย้อมทางไฟฟ้าที่แตกต่างกันของวัสดุต่าง ๆ การประยุกต์ระเบียบวิธีไฟไนท์ดิฟเฟอร์เรนท์เพื่อคำนวณหาค่าสนามไฟฟ้าภายในบทนี้ จะนำไปสู่การพัฒนาโปรแกรมคำนวณโดยใช้ภาษา C ที่จะได้กล่าวถึงในบทที่ 6 ต่อไป

บทที่ 5

การคำนวณสนามไฟฟ้าของสายส่งด้วยระเบียบวิธีไฟฟ้าโน้มถ่วง

5.1 บทนำ

ระเบียบวิธีไฟฟ้าโน้มถ่วง (finite element method: FEM) เป็นวิธีที่ใช้ในการหาผลเฉลยแบบประมาณของสมการเชิงอนุพันธ์และเป็นวิธีที่ได้รับความนิยมอย่างแพร่หลายในปัจจุบัน เพราะเนื่องจากเป็นวิธีที่สามารถวิเคราะห์งานที่มีโครงสร้างซับซ้อน หรือรูปร่างที่มีลักษณะโค้งมนได้อีกทั้งประสาทชีวภาพและการประมวลผลที่สูงขึ้นของคอมพิวเตอร์ในปัจจุบัน นอกจากนี้สำหรับบางงานที่มีจุดที่ต้องการวิเคราะห์มีพื้นที่ขนาดเล็กมากเมื่อเทียบกับปัญหาร่วมของระบบที่เป็นพื้นที่ขนาดใหญ่ ซึ่งระเบียบวิธีไฟฟ้าโน้มถ่วงที่สามารถออกแบบกริดขนาดเล็กหรือใหญ่ที่สามารถเข้ามาร่วมกับขนาดของ 2 บริเวณที่มีขนาดแตกต่างกันได้อย่างอิสระ

ระเบียบวิธีไฟฟ้าโน้มถ่วงที่เป็นวิธีที่ใช้ในการหาผลเฉลยแบบประมาณของสมการเชิงอนุพันธ์ และเป็นวิธีที่ได้รับความนิยมอย่างแพร่หลายในปัจจุบัน เพราะด้วยเหตุที่เป็นระเบียบวิธีที่มีความสามารถในการออกแบบกริดให้เหมาะสมกับระบบที่มีรูปร่างโค้งมนหรือมีโครงสร้างที่ซับซ้อนได้ นอกจากนี้สำหรับบางระบบที่มีปัญหาในเรื่องลิ่งที่ต้องการพิจารณาในระบบมีขนาดแตกต่างกันมาก เมื่อเทียบกับขนาดของโครงสร้างรวมทั้งระบบ เช่น งานวิจัยนี้ที่พิจารณาค่าสนามไฟฟ้าที่ปรากฏขึ้นรอบตัวน้ำภายในสายส่ง และค่าสนามไฟฟ้าที่ปรากฏรอบ ๆ มนุษย์ ณ ขณะนี้ การใช้อุปกรณ์สื่อสาร ซึ่งพื้นที่บริเวณทั้งสองเป็นพื้นที่ขนาดเล็ก ระเบียบวิธีไฟฟ้าโน้มถ่วงที่สามารถตัดกริดรูปสามเหลี่ยมให้มีขนาดเล็กเพื่อการวิเคราะห์ภายในบริเวณดังกล่าวได้ ในขณะที่บริเวณส่วนใหญ่เป็นอากาศและไม่มีความจำเป็นสำหรับการศึกษามากนัก ระเบียบวิธีไฟฟ้าโน้มถ่วงที่สามารถตัดกริดรูปสามเหลี่ยมให้มีขนาดใหญ่ได้ เช่น กัน ซึ่งการดำเนินการแบบนี้จะก่อให้เกิดจำนวนอุลิเม้นท์ที่ใช้ในระบบที่ศึกษามีจำนวนไม่มาก และสามารถคำนวณหาผลเฉลย ณ บริเวณที่ต้องการได้อย่างรวดเร็ว ในขณะที่การคำนวณด้วยระเบียบวิธีไฟฟ้าโน้มถ่วงที่ดิฟเฟอเรนท์จะสามารถตัดกริดรูปสี่เหลี่ยมได้เพียงขนาดเดียวเท่านั้น จึงทำให้บริเวณที่ต้องการวิเคราะห์กับบริเวณอื่น ๆ ที่นอกเหนือความสนใจภายในระบบต้องตัดกริดขนาดเดียวกัน ส่งผลให้จำนวนโนดที่ใช้ในการวิเคราะห์มีปริมาณมากและส่งผลให้การคำนวณใช้ระยะเวลานาน อีกทั้งระเบียบวิธีไฟฟ้าโน้มถ่วงที่ดิฟเฟอเรนท์ใช้ได้กับงานที่มีรูปร่างเหลี่ยมหรืองานที่มีลักษณะโครงสร้างไม่ซับซ้อนเกินไปเท่านั้น

5.2 แบบจำลองทางคณิตศาสตร์ของสนามไฟฟ้าของสายส่งไฟฟ้าแรงสูง

สำหรับปัญหาค่าสนามไฟฟ้าแบบ 2 มิติในระบบพิกัดฉาก ระเบียบวิธีไฟฟ้าที่อิลิเมนท์ นิยมจัดรูปสมการเชิงอนุพันธ์ของปัญหาต่าง ๆ ให้อยู่ในรูปสมการที่ (5-1)

$$D_x \frac{\partial^2 \phi}{\partial x^2} + D_y \frac{\partial^2 \phi}{\partial y^2} - G\phi + Q = 0 \quad (5-1)$$

โดยที่ ϕ คือ พังก์ชันใด ๆ ที่ต้องการทราบค่า
 D_x, D_y, G และ Q คือ ค่าคงที่สัมประสิทธิ์

จากสมการที่ (4-5) แบบจำลองสายส่งไฟฟ้าแรงสูงค่าสนามไฟฟ้าที่กระจายรอบบริเวณสายส่งไฟฟ้าแรงสูงสามารถเพิ่มขึ้นและจัดรูปใหม่ เพื่อหาค่าสัมประสิทธิ์หน้าพารามิเตอร์ตัวแปรต่าง ๆ (D_x, D_y, G และ Q) ซึ่งมีรายละเอียดดังนี้

$$\nabla^2 \mathbf{E} - \left(\frac{1}{\nu^2}\right) \left(\frac{\partial^2 \mathbf{E}}{\partial t^2}\right) - \mu\sigma \left(\frac{\partial \mathbf{E}}{\partial t}\right) = 0$$

$$\frac{\partial^2 \mathbf{E}}{\partial x^2} + \frac{\partial^2 \mathbf{E}}{\partial y^2} - \left(\frac{1}{\nu^2}\right) \left(\frac{\partial^2 \mathbf{E}}{\partial t^2}\right) - \mu\sigma \left(\frac{\partial \mathbf{E}}{\partial t}\right) = 0 \quad (5-2)$$

เนื่องจากสภาวะอากาศทั่วไปของระบบที่พิจารณากำหนดให้ $\sigma = 0$ จะได้

$$\frac{\partial^2 \mathbf{E}}{\partial x^2} + \frac{\partial^2 \mathbf{E}}{\partial y^2} - \left(\frac{1}{\nu^2}\right) \left(\frac{\partial^2 \mathbf{E}}{\partial t^2}\right) = 0 \quad (5-3)$$

จาก $\nu = \frac{1}{\sqrt{\mu\epsilon}}$ และคุณสมบัติของระบบที่เป็น time-harmonic ค่า $\frac{\partial^2 \mathbf{E}}{\partial t^2} \approx -\omega^2 \mathbf{E}$ แทนค่าลงในสมการที่ (5-3) จะได้

$$\frac{\partial^2 \mathbf{E}}{\partial x^2} + \frac{\partial^2 \mathbf{E}}{\partial y^2} + \mu\epsilon\omega^2 \mathbf{E} = 0 \quad (5-4)$$

เปรียบเทียบสมการที่ (5-1) กับ (5-4) เพื่อหาค่าสัมประสิทธิ์ D_x , D_y , G และ Q จะได้

$$\begin{aligned} D_x &= D_y = 1 \\ G &= -\mu\epsilon\omega^2 \\ Q &= 0 \end{aligned} \quad (5-5)$$

5.3 การคำนวณค่าสถานภาพฟ้าด้วยระบบเบี้ยบวิธีไฟฟ้าที่อิเล็กทรอนิกส์

ลึบเนื้องจากสมการเชิงอนุพันธ์เพื่อใช้ในการคำนวณหาสถานภาพฟ้าของระบบสายส่งไฟฟ้าแรงสูง ดังแสดงในสมการที่ (5-4) หากผลเฉลยแม่นตรงได้มากเพรำด้วยเหตุที่ติดอยู่ในรูปสมการเชิงอนุพันธ์ย่อยขนาด 2 มิติ ดังนั้นการหาค่าผลเฉลยโดยประมาณด้วยระบบเบี้ยบวิธีไฟฟ้าที่อิเล็กทรอนิกส์จึงถูกนำมาใช้ในการนี้ ซึ่งประกอบไปด้วยขั้นตอนการคำนวณงานต่าง ๆ ดังนี้

5.3.1 การออกแบบกริดของพื้นที่ศึกษา

สำหรับงานวิจัยนี้ระบบที่ใช้ศึกษามีระบบห้ายานาค เริ่มจากระบบไฟฟ้า 1 เฟสจะประกอบไปด้วยระบบไฟฟ้านาค 220 V, 22 kV และ 69 kV ระบบไฟฟ้า 3 เฟสจะประกอบไปด้วยระบบไฟฟ้านาค 69 kV, 115 kV, 230 kV และ 500 kV ซึ่งในหัวข้อการออกแบบกริดของพื้นที่ศึกษานี้ จะขอยกตัวอย่างระบบไฟฟ้า 1 เฟสและ 3 เฟส เพื่อให้เห็นการออกแบบกริดที่แตกต่างกันภายในแต่ละระบบ โดยสิ่งที่แตกต่างกันอย่างชัดเจนระหว่างระบบเบี้ยบวิธีไฟฟ้าที่อิเล็กทรอนิกส์กับระบบเบี้ยบวิธีไฟฟ้าที่อิเล็กทรอนิกส์ที่เห็นได้ชัด คือ การตีกริครูปสามเหลี่ยมด้วยระบบเบี้ยบวิธีไฟฟ้าที่อิเล็กทรอนิกส์ที่มีขนาดเล็กหรือใหญ่ที่เปลี่ยนตามความต้องการในการวิเคราะห์บริเวณพื้นที่ที่สนใจภายในส่วนต่าง ๆ ของระบบ

ขั้นตอนแรกเริ่มจากการแบ่งพื้นที่ของระบบสายส่งออกเป็นกริดรูปสามเหลี่ยมโดยสมมติลักษณะการกระจายของผลลัพธ์โดยประมาณ ณ ตำแหน่งใด ๆ บนอิเล็กทรอนิกส์ที่เป็นแบบเชิงเส้น ซึ่งผ่านการเชื่อมต่อกันระหว่างโนดและอิเล็กทรอนิกส์ต่าง ๆ การออกแบบกริดเป็นรูปอิเล็กทรอนิกส์ต่าง ๆ ได้ใช้โปรแกรม MATLAB™ ที่พัฒนาขึ้น โดยจะมีจำนวนโนดและอิเล็กทรอนิกส์ที่ใช้ภายในระบบไฟฟ้า 1 เฟสและ 3 เฟสโดยมีรายละเอียดดังนี้ ระบบไฟฟ้า 1 เฟส ระบบนาค 220 V มีจำนวนโนดทั้งหมด 1,776 โนดและจำนวนอิเล็กทรอนิกส์เท่ากับ 3,388 อิเล็กทรอนิกส์ ระบบนาค 22 kV มีจำนวนโนดทั้งหมด 3,006 โนด และจำนวนอิเล็กทรอนิกส์เท่ากับ 5,788 อิเล็กทรอนิกส์ ระบบนาค 69 kV มีจำนวนโนดทั้งหมด

3,416 โนดและจำนวนอิลิเมนท์เท่ากับ 6,588 อิลิเมนท์ ตัวอย่างการออกแบบกริดของระบบไฟฟ้า 1 เฟสขนาด 220 V, 22 kV และ 69 kV สามารถแสดงได้ด้วยรูปที่ 5.1-5.3 ตามลำดับ ส่วนระบบไฟฟ้า 3 เฟสจะเริ่มจากระบบขนาด 69 kV มีจำนวนโนดทั้งหมด 495 โนดและจำนวนอิลิเมนท์เท่ากับ 924 อิลิเมนท์ ระบบขนาด 115 kV มีจำนวนโนดทั้งหมด 628 โนด และจำนวนอิลิเมนท์เท่ากับ 1,176 อิลิเมนท์ ระบบขนาด 230 kV มีจำนวนโนดทั้งหมด 847 โนดและจำนวนอิลิเมนท์เท่ากับ 1,592 อิลิเมนท์ สำหรับตัวอย่างการออกแบบกริดของระบบไฟฟ้า 3 เฟสขนาด 69 kV, 115 kV, 230 kV และ 500 kV สามารถแสดงได้ด้วยรูปที่ 5.4-5.7 ตามลำดับ นอกจากนี้ภายในแต่ละรูปยังได้แสดงภาพขยาย เพื่อให้เห็นถึงความละเอียดในการออกแบบกริดและการเชื่อมต่อระหว่างโนดได้อย่างชัดเจนยิ่งขึ้น

5.3.2 ฟังก์ชันการประมาณภายในอิลิเมนท์

ขั้นตอนนี้เป็นการเลือกรูปแบบของฟังก์ชันการประมาณภายในอิลิเมนท์ โดยเมื่อสมมติให้ลักษณะการกระจายของผลเฉลยบนอิลิเมนท์เป็นแบบเชิงเส้นจะได้

$$\mathbf{E}(x, y) = \mathbf{E}_i N_i + \mathbf{E}_j N_j + \mathbf{E}_k N_k \quad (5-6)$$

โดยที่ $N_n \quad n = i, j, k$ คือ ฟังก์ชันการประมาณภายในอิลิเมนท์ และ $\mathbf{E}_n \quad n = i, j, k$ คือ ผลลัพธ์ของค่าสนามไฟฟ้าเชิงเวกเตอร์ในแต่ละ โนด (i, j, k) ของอิลิเมนท์ ซึ่ง

$$N_n = \frac{a_n + b_n x + c_n y}{2\Delta_e} \quad (5-7)$$

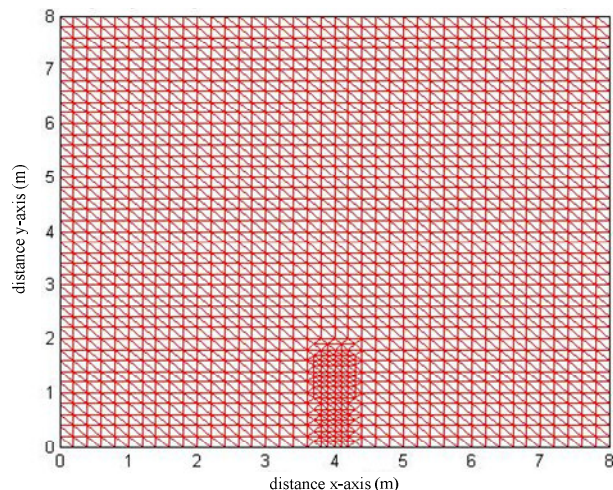
โดยที่

$$\begin{aligned} a_i &= x_j y_k - x_k y_j, & b_i &= y_j - y_k, & c_i &= x_k - x_j \\ a_j &= x_k y_i - x_i y_k, & b_j &= y_k - y_i, & c_j &= x_i - x_k \\ a_k &= x_i y_j - x_j y_i, & b_k &= y_i - y_j, & c_k &= x_j - x_i \end{aligned} \quad (5-8)$$

และ Δ_e คือ พื้นที่ของแต่ละอิลิเมนท์ ซึ่งหาได้จากดีเทอร์มิเนนต์ของสัมประสิทธิ์ดังนี้

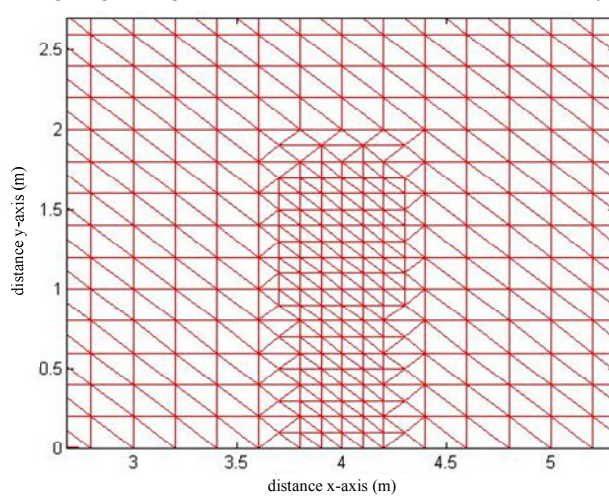
$$\Delta_e = \frac{1}{2} \begin{vmatrix} 1 & x_i & y_i \\ 1 & x_j & y_j \\ 1 & x_k & y_k \end{vmatrix} \quad (5-9)$$

Triangular grid design for calculation FEM in 220 V Transmission line system



(ก) การแบ่งกริดรูปสามเหลี่ยมและการเชื่อมต่อระหว่างอлементที่ภายในโครงสร้าง

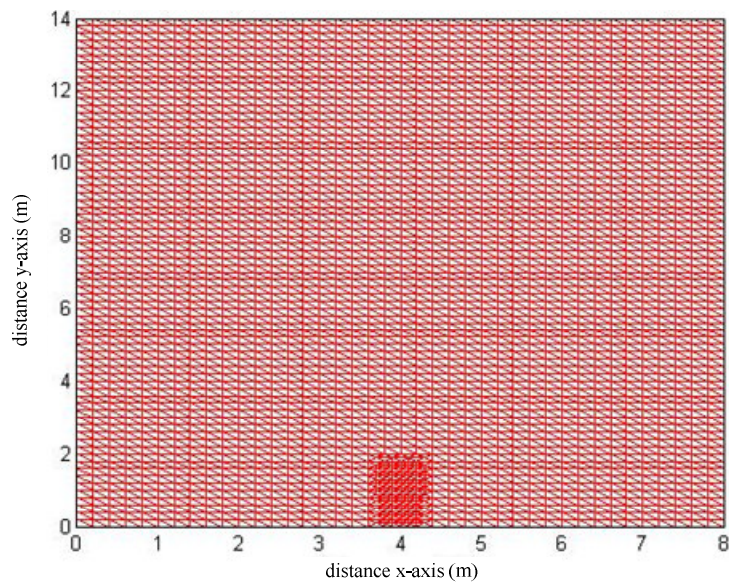
Triangular grid design for calculation FEM in 220 V Transmission line system



(ข) ภาพการขยายการแบ่งกริดและการเชื่อมต่ออlementที่บันบริเวณที่สำคัญ

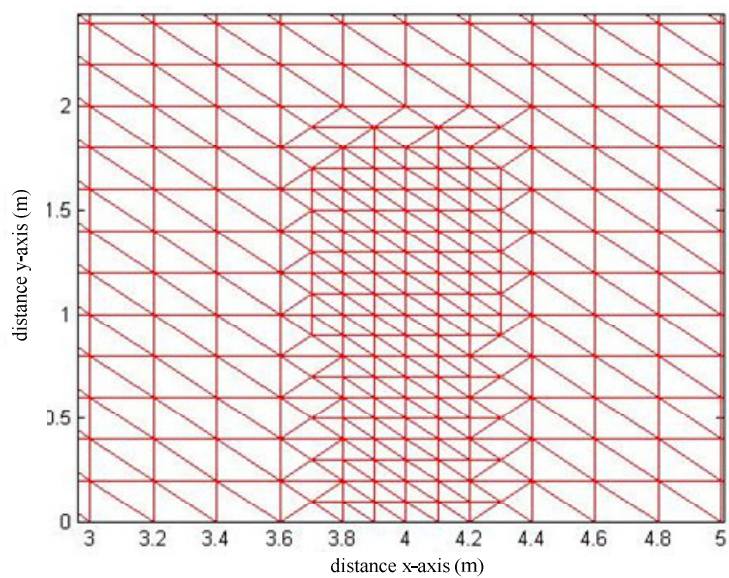
รูปที่ 5.1 โครงสร้างของระบบไฟฟ้า 1 เฟสขนาด 220 V

Triangular grid design for calculation FEM in 22 kV Transmission line system



(ก) การแบ่งกริดรูปสามเหลี่ยมและการเชื่อมต่อระหว่างอิเลเมนท์ภายในโครงสร้าง

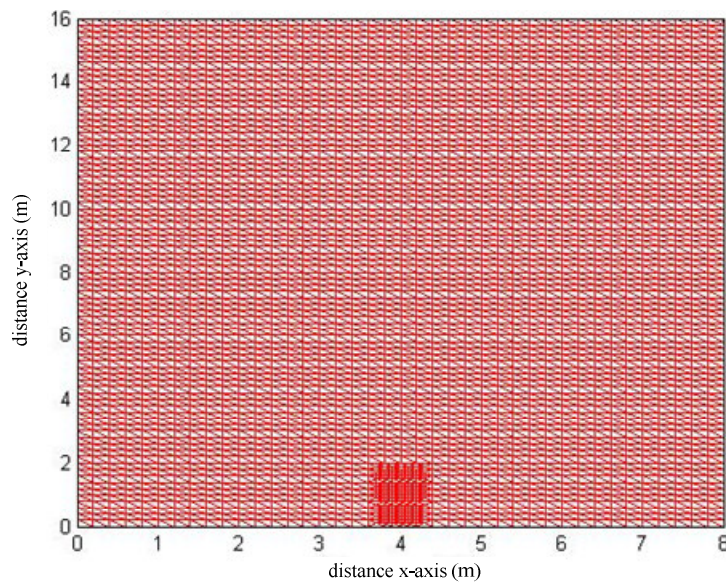
Triangular grid design for calculation FEM in 22 kV Transmission line system



(ข) ภาพการขยายการแบ่งกริดและการเชื่อมต่ออิเลเมนท์บนบริเวณที่สำคัญ

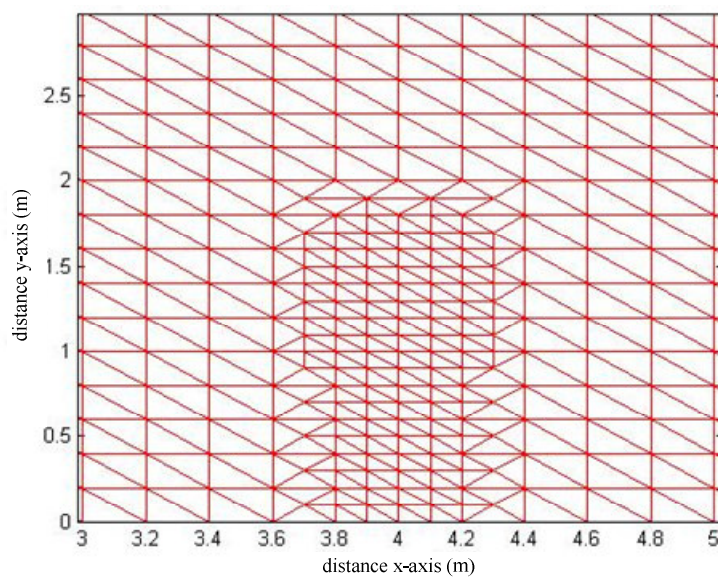
รูปที่ 5.2 โครงสร้างของระบบไฟฟ้า 1 เฟสขนาด 22 kV

Triangular grid design for calculation FEM in 69 kV Transmission line system



(ก) การแบ่งกริดรูปสามเหลี่ยมและการเชื่อมต่อระหว่างอิลิเมนท์ภายในโครงสร้าง

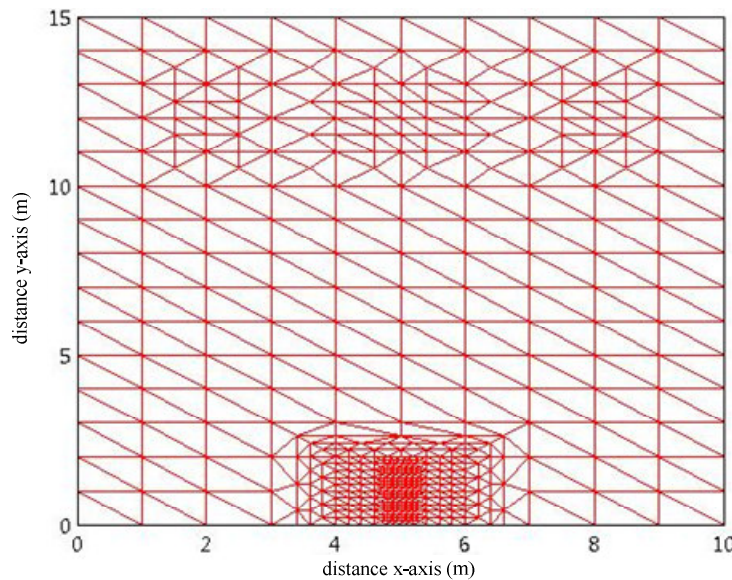
Triangular grid design for calculation FEM in 69 kV Transmission line system



(ข) ภาพการขยายการแบ่งกริดและการเชื่อมต่ออิลิเมนท์บนบริเวณที่สำคัญ

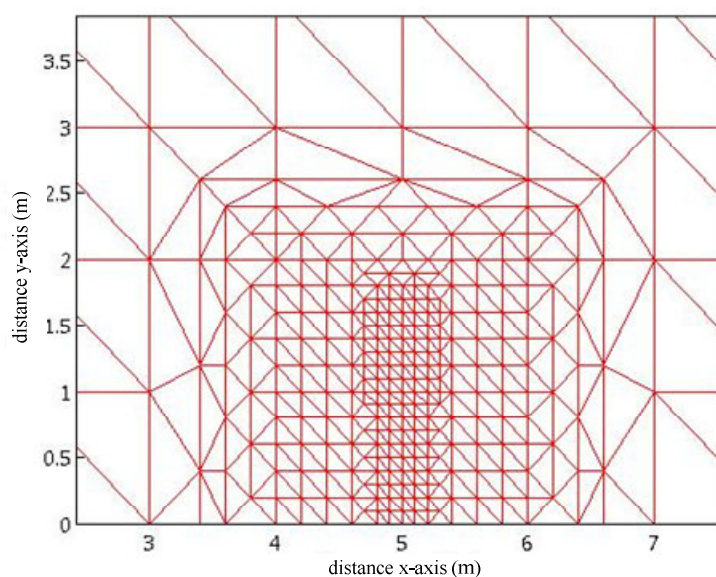
รูปที่ 5.3 โครงสร้างของระบบไฟฟ้า 1 เฟสขนาด 69 kV

Triangular grid design for calculation FEM in 69 kV Transmission line system



(ก) การแบ่งกริดรูปสามเหลี่ยมและการเชื่อมต่อระหว่างอelistメンท์ภายในโครงสร้าง

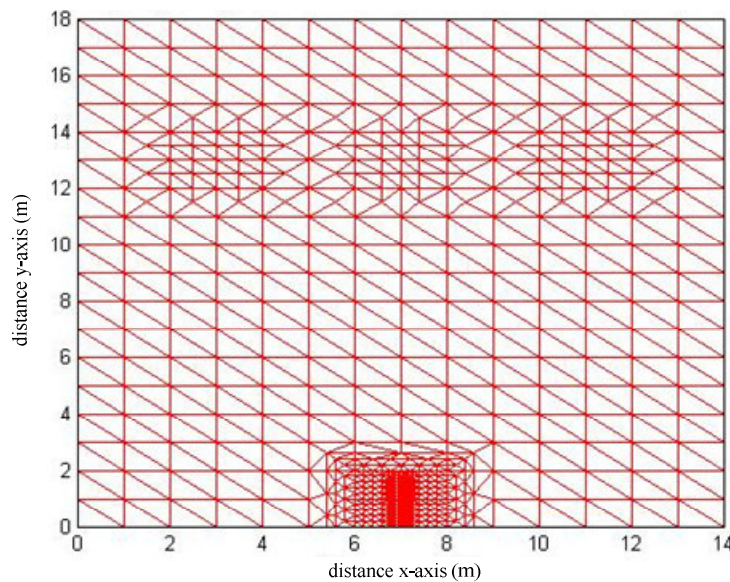
Triangular grid design for calculation FEM in 69 kV Transmission line system



(ข) ภาพการขยายการแบ่งกริดและการเชื่อมต่ออelistメンท์บนบริเวณที่สำคัญ

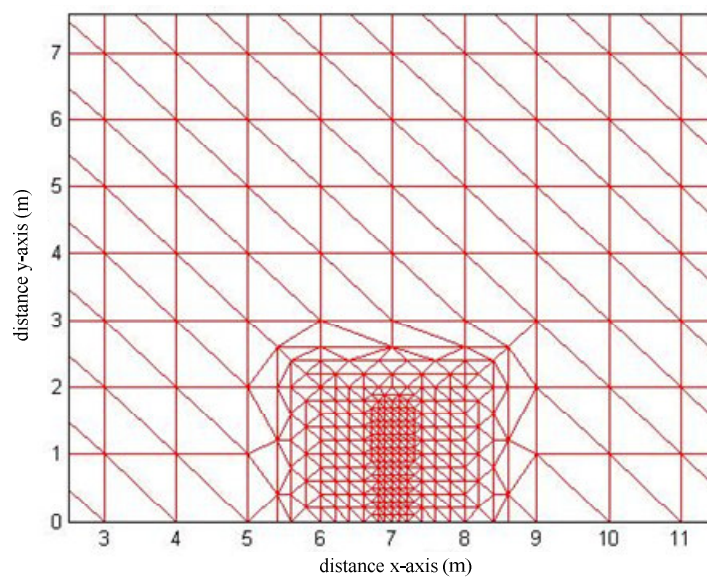
รูปที่ 5.4 โครงสร้างของระบบไฟฟ้า 3 เฟสขนาด 69 kV

Triangular grid design for calculation FEM in 115 kV Transmission line system



(ก) การแบ่งกริดรูปสามเหลี่ยมและการเชื่อมต่อระหว่างอelistメンท์ภายในโครงสร้าง

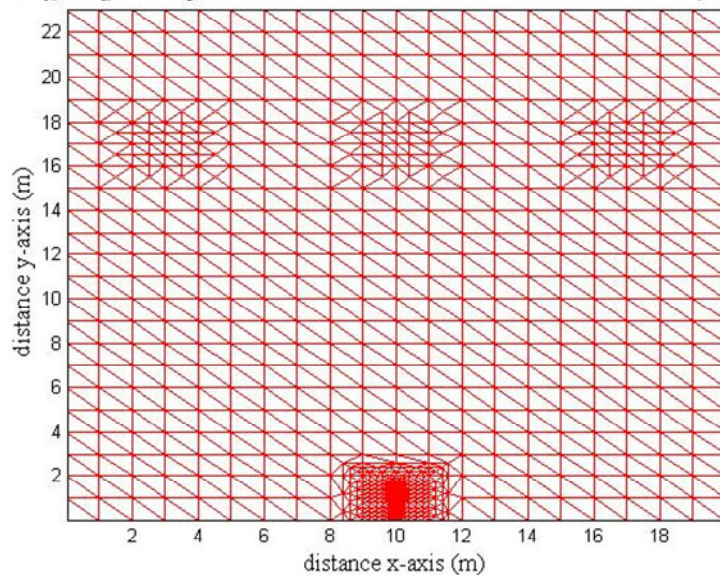
Triangular grid design for calculation FEM in 115 kV Transmission line system



(ข) ภาพการขยายการแบ่งกริดและการเชื่อมต่ออelistメンท์บนบริเวณที่สำคัญ

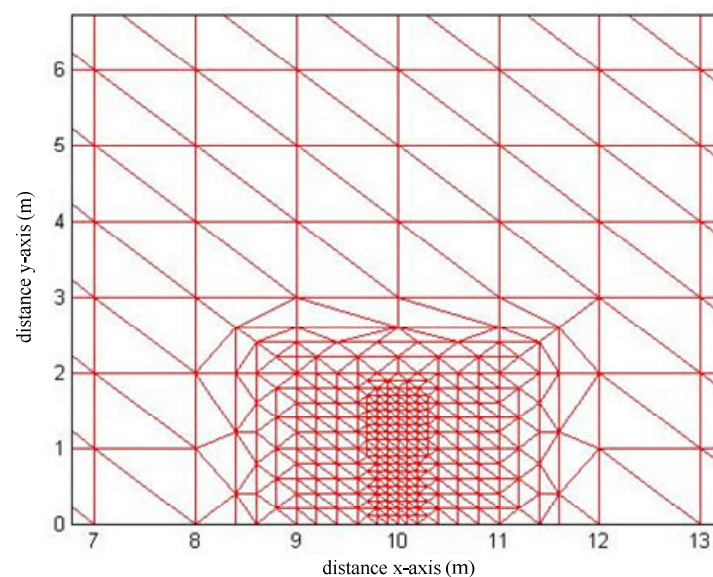
รูปที่ 5.5 โครงสร้างของระบบไฟฟ้า 3 เฟสขนาด 115 kV

Triangular grid design for calculation FEM in 230 kV Transmission line system



(ก) การแบ่งกริดรูปสามเหลี่ยมและการเชื่อมต่อระหว่างอิลิเมนท์ภายในโครงสร้าง

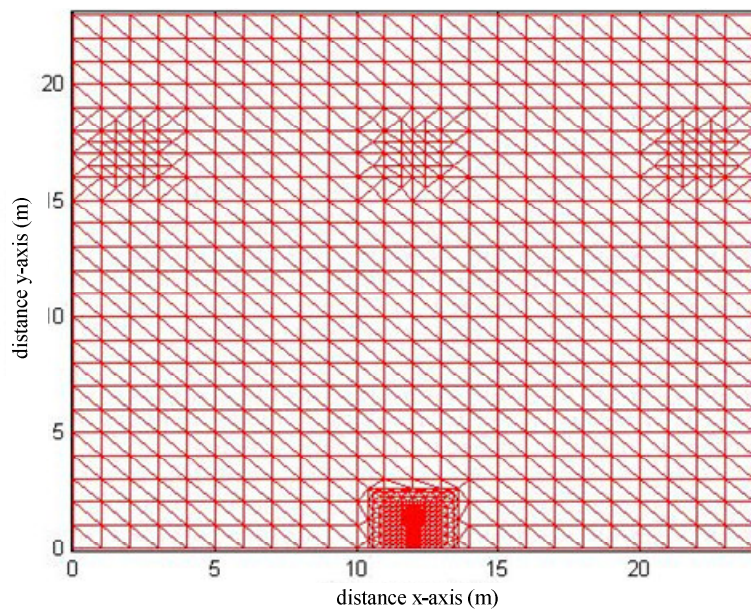
Triangular grid design for calculation FEM in 230 kV Transmission line system



(ข) ภาพการขยายการแบ่งกริดและการเชื่อมต่ออิลิเมนท์บนบริเวณที่สำคัญ

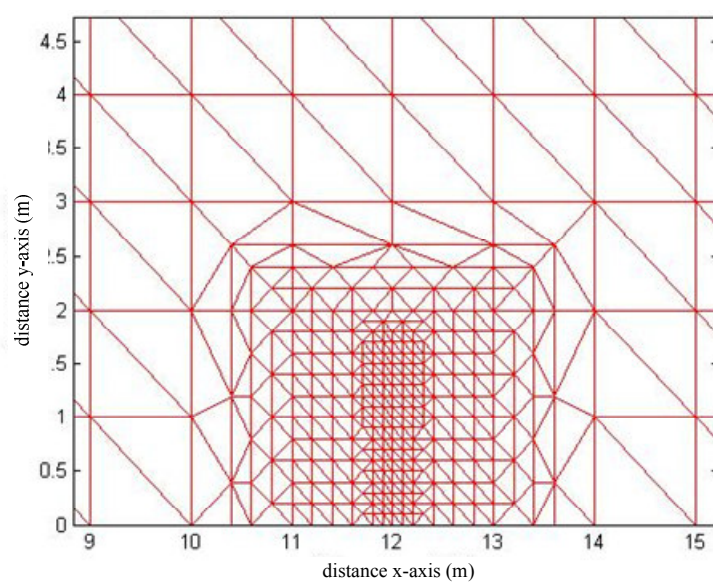
รูปที่ 5.6 โครงสร้างของระบบไฟฟ้า 3 เฟสขนาด 230 kV

Triangular grid design for calculation FEM in 500 kV Transmission line system



(ก) การแบ่งกริดรูปสามเหลี่ยมและการเชื่อมต่อระหว่างอelistเมนท์ภายในโครงสร้าง

Triangular grid design for calculation FEM in 500 kV Transmission line system



(ข) ภาพการขยายการแบ่งกริดและการเชื่อมต่ออelistเมนท์บนบริเวณที่สำคัญ

รูปที่ 5.7 โครงสร้างของระบบไฟฟ้า 3 เฟสขนาด 500 kV

5.3.3 การสร้างสมการของอิลิเมนท์

ขั้นตอนนี้คือว่าเป็นขั้นตอนที่สำคัญที่สุดของวิธีไฟไนท์อิลิเมนท์ ซึ่งเป็นการสร้างสมการของอิลิเมนท์ให้สอดคล้องกับสมการเชิงอนุพันธ์ของปัญหาต่าง ๆ สำหรับปัญหาของระบบ 2 มิติ ทางระเบียบวิธีไฟไนท์อิลิเมนท์จะต้องจัดสมการเชิงอนุพันธ์ของปัญหาให้อยู่ในรูปแบบทั่วไป ดังแสดงในสมการที่ (5-1) ก่อนที่จะเข้าสู่การสร้างสมการของอิลิเมนท์ต่อไป (Larry, 1984)

$$D_x \frac{\partial^2 \phi}{\partial x^2} + D_y \frac{\partial^2 \phi}{\partial y^2} - G\phi + Q = 0$$

$$-\int_{\Delta_e} W_n R d\Delta_e = 0 \quad (5-10)$$

ในระบบของสมการเชิงเส้นสามารถคำนวณหาค่าได้ โดยอาศัยการประมาณของการประยุกต์วิธีการถ่วงน้ำหนักเศษตกค้าง (weighting functions) ดังสมการที่ (5-10) ในปัจจุบันการประยุกต์วิธีการถ่วงน้ำหนักเศษตกค้างถือเป็นวิธีที่ถูกจัดให้เป็นวิธีที่นิยมที่สุดในการประยุกต์ใช้กับปัญหาต่าง ๆ และวิธีนี้ยังสามารถจำแนกแยกย่อยออกໄປได้อีก เช่น วิธีของกาเลอร์คิน (Galerkin) ซึ่งเมทริกซ์ที่เกิดขึ้นจากวิธีนี้ ปกติแล้วจะมีความสมมาตร จึงก่อให้เกิดประโยชน์อย่างมากในการพัฒนาโปรแกรมคอมพิวเตอร์เพื่อใช้กับปัญหานาดใหญ่ สำหรับกรณีระบบปัญหา 2 มิติการสร้างสมการของอิลิเมนท์ด้วยการถ่วงน้ำหนักเศษตกค้างมีหลักการดังนี้ คือ การแทนค่าผลเฉลยโดยประมาณลงในสมการที่ (5-1) จะไม่ก่อให้เกิดค่าเท่ากับศูนย์ หากแต่จะมีค่าเท่ากับ R แทนดังแสดงด้วยสมการที่ (5-11)

$$R = D_x \frac{\partial^2 \phi}{\partial x^2} + D_y \frac{\partial^2 \phi}{\partial y^2} - G\phi + Q \quad (5-11)$$

โดยที่ ϕ คือตัวแปรที่ไม่ทราบค่า

ซึ่ง R เรียกว่าเศษตกค้าง (residual) เป็นค่าผิดพลาดที่เกิดขึ้นจากการใช้ผลเฉลยโดยประมาณซึ่งไม่ใช้ผลเฉลยแม่นตรงของปัญหา เศษตกค้าง R ที่เกิดขึ้นควรมีค่าต่ำที่สุด เพื่อผลเฉลยโดยประมาณที่เกิดขึ้นจะมีค่าเที่ยงตรงมากที่สุด และในงานวิจัยนี้วิธีการถ่วงน้ำหนักเศษตกค้าง

ได้ใช้วิธีของการเลอเรคิน (Preston, Reece, and Sangha, 1988) และ (Kim, Kwon, and Park, 1999) ซึ่งวิธีนี้สามารถถูกทำได้โดยการคูณเศษตอกค้าง R ด้วยฟังก์ชันน้ำหนัก (weighting function: W) และอินทิเกรทดผลด้วยโภเมนของอลิเมนท์ (Δ_e) และกำหนดผลที่ได้ให้เท่ากับศูนย์ นั่นคือ

$$-\int_{\Delta_e} W_n R d\Delta_e = 0, \quad n = 1, 2, 3 \quad (5-12)$$

สำหรับอลิเมนท์รูปสามเหลี่ยม จุดที่ไม่ทราบค่ามี 3 จุด ซึ่งได้แก่จุดต่อห้างสาม ดังนั้น จึงต้องการ 3 สมการในการแก้หาจุดที่ไม่ทราบค่า นั่นหมายถึงในสมการที่ (5-11) จะต้องมีค่า $n = 1, 2, 3$ และโดยปกติเราจะเลือก $W_n = N_n$ ซึ่งเรียกว่า บันโนฟ-กาเลอร์คิน (Bubnov-Galerkin) ดังนั้นมือแทน R ด้วยสมการที่ (5-11) ลงในสมการที่ (5-12) จะได้

$$0 = -\int_{\Delta_e} [N]^T (D_x \frac{\partial^2 \phi}{\partial x^2} + D_y \frac{\partial^2 \phi}{\partial y^2} - G\phi + Q) d\Delta_e \quad (5-13)$$

โดยที่ $[N]^T$ คือ เวกเตอร์เมทริกซ์แนวตั้งของฟังก์ชันการประมาณภายในอลิเมนท์

เนื่องจากฟังก์ชันที่ต้องการประมาณ ($\phi(x, y)$) ไม่มีความต่อเนื่องของอนุพันธ์ ระหว่างแต่ละอลิเมนท์ดังนั้นสมการอนุพันธ์อันดับที่ 2 ตามสมการที่ (5-13) จึงสามารถแทนได้ด้วย สมการอนุพันธ์อันดับที่ 1 ดังนี้

$$\begin{aligned} \frac{\partial}{\partial x} \left([N]^T \frac{\partial \phi}{\partial x} \right) &= [N]^T \frac{\partial^2 \phi}{\partial x^2} + \frac{\partial [N]^T}{\partial x} \frac{\partial \phi}{\partial x} \\ [N]^T \frac{\partial^2 \phi}{\partial x^2} &= \frac{\partial}{\partial x} \left([N]^T \frac{\partial \phi}{\partial x} \right) - \frac{\partial [N]^T}{\partial x} \frac{\partial \phi}{\partial x} \end{aligned} \quad (5-14)$$

จากสมการที่ (5-13) จะได้

$$0 = - \int_{\Delta_e} [N]^T D_x \frac{\partial^2 \phi}{\partial x^2} d\Delta_e - \int_{\Delta_e} [N]^T D_y \frac{\partial^2 \phi}{\partial y^2} d\Delta_e + \int_{\Delta_e} [N]^T G \phi d\Delta_e - \int_{\Delta_e} [N]^T Q d\Delta_e$$

(A) (B) (C) (D)

(5-15)

ส่วนเทอม A ในสมการที่ (5-15) จะสามารถแทนได้ด้วยสมการอนุพันธ์อันดับหนึ่ง โดยอาศัยสมการที่ (5-14) จะได้สมการใหม่ดังสมการที่ (5-16)

$$-\int_{\Delta_e} [N]^T D_x \frac{\partial^2 \phi}{\partial x^2} d\Delta_e = - \int_{\Delta_e} D_x \frac{\partial}{\partial x} \left([N]^T \frac{\partial \phi}{\partial x} \right) d\Delta_e + \int_{\Delta_e} D_x \frac{\partial [N]^T}{\partial x} \frac{\partial \phi}{\partial x} d\Delta_e \quad (5-16)$$

นอกจากนี้ยังสามารถประมาณพจน์ $-\int_{\Delta_e} D_x \frac{\partial}{\partial x} \left([N]^T \frac{\partial \phi}{\partial x} \right) d\Delta_e$ โดยอาศัยสมการที่ (5-17) ได้ดังนี้

$$\int_{\Delta_e} \frac{\partial}{\partial x} \left([N]^T \frac{\partial \phi}{\partial x} \right) d\Delta_e = \int_{\Gamma} [N]^T \frac{\partial \phi}{\partial x} \cos \theta d\Gamma \quad (5-17)$$

โดยที่ θ คือ มุมที่กระทำกับพื้นผิวอิเล็กทรอนิกส์
 Γ คือ พื้นที่ขอบเขตของอิเล็กทรอนิกส์

แทนค่าสมการที่ (5-17) แทนใน (5-16) จึงได้พจน์ A เป็น

$$-\int_{\Delta_e} D_x [N]^T \frac{\partial^2 \phi}{\partial x^2} d\Delta_e = - \int_{\Gamma} D_x [N]^T \frac{\partial \phi}{\partial x} \cos \theta d\Gamma + \int_{\Delta_e} D_x \frac{\partial [N]^T}{\partial x} \frac{\partial \phi}{\partial x} d\Delta_e \quad (5-18)$$

ในทำนองเดียวกันเทอม B ในสมการที่ (5-15) จึงได้

$$-\int_{\Delta_e} D_y [N]^T \frac{\partial^2 \phi}{\partial y^2} d\Delta_e = -\int_{\Gamma} D_y [N]^T \frac{\partial \phi}{\partial y} \sin \theta d\Gamma + \int_{\Delta_e} D_y \frac{\partial [N]^T}{\partial y} \frac{\partial \phi}{\partial y} d\Delta_e \quad (5-19)$$

แทนค่าสมการที่ (5-18) และ (5-19) ในสมการที่ (5-15) จะได้

$$\begin{aligned} 0 = & -\int_{\Gamma} [N]^T (D_x \frac{\partial \phi}{\partial x} \cos \theta + D_y \frac{\partial \phi}{\partial y} \sin \theta) d\Gamma + \int_{\Delta_e} (D_x \frac{\partial [N]^T}{\partial x} \frac{\partial \phi}{\partial x} + D_y \frac{\partial [N]^T}{\partial y} \frac{\partial \phi}{\partial y}) d\Delta_e \\ & + \int_{\Delta_e} G[N]^T \phi d\Delta_e - \int_{\Delta_e} Q[N]^T d\Delta_e \end{aligned} \quad (5-20)$$

จาก $\phi^{(e)} = [N] \{\Phi^{(e)}\}$ แทนค่าในสมการที่ (5-20) จะได้

$$\begin{aligned} 0 = & -\int_{\Gamma} [N]^T (D_x \frac{\partial \phi}{\partial x} \cos \theta + D_y \frac{\partial \phi}{\partial y} \sin \theta) d\Gamma \\ & + \left(\int_{\Delta_e} (D_x \frac{\partial [N]^T}{\partial x} \frac{\partial [N]}{\partial x} + D_y \frac{\partial [N]^T}{\partial y} \frac{\partial [N]}{\partial y}) d\Delta_e \right) \{\Phi^{(e)}\} \\ & + \left(\int_{\Delta_e} G[N]^T [N] d\Delta_e \right) \{\Phi^{(e)}\} - \int_{\Delta_e} Q[N]^T d\Delta_e \end{aligned} \quad (5-21)$$

และสามารถเขียนให้อยู่รูปทั่วไปได้เป็น

$$0 = \{I^{(e)}\} + [K^{(e)}] \{\Phi^{(e)}\} - \{f^{(e)}\} \quad (5-22)$$

โดยที่

$$\{I^{(e)}\} = -\int_{\Gamma} [N]^T (D_x \frac{\partial \phi}{\partial x} \cos \theta + D_y \frac{\partial \phi}{\partial y} \sin \theta) d\Gamma$$

$$[K^{(e)}] = \int_{\Delta_e} (D_x \frac{\partial [N]^T}{\partial x} \frac{\partial [N]}{\partial x} + D_y \frac{\partial [N]^T}{\partial y} \frac{\partial [N]}{\partial y}) d\Delta_e + \int_{\Delta_e} G[N]^T [N] d\Delta_e$$

$$\{f^{(e)}\} = \int_{\Delta_e} Q[N]^T d\Delta_e$$

โดยที่ $[K^{(e)}]$ สามารถจัดรูปใหม่โดยการดำเนินการต่อไปนี้

$$[D] = \begin{bmatrix} D_x & 0 \\ 0 & D_y \end{bmatrix} \quad (5-23)$$

และเวกเตอร์เกรดิエンต์ (gradient vector : gv)

$$\{gv\} = \begin{Bmatrix} \frac{\partial \phi}{\partial x} \\ \frac{\partial \phi}{\partial y} \end{Bmatrix} = \begin{Bmatrix} \frac{\partial [N]}{\partial x} \\ \frac{\partial [N]}{\partial y} \end{Bmatrix} \{\phi^{(e)}\} = [B] \{\Phi^{(e)}\}$$

$$[B] = \begin{bmatrix} \frac{\partial [N]}{\partial x} \\ \frac{\partial [N]}{\partial y} \end{bmatrix}$$

$$[B]^T = \begin{bmatrix} \frac{\partial [N]^T}{\partial x} & \frac{\partial [N]^T}{\partial y} \end{bmatrix} \quad (5-24)$$

จาก $[B]$, $[B]^T$ และ $[D]$ สามารถเขียน $[K^{(e)}]$ ใหม่ได้เป็น

$$[K^{(e)}] = \int_{\Delta_e} [B]^T [D] [B] d\Delta_e + \int_{\Delta_e} G[N]^T [N] d\Delta_e$$

$$[K^{(e)}] = [K_D^{(e)}] + [K_G^{(e)}] \quad (5-25)$$

เนื่องจากงานวิจัยนี้เลือกกริชรูปสามเหลี่ยมในการคำนวณ ดังนั้นค่า ϕ ในรูปสามเหลี่ยมจึงสามารถกำหนดได้เป็น

$$\phi^{(e)} = [N_i \quad N_j \quad N_k] \{\Phi^{(e)}\} \quad (5-26)$$

โดยที่

$$\begin{aligned} N_i &= \frac{1}{2\Delta_e} (a_i + b_i x + c_i y) \\ N_j &= \frac{1}{2\Delta_e} (a_j + b_j x + c_j y) \\ N_k &= \frac{1}{2\Delta_e} (a_k + b_k x + c_k y) \end{aligned} \quad (5-27)$$

และจะได้เวกเตอร์เกรเดียนต์สำหรับอัลเมนที่นี้เป็น

จาก

$$\{gv\} = \begin{bmatrix} \frac{d[N]}{dx} \\ \frac{d[N]}{dy} \end{bmatrix} \{\phi^{(e)}\}$$

จะได้

$$\{gv\} = \begin{bmatrix} \frac{\partial N_i}{\partial x} & \frac{\partial N_j}{\partial x} & \frac{\partial N_k}{\partial x} \\ \frac{\partial N_i}{\partial y} & \frac{\partial N_j}{\partial y} & \frac{\partial N_k}{\partial y} \end{bmatrix} \{\phi^{(e)}\} \quad (5-28)$$

แทนค่าสมการที่ (5-27) ในสมการที่ (5-28) จะได้

$$\{gv\} = \frac{1}{2\Delta_e} \begin{bmatrix} b_i & b_j & b_k \\ c_i & c_j & c_k \end{bmatrix} \{\phi^{(e)}\} = [B]\{\phi^{(e)}\}$$

$$\therefore [B] = \frac{1}{2\Delta_e} \begin{bmatrix} b_i & b_j & b_k \\ c_i & c_j & c_k \end{bmatrix} \quad (5-29)$$

จากสมการที่ (5-25) จะสังเกตเห็นได้ว่า

$$[K_D^{(e)}] = \int_{\Delta_e} [B]^T [D] [B] d\Delta_e$$

เนื่องจาก $[B]$ และ $[D]$ เป็นค่าคงที่จะได้

$$[K_D^{(e)}] = [B]^T [D] [B] \int_{\Delta_e} d\Delta_e$$

$$\therefore [K_D^{(e)}] = [B]^T [D] [B] \Delta_e \quad (5-30)$$

แทนค่า $[B]$ และ $[D]$ จัดอยู่ในรูปสมการ $[K_D^{(e)}]$ ใหม่ได้เป็น

$$[K_D^{(e)}] = \begin{bmatrix} b_i & c_i \\ b_j & c_j \\ b_k & c_k \end{bmatrix} \begin{bmatrix} D_x & 0 \\ 0 & D_y \end{bmatrix} \begin{bmatrix} b_i & b_j & b_k \\ c_i & c_j & c_k \end{bmatrix} \Delta_e \left(\frac{1}{2\Delta_e} \right) \left(\frac{1}{2\Delta_e} \right)$$

$$[K_D^{(e)}] = \begin{bmatrix} D_x b_i & D_y c_i \\ D_x b_j & D_y c_j \\ D_x b_k & D_y c_k \end{bmatrix} \begin{bmatrix} b_i & b_j & b_k \\ c_i & c_j & c_k \end{bmatrix} \left(\frac{1}{4\Delta_e} \right)$$

$$\begin{aligned}
 [K_D^{(e)}] &= \begin{bmatrix} D_x b_i^2 + D_y c_i^2 & D_x b_i b_j + D_y c_i c_j & D_x b_i b_k + D_y c_i c_k \\ D_x b_i b_j + D_y c_i c_j & D_x b_j^2 + D_y c_j^2 & D_x b_j b_k + D_y c_j c_k \\ D_x b_k b_i + D_y c_k c_i & D_x b_k b_j + D_y c_k c_j & D_x b_k^2 + D_y c_k^2 \end{bmatrix} \left(\frac{1}{4\Delta_e} \right) \\
 \therefore [K_D^{(e)}] &= \frac{D_x}{4\Delta_e} \begin{bmatrix} b_i^2 & b_i b_j & b_i b_k \\ b_i b_j & b_j^2 & b_j b_k \\ b_i b_k & b_k b_j & b_k^2 \end{bmatrix} + \frac{D_y}{4\Delta_e} \begin{bmatrix} c_i^2 & c_i c_j & c_i c_k \\ c_i c_j & c_j^2 & c_j c_k \\ c_i c_k & c_k c_j & c_k^2 \end{bmatrix} \quad (5-31)
 \end{aligned}$$

จากสมการที่ (5-25) ถ้ากำหนดให้ G เป็นค่าคงที่ ภายในแต่ละอิเลมันท์จะได้

$$\begin{aligned}
 [K_G^{(e)}] &= \int_{\Delta_e} G[N]^T [N] d\Delta_e \\
 &= G \int_{\Delta_e} \begin{bmatrix} N_i \\ N_j \\ N_k \end{bmatrix} \begin{bmatrix} N_i & N_j & N_k \end{bmatrix} d\Delta_e \\
 &= G \int_{\Delta_e} \begin{bmatrix} N_i^2 & N_i N_j & N_i N_k \\ N_j N_i & N_j^2 & N_j N_k \\ N_i N_k & N_j N_k & N_k^2 \end{bmatrix} d\Delta_e \quad (5-32)
 \end{aligned}$$

ใช้สูตรเชิงตัวประกอบ (factorial formula) ในการประมาณการอินทิเกรทในสมการที่ (5-32) เพราะเนื่องจาก $N_i = L_1$, $N_j = L_2$ และ $N_k = L_3$ จะได้

$$\int_{\Delta_e} L_1^a L_2^b L_3^c d\Delta_e = \frac{a! b! c!}{(a+b+c+2)!} 2\Delta_e \quad (5-33)$$

$$[K_G^{(e)}] = \begin{bmatrix} \frac{2}{12} & \frac{1}{12} & \frac{1}{12} \\ \frac{1}{12} & \frac{2}{12} & \frac{1}{12} \\ \frac{1}{12} & \frac{1}{12} & \frac{2}{12} \end{bmatrix} G\Delta_e$$

$$\therefore [K_G^{(e)}] = \frac{G\Delta_e}{12} \begin{bmatrix} 2 & 1 & 1 \\ 1 & 2 & 1 \\ 1 & 1 & 2 \end{bmatrix} \quad (5-34)$$

จาก $[K^{(e)}] = [K_D^{(e)}] + [K_G^{(e)}]$

$$= \frac{D_x}{4\Delta_e} \begin{bmatrix} b_i^2 & b_i b_j & b_i b_k \\ b_i b_j & b_j^2 & b_j b_k \\ b_i b_k & b_j b_k & b_k^2 \end{bmatrix} + \frac{D_y}{4\Delta_e} \begin{bmatrix} c_i^2 & c_i c_j & c_i c_k \\ c_i c_j & c_j^2 & c_j c_k \\ c_i c_k & c_j c_k & c_k^2 \end{bmatrix} + \frac{G\Delta_e}{12} \begin{bmatrix} 2 & 1 & 1 \\ 1 & 2 & 1 \\ 1 & 1 & 2 \end{bmatrix} \quad (5-35)$$

สำหรับกรณีที่ $Q \neq 0$ จะได้

$$\int_{\Delta_e} Q[N]^T d\Delta_e = Q \int_{\Delta_e} \begin{bmatrix} N_i \\ N_j \\ N_k \end{bmatrix} d\Delta_e = Q \int_{\Delta_e} \begin{bmatrix} L_1 \\ L_2 \\ L_3 \end{bmatrix} d\Delta_e$$

$$\therefore \{f^{(e)}\} = \frac{Q\Delta_e}{3} \begin{bmatrix} 1 \\ 1 \\ 1 \end{bmatrix}$$

แต่ในงานวิจัยวิทยานิพนธ์นี้ $Q = 0$ จากสมการที่ (5-22) จึงได้

$$\{R^{(e)}\} = \{I^{(e)}\} + [K^{(e)}]\{\phi^{(e)}\} \quad (5-36)$$

และที่ค่าขอบเขตของแต่ละอิเล็กเมนต์ Γ ได้ประยุกต์เงื่อนไขแบบนอยมันน์ (Neumann condition) โดยกำหนดให้ $\frac{\partial \phi}{\partial n} = 0$ เมื่อ n คือ เวกเตอร์ตั้งฉากกับขอบเขตของเวกเตอร์

$$0 = [K^{(e)}] \{ \phi^{(e)} \} \quad (5-37)$$

โดยที่

$$[K^{(e)}] = \frac{1}{4\Delta_e} \begin{bmatrix} b_i^2 & b_i b_j & b_i b_k \\ b_i b_j & b_j^2 & b_j b_k \\ b_i b_k & b_j b_k & b_k^2 \end{bmatrix} + \frac{1}{4\Delta_e} \begin{bmatrix} c_i^2 & c_i c_j & c_i c_k \\ c_i c_j & c_j^2 & c_j c_k \\ c_i c_k & c_j c_k & c_k^2 \end{bmatrix} - \frac{\mu \epsilon \omega^2 \Delta_e}{12} \begin{bmatrix} 2 & 1 & 1 \\ 1 & 2 & 1 \\ 1 & 1 & 2 \end{bmatrix}$$

5.3.4 การประกอบสมการอิเล็กเมนท์เป็นระบบ

ขั้นตอนนี้เป็นการนำสมการของแต่ละอิเล็กเมนท์ที่ได้มาประกอบกันเป็นสมการรวมของระบบ โดยจากขั้นตอนในหัวข้อที่ 4.3.1 หากเราแบ่งลักษณะรูปร่างของปัญหาออกเป็นอิเล็กเมนท์ ย่อยซึ่งประกอบด้วย n ชุดคือ จึงก่อให้เกิดระบบสมการรวมซึ่งประกอบด้วยสมการย่อยจำนวนทั้งสิ้น n สมการ ดังนั้นจึงได้สมการรวมของงานวิจัยนี้ตามสมการที่ (4-12) ดังที่ได้ผ่านมาในบทที่ 4 คือ

$$\begin{bmatrix} A_{11} & A_{12} & A_{13} & \dots & A_{1n} \\ A_{21} & A_{22} & A_{23} & \dots & A_{2n} \\ A_{31} & A_{32} & A_{33} & \dots & A_{3n} \\ \vdots & \vdots & \vdots & \ddots & \vdots \\ \vdots & \vdots & \vdots & \ddots & \vdots \\ A_{n1} & A_{n2} & A_{n3} & \dots & A_{nn} \end{bmatrix}_{sys(n \times n)} \begin{bmatrix} x_1 \\ x_2 \\ x_3 \\ \vdots \\ \vdots \\ x_n \end{bmatrix}_{sys(n \times 1)} = \begin{bmatrix} b_1 \\ b_2 \\ b_3 \\ \vdots \\ \vdots \\ b_n \end{bmatrix}_{sys(n \times 1)}$$

เมื่อ

A คือ ค่าสัมประสิทธิ์ของระบบรวม

x คือ ค่าสถานะไฟฟ้าที่ยังไม่ทราบค่า ณ ตำแหน่งโนดต่าง ๆ

b คือ ค่าแรงภายนอกที่มากระทำ ณ ตำแหน่งโนดต่าง ๆ

เนื่องจากมีวัตถุที่มีคุณสมบัติแตกต่างกันภายในงานวิจัยนี้อยู่ 2 ชนิด คือ อาจากับร่างกายของมนุษย์ ซึ่งทั้งสองมีค่าสภาพยอมทางไฟฟ้าสัมพัทธ์เท่ากับ 1 และ 5 ตามลำดับ จากสมการที่ (5-35) ส่วนที่มีผลต่อค่าสภาพยอมทางไฟฟ้า คือ $[K_G^{(e)}]$ คำนึงถึงค่าดังกล่าวจะได้สมการในแต่ละอิเล็กทรอนิกส์ที่มีคุณลักษณะทางเนื้อวัตถุระหว่างอาจากับร่างกายมนุษย์จะได้ $[K^{(e)}]$ ตามสมการที่ (5-38) และ (5-39) ตามลำดับ

อาจาก:

$$[K^{(e)}] = \frac{1}{4\Delta_e} \begin{bmatrix} b_i^2 & b_i b_j & b_i b_k \\ b_i b_j & b_j^2 & b_j b_k \\ b_i b_k & b_k b_j & b_k^2 \end{bmatrix} + \frac{1}{4\Delta_e} \begin{bmatrix} c_i^2 & c_i c_j & c_i c_k \\ c_i c_j & c_j^2 & c_j c_k \\ c_i c_k & c_k c_j & c_k^2 \end{bmatrix} - \frac{\mu_0 \epsilon_0 \omega^2 \Delta_e}{12} \begin{bmatrix} 2 & 1 & 1 \\ 1 & 2 & 1 \\ 1 & 1 & 2 \end{bmatrix} \quad (5-38)$$

มนุษย์:

$$[K^{(e)}] = \frac{1}{4\Delta_e} \begin{bmatrix} b_i^2 & b_i b_j & b_i b_k \\ b_i b_j & b_j^2 & b_j b_k \\ b_i b_k & b_k b_j & b_k^2 \end{bmatrix} + \frac{1}{4\Delta_e} \begin{bmatrix} c_i^2 & c_i c_j & c_i c_k \\ c_i c_j & c_j^2 & c_j c_k \\ c_i c_k & c_k c_j & c_k^2 \end{bmatrix} - \frac{5\mu_0 \epsilon_0 \omega^2 \Delta_e}{12} \begin{bmatrix} 2 & 1 & 1 \\ 1 & 2 & 1 \\ 1 & 1 & 2 \end{bmatrix} \quad (5-39)$$

5.3.5 ประยุกต์เงื่อนไขขอบเขตพร้อมหาผลเฉลย

ขั้นตอนการหาค่าผลเฉลยของค่าสนามไฟฟ้าเริ่มจากการกำหนดเงื่อนไขขอบเขตให้แก่สายส่งไฟฟ้ากับโทรศัพท์มือถือ โดยขั้นตอนส่วนนี้จะทำในทำนองเดียวกับระเบียบวิธีไฟฟ้าน้ำที่ดีเฟอร์เรนท์

5.4 สรุป

บทนี้ได้นำเสนอแบบจำลองทางคณิตศาสตร์ของสนามไฟฟ้าในสายส่งไฟฟ้าแรงสูง 1 เฟส และ 3 เฟส ประกอบกับคำนึงถึงคุณสมบัติของวัตถุที่แตกต่างกันในระบบ ซึ่งแบบจำลองทางคณิตศาสตร์จะปราศจากข้อผิดพลาดของการอนุพันธ์ย่อยอันดับสอง การประยุกต์วิธีไฟฟ้าน้ำที่ดีเฟอร์เรนท์เพื่อกำหนดเงื่อนไขทางคณิตศาสตร์จะช่วยให้เราสามารถคำนวณค่าสนามไฟฟ้าได้ใช้วิธีการถ่วงน้ำหนักเศษตกค้างของการเลือร์คิน รายละเอียดต่างๆ ในบทนี้จะนำไปสู่การพัฒนาโปรแกรมไฟฟ้าน้ำที่ดีเฟอร์เรนท์เพื่อใช้เป็นโปรแกรมจำลองผลระบบที่จะได้ก่อตัวถึงในบทที่ 6 ต่อไป

บทที่ 6

โปรแกรมจำลองผลstanamไฟฟ้าและผลการจำลองของระบบสายส่งแบบ 2 มิติ

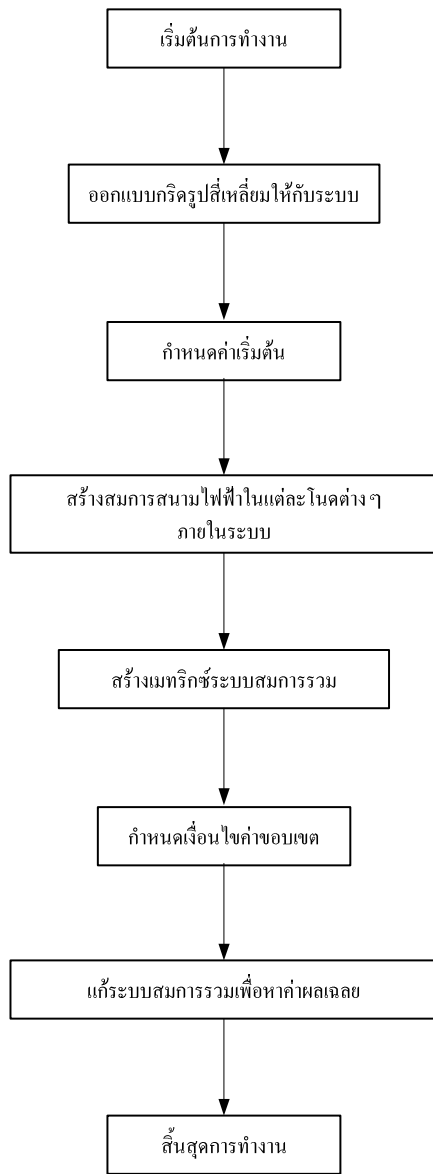
6.1 บทนำ

การจำลองผลของงานวิจัยนี้มีวัตถุประสงค์เพื่อศึกษาถึงการกระจายค่าstanamไฟฟ้า ณ ตำแหน่งต่าง ๆ ภายในระบบสายส่งไฟฟ้าแรงสูง ดังนั้นภายในบทที่ 6 จึงกล่าวถึงค่าพารามิเตอร์ต่าง ๆ ของระบบที่ใช้ในการจำลองผลและอธิบายถึงโปรแกรมจำลองผลด้วยระเบียนวิธีไฟในที่ดิฟเฟอร์เรนท์ และโปรแกรมจำลองผลด้วยระเบียนวิธีไฟในท็อลิเมนท์ รวมถึงการดำเนินการเปรียบเทียบผลค่าstanamไฟฟ้ากับโปรแกรมสำเร็จรูป PDETOOL โปรแกรมทั้งหมดถูกออกแบบให้ทำงานบนพื้นฐานการใช้งานของ MATLAB™ ภายในงานวิจัยนี้ได้ใช้คอมพิวเตอร์ Intel Pentium IV dual cores 3.0 GHz 1GB เพื่อประมวลผลหาค่าstanamไฟฟ้าของระบบสายส่งไฟฟ้า 1 เฟสและ 3 เฟสแบบ 2 มิติ

การจำลองผลมีวัตถุประสงค์เพื่อศึกษาถึงการกระจายตัวของค่าstanamไฟฟ้า ซึ่งภายในงานวิจัยนี้ได้ใช้ระเบียนวิธี 2 วิธี คือ ระเบียนวิธีไฟในที่ดิฟเฟอร์เรนท์ และระเบียนวิธีไฟในท็อลิเมนท์เป็นพื้นฐานสำคัญในการเขียนโปรแกรมหาค่าผลเฉลยของค่าstanamไฟฟ้า โดยหลักการเขียนโปรแกรมทั้ง 2 วิธีจะมีหลักการคล้ายคลึงกัน คือ เริ่มจากการออกแบบกริดตามขนาดรูปร่างของระบบ โดยระเบียนวิธีไฟในที่ดิฟเฟอร์เรนท์จะใช้กริดรูปสี่เหลี่ยม และระเบียนวิธีไฟในท็อลิเมนท์จะใช้กริดรูปสามเหลี่ยม จากนั้นสร้างสมการstanamไฟฟ้า สำหรับระเบียนวิธีไฟในที่ดิฟเฟอร์เรนท์จะคำนึงการสร้างสมการในลักษณะตามโนดต่าง ๆ ภายในระบบ ในขณะที่ ระเบียนวิธีไฟในท็อลิเมนท์จะสร้างสมการตามแต่ละอิลิเมนท์ที่ปรากฏขึ้นในระบบแทน เมื่อได้สมการที่อธิบายคุณสมบัติตามโนดหรืออิลิเมนท์ตามแต่ละวิธีแล้ว จากนั้นจะทำการสร้างเมทริกซ์ระบบสมการรวม โดยนำสมการที่ได้จากการพัฒนาตามโนดหรืออิลิเมนท์ต่าง ๆ ตามแต่ละวิธีมารวมกันเป็นเมทริกซ์ที่มีขนาดใหญ่ หลังจากได้เมทริกซ์ระบบสมการรวมจะทำการกำหนดเงื่อนไขค่าขอบเขต และแก้ระบบสมการรวมเพื่อหาผลเฉลยอันเป็นการลิ้นสุดการทำงาน สำหรับรายละเอียดของโปรแกรม 2 วิธีดังกล่าวสามารถแสดงขึ้นตอนการคำนวณได้ดังนี้

6.2 ระเบียบวิธีไฟน์ดิฟเฟอร์เรนท์

การคำนวณหาค่าสนمانไฟฟ้าภายใต้ระบบสายสั่งไฟฟ้าแรงสูงสามารถดำเนินการคำนวณด้วยระเบียบวิธีไฟน์ดิฟเฟอร์เรนท์ ตามขั้นตอนภายใต้โครงสร้างโปรแกรมของแผนภูมิรูปที่ 6.1



รูปที่ 6.1 แผนภูมิการดำเนินงานของโปรแกรมคำนวณสนمانไฟฟ้า
ด้วยระเบียบวิธีไฟน์ดิฟเฟอร์เรนท์

6.2.1 โปรแกรมออกแบบกริดรูปสี่เหลี่ยมให้กับระบบ

โปรแกรมสร้างกริดของระบบที่มีไฟฟ้าในท่อเฟอร์เรนท์จะมีโครงสร้างของโปรแกรมที่ไม่ซับซ้อนมากนัก โดยจุดประสงค์หลักของโปรแกรมส่วนนี้ คือ การสร้างเมทริกซ์ที่มีสมาชิกภายในเป็นหมายเลขโนดต่าง ๆ ตามการกำหนดขนาดของระบบที่ต้องการศึกษา เช่น งานวิจัยนี้ต้องการศึกษาระบบที่ไฟฟ้า 3 เฟสขนาด 69 kV โดยระบบมีความกว้าง 8 m และความสูง 12 m กำหนดให้สมาชิกภายในเมทริกซ์ของระบบรวม คือ หมายเลขโนดต่าง ๆ ของระบบ โดยระยะห่างระหว่างโนดแทนระยะห่างเท่ากับ 0.1 m นั้นหมายความว่าถ้าระบบมีความกว้าง 8 m จะมีจำนวนโนดปรากฏตามแนวแกนของเมทริกซ์ระบบรวมเท่ากับ $(8 \times 0.1) + 1 = 81$ โนด และถ้าความสูง 12 m จะมีจำนวนโนดปรากฏตามแนวหลักของเมทริกซ์ระบบรวม คือ $(12 \times 0.1) + 1 = 121$ โนด และท้ายสุดจะได้เมทริกซ์หมายเลขโนด (N_node) ขนาด 81×121 ตามสมการที่ (6-1)

$$N_{\text{node}} = \begin{bmatrix} 1 & 2 & 3 & \dots & \dots & \dots & \dots & 79 & 80 & 81 \\ 82 & 83 & 84 & \dots & \dots & \dots & \dots & 160 & 161 & 162 \\ 163 & 164 & 165 & \dots & \dots & \dots & \dots & 241 & 242 & 243 \\ \vdots & \vdots & \vdots & \ddots & & & & \vdots & \vdots & \vdots \\ \vdots & \vdots & \vdots & & \ddots & & & \vdots & \vdots & \vdots \\ \vdots & \vdots & \vdots & & & \ddots & & \vdots & \vdots & \vdots \\ 9559 & 9560 & 9561 & \dots & \dots & \dots & \dots & 9637 & 9638 & 9639 \\ 9640 & 9641 & 9642 & \dots & \dots & \dots & \dots & 9718 & 9719 & 9720 \\ 9721 & 9722 & 9723 & \dots & \dots & \dots & \dots & 9799 & 9800 & 9801 \end{bmatrix} \quad (6-1)$$

หลังจากได้เมทริกซ์หมายเลขโนด สิ่งที่ต้องพัฒนาเพิ่ม คือ เมทริกซ์ที่แสดงการจัดกลุ่มพื้นที่ของโนดต่าง ๆ ให้เป็นหมวดหมู่ เพื่อให้ง่ายสำหรับการบ่งชี้ถึงวัตถุแต่ละกลุ่มพื้นที่ที่มีค่าพารามิเตอร์แตกต่างกัน และสะดวกต่อการกำหนดเงื่อนไขค่าข้อมูล

6.2.2 กำหนดค่าเริ่มต้น

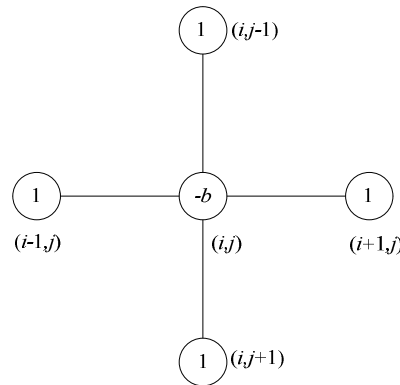
การจำลองผลลัพธ์ไฟฟ้าของระบบสามส่วนไฟฟ้า 1 เฟส และ 3 เฟสภายในบทนี้ ได้กำหนดค่าพารามิเตอร์ที่จำเป็นสำหรับการกำหนดค่าเริ่มต้นของระบบที่มีไฟฟ้าในท่อเฟอร์เรนท์ ซึ่งได้รับการรวบรวมไว้ในตารางที่ 6.1 ดังนี้

ตารางที่ 6.1 ค่าพารามิเตอร์สำหรับระบบเบี้ยบวิชีไฟในท่อคิฟเฟอร์เรนท์

พารามิเตอร์	ค่า
ความถี่ (f)	50 Hz
สภาพชาบชีมได้ทางแม่เหล็กในสูญญากาศ (μ_0)	$4\pi \times 10^{-7}$ H/m
สภาพชาบชีมได้ทางแม่เหล็กสัมพัทธ์ในอากาศ (μ_r)	1.00000037
สภาพยอมได้ทางไฟฟ้าในสูญญากาศ (ϵ_0)	8.854×10^{-12} F/m
สภาพยอมได้ทางไฟฟ้าสัมพัทธ์ในอากาศ (ϵ_r)	1
สภาพยอมได้ทางไฟฟ้าสัมพัทธ์ในมนุษย์ (ϵ_r)	5

6.2.3 การสร้างสมการค่าสนามไฟฟ้าในแต่ละโนด

ระบบเบี้ยบวิชีไฟในท่อคิฟเฟอร์เรนท์ได้ใช้กริดรูปสี่เหลี่ยมในการคำนวณหาค่าสนามไฟฟ้า ณ ตำแหน่งโนดต่าง ๆ จากสมการที่ (6-1) จะเห็นว่าตำแหน่งสماชิกภายในเมทริกซ์ ดังกล่าวมีการวางตัวเป็นรูปสี่เหลี่ยม ดังนั้นจากความรู้ในบทที่ 4 โครงสร้างทั่วไปของระบบจะมีลักษณะตามรูปที่ 4.1 หรืออูกันดาเสนอใหม่ในรูปที่ 6.2



รูปที่ 6.2 โครงสร้างของระบบเบี้ยบวิชีไฟในท่อคิฟเฟอร์เรนท์

แต่เนื่องจากงานวิจัยนี้ คำนึงถึงค่าสภาพยอมของวัตถุที่มีค่าแตกต่างกัน ดังนั้นการสร้างสมการค่าสนามไฟฟ้าในแต่ละโนดจึงสามารถสร้างได้ 3 ลักษณะ คือ บริเวณที่เป็นอากาศ หรือ บริเวณที่เป็นร่างกายของมนุษย์แต่เพียงอย่างเดียว กับ บริเวณเนื้อผ้าสมรรถว่างวัตถุทั้ง 2 ชนิด ซึ่งเคย

แสดงสมการทั้ง 3 ลักษณะภายในบทที่ 4 โดยขอนำเสนอสมการดังกล่าวมาแสดงใหม่ในสมการที่ (6-2) (6-3) และ (6-4) ตามลำดับ

อาณาศ:

$$\mathbf{E}(i, j) = \frac{1}{(4 - \varepsilon_0 \mu \omega^2 h^2)} [\mathbf{E}(i+1, j) + \mathbf{E}(i-1, j) + \mathbf{E}(i, j+1) + \mathbf{E}(i, j-1)] \quad (6-2)$$

มนุษย์:

$$\mathbf{E}(i, j) = \frac{1}{(4 - 5\varepsilon_0 \mu \omega^2 h^2)} [\mathbf{E}(i+1, j) + \mathbf{E}(i-1, j) + \mathbf{E}(i, j+1) + \mathbf{E}(i, j-1)] \quad (6-3)$$

รอยต่อระหว่างมนุษย์กับอาณาศ:

$$\mathbf{E}(i, j) = \frac{\varepsilon_1}{2(\varepsilon_1 + \varepsilon_2)} \mathbf{E}(i, j-1) + \frac{\varepsilon_2}{2(\varepsilon_1 + \varepsilon_2)} \mathbf{E}(i, j+1) + \frac{1}{4} \mathbf{E}(i-1, j) + \frac{1}{4} \mathbf{E}(i+1, j) \quad (6-4)$$

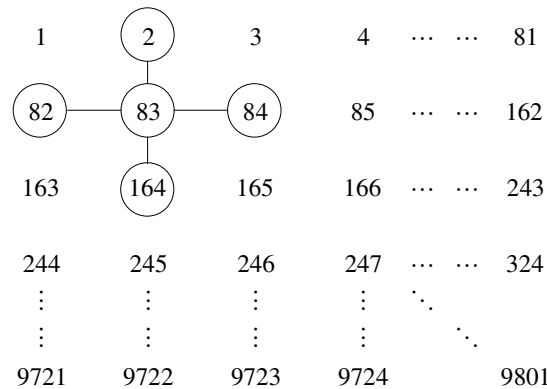
นอกจากนี้บางบริเวณที่อยู่ติดกับผนังและมุมของระบบจะมีลักษณะ โครงสร้างที่แตกต่างกันไปโดยสามารถแสดงโครงสร้างและสมการที่ใช้อธิบายค่าสนามไฟฟ้า ณ บริเวณขอบแบบต่าง ๆ ดังมีรายละเอียดตามตารางที่ 4.1 ดังที่ได้นำเสนอผ่านมาในบทที่ 4

6.2.4 การสร้างเมทริกซ์ระบบสมการรวม

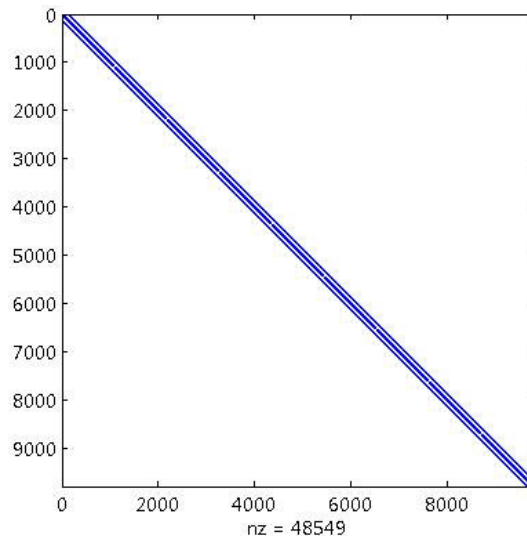
หลังจากได้สมการที่ใช้อธิบายโนดต่าง ๆ อย่างเหมาะสมภายในระบบ โปรแกรมย่อยส่วนนี้จะทำหน้าที่รวบรวมสมการแต่ละโนดที่คำนวณจากขั้นตอนก่อนหน้านี้ เข้ามาเป็นเมทริกซ์ขนาดใหญ่ของระบบสมการดังแสดงด้วยสมการที่ (4-12) การสร้างเมทริกซ์ระบบสมการรวมของระบบที่มีหลักการ คือ หาหมายเลขอโนดที่แท้จริงที่อยู่ร่อง ๆ โนดที่กำลังพิจารณาอยู่แล้วใส่ค่าสัมประสิทธิ์ของโนดนั้นลงในเมทริกซ์ใหญ่ของระบบสมการรวมให้ถูกต้อง ถ้าลักษณะของปัญหาถูกแบ่งออกเป็นโนดทั้งหมด n โนด จะก่อให้เกิดระบบสมการรวมซึ่งประกอบด้วยสมการย่ออยู่ทั้งสิ้น n สมการ เช่น ในรูปที่ 6.3 โนดที่พิจารณา คือ ตำแหน่งโนดที่ 83 โดยมีตำแหน่งโนดรอบข้าง คือ ตำแหน่งโนดที่ 2 ตำแหน่งโนดที่ 82 ตำแหน่งโนดที่ 84 และตำแหน่งโนด

ที่ 164 สมมติให้บริเวณคำແໜ່ງທີ່ພິຈາລະນາເປັນບຣິເວນທີ່ມີອາກາສອຍ່າງເດືອຍ ດັ່ງນັ້ນສັນປະລິຫຼິກຂອງ
ຕຳແໜ່ງໂນດຮອບຂ້າງຈະມີຄ່າເທົ່າກັນ $1 \ 1 \ 1$ ແລະ 1 ຕາມລຳດັບ ໃນຂະໜາດທີ່ໂນດທີ່ພິຈາລະນາຈະມີ
ສັນປະລິຫຼິກທີ່ເທົ່າກັນ $4 - \varepsilon_0 \mu \omega^2 h^2$ ຈາກສົມກາຣີ (6-2) ຈະໄດ້

$$-(4 - \varepsilon_0 \mu \omega^2 h^2) \mathbf{E}(i, j) + (1) \mathbf{E}(i+1, j) + (1) \mathbf{E}(i-1, j) + (1) \mathbf{E}(i, j+1) + (1) \mathbf{E}(i, j-1) = 0 \quad (6-5)$$



ຮູບທີ່ 6.3 ກາຣສ້າງເນທິກຊ່ະບົບສົມກາຣວມ



ຮູບທີ່ 6.4 ດັກຍໝະກາຣວາງຕົວຂອງສໍານັກພາຍໃນເນທິກຊ່ະບົບສົມກາຣວມ

จากนั้นนำค่าสัมประสิทธิ์หน้า $E(i, j) E(i+1, j) E(i-1, j) E(i, j+1)$ และ $E(i, j-1)$ จากสมการที่ (6-5) มาแทนค่าใส่เมทริกซ์ให้ผู้ของระบบสมการรวมในແຄາที่ 83 โดยค่าสัมประสิทธิ์ของ $E(i, j) E(i+1, j) E(i-1, j) E(i, j+1)$ และ $E(i, j-1)$ จะถูกป้อนลงในหลักที่ 2 82 84 และ 164 ของແຄາนັ້ນ ຈຶ່ງເປັນການຮັມສົມກາຮອບຂອງຮະບັນສົມກາຮຽມເສົ່າງເພີຍ 1 ໂນດ ທ້າຮະບັນທີ່ທຳການຄຳນວາຜູກແປ່ງອອກເປັນໂນດທັງໝົດ n ໂນດ ຈະຕ້ອງທຳການຮັມສົມກາຮອບຂອງຮະບັນສົມກາຮຽມທັງໝົດ n ຄວັງ ເມື່ອທຳສໍາເລົ່າຈະໄດ້ລັກຍະກາວຮາວຕ້ວຂອງສາມາຊີກທີ່ມີຄ່າໄມ່ເປັນຄຸນຍ່ອງຮະບັນສົມກາຮຽມດັ່ງຮູບທີ່ 6.4

6.2.5 ກໍາຫນດເຈື່ອນໄຂຄ່າຂອບເບຕ

ບັນດອນສ່ວນນີ້ຈະທຳຫາທີ່ປະບຸກຕີເຈື່ອນໄຂຂອບເບຕກ່ອນທຳການແກ້ຮະບັນສົມກາຮຽມ ໂດຍມີຫລັກການ ກືອ ດັດແປລັງຮະບັນສົມກາຮຽມຕາມສົມກາຮີ (4-12) ໃຫ້ສອດຄລ້ອງກັບຄ່າເຈື່ອນໄຂຂອບເບຕ ໂດຍຈານວິຈີບນີ້ຈະກໍາຫນດຄ່າເຈື່ອນໄຂຂອບເບຕຂອງຕ້ານໍາສາຍສ່າງໃນຮູບປອງສານາໄຟຟ້າທັງກົນ 1 ເຟສແລະ 3 ເຟສ ກັບໂທຣັສີທີ່ມີອື່ນທີ່ມີກາຮະຈາຍຄ່າສານາໄຟຟ້າຄົງທີ່ໂດຍຮອບນາດ $10 \times 20 \text{ cm}^2$ (nokia3210) ດັ່ງຮູບທີ່ 4.6(a) ໃນບທທີ່ 4 ຜຶ່ງສາມາດສຽບປະຍາລະເອີຍດກາຮໍາຫນດເຈື່ອນໄຂຄ່າຂອບເບຕຂອງຮະບັນໄຟຟ້ານາດຕ່າງໆ ໄດ້ດັ່ງນີ້

ຮະບັນໄຟຟ້າ 1 ເຟສ

- ຮະບັນໄຟຟ້ານາດ 220V:

$$\nu = 220 \text{ V}$$

$$E = 323.748 \text{ V/m}$$

- ຮະບັນໄຟຟ້ານາດ 22kV:

$$\nu = 22 \text{ kV}$$

$$E = 5.756 \times 10^4 \text{ V/m}$$

- ຮະບັນໄຟຟ້ານາດ 69 kV:

$$\nu = 69 \text{ kV}$$

$$E = 8.8284 \times 10^4 \text{ V/m}$$

ຮະບັນໄຟຟ້າ 3 ເຟສ (ເຟສສມຄຸລ)

- ຮະບັນໄຟຟ້ານາດ 69 kV:

ເຟສ A (0°)

$$\nu = 69 \text{ kV}$$

$$E = 8.8284 \times 10^4 \text{ V/m}$$

ເຟສ B (-120°)

$$\nu = 69 \angle -120^\circ \text{ kV}$$

$$E = -4.4142 \times 10^4 - j7.6462 \times 10^4 \text{ V/m}$$

ເຟສ C (120°)

$$v = 69 \angle 120^\circ \text{ kV} \quad E = -4.4142 \times 10^4 + j7.6462 \times 10^4 \text{ V/m}$$

- ຮະບນໄຟຟ້າຂາດ 115 kV:

ເຟສ A (0°)

$$v = 115 \text{ kV} \quad E = 1.4569 \times 10^5 \text{ V/m}$$

ເຟສ B (-120°)

$$v = 115 \angle -120^\circ \text{ kV} \quad E = -7.2845 \times 10^4 - j1.2617 \times 10^5 \text{ V/m}$$

ເຟສ C (120°)

$$v = 115 \angle 120^\circ \text{ kV} \quad E = -7.2845 \times 10^4 + j1.2617 \times 10^5 \text{ V/m}$$

- ຮະບນໄຟຟ້າຂາດ 230 kV:

ເຟສ A (0°)

$$v = 230 \text{ kV} \quad E = 2.8202 \times 10^5 \text{ V/m}$$

ເຟສ B (-120°)

$$v = 230 \angle -120^\circ \text{ kV} \quad E = -1.4101 \times 10^5 - j2.4425 \times 10^5 \text{ V/m}$$

ເຟສ C (120°)

$$v = 230 \angle 120^\circ \text{ kV} \quad E = -1.4101 \times 10^5 + j2.4425 \times 10^5 \text{ V/m}$$

- ຮະບນໄຟຟ້າຂາດ 500 kV:

ເຟສ A (0°)

$$v = 500 \text{ kV} \quad E = 6.0134 \times 10^5 \text{ V/m}$$

ເຟສ B (-120°)

$$v = 500 \angle -120^\circ \text{ kV} \quad E = -3.0067 \times 10^5 - j5.2077 \times 10^5 \text{ V/m}$$

ເຟສ C (120°)

$$v = 500 \angle 120^\circ \text{ kV} \quad E = -3.0067 \times 10^5 + j5.2077 \times 10^5 \text{ V/m}$$

ຮະບນໄຟຟ້າ 3 ເຟສ (ເຟສໄມ່ສມດຸດ)

ສໍາຫັບກຽນຮູບຮະບນໄຟຟ້າ 3 ເຟສໄມ່ສມດຸດຈະທໍາການສຶກຍາເພື່ອຮະບນໄຟຟ້າຂາດ 230 kV ເພື່ອໃຫ້ພອເຫັນກາພລັກມະກາຮເປີ່ຍນແປງຂອງສນາມໄຟຟ້າເມື່ອຮະບນໄມ່ມີຄວາມສມດຸດ ຜົ່ງ

ลักษณะความไม่สมดุลของระบบไฟฟ้า 3 เฟส สามารถแยกศึกษาได้ 2 กรณี คือ กรณีขนาดไม่สมดุล (เฟสคงที่) กับกรณีมุมไฟฟ้าไม่สมดุล (ขนาดคงที่) ซึ่งมีรายละเอียดการกำหนดเงื่อนไขค่าของเบตงของระบบไฟฟ้า 3 เฟสไม่สมดุล ได้ดังนี้

ขนาดไม่สมดุล ($\pm 10\%$ ของขนาดไฟฟ้าอ้างอิง)

- กรณีไฟฟ้า A (ไฟฟ้าอ้างอิง)

$$v = 230 \angle 0^\circ \text{ kV} \quad E = 2.8202 \times 10^5 \text{ V/m}$$

ไฟฟ้า B (-10%)

$$v = 207 \angle -120^\circ \text{ kV} \quad E = -1.269 \times 10^5 - j2.1981 \times 10^5 \text{ V/m}$$

ไฟฟ้า C (+10%)

$$v = 253 \angle 120^\circ \text{ kV} \quad E = -1.5511 \times 10^5 + j2.6865 \times 10^5 \text{ V/m}$$

- กรณีไฟฟ้า B (ไฟฟ้าอ้างอิง)

$$v = 230 \angle -120^\circ \text{ kV} \quad E = -1.4101 \times 10^5 - j2.4424 \times 10^5 \text{ V/m}$$

ไฟฟ้า C (-10%)

$$v = 207 \angle 120^\circ \text{ kV} \quad E = -1.269 \times 10^5 + j2.1981 \times 10^5 \text{ V/m}$$

ไฟฟ้า A (+10%)

$$v = 253 \angle 0^\circ \text{ kV} \quad E = 3.1022 \times 10^5 \text{ V/m}$$

- กรณีไฟฟ้า C (ไฟฟ้าอ้างอิง)

$$v = 230 \angle 120^\circ \text{ kV} \quad E = -1.4101 \times 10^5 + j2.4424 \times 10^5 \text{ V/m}$$

ไฟฟ้า A (-10%)

$$v = 207 \angle 0^\circ \text{ kV} \quad E = 2.5382 \times 10^5 \text{ V/m}$$

ไฟฟ้า B (+10%)

$$v = 253 \angle -120^\circ \text{ kV} \quad E = -1.5511 \times 10^5 - j2.6865 \times 10^5 \text{ V/m}$$

มุมไฟฟ้าไม่สมดุล ($\pm 30^\circ$ ของมุมไฟฟ้าอ้างอิง)

- กรณีไฟฟ้า A (ไฟฟ้าอ้างอิง)

$$v = 230 \angle 0^\circ \text{ kV} \quad E = 2.8202 \times 10^5 \text{ V/m}$$

ไฟฟ้า B (-30°)

$$v = 230 \angle -150^\circ \text{ kV} \quad E = 2.4424 \times 10^5 - j1.4101 \times 10^5 \text{ V/m}$$

ไฟฟ้า C (+30°)

$$v = 230 \angle 150^\circ \text{ kV} \quad E = -2.4424 \times 10^5 + j1.4101 \times 10^5 \text{ V/m}$$

- กรณีไฟฟ้า B (ไฟส่อทางอิจ)

$$v = 230 \angle -120^\circ \text{ kV} \quad E = -1.4101 \times 10^5 - j2.4424 \times 10^5 \text{ V/m}$$

ไฟฟ้า C (-30°)

$$v = 230 \angle 90^\circ \text{ kV} \quad E = j2.8202 \times 10^5 \text{ V/m}$$

ไฟฟ้า A (+30°)

$$v = 230 \angle 30^\circ \text{ kV} \quad E = 2.4424 \times 10^5 + j1.4101 \times 10^5 \text{ V/m}$$

- กรณีไฟฟ้า C (ไฟส่อทางอิจ)

$$v = 230 \angle 120^\circ \text{ kV} \quad E = -1.4101 \times 10^5 + j2.4424 \times 10^5 \text{ V/m}$$

ไฟฟ้า A (-30°)

$$v = 230 \angle -30^\circ \text{ kV} \quad E = 2.4424 \times 10^5 - j1.4101 \times 10^5 \text{ V/m}$$

ไฟฟ้า B (+30°)

$$v = 230 \angle -90^\circ \text{ kV} \quad E = -j2.8202 \times 10^5 \text{ V/m}$$

โครงสร้างที่มีอ็อกซิเจน

ตำแหน่งบนช้ายและตำแหน่งบนขวา

$$E = 45.5 \text{ V/m}$$

ตำแหน่งกลางช้าย

$$E = 33.5 \text{ V/m}$$

ตำแหน่งกลางขวา

$$E = 48.2 \text{ V/m}$$

ตำแหน่งถ่างช้ายและตำแหน่งบนขวา

$$E = 48.5 \text{ V/m}$$

6.2.6 แก้ระบบสมการรวมเพื่อหาผลเฉลย

ขั้นตอนสุดท้ายส่วนนี้จะทำหน้าที่แก้สมการเชิงเส้นเพื่อหาค่าผลเฉลยของระบบสมการรวม โดยการเลือกใช้ระเบียบวิธีการทำแมทริกซ์ผกผัน (matrix inverse) เนื่องจากแมทริกซ์มีลักษณะสมมาตร และค่าเดียวเริ่มแนบท้องแมทริกซ์ระบบสมการรวมไม่เป็นศูนย์จึงสามารถคำนวณหาค่าผลเฉลยด้วยวิธีนี้ได้ดังสมการที่ (4.17) ในบทที่ 4

6.3 ระเบียบวิธีไฟฟ้าในท่ออิเล็กทรอนิกส์

การคำนวณหาค่าสนามไฟฟ้าภายในได้ระบบสายส่งไฟฟ้าแรงสูงด้วยระเบียบวิธีไฟฟ้าในท่ออิเล็กทรอนิกส์สามารถดำเนินการคำนวณ ตามขั้นตอนภายใต้โครงสร้างโปรแกรมของแพนกวินรูปที่ 6.5

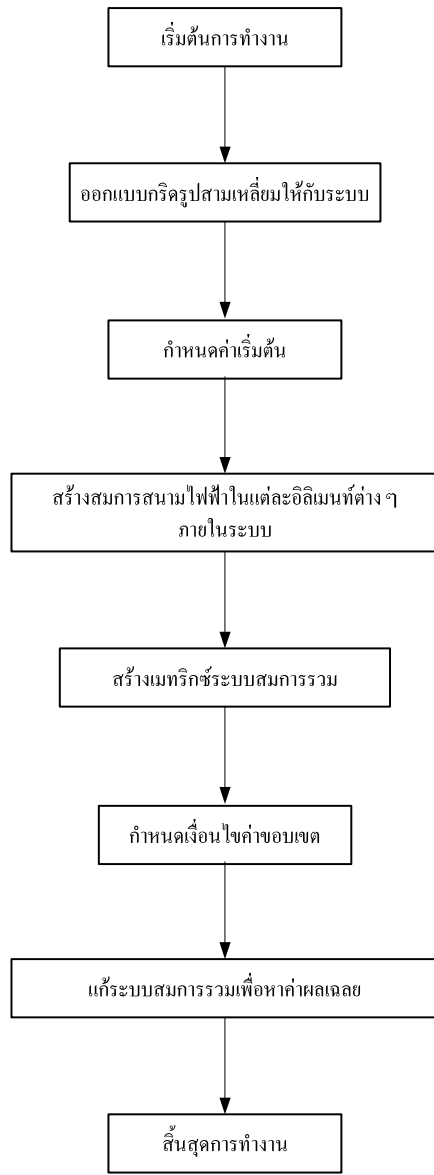
6.3.1 โปรแกรมออกแบบกริดรูปสามเหลี่ยมให้กับระบบ

โครงสร้างโปรแกรมสร้างกริดของขั้นตอนนี้ประกอบด้วยโปรแกรมหลักและโปรแกรมย่อยต่าง ๆ ซึ่งทำหน้าที่แตกต่างกัน ขั้นตอนการทำงานของโปรแกรมสามารถอธิบายรายละเอียดได้ดังนี้

โปรแกรมสร้างกริดเริ่มต้นทำงานจากการรับค่าอินพุตเป็นแมทริกซ์ที่มีขนาดต่าง ๆ กันซึ่งเป็นตัวแทนของโครงสร้างรูปสามเหลี่ยม ตัวนำในสายส่ง โทรศัพท์มือถือ และพื้นที่โล่งบริเวณที่เป็นอากาศ โดยแมทริกซ์ดังกล่าวถือเป็นการรับข้อมูลที่สำคัญในการดำเนินการซ่อมแซม ของโปรแกรมหลัก

จากนั้นจะเข้าสู่ขั้นตอนการระบุหมายเลขของอิเล็กทรอนิกส์ และหมายเลขของโโนดพร้อมทั้งตำแหน่งค่าพิกัดของแต่ละโโนดในส่วนของวัตถุต่าง ๆ ภายในระบบ เช่น การหาตำแหน่งค่าพิกัดของแต่ละโโนดของโครงสร้างร่างกายมนุษย์ ตัวนำในสายส่ง โทรศัพท์มือถือ และบริเวณอากาศรอบ ๆ วัตถุ เพื่อให้ง่ายต่อการระบุจุดที่ต้องทำการซ่อมแซม แต่ละชิ้นที่มีค่าพารามิเตอร์แตกต่างกันจะทำการจัดกลุ่มพื้นที่ของแต่ละอิเล็กทรอนิกส์ และโโนดต่าง ๆ ให้เป็นหมวดหมู่ นอกจากนี้ยังง่ายต่อการกำหนดค่าเงื่อนไขของเขตซึ่งขั้นตอนดังกล่าวสามารถแสดงได้ดังมีรายละเอียดในโปรแกรมย่อย

ขั้นตอนการระบุหมายเลขของอิเล็กทรอนิกส์ และหมายเลขของโโนด พร้อมทั้งค่าพิกัดของแต่ละโโนดในส่วนของพื้นที่ที่เป็นอากาศ จากรูปที่ 6.6 จะเห็นว่าระบบไฟฟ้า 3 เฟสขนาด 69 kV จะมีบริเวณที่เป็นอากาศทั้งหมด 6 บริเวณ โดยสิ่งที่สำคัญที่สุด คือ ภายในอากาศแต่ละบริเวณจะต้องทราบหมายเลขโโนดของแมทริกซ์ในแต่ละบริเวณดังกล่าวให้ถูกต้อง เช่น อากาศบริเวณที่ 2 เป็นแมทริกซ์ขนาด 9×2 มีสมาชิกภายในแมทริกซ์เป็นหมายเลขโโนดต่าง ๆ ดังสมการที่ (6-6)



รูปที่ 6.5 แผนภูมิการดำเนินงานของโปรแกรมคำนวณสาน่มไฟฟ้า
ด้วยระเบียบวิธีไฟฟ้าในท่ออิเลมท์

$$N_{sp2} = \begin{bmatrix} 12 & 13 \\ 0 & 0 \\ 31 & 32 \\ 0 & 0 \\ 61 & 62 \\ 0 & 0 \\ 91 & 92 \\ 0 & 0 \\ 116 & 117 \end{bmatrix} \quad (6-6)$$

ซึ่งโปรแกรมส่วนนี้จะดำเนินการหาเมทริกซ์ที่แทนหมายเลขโนดของแต่ละบริเวณจำนวนทั้งหมด 6 บริเวณที่มีขนาดแตกต่างกันนี้ คือ ภาคบริเวณที่ 1 เป็นเมทริกซ์ขนาด 2×51 ภาคบริเวณที่ 2 กับ 3 เป็นเมทริกซ์ขนาด 9×2 ภาคบริเวณที่ 4 เป็นเมทริกซ์ขนาด 8×51 และ ภาคบริเวณที่ 5 กับ 6 เป็นเมทริกซ์ขนาด 31×6

หลังจากได้เมทริกซ์หมายเลขโนดของบริเวณทั้งหมด 6 บริเวณ จากนั้นนำเมทริกซ์ ดังกล่าวเข้าไปโปรแกรมย่อที่คำนวณหาหมายเลขของอิลิเมนท์ หมายเลขลำดับโนด และ ค่าพิกัดของ แต่ละโนด เช่น ภาคบริเวณที่ 2 ซึ่งสามารถแสดงด้วยเมทริกซ์ที่แทนหมายเลขของอิลิเมนท์ หมายเลขลำดับโนด และค่าพิกัดของแต่ละโนดดังนี้

$$Nspace_zone2 = \begin{bmatrix} 21 & 12 & 31 & 32 \\ 22 & 12 & 32 & 13 \\ 23 & 31 & 61 & 62 \\ 24 & 31 & 62 & 32 \\ 25 & 61 & 91 & 92 \\ 26 & 61 & 92 & 62 \\ 27 & 91 & 116 & 117 \end{bmatrix} \quad (6-7)$$

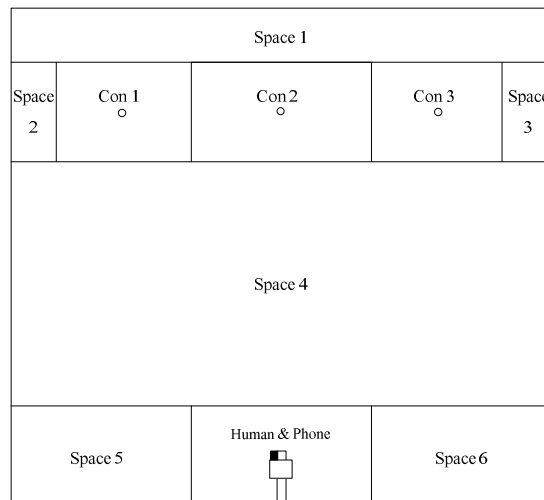
โดยที่หลักที่ 1 ของเมทริกซ์ Nspace_zone2 แทนหมายเลขของอิลิเมนท์ และ หลักที่ 2-4 แทนหมายเลขลำดับโนดของแต่ละอิลิเมนท์

จากสมการที่ (6-8) หลักที่ 1 ของเมทริกซ์ node_s2 แทนหมายเลขโนดของภาค บริเวณที่ 2 และหลักที่ 2 ถึง 3 แทนตำแหน่งค่าพิกัดแกน x และ แกน y ของแต่ละโนดตามลำดับ

$$\text{node_s2} = \begin{bmatrix} 12 & 0 & 14 \\ 13 & 1 & 14 \\ 31 & 0 & 13 \\ 32 & 1 & 13 \\ 61 & 0 & 12 \\ 62 & 1 & 12 \\ 91 & 0 & 11 \\ 92 & 1 & 11 \\ 116 & 0 & 10 \\ 117 & 1 & 10 \end{bmatrix} \quad (6-8)$$

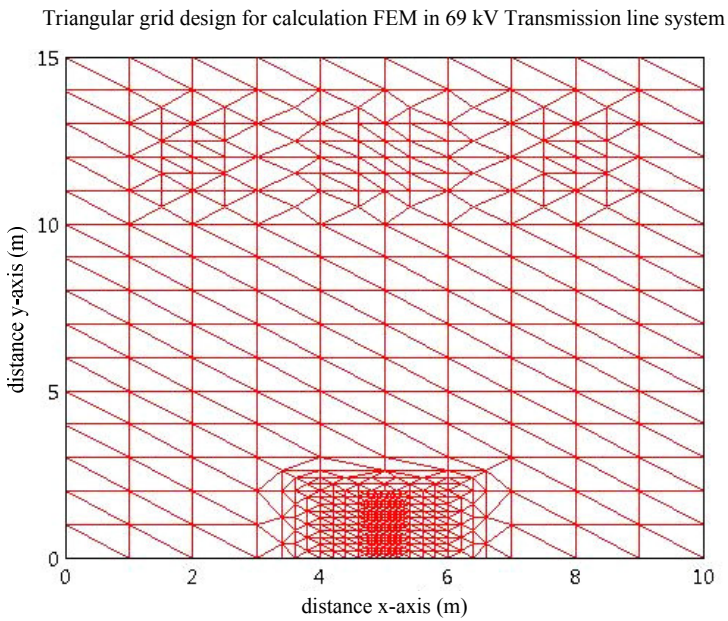
ขั้นตอนการระบุหมายเลขของอิลิเมนท์และหมายเลขของโโนด พร้อมทั้งค่าพิกัดของแต่ละโโนดในส่วนของโครงสร้างร่างกายมนุษย์ เมื่อจะจะใช้อุปกรณ์สื่อสาร ซึ่งสามารถทำได้ในลักษณะเดียวกับการคำนวณหมายเลขของอิลิเมนท์ หมายเลขอารบิก โโนด และค่าพิกัดของแต่ละโโนดในส่วนของตัวนำภายในสายส่ง

สำหรับ ขั้นตอนการระบุหมายเลขของอิลิเมนท์และหมายเลขของโโนด พร้อมทั้งค่าพิกัดของแต่ละโโนดในส่วนของตัวนำภายในสายส่ง จากรูปที่ 6.6 จะเห็นได้ว่าระบบไฟฟ้า 3 เฟส ขนาด 69 kV จะมีบริเวณตัวนำทั้งหมด 3 บริเวณ ซึ่งสามารถทำได้ในลักษณะเดียวกับการคำนวณหมายเลขของอิลิเมนท์ หมายเลขอารบิก โโนด และค่าพิกัดของแต่ละโโนดในส่วนของตัวนำภายในสายส่ง และรูปร่างของมนุษย์จะจะใช้อุปกรณ์สื่อสาร



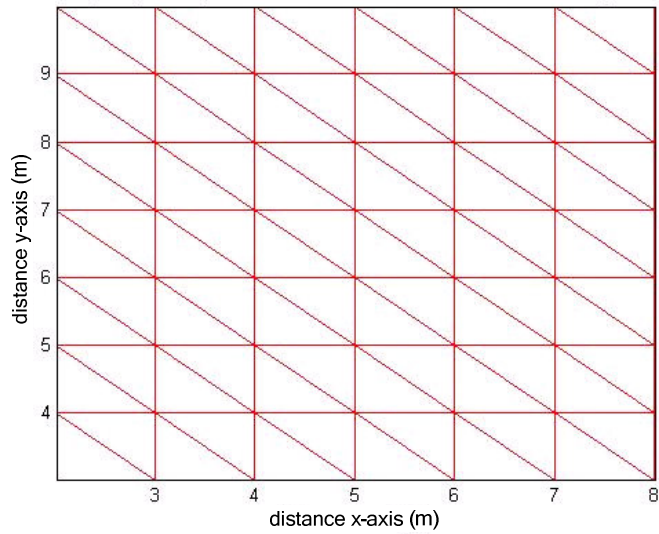
รูปที่ 6.6 การแบ่งพื้นที่เป็นหมวดหมู่ตามลักษณะความแตกต่างของวัตถุ

หลังจากคำนวณหาหมายเลขอองอิลิเมนท์ หมายเลขอำดับโอนด และค่าพิกัดของแต่ละโอนดของแต่ละวัตถุภายในระบบ ขั้นตอนต่อไปจะนำข้อมูลที่คำนวณได้มาราดภาพแสดงการวางตัวของแต่ละอิลิเมนท์ตลอดทั้งพื้นที่ของระบบที่พิจารณาด้วยคำสั่ง triplot ในโปรแกรม MATLAB™ โดยขั้นตอนนี้จะนำเสนอตำแหน่งการวางตัวของแต่ละโอนดในบริเวณต่างๆ เช่น บริเวณอากาศโดยรอบ ตัวนำในสายส่ง และ มนุษย์ ซึ่งสามารถแสดงภาพรวมของระบบไฟฟ้า 3 เฟสบนภาค 69 kV ได้ดังรูปที่ 6.7 และสามารถแสดงการตีกริดเฉพาะที่ของบริเวณที่เป็นอากาศ ตัวนำในสายส่ง และ มนุษย์ได้ดังรูปที่ 6.8-6.11



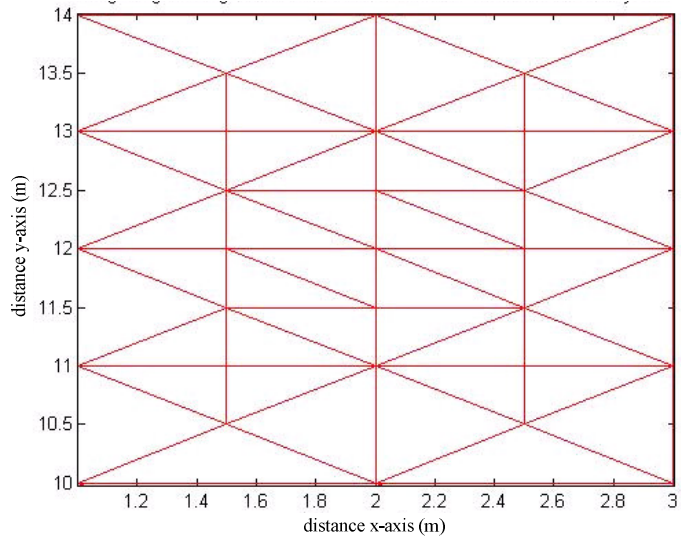
รูปที่ 6.7 ลักษณะการสร้างกริดภายในระบบไฟฟ้า 3 เฟสบนภาค 69 kV

Triangular grid design for Calculation FEM in 69 kV Transmission line system

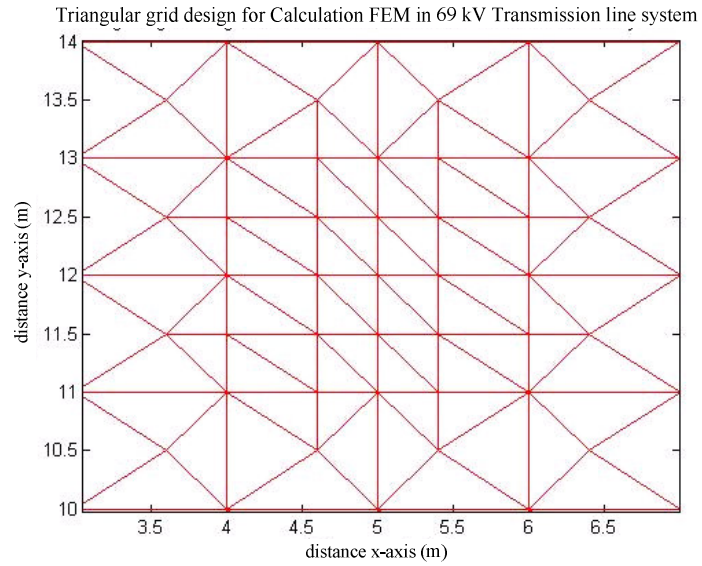


รูปที่ 6.8 ลักษณะการสร้างกริดในบริเวณที่เป็นอาคาร

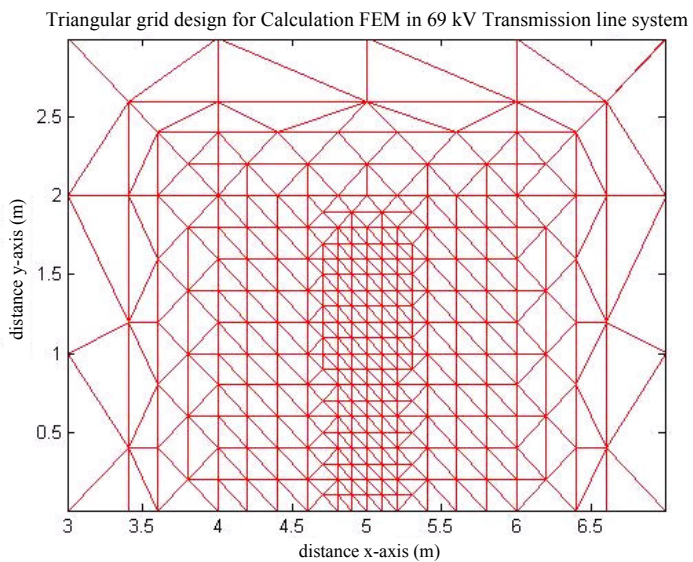
Triangular grid design for Calculation FEM in 69 kV Transmission line system



รูปที่ 6.9 ลักษณะการสร้างกริดในบริเวณที่เป็นตัวนำสายส่งตัวที่ 1 และ 3



รูปที่ 6.10 ลักษณะการสร้างกริดในบริเวณที่เป็นตัวนำสายส่งตัวที่ 2



รูปที่ 6.11 ลักษณะการสร้างกริดในบริเวณที่เป็นมนุษย์

6.3.2 กำหนดค่าเริ่มต้น

การจำลองผล nama ไฟฟ้าของระบบสายส่งไฟฟ้า 1 เฟส และ 3 เฟส สำหรับระเบียบวิธีไฟฟ้าในท่ออลิเมนท์จะใช้ค่าพารามิเตอร์ที่จำเป็นสำหรับการกำหนดค่าเริ่มต้น เช่นเดียวกับระบบไฟฟ้าในท่อพลาสติกที่ระบุไว้ในตารางที่ 6.1

6.3.3 การสร้างสมการค่าสถานะไฟฟ้าในแต่ละอลิเมนท์

ขั้นตอนนี้ของระเบียบวิธีไฟฟ้าในท่ออลิเมนท์ได้ใช้กริดรูปสามเหลี่ยม ในการพัฒนาสมการที่ใช้สำหรับคำนวณหาค่าสถานะไฟฟ้าในแต่ละอลิเมนท์ เนื่องจากภายในระบบมีวัตถุที่มีคุณสมบัติแตกต่างกันอยู่ 2 ชนิด คือ อากาศกับร่างกายของมนุษย์ ซึ่งทั้งสองมีค่าสภาพอนุพមต์ที่เท่ากับ 1 และ 5 ตามลำดับ จากสมการที่ (5-35) เป็นสมการสถานะไฟฟ้าในอลิเมนท์ที่อยู่ในบริเวณอากาศ กับสมการที่ (5-36) เป็นสมการสถานะไฟฟ้าในอลิเมนท์ที่อยู่ในโครงสร้างรูปร่างมนุษย์ ซึ่งทั้งสองสมการสามารถนำมาเสนอใหม่ดังสมการที่ (6-9) และ (6-10) ตามลำดับ

อากาศ:

$$[K^{(e)}] = \frac{1}{4\Delta_e} \begin{bmatrix} b_i^2 & b_i b_j & b_i b_k \\ b_i b_j & b_j^2 & b_j b_k \\ b_i b_k & b_j b_k & b_k^2 \end{bmatrix} + \frac{1}{4\Delta_e} \begin{bmatrix} c_i^2 & c_i c_j & c_i c_k \\ c_i c_j & c_j^2 & c_j c_k \\ c_i c_k & c_j c_k & c_k^2 \end{bmatrix} - \frac{\mu_0 \epsilon_0 \omega^2 \Delta_e}{12} \begin{bmatrix} 2 & 1 & 1 \\ 1 & 2 & 1 \\ 1 & 1 & 2 \end{bmatrix} \quad (6-9)$$

มนุษย์:

$$[K^{(e)}] = \frac{1}{4\Delta_e} \begin{bmatrix} b_i^2 & b_i b_j & b_i b_k \\ b_i b_j & b_j^2 & b_j b_k \\ b_i b_k & b_j b_k & b_k^2 \end{bmatrix} + \frac{1}{4\Delta_e} \begin{bmatrix} c_i^2 & c_i c_j & c_i c_k \\ c_i c_j & c_j^2 & c_j c_k \\ c_i c_k & c_j c_k & c_k^2 \end{bmatrix} - \frac{5\mu_0 \epsilon_0 \omega^2 \Delta_e}{12} \begin{bmatrix} 2 & 1 & 1 \\ 1 & 2 & 1 \\ 1 & 1 & 2 \end{bmatrix} \quad (6-10)$$

6.3.4 การสร้างเมทริกซ์ระบบสมการรวม

หลังจากได้สมการที่ใช้อธิบายอลิเมนท์ต่าง ๆ อย่างเหมาะสมภายในระบบโปรแกรมย่อยส่วนนี้จะทำหน้าที่รวมรวมสมการแต่ละอลิเมนท์ที่คำนวณจากขั้นตอนก่อนหน้านี้เข้ามาเป็นเมทริกซ์ขนาดใหญ่ของระบบสมการดังแสดงด้วยสมการที่ (4-12) การสร้างเมทริกซ์ระบบสมการรวมของระบบวิธีนี้มีหลักการ คือ หากหมายเลขโนดที่แท้จริงของอลิเมนท์ที่กำลังพิจารณาอยู่ แล้วใส่ค่าสัมประสิทธิ์ของอลิเมนท์นั้นลงในเมทริกซ์ใหญ่ของระบบสมการรวมให้ถูกต้อง

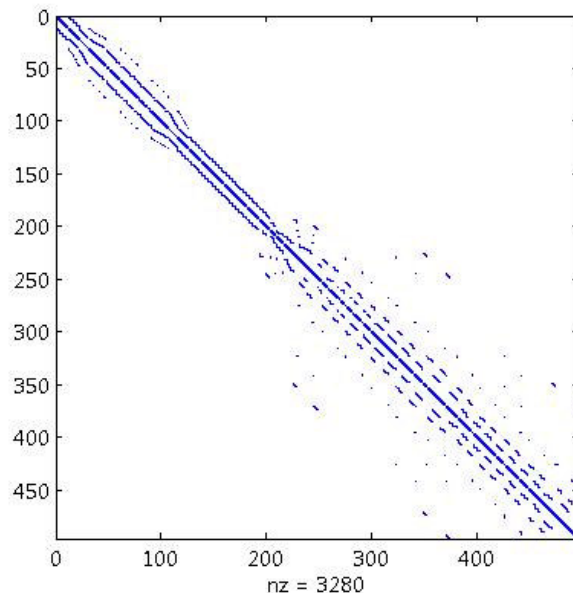
ถ้าลักษณะของปัญหาถูกแบ่งออกเป็นอิลิเมนท์ย่อย n ในด จะก่อให้เกิดระบบสมการรวมซึ่งประกอบด้วยสมการย่อยทั้งสิ้น n สมการ เมื่อทำสำเร็จจะได้ลักษณะการวางตัวของสมาชิกที่มีค่าไม่เป็นศูนย์ของระบบสมการรวมดังรูปที่ 6.12

6.3.5 กำหนดเงื่อนไขค่าข้อมูล

ขั้นตอนส่วนนี้จะทำหน้าที่ประยุกต์เงื่อนไขข้อมูลก่อนทำการแก้ระบบสมการรวมโดยมีหลักการ คือ ดัดแปลงระบบสมการรวมตามสมการที่ (4-12) ให้สอดคล้องกับค่าเงื่อนไขข้อมูล โดยงานวิจัยนี้จะกำหนดค่าเงื่อนไขข้อมูลของตัวนำสายสั่งในรูปของสนามไฟฟ้าทั้งกรณี 1 เพสและ 3 เพส กับโทรศัพท์มือถือที่มีการกระจายค่าสนามไฟฟ้าคงที่โดยรอบขนาด $10 \times 20 \text{ cm}^2$ (nokia3210) ดังรูปที่ 4.6(a) ในบทที่ 4 ซึ่งสามารถสรุปรายละเอียดการกำหนดเงื่อนไขค่าข้อมูลของระบบไฟฟ้าขนาดต่าง ๆ ตามหัวข้อที่ 6.2.5 ที่ผ่านมาข้างต้น

6.3.6 แก้ระบบสมการรวมเพื่อหาผลเฉลย

ขั้นตอนสุดท้ายส่วนนี้จะทำหน้าที่แก้สมการเชิงเส้นเพื่อหาค่าผลเฉลยของระบบสมการรวมโดยการเลือกใช้ระเบียนวิธีการทำเมทริกซ์พกผัน เนื่องจากเมทริกซ์มีลักษณะสมมาตร และค่าเดียวหรือมีแนวต์ของเมทริกซ์ระบบสมการรวมไม่เป็นศูนย์จึงสามารถคำนวณหาค่าผลเฉลยด้วยวิธีนี้ได้ดังสมการที่ (4-17) ตามบทที่ 4 ในทำนองเดียวกับระเบียนวิธีไฟไนท์ดิฟเฟอร์เรนท์



รูปที่ 6.12 ลักษณะการวางตัวของสมาชิกภายในเมทริกซ์ของระบบสมการรวม

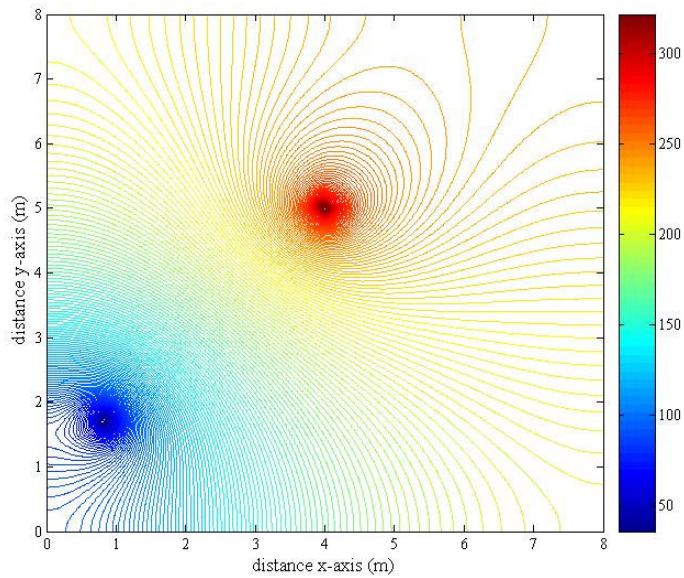
หลังจากทราบขั้นตอนและหลักการทำงานของโปรแกรมระเบียบวิธีไฟไนท์ดิฟเฟอร์เรนท์ และระเบียบวิธีไฟไนท์อิลิเมนท์ ต่อไปจะนำเสนอการจำลองผลค่าสนามไฟฟ้าจากระเบียบวิธีทั้ง 2 วิธี โดยทำการจำลองผลของระบบสายส่งไฟฟ้า 1 เฟสขนาด 220 V 22 kV และ 69 kV ส่วนระบบไฟฟ้า 3 เฟสจะประกอบไปด้วยระบบไฟฟ้าขนาด 69 kV 115 kV 230 kV และ 500 kV นอกจากนี้ในการจำลองผลของระบบแต่ละขนาดทั้งกรณี 1 เฟส และ 3 เฟส ยังทำการเลื่อนตำแหน่งของมนุษย์ ณ ขณะใช้งานโทรศัพท์มือถือในการถือสติ๊ก เพื่อให้เห็นลักษณะการกระจายค่าสนามไฟฟ้าที่เปลี่ยนแปลงไปเมื่อมีการเลื่อนตำแหน่งของมนุษย์

6.4 ผลการจำลองด้วยระเบียบวิธีไฟไนท์ดิฟเฟอร์เรนท์

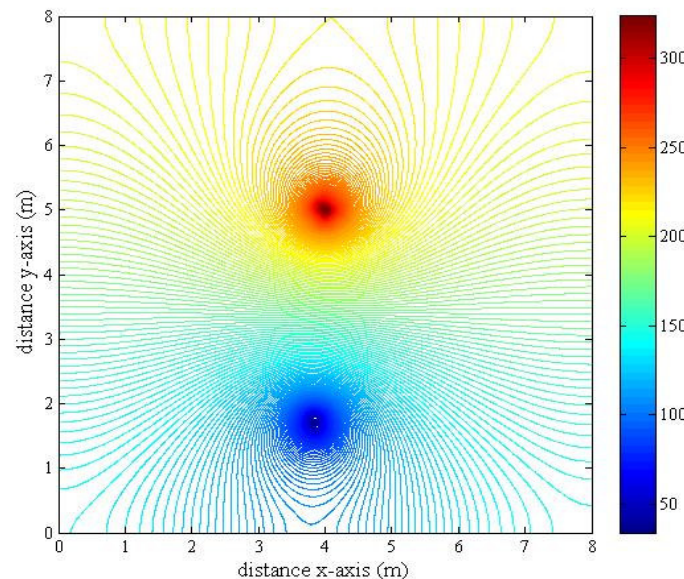
หัวข้อนี้จะนำเสนอผลการจำลองการกระจายค่าสนามไฟฟ้าของระบบสายส่งไฟฟ้า 1 เฟสขนาด 220 V 22 kV และ 69 kV ระบบไฟฟ้า 3 เฟสขนาด 69 kV 115 kV 230 kV และ 500 kV ที่เกิดจากการคำนวนด้วยระเบียบวิธีไฟไนท์ดิฟเฟอร์เรนท์ โดยการจำลองผลของระบบแต่ละขนาดทั้งกรณี 1 เฟส และ 3 เฟส จะทำการเลื่อนตำแหน่งของมนุษย์ ณ ขณะใช้งานโทรศัพท์มือถือ 3 ตำแหน่งด้วยกัน เพื่อให้เห็นความแตกต่างของลักษณะการกระจายค่าสนามไฟฟ้าที่เปลี่ยนแปลงไป ซึ่งสามารถแสดงผลการจำลองค่าสนามไฟฟ้าของระบบสายส่งไฟฟ้า 1 เฟส และระบบสายส่งไฟฟ้า 3 เฟสตามหัวข้อต่อไปนี้

6.4.1 ระบบสายส่งไฟฟ้า 1 เฟส

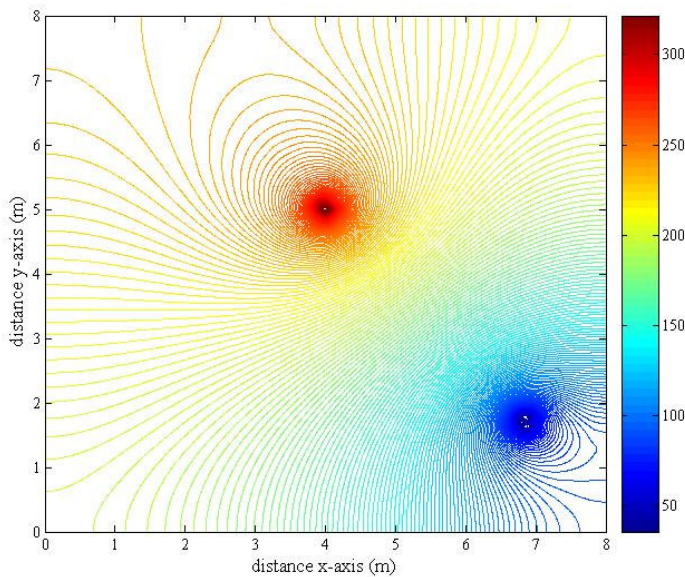
- ระบบสายส่งไฟฟ้า 1 เฟสขนาด 220 V



รูปที่ 6.13 การกระจายค่าสนามไฟฟ้าของระบบสายส่งไฟฟ้า 1 เฟสขนาด 220 V
เมื่อมุนเข้าใช้งานโตรศพท์มือถือ ณ ตำแหน่ง $x = 1 \text{ m}$



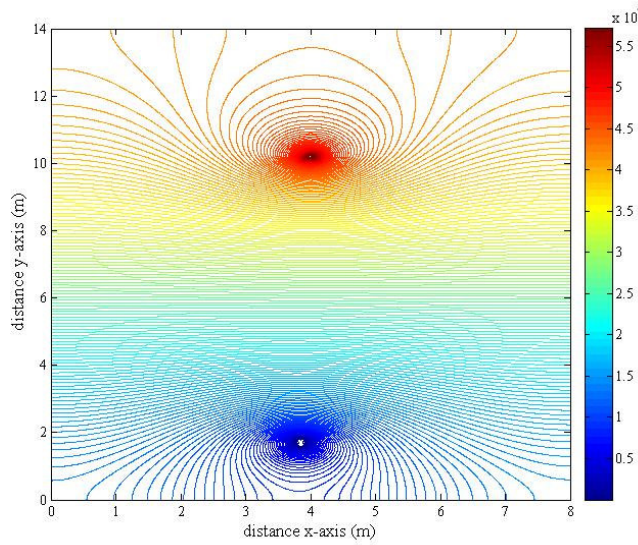
รูปที่ 6.14 การกระจายค่าสนามไฟฟ้าของระบบสายส่งไฟฟ้า 1 เฟสขนาด 220 V
เมื่อมุนเข้าใช้งานโตรศพท์มือถือ ณ ตำแหน่ง $x = 4 \text{ m}$



รูปที่ 6.15 การกระจายค่าสนามไฟฟ้าของระบบสายส่งไฟฟ้า 1 เฟสขนาด 220 V
เมื่อมุ่ย์ใช้งานโทรศัพท์มือถือ ณ ตำแหน่ง $x = 7 \text{ m}$

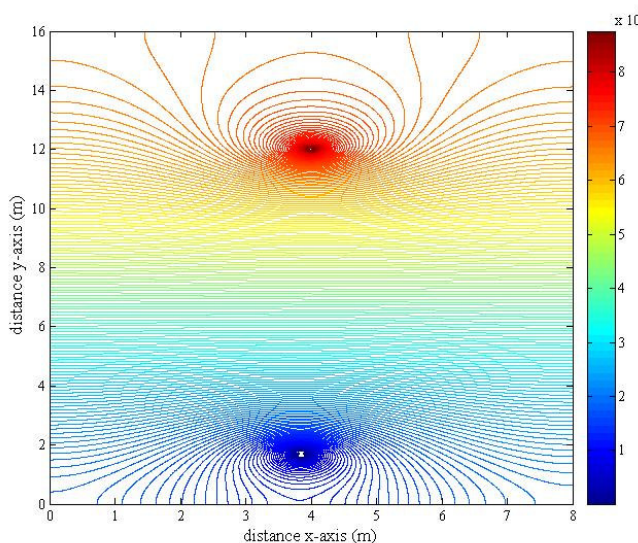
- ระบบสายส่งไฟฟ้า 1 เฟสขนาด 22 kV

เนื่องจากการจำลองผลการกระจายค่าสนามไฟฟ้าของระบบสายส่งไฟฟ้า 1 เฟสขนาด 22 kV และ 69 kV มีลักษณะคล้ายคลึงกับระบบสายส่งไฟฟ้า 1 เฟสขนาด 220 V แตกต่างที่ค่าสนามไฟฟ้าของด้านในสายส่ง กับขนาดพื้นที่ทดสอบของระบบ ดังนั้นจึงขอนำเสนอลักษณะการกระจายค่าสนามไฟฟ้าและค่อนทัวร์ค่าสนามไฟฟ้าของระบบสายส่งไฟฟ้านาด 22 kV และ 69 kV เพียง 1 กรณี คือ การใช้งานโทรศัพท์มือถือของมนุษย์ ณ ตำแหน่งกึ่งกลางของระบบเท่านั้น เพื่อให้เห็นภาพที่นำเสนอภายใต้ความจำกัดของข้อมูลที่มี



รูปที่ 6.16 การกระจายค่าสนามไฟฟ้าของระบบสายส่งไฟฟ้า 1 เฟสขนาด 22 kV
เมื่อมนุษย์ใช้งานโทรศัพท์มือถือ ณ ตำแหน่ง $x = 4$ m

- ระบบสายส่งไฟฟ้า 1 เฟสขนาด 69 kV



รูปที่ 6.17 การกระจายค่าสนามไฟฟ้าของระบบสายส่งไฟฟ้า 1 เฟสขนาด 69 kV
เมื่อมนุษย์ใช้งานโทรศัพท์มือถือ ณ ตำแหน่ง $x = 4$ m

6.4.2 ระบบสายส่งไฟฟ้า 3 เฟสสมดุล

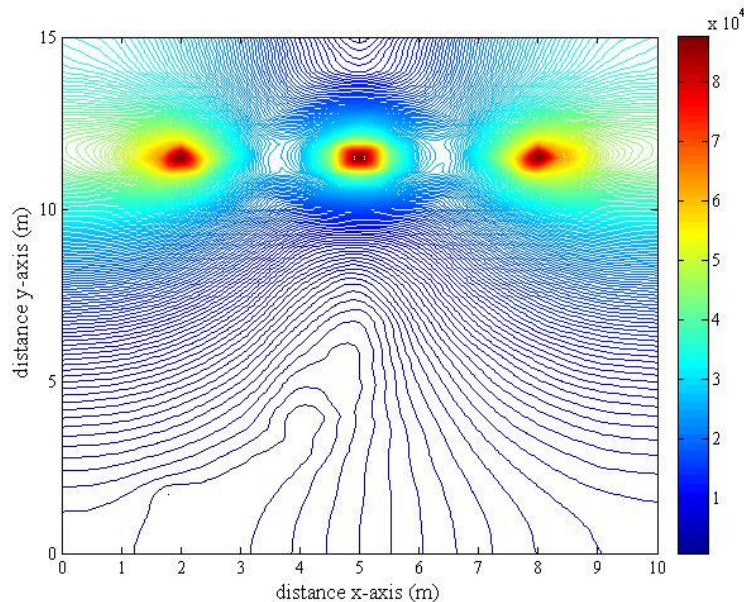
ระบบสายส่งไฟฟ้า 3 เฟสสมดุลขนาด 69 kV เมื่อมนุษย์ใช้งานโทรศัพท์มือถือ ณ ตำแหน่งใด ๆ นั้น ได้ทำการพิจารณาลักษณะของระบบไฟฟ้า 3 เฟสสมดุลออกเป็น 3 กรณี คือ

$$\text{เมื่อ } V_A = 69\angle 0^\circ \text{ kV } V_B = 69\angle -120^\circ \text{ kV } V_C = 69\angle 120^\circ \text{ kV}$$

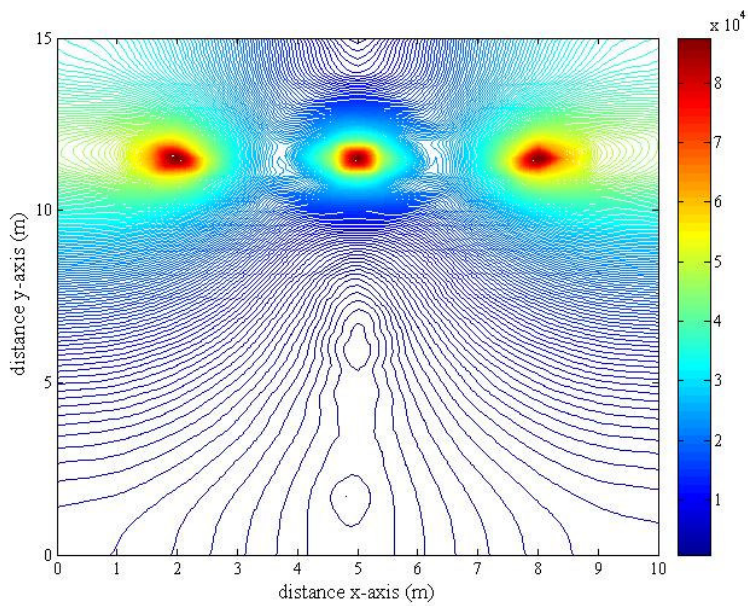
$$\text{เมื่อ } V_A = 69\angle 120^\circ \text{ kV } V_B = 69\angle 0^\circ \text{ kV } V_C = 69\angle -120^\circ \text{ kV}$$

$$\text{เมื่อ } V_A = 69\angle -120^\circ \text{ kV } V_B = 69\angle 120^\circ \text{ kV } V_C = 69\angle 0^\circ \text{ kV}$$

โดยลักษณะการกระจายค่าสนามไฟฟ้าและค่อนทัวร์ค่าสนามไฟฟ้าของระบบสายส่งไฟฟ้า 3 เฟสสมดุลขนาด 69 kV ทั้ง 3 กรณี จะให้ลักษณะที่เหมือนกันในทุกรูปนี้ แม้ว่าจะพิจารณาตำแหน่งที่มนุษย์ใช้งานโทรศัพท์มือถือ ณ ตำแหน่งใดก็ตาม โดยได้แสดงผลลัพธ์ในรูปที่ 6.18 ที่มุ่งเน้นการใช้งานโทรศัพท์มือถือ ณ ตำแหน่ง $x = 2 \text{ m}$, 5 m และ 8 m ตามลำดับ พร้อมทั้งแสดงการเปรียบเทียบค่าสนามไฟฟ้าบริเวณศีรษะมนุษย์จากการใช้งานโทรศัพท์มือถือ ณ ตำแหน่งดังกล่าว ซึ่ง IRPA คือ ค่ามาตรฐานของสนามไฟฟ้าสูงสุด ที่มนุษย์สามารถสัมผัสได้อย่างปลอดภัย ไม่เกิน 5 kV/m

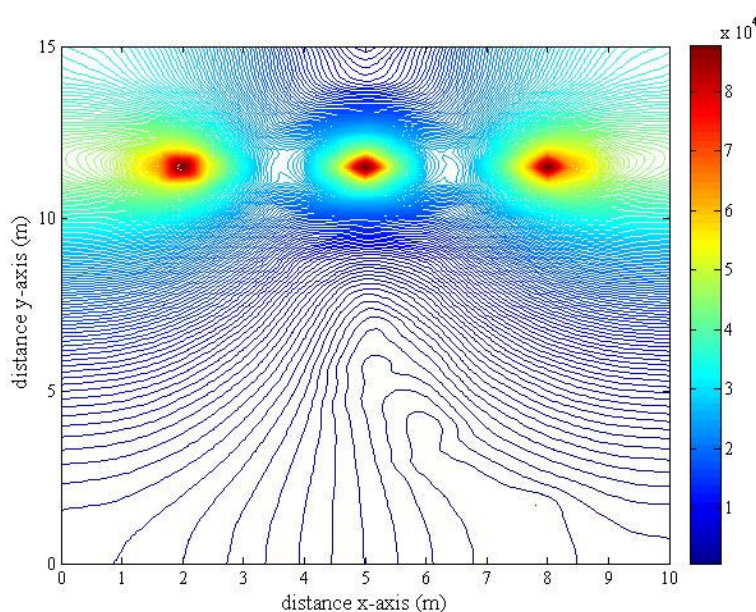


รูปที่ 6.18 การกระจายค่าสนามไฟฟ้า (V/m) ของระบบสายส่งไฟฟ้า 3 เฟสสมดุลขนาด 69 kV ณ ตำแหน่ง $x = 2 \text{ m}$



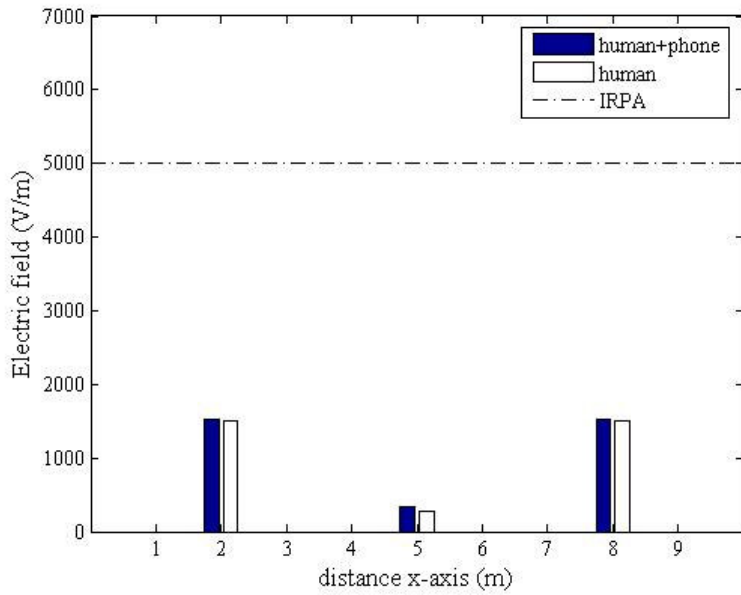
รูปที่ 6.19 การกระจายค่าสนามไฟฟ้า (V/m) ของระบบสายส่งไฟฟ้า 3 เฟสสมดุลขนาด 69 kV

ณ ตำแหน่ง $x = 5 \text{ m}$



รูปที่ 6.20 การกระจายค่าสนามไฟฟ้า (V/m) ของระบบสายส่งไฟฟ้า 3 เฟสสมดุลขนาด 69 kV

ณ ตำแหน่ง $x = 8 \text{ m}$



รูปที่ 6.21 เปรียบเทียบค่าสนามไฟฟ้า (V/m) บริเวณศีรษะมนุษย์จากการใช้งานโทรศัพท์มือถือ ณ ตำแหน่งต่าง ๆ ของระบบไฟฟ้า 3 เฟสสามคูลบนาด 69 kV

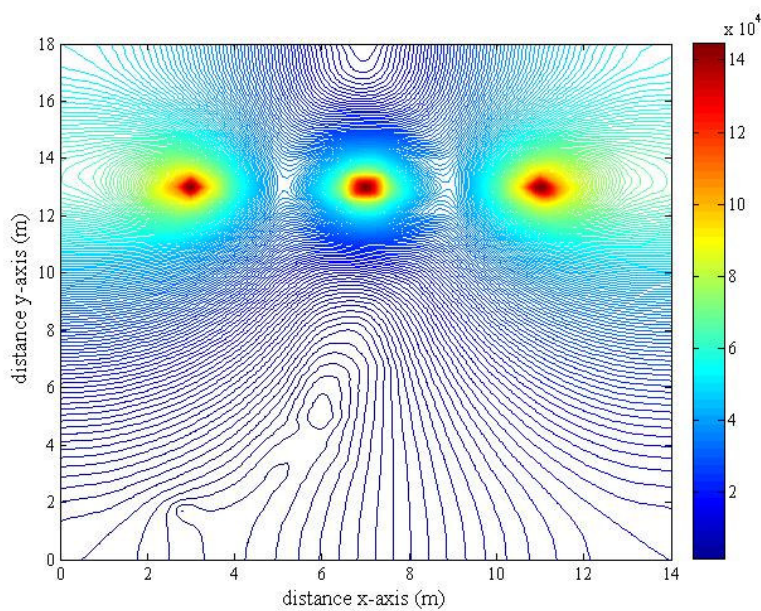
ระบบสายส่งไฟฟ้า 3 เฟสสามคูลบนาด 115 kV เมื่อมนุษย์ใช้งานโทรศัพท์มือถือ ณ ตำแหน่งใด ๆ นั้น ได้ทำการพิจารณาลักษณะของระบบไฟฟ้า 3 เฟสสามคูลบนาดเป็น 3 กรณี คือ

เมื่อ $V_A = 115\angle 0^\circ$ kV $V_B = 115\angle -120^\circ$ kV $V_C = 115\angle 120^\circ$ kV

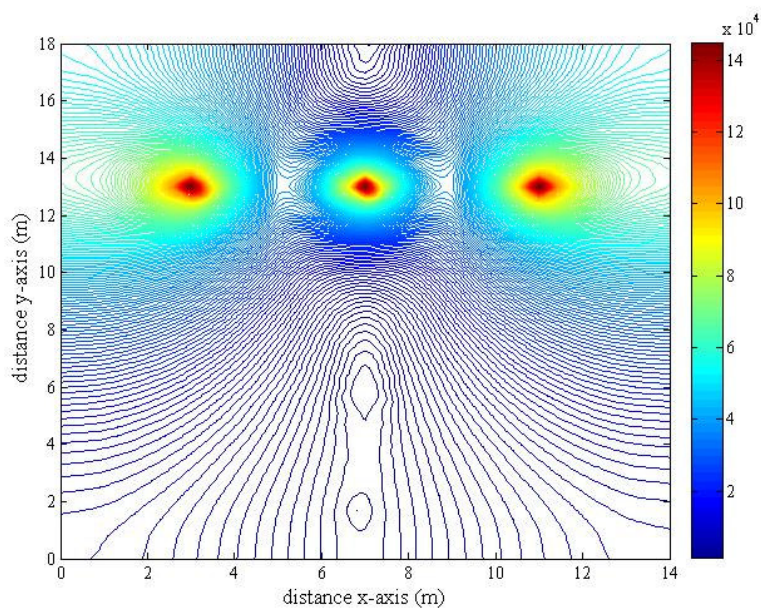
เมื่อ $V_A = 115\angle 120^\circ$ kV $V_B = 115\angle 0^\circ$ kV $V_C = 115\angle -120^\circ$ kV

เมื่อ $V_A = 115\angle -120^\circ$ kV $V_B = 115\angle 120^\circ$ kV $V_C = 115\angle 0^\circ$ kV

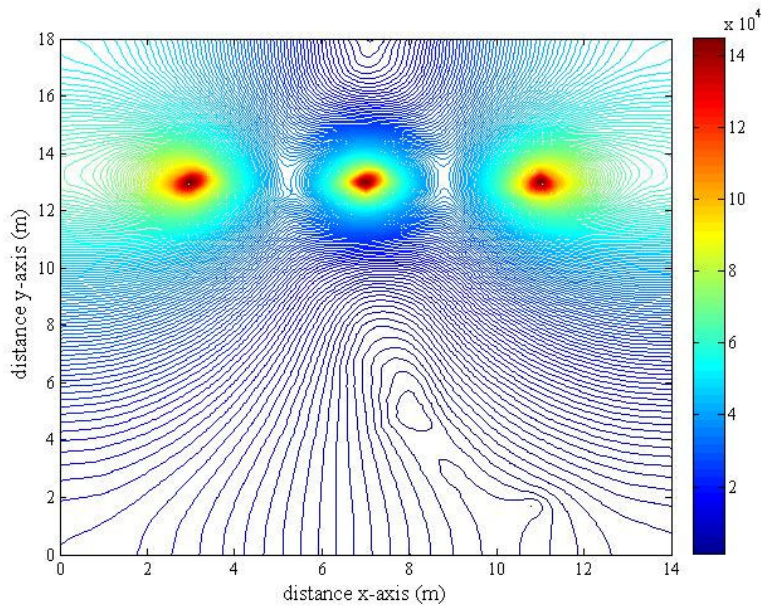
โดยลักษณะการกระจายค่าสนามไฟฟ้าและค่อนทัวร์ค่าสนามไฟฟ้าของระบบสายส่งไฟฟ้า 3 เฟสนาด 115 kV ทั้ง 3 กรณี จะให้ลักษณะที่เหมือนกันในทุกรายละเอียดที่มนุษย์ใช้งานโทรศัพท์มือถือ ณ ตำแหน่งใดก็ตาม โดยได้แสดงผลลัพธ์ในกรณีที่มนุษย์ใช้งานโทรศัพท์มือถือ ณ ตำแหน่ง $x = 3$ m, 7 m และ 11 m ตามลำดับ พร้อมทั้งแสดงการเปรียบเทียบค่าสนามไฟฟ้าบริเวณศีรษะมนุษย์จากการใช้งานโทรศัพท์มือถือ ณ ตำแหน่งตั้งกล่าว



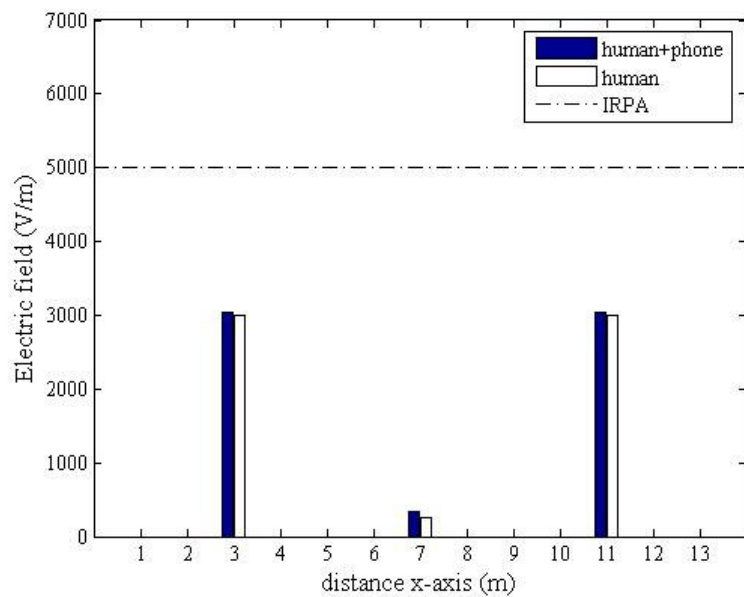
รูปที่ 6.22 การกระจายค่าสนามไฟฟ้า (V/m) ของระบบสายส่งไฟฟ้า 3 เฟสสมดุลขนาด $115 kV$
ณ ตำแหน่ง $x = 3 m$



รูปที่ 6.23 การกระจายค่าสนามไฟฟ้า (V/m) ของระบบสายส่งไฟฟ้า 3 เฟสสมดุลขนาด $115 kV$
ณ ตำแหน่ง $x = 7 m$



รูปที่ 6.24 การกระจายค่าสนามไฟฟ้า (V/m) ของระบบสายส่งไฟฟ้า 3 เฟสสมดุลขนาด 115 kV
ณ ตำแหน่ง $x = 11 \text{ m}$



รูปที่ 6.25 เปรียบเทียบค่าสนามไฟฟ้า (V/m) บริเวณศีรษะมนุษย์จากการใช้งานโทรศัพท์มือถือ
ณ ตำแหน่งต่างๆ ของระบบไฟฟ้า 3 เฟสสมดุลขนาด 115 kV

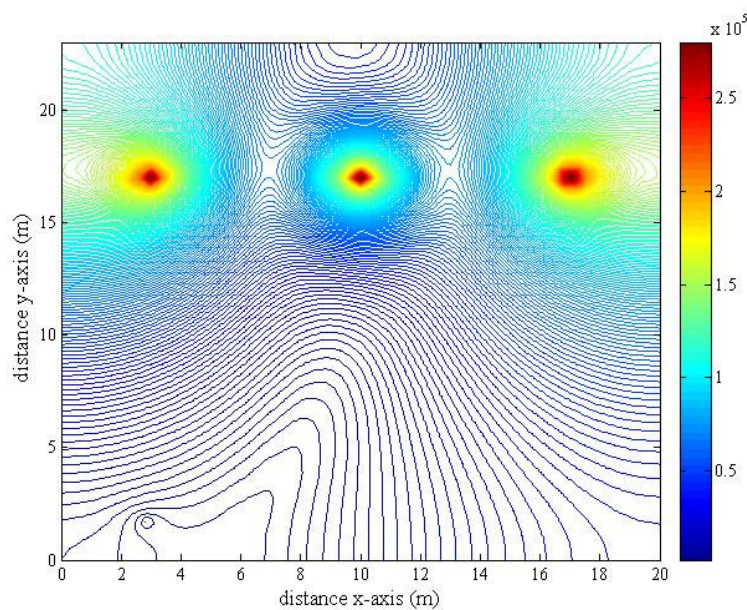
ระบบสายส่งไฟฟ้า 3 เฟสขนาด 230 kV เมื่อมนุษย์ใช้งานโทรศัพท์มือถือ ณ ตำแหน่งใด ๆ นั้น ได้ทำการพิจารณาลักษณะของระบบไฟฟ้า 3 เฟสสมดุลออกเป็น 3 กรณี คือ

$$\text{เมื่อ } V_A = 230\angle 0^\circ \text{ kV } V_B = 230\angle -120^\circ \text{ kV } V_C = 230\angle 120^\circ \text{ kV}$$

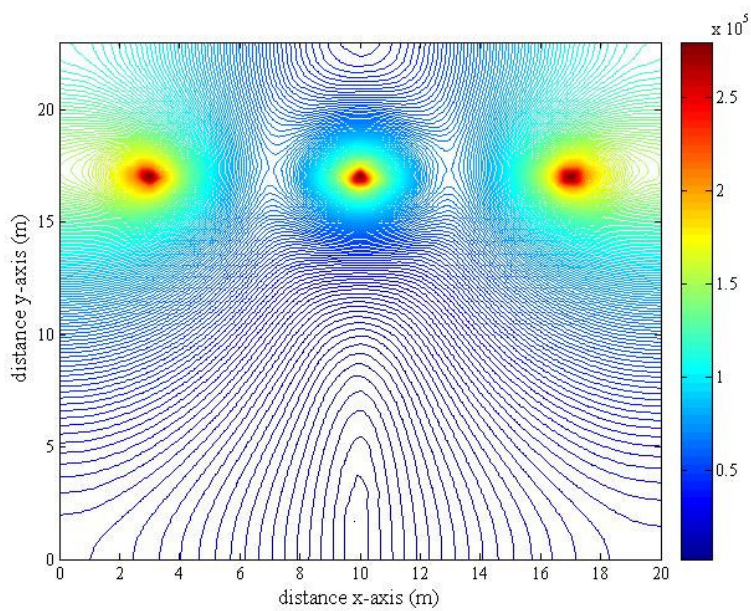
$$\text{เมื่อ } V_A = 230\angle 120^\circ \text{ kV } V_B = 230\angle 0^\circ \text{ kV } V_C = 230\angle -120^\circ \text{ kV}$$

$$\text{เมื่อ } V_A = 230\angle -120^\circ \text{ kV } V_B = 230\angle 120^\circ \text{ kV } V_C = 230\angle 0^\circ \text{ kV}$$

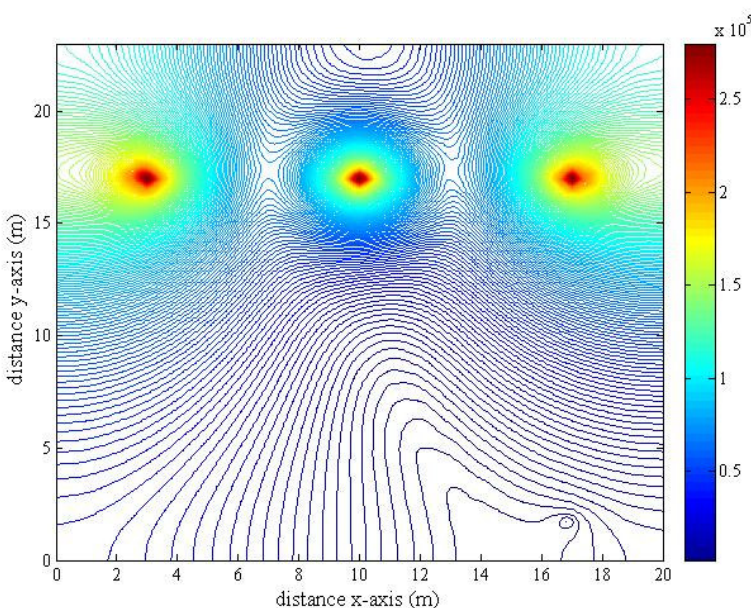
โดยลักษณะการกระจายค่าสนามไฟฟ้าและค่อนทัวร์ค่าสนามไฟฟ้าของระบบสายส่งไฟฟ้า 3 เฟสขนาด 230 kV ทั้ง 3 กรณี จะให้ลักษณะที่เหมือนกันในทุกรูป แม้ว่าจะพิจารณา ตำแหน่งที่มนุษย์ใช้งานโทรศัพท์มือถือ ณ ตำแหน่งใดก็ตาม โดยได้แสดงผลลัพธ์ในกรณีที่มนุษย์ใช้งานโทรศัพท์มือถือ ณ ตำแหน่ง $x = 3 \text{ m}$, 10 m และ 17 m ตามลำดับ พร้อมทั้งแสดงการเปรียบเทียบค่าสนามไฟฟ้านับศรีษะมนุษย์จากการใช้งานโทรศัพท์มือถือ ณ ตำแหน่งดังกล่าว



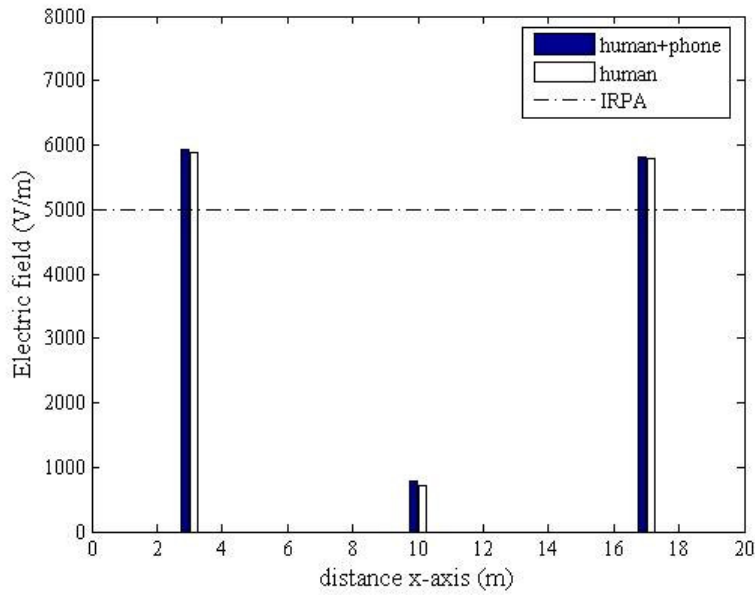
รูปที่ 6.26 การกระจายค่าสนามไฟฟ้า (V/m) ของระบบสายส่งไฟฟ้า 3 เฟสสมดุลขนาด 230 kV ณ ตำแหน่ง $x = 3 \text{ m}$



รูปที่ 6.27 การกระจายค่าสนามไฟฟ้า (V/m) ของระบบสายส่งไฟฟ้า 3 เฟสสมดุลขนาด 230 kV
ณ ตำแหน่ง $x = 10$ m



รูปที่ 6.28 การกระจายค่าสนามไฟฟ้า (V/m) ของระบบสายส่งไฟฟ้า 3 เฟสสมดุลขนาด 230 kV
ณ ตำแหน่ง $x = 17$ m



รูปที่ 6.29 เปรียบเทียบค่าสนามไฟฟ้า (V/m) บริเวณศีรษะมนุษย์จากการใช้งานโทรศัพท์มือถือ ณ ตำแหน่งต่าง ๆ ของระบบไฟฟ้า 3 เฟสสมดุลขนาด 230 kV

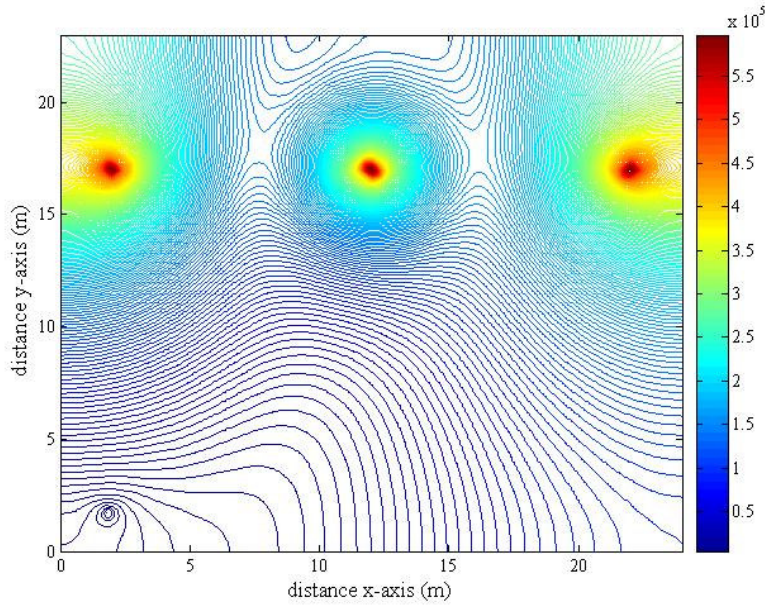
ระบบสายส่งไฟฟ้า 3 เฟสขนาด 500 kV เมื่อมนุษย์ใช้งานโทรศัพท์มือถือ ณ ตำแหน่งใด ๆ นั้น ได้ทำการพิจารณาลักษณะของระบบไฟฟ้า 3 เฟสสมดุลออกเป็น 3 กรณี คือ

เมื่อ $V_A = 500\angle 0^\circ$ kV $V_B = 500\angle -120^\circ$ kV $V_C = 500\angle 120^\circ$ kV

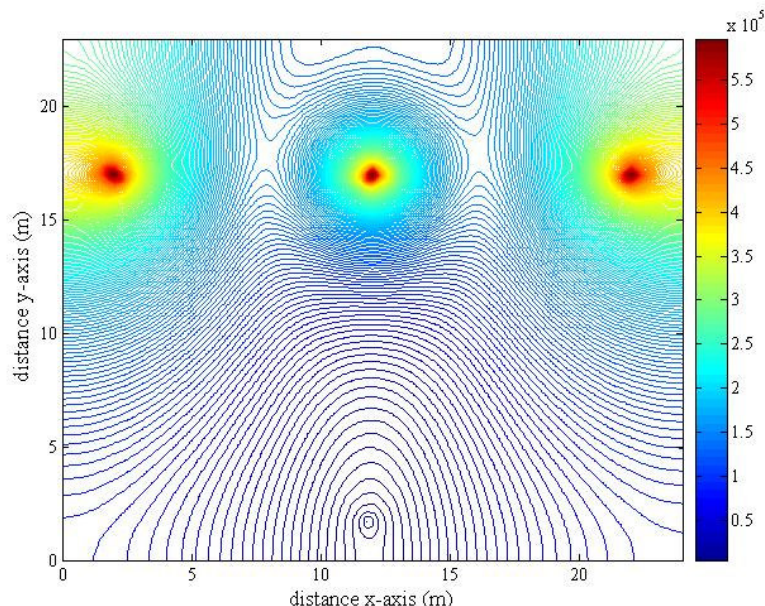
เมื่อ $V_A = 500\angle 120^\circ$ kV $V_B = 500\angle 0^\circ$ kV $V_C = 500\angle -120^\circ$ kV

เมื่อ $V_A = 500\angle -120^\circ$ kV $V_B = 500\angle 120^\circ$ kV $V_C = 500\angle 0^\circ$ kV

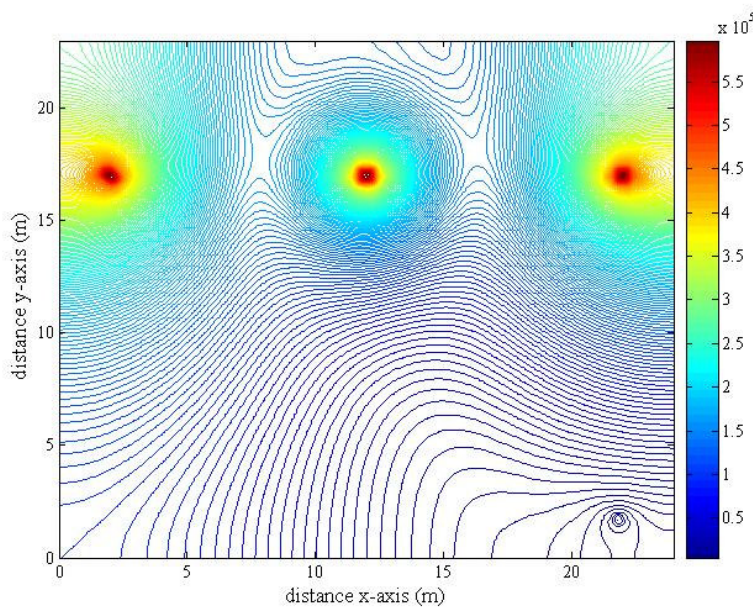
โดยลักษณะการกระจายค่าสนามไฟฟ้าและคอนทัวร์ค่าสนามไฟฟ้าของระบบสายส่งไฟฟ้า 3 เฟสขนาด 500 kV ทั้ง 3 กรณี จะให้ลักษณะที่เหมือนกันในทุกกรณี แม้ว่าจะพิจารณา ตำแหน่งที่มนุษย์ใช้งานโทรศัพท์มือถือ ณ ตำแหน่งใดก็ตาม โดยได้แสดงผลลัพธ์ในกรณีที่มนุษย์ใช้งานโทรศัพท์มือถือ ณ ตำแหน่ง $x = 2$ m, 12 m และ 22 m ตามลำดับ พร้อมทั้งแสดงการเปรียบเทียบค่าสนามไฟฟ้าบริเวณศีรษะมนุษย์จากการใช้งานโทรศัพท์มือถือ ณ ตำแหน่งตั้งกล่าว



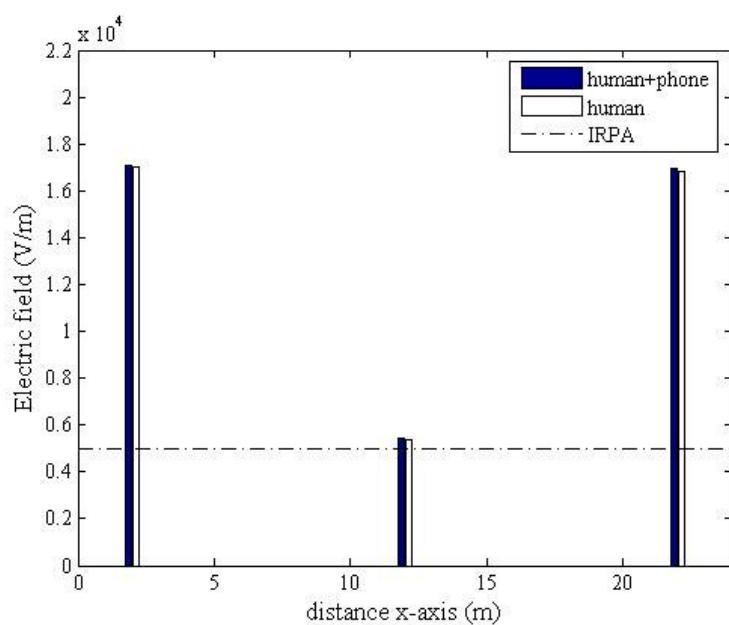
รูปที่ 6.30 การกระจายค่าสนามไฟฟ้า (V/m) ของระบบสายส่งไฟฟ้า 3 เฟสสมดุลขนาด $500 kV$
ณ ตำแหน่ง $x = 2 m$



รูปที่ 6.31 การกระจายค่าสนามไฟฟ้า (V/m) ของระบบสายส่งไฟฟ้า 3 เฟสสมดุลขนาด $500 kV$
ณ ตำแหน่ง $x = 10 m$



รูปที่ 6.32 การกระจายค่าสนามไฟฟ้า (V/m) ของระบบสายส่งไฟฟ้า 3 เฟสสมดุลขนาด 500 kV
ณ ตำแหน่ง $x = 22 \text{ m}$



รูปที่ 6.33 เปรียบเทียบค่าสนามไฟฟ้า (V/m) บริเวณศีรษะมนุษย์จากการใช้งานโทรศัพท์มือถือ
ณ ตำแหน่งต่าง ๆ ของระบบไฟฟ้า 3 เฟสสมดุลขนาด 500 kV

6.4.3 ระบบสายส่งไฟฟ้า 3 เฟสไม่สมดุล

สำหรับระบบไฟฟ้า 3 เฟสไม่สมดุลจะเลือกพิจารณาเฉพาะขนาด 230 kV เท่านั้น โดยจะแบ่งการจำลองผลออกเป็น 2 กรณี คือ กรณีขนำดไม่สมดุล กับ กรณีมุมเฟสไม่สมดุล ซึ่งแต่ละกรณีจะแยกการพิจารณาออกเป็น 3 แบบ เพื่อให้เห็นผลกระทบของสนามไฟฟ้าที่เปลี่ยนแปลงไป อันเนื่องมาจากความไม่สมดุลที่เกิดจากขนาดและมุมเฟสของแรงดันภายในสายส่ง โดยมีรายละเอียดดังต่อไปนี้

กรณีขนำดไม่สมดุล ($\pm 10\%$ ของขนาดเฟสอ้างอิง) ประกอบด้วยการพิจารณา 3 แบบ คือ

แบบที่ 1 เมื่อ $V_A = 230 \angle 0^\circ$ kV $V_B = 207 \angle -120^\circ$ kV $V_C = 253 \angle 120^\circ$ kV

แบบที่ 2 เมื่อ $V_A = 253 \angle 0^\circ$ kV $V_B = 230 \angle -120^\circ$ kV $V_C = 207 \angle 120^\circ$ kV

แบบที่ 3 เมื่อ $V_A = 207 \angle 0^\circ$ kV $V_B = 253 \angle -120^\circ$ kV $V_C = 230 \angle 120^\circ$ kV

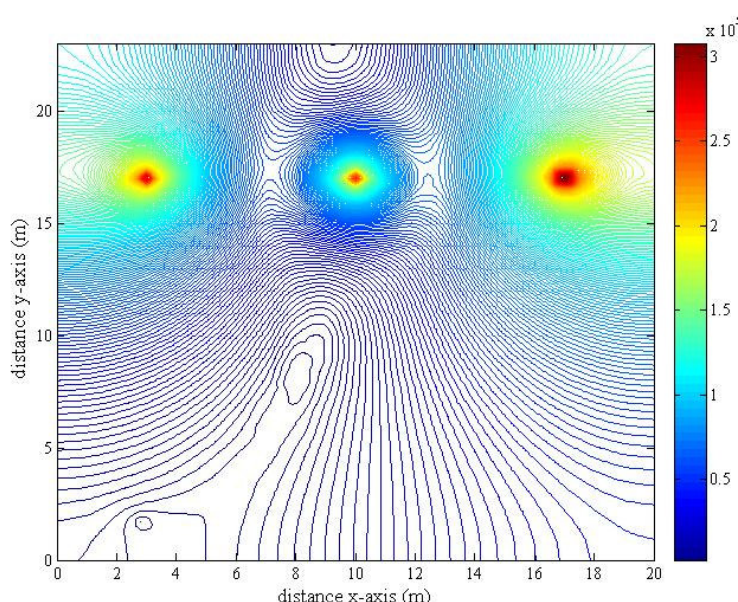
กรณีมุมเฟสไม่สมดุล ($\pm 30^\circ$ ของมุมเฟสอ้างอิง) ประกอบด้วยการพิจารณา 3 แบบ คือ

แบบที่ 1 เมื่อ $V_A = 230 \angle 0^\circ$ kV $V_B = 230 \angle -150^\circ$ kV $V_C = 230 \angle 150^\circ$ kV

แบบที่ 2 เมื่อ $V_A = 230 \angle 30^\circ$ kV $V_B = 230 \angle -120^\circ$ kV $V_C = 230 \angle 90^\circ$ kV

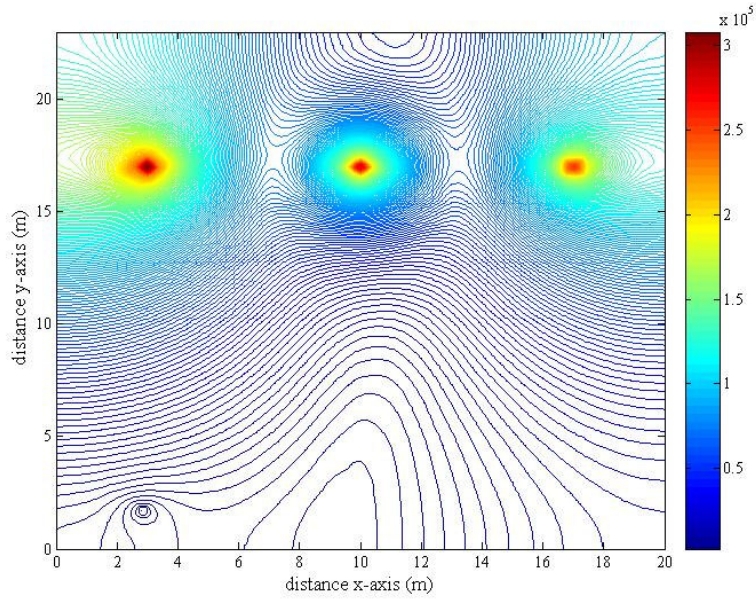
แบบที่ 3 เมื่อ $V_A = 230 \angle -30^\circ$ kV $V_B = 230 \angle -90^\circ$ kV $V_C = 230 \angle 120^\circ$

- กรณีขนำดไม่สมดุล ($\pm 10\%$ ของขนาดเฟสอ้างอิง)

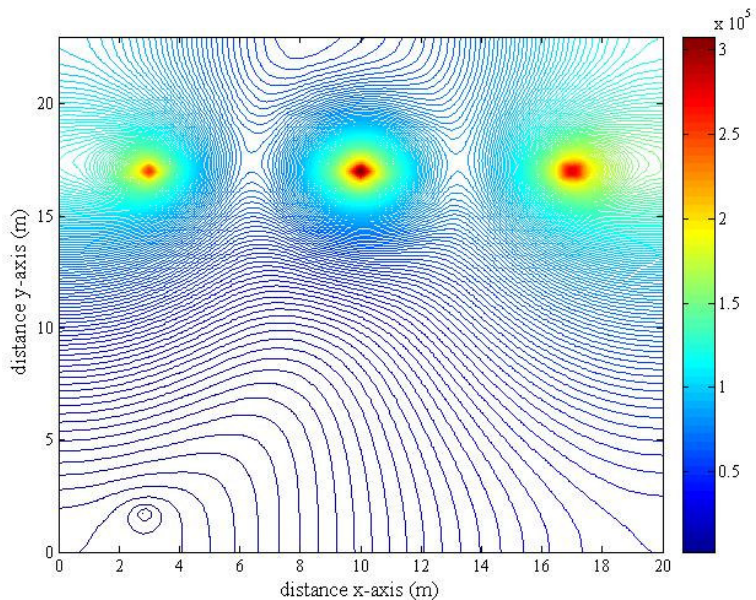


รูปที่ 6.34 การกระจายค่าสนามไฟฟ้า (V/m) ของระบบสายส่งไฟฟ้า 3 เฟสไม่สมดุล เมื่อ

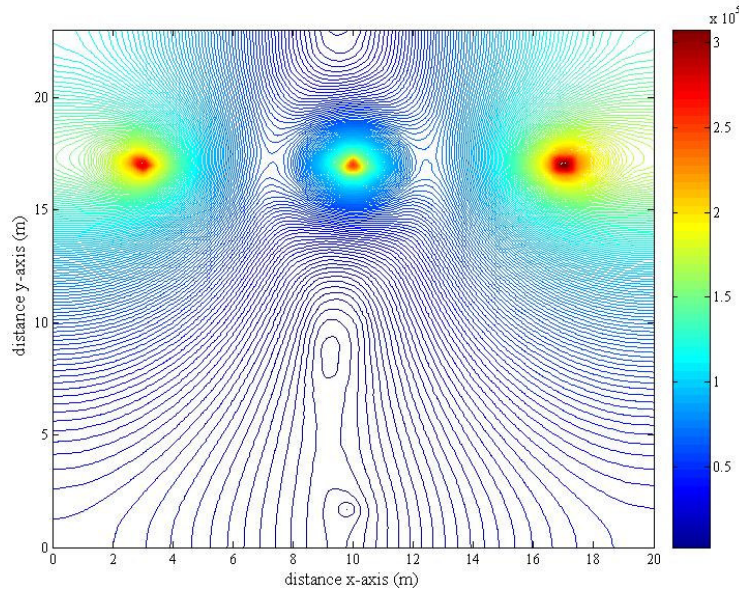
$V_A = 230 \angle 0^\circ$ kV $V_B = 207 \angle -120^\circ$ kV $V_C = 253 \angle 120^\circ$ kV ณ ตำแหน่ง $x = 3$ m



รูปที่ 6.35 การกระจายค่าสนามไฟฟ้า (V/m) ของระบบสายส่งไฟฟ้า 3 เฟส ไม่สมดุล เมื่อ
 $V_A = 253\angle 0^\circ \text{ kV}$ $V_B = 230\angle -120^\circ \text{ kV}$ $V_C = 207\angle 120^\circ \text{ kV}$ ณ ตำแหน่ง $x = 3 \text{ m}$



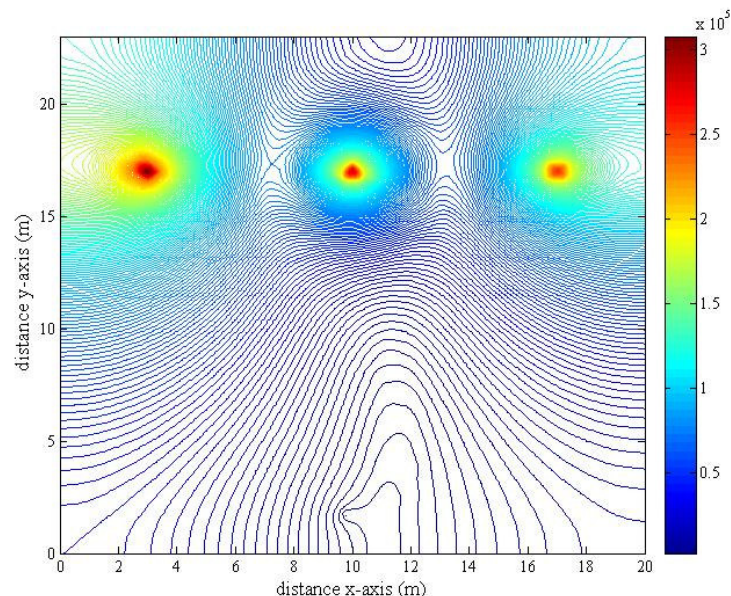
รูปที่ 6.36 การกระจายค่าสนามไฟฟ้า (V/m) ของระบบสายส่งไฟฟ้า 3 เฟส ไม่สมดุล เมื่อ
 $V_A = 207\angle 0^\circ \text{ kV}$ $V_B = 253\angle -120^\circ \text{ kV}$ $V_C = 230\angle 120^\circ \text{ kV}$ ณ ตำแหน่ง $x = 3 \text{ m}$



รูปที่ 6.37 การกระจายค่าสนามไฟฟ้า (V/m) ของระบบสายสั่งไฟฟ้า 3 เฟส ไม่สมดุล เมื่อ

$$V_A = 230\angle 0^\circ \text{ kV} \quad V_B = 207\angle -120^\circ \text{ kV} \quad V_C = 253\angle 120^\circ \text{ kV}$$

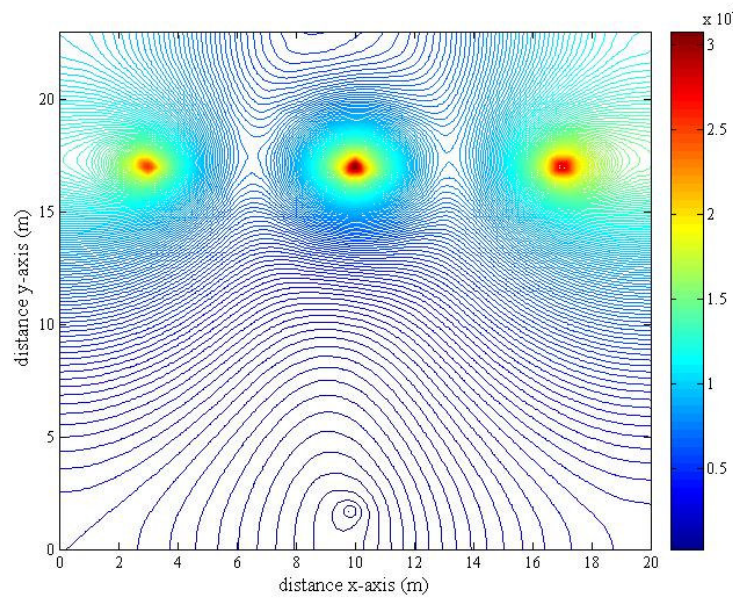
ณ ตำแหน่ง $x = 10 \text{ m}$



รูปที่ 6.38 การกระจายค่าสนามไฟฟ้า (V/m) ของระบบสายสั่งไฟฟ้า 3 เฟส ไม่สมดุล เมื่อ

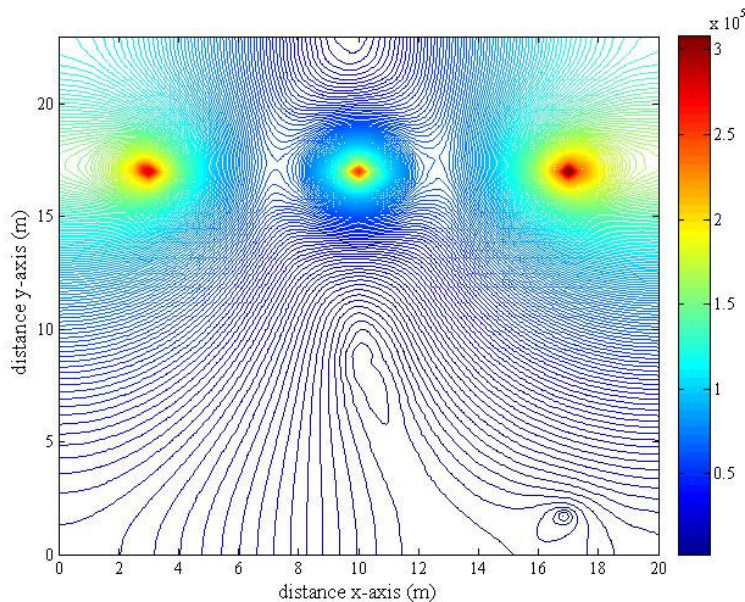
$$V_A = 253\angle 0^\circ \text{ kV} \quad V_B = 230\angle -120^\circ \text{ kV} \quad V_C = 207\angle 120^\circ \text{ kV}$$

ณ ตำแหน่ง $x = 10 \text{ m}$



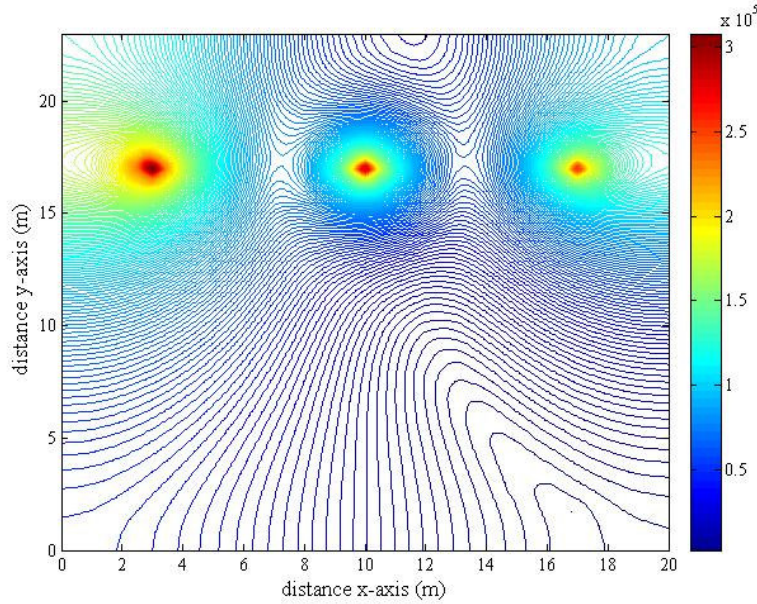
รูปที่ 6.39 การกระจายค่าสนามไฟฟ้า (V/m) ของระบบสามสี่ไฟฟ้า 3 เฟส ไม่สมดุล เมื่อ

$$V_A = 207\angle 0^\circ \text{ kV} \quad V_B = 253\angle -120^\circ \text{ kV} \quad V_C = 230\angle 120^\circ \text{ kV} \quad \text{ณ ตำแหน่ง } x=10 \text{ m}$$



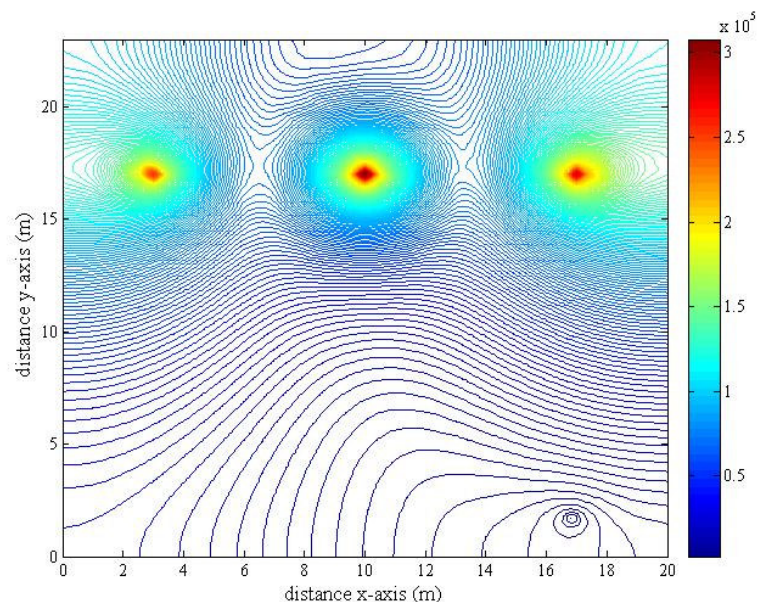
รูปที่ 6.40 การกระจายค่าสนามไฟฟ้า (V/m) ของระบบสามสี่ไฟฟ้า 3 เฟส ไม่สมดุล เมื่อ

$$V_A = 230\angle 0^\circ \text{ kV} \quad V_B = 207\angle -120^\circ \text{ kV} \quad V_C = 253\angle 120^\circ \text{ kV} \quad \text{ณ ตำแหน่ง } x=17 \text{ m}$$



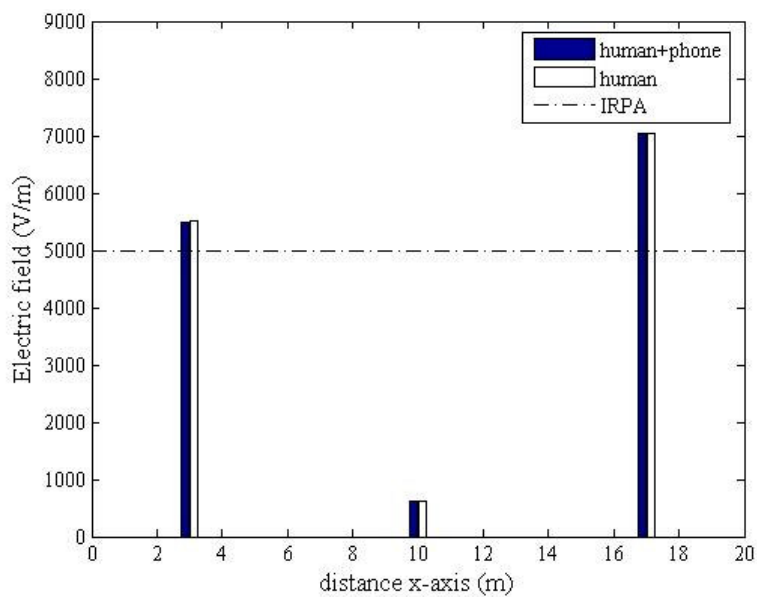
รูปที่ 6.41 การกระจายค่าสนามไฟฟ้า (V/m) ของระบบสายส่งไฟฟ้า 3 เฟส ไม่สมดุล เมื่อ

$$V_A = 253\angle 0^\circ \text{ kV} \quad V_B = 230\angle -120^\circ \text{ kV} \quad V_C = 207\angle 120^\circ \text{ kV} \quad \text{ณ ตำแหน่ง } x=17 \text{ m}$$

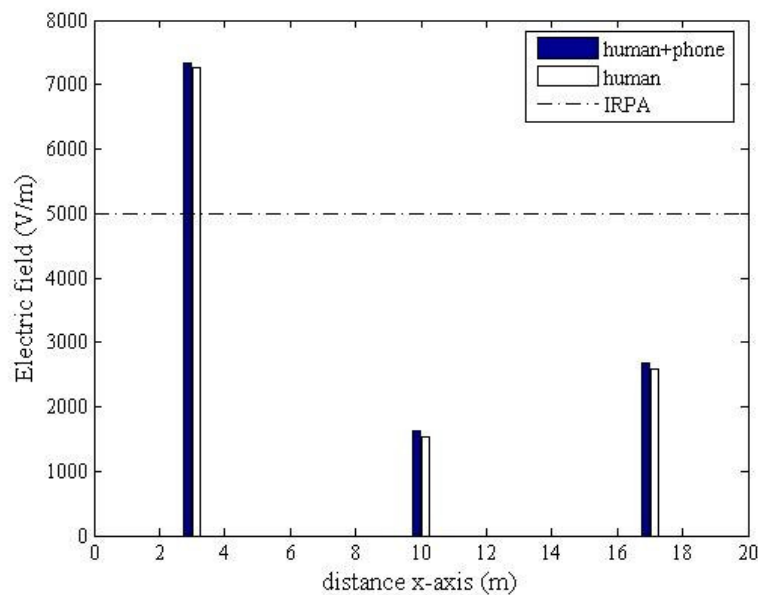


รูปที่ 6.42 การกระจายค่าสนามไฟฟ้า (V/m) ของระบบสายส่งไฟฟ้า 3 เฟส ไม่สมดุล เมื่อ

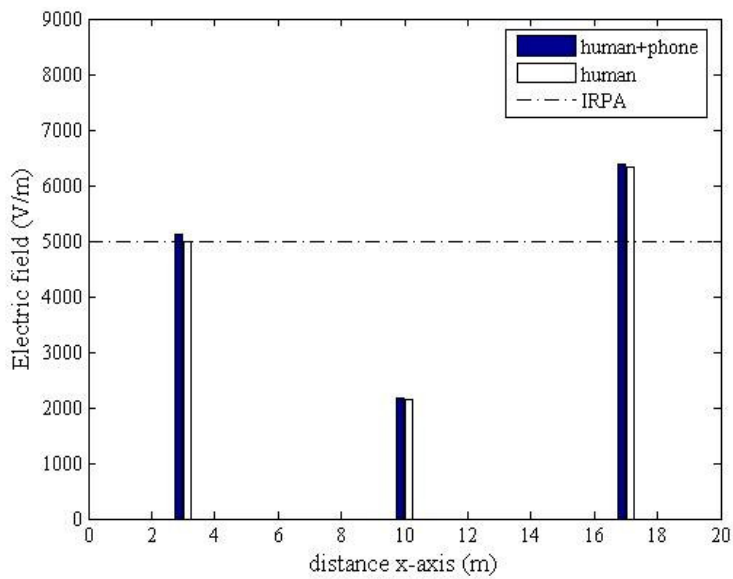
$$V_A = 207\angle 0^\circ \text{ kV} \quad V_B = 253\angle -120^\circ \text{ kV} \quad V_C = 230\angle 120^\circ \text{ kV} \quad \text{ณ ตำแหน่ง } x=17 \text{ m}$$



รูปที่ 6.43 เปรียบเทียบค่าสนามไฟฟ้า (V/m) บริเวณศีรษะมนุษย์จากการใช้งานโทรศัพท์มือถือ ณ ตำแหน่งต่าง ๆ ของระบบไฟฟ้า 3 เฟส ไม่สมดุล (ขนาด) 230 kV แบบที่ 1

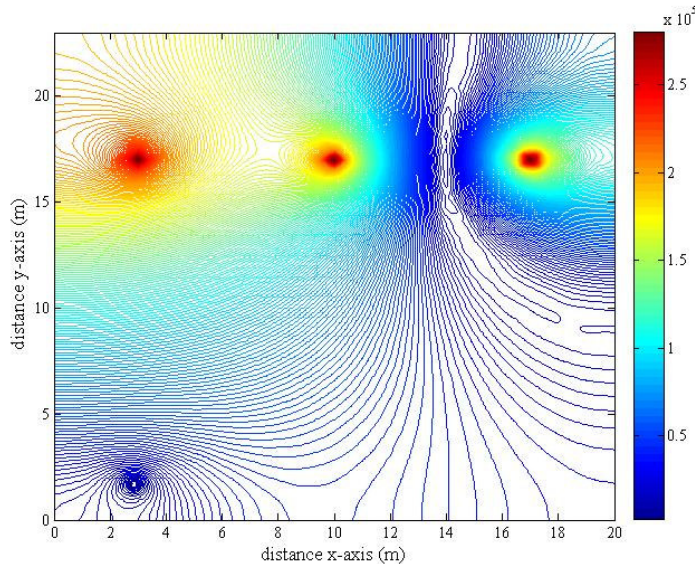


รูปที่ 6.44 เปรียบเทียบค่าสนามไฟฟ้า (V/m) บริเวณศีรษะมนุษย์จากการใช้งานโทรศัพท์มือถือ ณ ตำแหน่งต่าง ๆ ของระบบไฟฟ้า 3 เฟส ไม่สมดุล (ขนาด) 230 kV แบบที่ 2

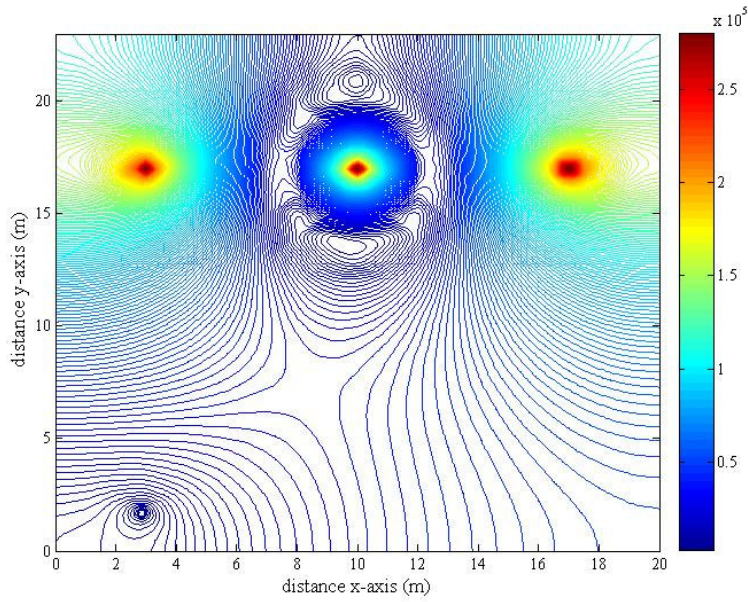


รูปที่ 6.45 เปรียบเทียบค่าสนามไฟฟ้า (V/m) บริเวณศีรษะมนุษย์จากการใช้งานโทรศัพท์มือถือ ณ ตำแหน่งต่าง ๆ ของระบบไฟฟ้า 3 เฟสไม่สมดุล (ขนาด 230 kV แบบที่ 3

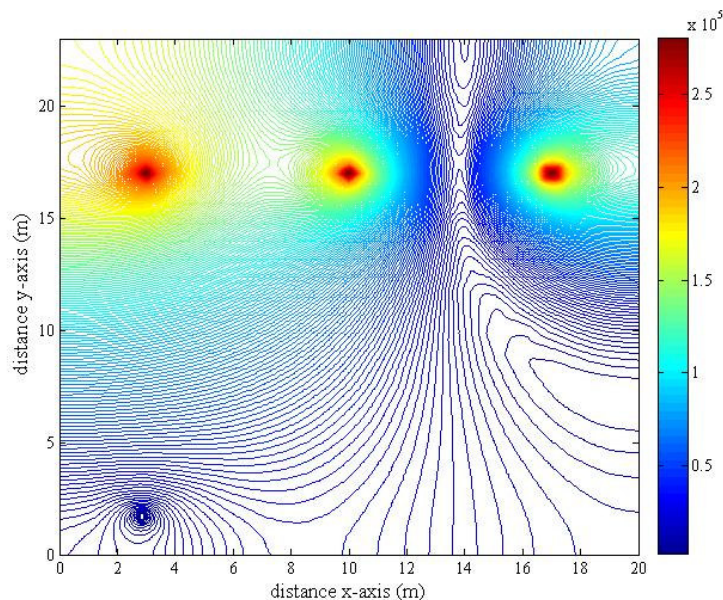
- กรณีมุมเฟสไม่สมดุล ($\pm 30^\circ$ ของมุมเฟสอ้างอิง)



รูปที่ 6.46 การกระจายค่าสนามไฟฟ้า (V/m) ของระบบสามส่วนไฟฟ้า 3 เฟสไม่สมดุล เมื่อ
 $V_A = 230\angle 0^\circ$ kV $V_B = 230\angle -150^\circ$ kV $V_C = 230\angle 150^\circ$ kV ณ ตำแหน่ง $x = 3$ m

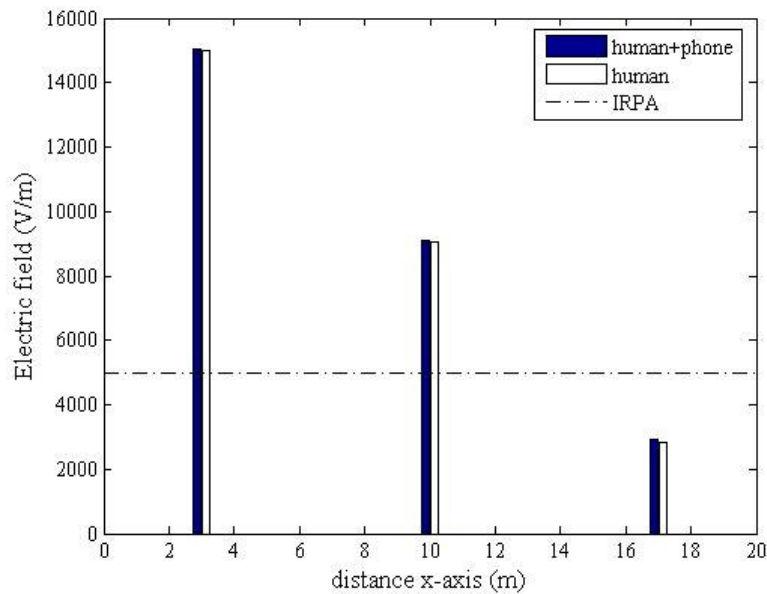


รูปที่ 6.47 การกระจายค่าสนามไฟฟ้า (V/m) ของระบบสายส่งไฟฟ้า 3 เฟส ไม่สมดุล เมื่อ
 $V_A = 230\angle 30^\circ \text{ kV}$ $V_B = 230\angle -120^\circ \text{ kV}$ $V_C = 230\angle 90^\circ \text{ kV}$ ณ ตำแหน่ง $x = 3 \text{ m}$

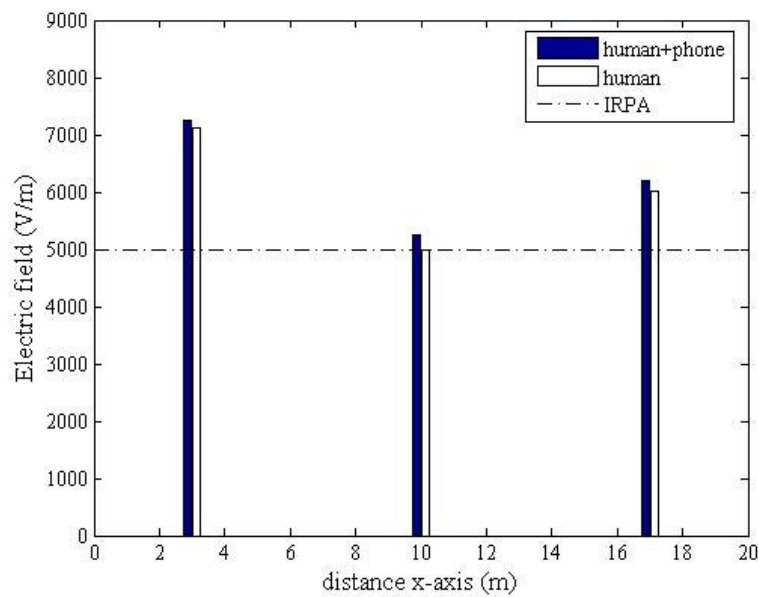


รูปที่ 6.48 การกระจายค่าสนามไฟฟ้า (V/m) ของระบบสายส่งไฟฟ้า 3 เฟส ไม่สมดุล เมื่อ
 $V_A = 230\angle -30^\circ \text{ kV}$ $V_B = 230\angle -90^\circ \text{ kV}$ $V_C = 230\angle 120^\circ \text{ kV}$ ณ ตำแหน่ง $x = 3 \text{ m}$

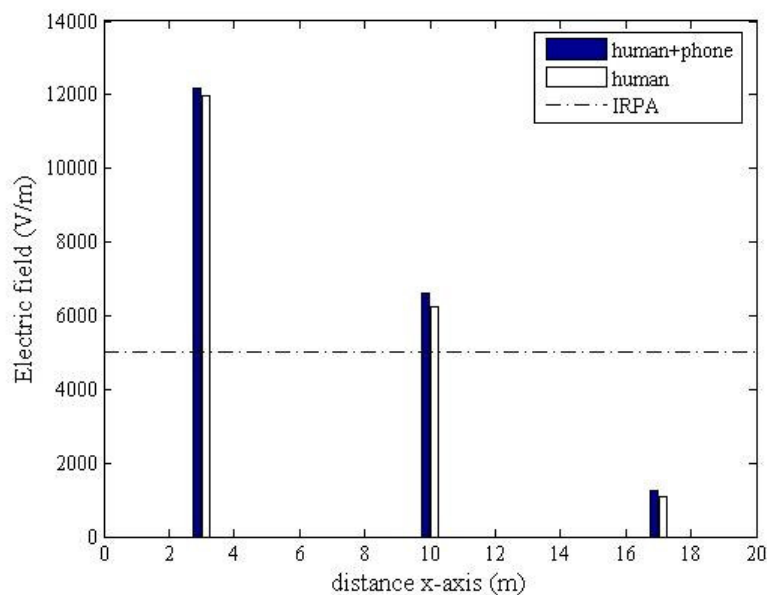
ส่วนการกระจายค่าสนามไฟฟ้าของระบบสายส่งไฟฟ้า 3 เฟสไม่สมดุล เมื่อมนุษย์ใช้งานโทรศัพท์มือถือ ณ ตำแหน่ง $x = 10 \text{ m}$ และ 17 m จะมีลักษณะการกระจายตัวคล้ายกันกับ เมื่อพิจารณา ณ ตำแหน่ง $x = 3 \text{ m}$ ที่ผ่านมาทุกประการ โดยจะมีความแตกต่างกันตรงขนาดเท่านั้น จึงไม่ขอนำเสนอในที่นี้ แต่ได้แสดงเปรียบเทียบค่าสนามไฟฟ้าบริเวณศีริยะมนุษย์จากการใช้งานโทรศัพท์มือถือ ณ ตำแหน่งดังกล่าว ได้ดังรูป



รูปที่ 6.49 เปรียบเทียบค่าสนามไฟฟ้า (V/m) บริเวณศีริยะมนุษย์จากการใช้งานโทรศัพท์มือถือ ณ ตำแหน่งต่าง ๆ ของระบบไฟฟ้า 3 เฟสไม่สมดุล (เฟส) 230 kV แบบที่ 1



รูปที่ 6.50 เปรียบเทียบค่าสนามไฟฟ้า (V/m) บริเวณศีรษะมนุษย์จากการใช้งานโทรศัพท์มือถือ ณ ตำแหน่งต่าง ๆ ของระบบไฟฟ้า 3 เฟสไม่สมดุล (เฟส) 230 kV แบบที่ 2



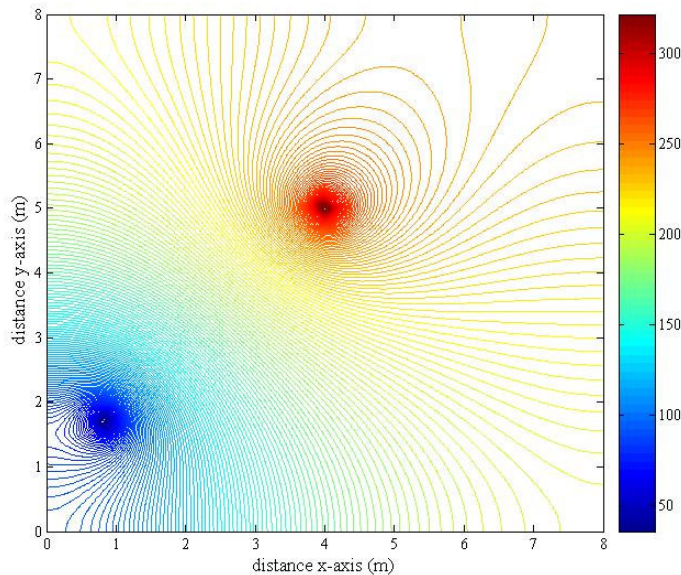
รูปที่ 6.51 เปรียบเทียบค่าสนามไฟฟ้า (V/m) บริเวณศีรษะมนุษย์จากการใช้งานโทรศัพท์มือถือ ณ ตำแหน่งต่าง ๆ ของระบบไฟฟ้า 3 เฟสไม่สมดุล (เฟส) 230 kV แบบที่ 3

6.5 ผลการจำลองด้วยระบบเบี่ยงบวชไฟฟ้าในท่อคิเมนท์

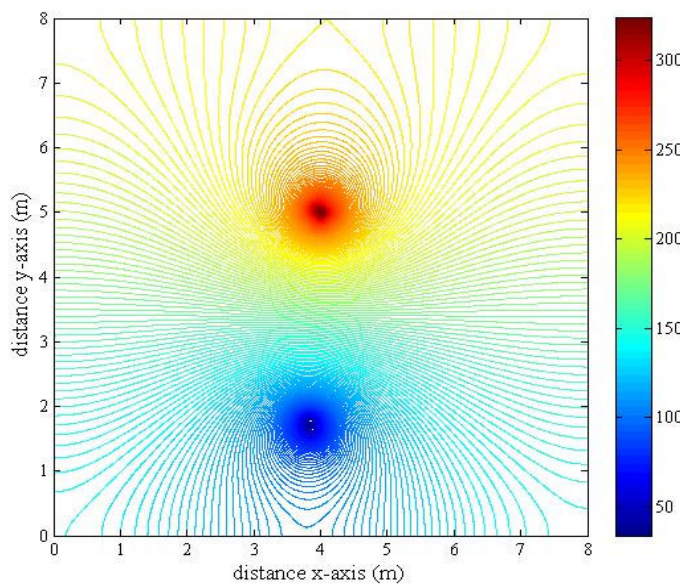
ในหัวข้อนี้เป็นการนำเสนอผลการจำลองการกระจายค่าสนามไฟฟ้าของระบบสายส่งไฟฟ้าด้วยระบบเบี่ยงบวชไฟฟ้าในท่อคิเมนท์ โดยจะทำการจำลองระบบสายส่งไฟฟ้าทั้งระบบ 1 เฟส และ 3 เฟส พร้อมทั้งทำการเลื่อนตำแหน่งของมนุษย์ ณ ขณะใช้งาน โทรศัพท์มือถือ 3 ตำแหน่ง เมื่อันในทำนองเดียวกับการคำนวณค่าสนามไฟฟ้าด้วยระบบเบี่ยงบวชไฟฟ้าที่ดิเฟอร์เรนท์ผ่านมา เพื่อให้เห็นความแตกต่างของลักษณะการกระจายค่าสนามไฟฟ้าที่เปลี่ยนแปลงไป ซึ่งสามารถแสดงผลการจำลองค่าสนามไฟฟ้าของระบบสายส่งไฟฟ้า 1 เฟส และ ระบบไฟฟ้า 3 เฟสตามหัวข้อต่อไปนี้

6.5.1 ระบบสายส่งไฟฟ้า 1 เฟส

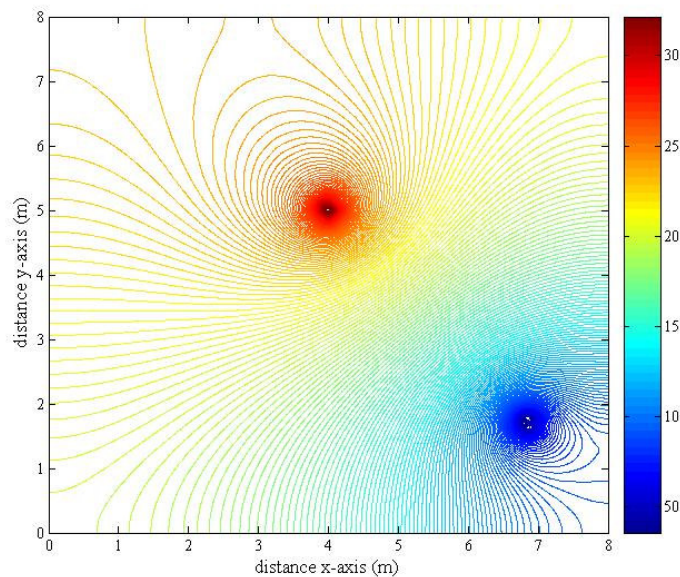
- ระบบสายส่งไฟฟ้า 1 เฟสขนาด 220 V



รูปที่ 6.52 การกระจายค่าสนามไฟฟ้า (V/m) ของระบบสายส่งไฟฟ้า 1 เฟสขนาด 220 V
เมื่อมนุษย์ใช้งานโทรศัพท์มือถือ ณ ตำแหน่ง $x = 1 \text{ m}$



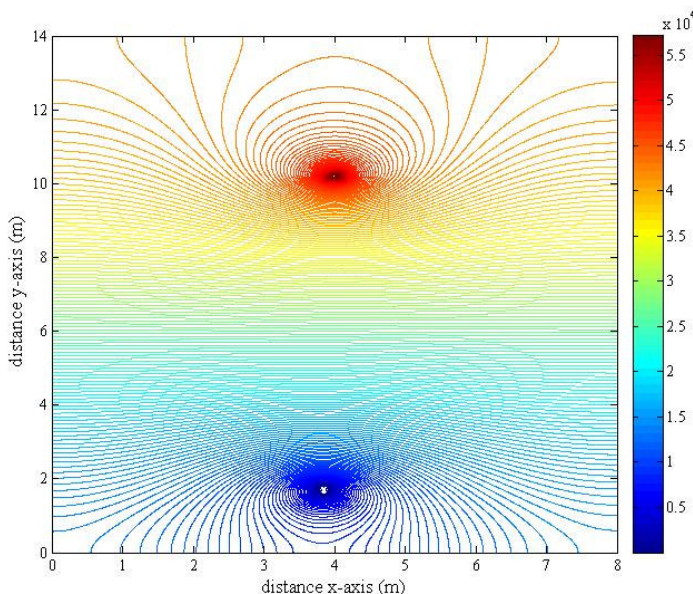
รูปที่ 6.53 การกระจายค่าสนามไฟฟ้า (V/m) ของระบบสายส่งไฟฟ้า 1 เฟสบนด 220 V
เมื่อมุขย์ใช้งานโตรศพท มีอถือ ณ ตำแหน่ง $x = 4 \text{ m}$



รูปที่ 6.54 การกระจายค่าสนามไฟฟ้า (V/m) ของระบบสายส่งไฟฟ้า 1 เฟสบนด 220 V
เมื่อมุขย์ใช้งานโตรศพท มีอถือ ณ ตำแหน่ง $x = 7 \text{ m}$

- ระบบสายส่งไฟฟ้า 1 เฟสบนด้วย 22 kV

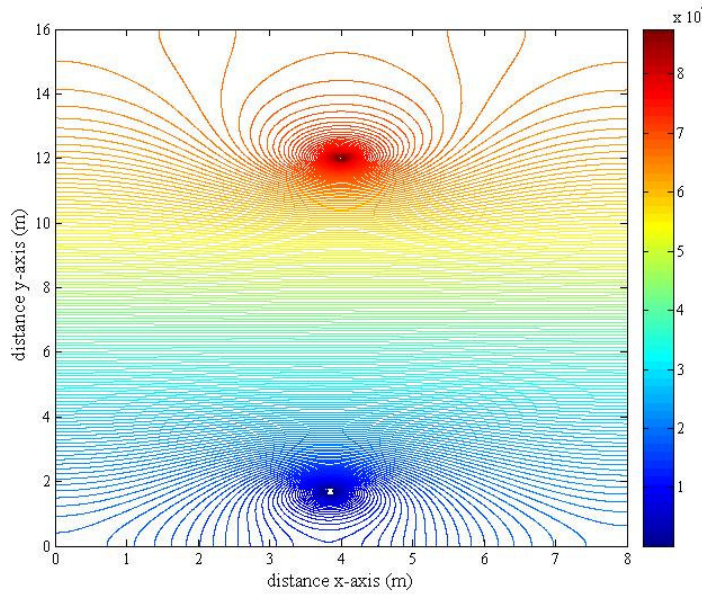
เนื่องจากการจำลองผลการกระจายค่าสนามไฟฟ้าของระบบสายส่งไฟฟ้า 1 เฟสบนด้วย 22 kV และ 69 kV มีลักษณะคล้ายคลึงกับระบบสายส่งไฟฟ้า 1 เฟสบนด้วย 220 V แตกต่างที่ค่าสนามไฟฟ้าของด้านในสายส่ง กับบนด้วยพื้นที่ทดสอบของระบบ ดังนั้นจึงขอนำเสนอลักษณะการกระจายค่าสนามไฟฟ้าและค่อนทัวร์ค่าสนามไฟฟ้าของระบบสายส่งไฟฟ้าบนด้วย 22 kV และ 69 kV เพียง 1 กรณี คือ การใช้งานโทรศัพท์มือถือของมนุษย์ ณ ตำแหน่งกึ่งกลางของระบบเท่านั้น เพื่อให้เห็นถึงที่นำเสนอภายในวิทยานิพนธ์มีความกระชับมากยิ่งขึ้น



รูปที่ 6.55 การกระจายค่าสนามไฟฟ้า (V/m) ของระบบสายส่งไฟฟ้า 1 เฟสบนด้วย 22 kV

เมื่อมนุษย์ใช้งานโทรศัพท์มือถือ ณ ตำแหน่ง $x = 4 \text{ m}$

- ระบบสายส่งไฟฟ้า 1 เฟสบนภาค 69 kV



รูปที่ 6.56 การกระจายค่าสนามไฟฟ้า (V/m) ของระบบสายส่งไฟฟ้า 1 เฟสบนภาค 69 kV
เมื่อมนุยย์ใช้งานโทรศัพท์มือถือ ณ ตำแหน่ง $x = 4$ m

6.5.2 ระบบสายส่งไฟฟ้า 3 เฟสสมดุล

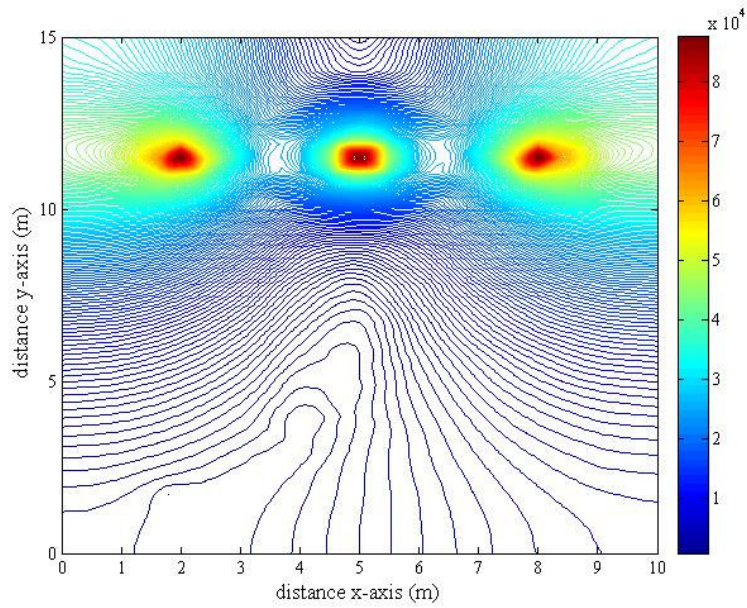
ระบบสายส่งไฟฟ้า 3 เฟสสมดุลขนาด 69 kV เมื่อมนุยย์ใช้งานโทรศัพท์มือถือ ณ ตำแหน่งใด ๆ นั้น ได้ทำการพิจารณาลักษณะของระบบไฟฟ้า 3 เฟสสมดุลออกเป็น 3 กรณี คือ

เมื่อ $V_A = 69\angle 0^\circ$ kV $V_B = 69\angle -120^\circ$ kV $V_C = 69\angle 120^\circ$ kV

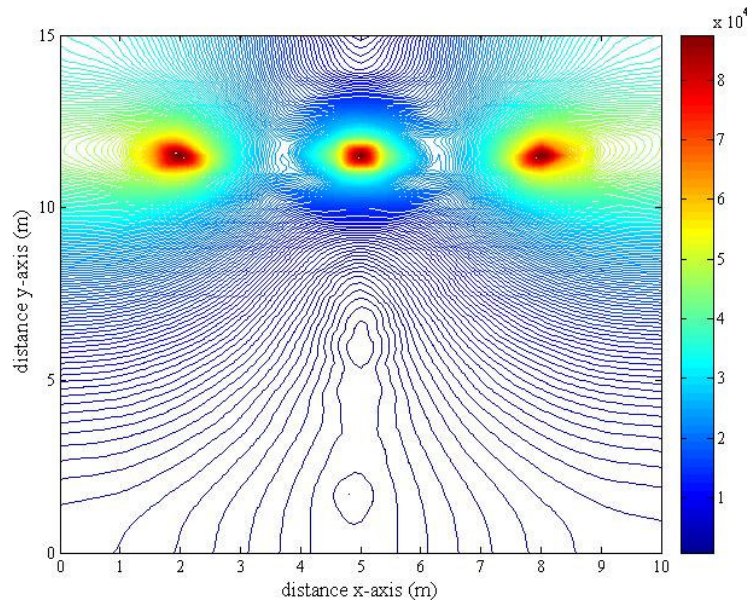
เมื่อ $V_A = 69\angle 120^\circ$ kV $V_B = 69\angle 0^\circ$ kV $V_C = 69\angle -120^\circ$ kV

เมื่อ $V_A = 69\angle -120^\circ$ kV $V_B = 69\angle 120^\circ$ kV $V_C = 69\angle 0^\circ$ kV

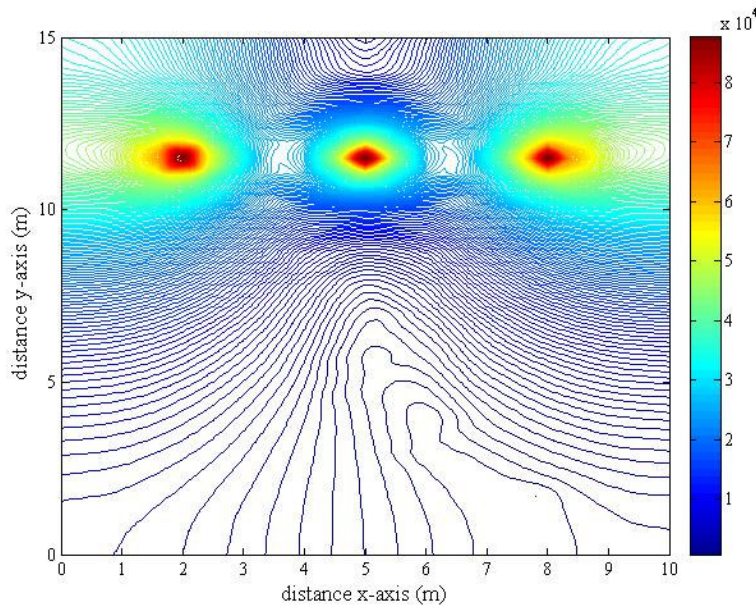
โดยลักษณะการกระจายค่าสนามไฟฟ้าและค่อนทัวร์ค่าสนามไฟฟ้าของระบบสายส่งไฟฟ้า 3 เฟสสมดุลขนาด 69 kV ทั้ง 3 กรณี จะให้ลักษณะที่เหมือนกันในทุกราชนี แม้ว่าจะพิจารณาตำแหน่งที่มนุยย์ใช้งานโทรศัพท์มือถือ ณ ตำแหน่งใดก็ตาม โดยได้แสดงผลลัพธ์ในกรณีที่มนุยย์ใช้งานโทรศัพท์มือถือ ณ ตำแหน่ง $x = 2$ m, 5 m และ 8 m ตามลำดับ พร้อมทั้งแสดงการเปรียบเทียบค่าสนามไฟฟ้าบริเวณศีรษะมนุยย์จากการใช้งานโทรศัพท์มือถือ ณ ตำแหน่งดังกล่าว ซึ่ง IRPA คือ ค่ามาตรฐานของสนามไฟฟ้าสูงสุด ที่มนุยย์สามารถสัมผัสได้อย่างปลอดภัย ไม่เกิน 5 kV/m



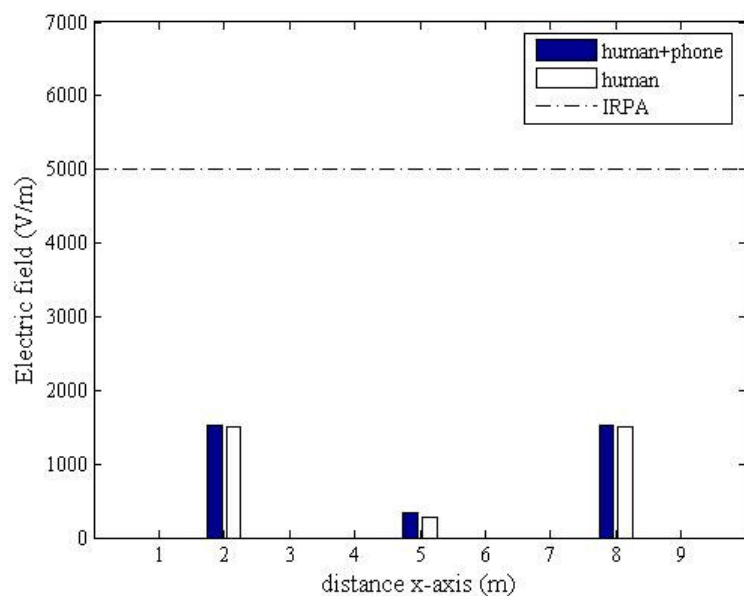
รูปที่ 6.57 การกระจายค่าสนามไฟฟ้า (V/m) ของระบบสายส่งไฟฟ้า 3 เพลสสมดุลขนาด 69 kV
ณ ตำแหน่ง $x = 2$ m



รูปที่ 6.58 การกระจายค่าสนามไฟฟ้า (V/m) ของระบบสายส่งไฟฟ้า 3 เพลสสมดุลขนาด 69 kV
ณ ตำแหน่ง $x = 5$ m



รูปที่ 6.59 การกระจายค่าสนามไฟฟ้า (V/m) ของระบบสายส่งไฟฟ้า 3 เฟสสมดุลขนาด 69 kV
ณ ตำแหน่ง $x = 8 \text{ m}$



รูปที่ 6.60 เปรียบเทียบค่าสนามไฟฟ้า (V/m) บริเวณศีรษะมนุษย์จากการใช้งานโทรศัพท์มือถือ
ณ ตำแหน่งต่างๆ ของระบบไฟฟ้า 3 เฟสสมดุลขนาด 69 kV

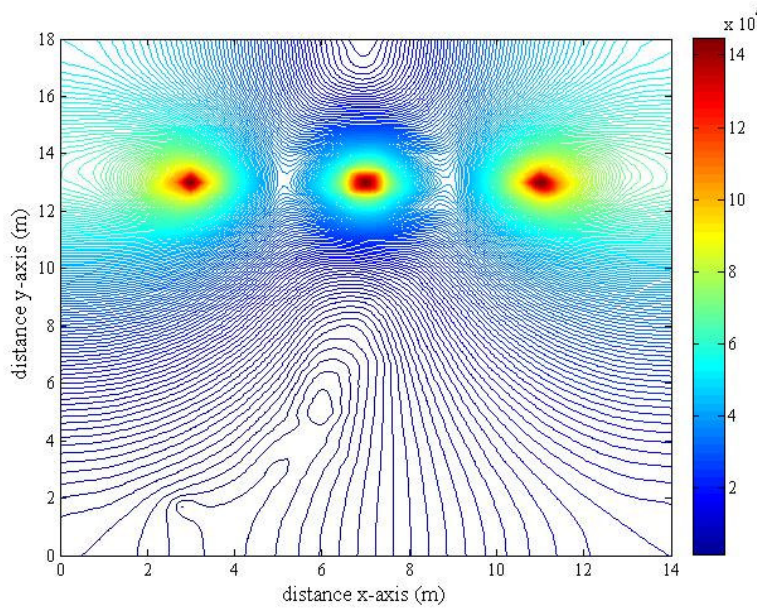
ระบบสายส่งไฟฟ้า 3 เฟสสมดุลขนาด 115 kV เมื่อมนุษย์ใช้งานโทรศัพท์มือถือ ณ ตำแหน่งใด ๆ นั้น ได้ทำการพิจารณาลักษณะของระบบไฟฟ้า 3 เฟสสมดุลออกเป็น 3 กรณี คือ

เมื่อ $V_A = 115\angle 0^\circ$ kV $V_B = 115\angle -120^\circ$ kV $V_C = 115\angle 120^\circ$ kV

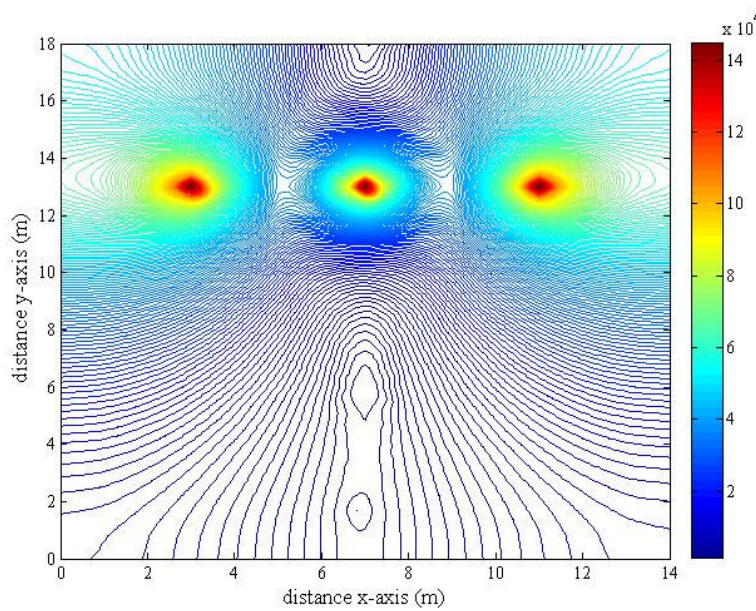
เมื่อ $V_A = 115\angle 120^\circ$ kV $V_B = 115\angle 0^\circ$ kV $V_C = 115\angle -120^\circ$ kV

เมื่อ $V_A = 115\angle -120^\circ$ kV $V_B = 115\angle 120^\circ$ kV $V_C = 115\angle 0^\circ$ kV

โดยลักษณะการกระจายค่าสนามไฟฟ้าและค่อนทัวร์ค่าสนามไฟฟ้าของระบบสายส่งไฟฟ้า 3 เฟสขนาด 115 kV ทั้ง 3 กรณี จะให้ลักษณะที่เหมือนกันในทุกรัฐ แม้ว่าจะพิจารณาตำแหน่งที่มนุษย์ใช้งานโทรศัพท์มือถือ ณ ตำแหน่งใดก็ตาม โดยได้แสดงผลลัพธ์ในกรณีที่มนุษย์ใช้งานโทรศัพท์มือถือ ณ ตำแหน่ง $x = 3$ m, 7 m และ 11 m ตามลำดับ พร้อมทั้งแสดงการเปรียบเทียบค่าสนามไฟฟ้านิเวศศีรษะมนุษย์จากการใช้งานโทรศัพท์มือถือ ณ ตำแหน่งดังกล่าว

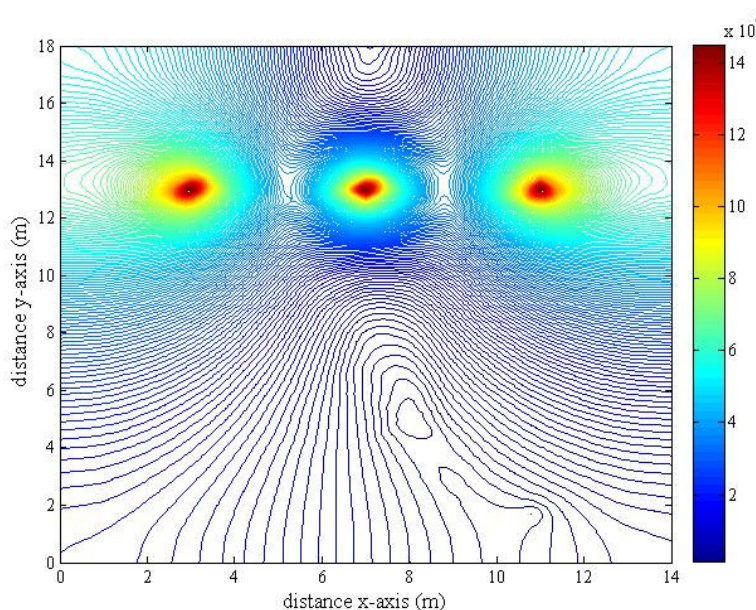


รูปที่ 6.61 การกระจายค่าสนามไฟฟ้า (V/m) ของระบบสายส่งไฟฟ้า 3 เฟสสมดุลขนาด 115 kV ณ ตำแหน่ง $x = 3$ m



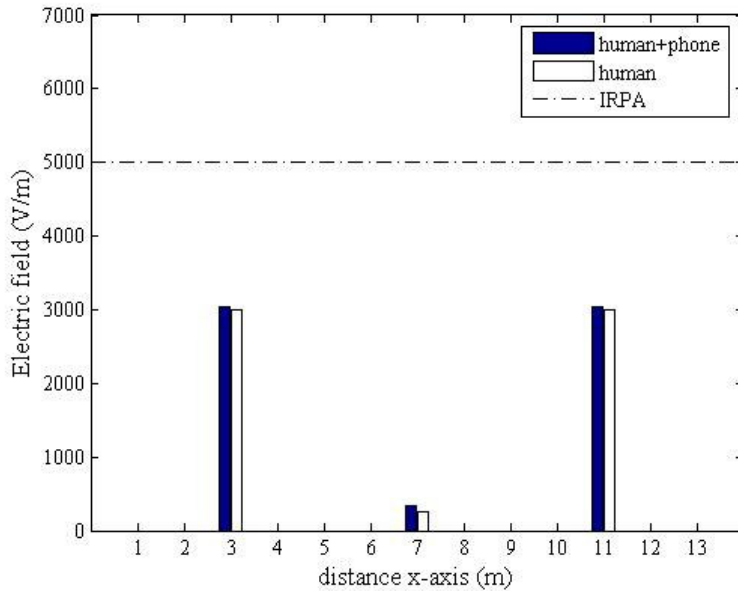
รูปที่ 6.62 การกระจายค่าสนามไฟฟ้า (V/m) ของระบบสายส่งไฟฟ้า 3 เฟสสมดุลขนาด 115 kV

ณ ตำแหน่ง $x = 7 \text{ m}$



รูปที่ 6.63 การกระจายค่าสนามไฟฟ้า (V/m) ของระบบสายส่งไฟฟ้า 3 เฟสสมดุลขนาด 115 kV

ณ ตำแหน่ง $x = 11 \text{ m}$



รูปที่ 6.64 เปรียบเทียบค่าสนามไฟฟ้า (V/m) บริเวณศีรษะมนุษย์จากการใช้งานโทรศัพท์มือถือ ณ ตำแหน่งต่าง ๆ ของระบบไฟฟ้า 3 เพลสสมดุลขนาด 115 kV

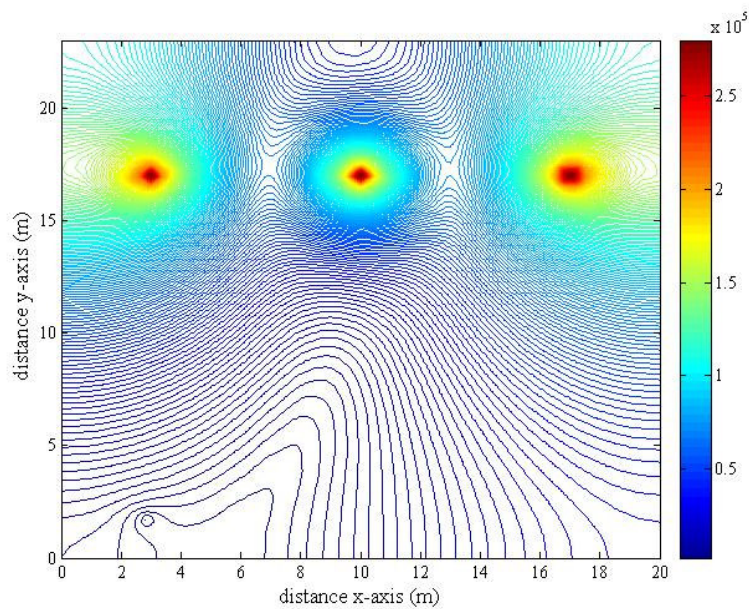
ระบบสายส่งไฟฟ้า 3 เพลสขนาด 230 kV เมื่อมนุษย์ใช้งานโทรศัพท์มือถือ ณ ตำแหน่งใด ๆ นั้น ได้ทำการพิจารณาลักษณะของระบบไฟฟ้า 3 เพลสสมดุลออกเป็น 3 กรณี คือ

เมื่อ $V_A = 230\angle 0^\circ \text{ kV}$ $V_B = 230\angle -120^\circ \text{ kV}$ $V_C = 230\angle 120^\circ \text{ kV}$

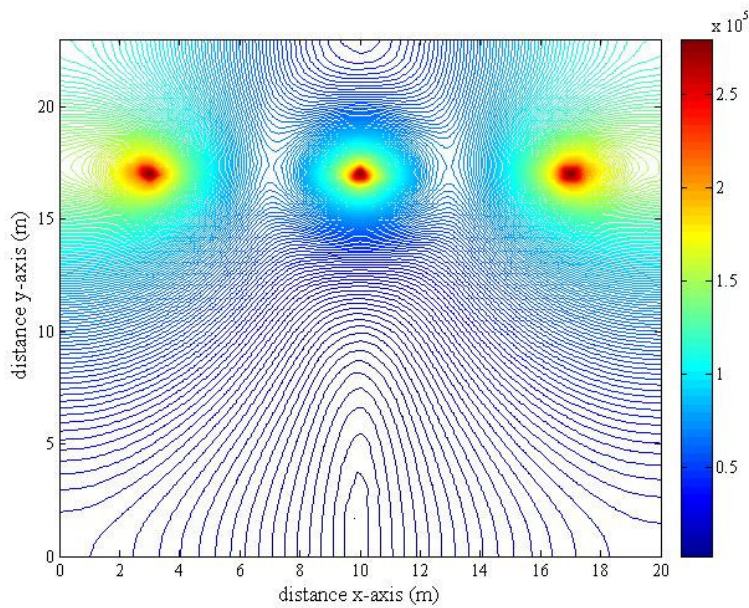
เมื่อ $V_A = 230\angle 120^\circ \text{ kV}$ $V_B = 230\angle 0^\circ \text{ kV}$ $V_C = 230\angle -120^\circ \text{ kV}$

เมื่อ $V_A = 230\angle -120^\circ \text{ kV}$ $V_B = 230\angle 120^\circ \text{ kV}$ $V_C = 230\angle 0^\circ \text{ kV}$

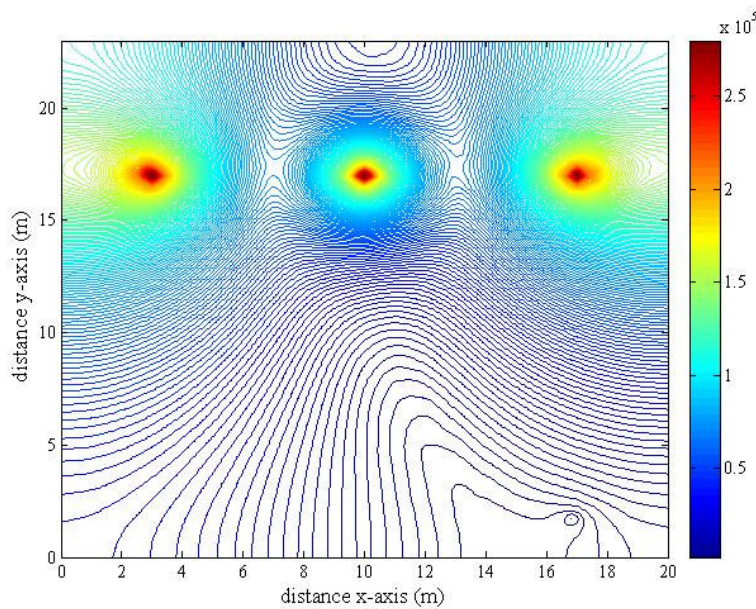
โดยลักษณะการกระจายค่าสนามไฟฟ้าและถอนหัวร์ค่าสนามไฟฟ้าของระบบสายส่งไฟฟ้า 3 เพลสขนาด 230 kV ทั้ง 3 กรณี จะให้ลักษณะที่เหมือนกันในทุกรัฐ แม้ว่าจะพิจารณา ตำแหน่งที่มนุษย์ใช้งานโทรศัพท์มือถือ ณ ตำแหน่งใดก็ตาม โดยได้แสดงผลลัพธ์ในกรณีที่มนุษย์ใช้งานโทรศัพท์มือถือ ณ ตำแหน่ง $x = 3 \text{ m}$, 10 m และ 17 m ตามลำดับ พร้อมทั้งแสดงการเปรียบเทียบค่าสนามไฟฟ้าบริเวณศีรษะมนุษย์จากการใช้งานโทรศัพท์มือถือ ณ ตำแหน่งตั้งกล่าว



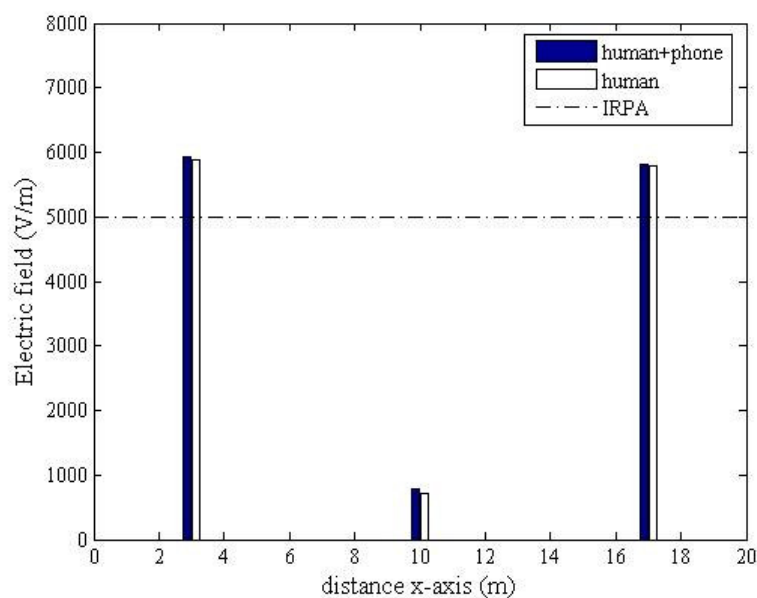
รูปที่ 6.65 การกระจายค่าสนามไฟฟ้า (V/m) ของระบบสายส่งไฟฟ้า 3 เฟสสมดุลขนาด 230 kV
ณ ตำแหน่ง $x = 3 \text{ m}$



รูปที่ 6.66 การกระจายค่าสนามไฟฟ้า (V/m) ของระบบสายส่งไฟฟ้า 3 เฟสสมดุลขนาด 230 kV
ณ ตำแหน่ง $x = 10 \text{ m}$



รูปที่ 6.67 การกระจายค่าสนามไฟฟ้า (V/m) ของระบบสายส่งไฟฟ้า 3 เฟสสมดุลขนาด 230 kV
ณ ตำแหน่ง $x = 17$ m



รูปที่ 6.68 เปรียบเทียบค่าสนามไฟฟ้า (V/m) บริเวณศีรษะมนุษย์จากการใช้งานโทรศัพท์มือถือ
ณ ตำแหน่งต่างๆ ของระบบไฟฟ้า 3 เฟสสมดุลขนาด 230 kV

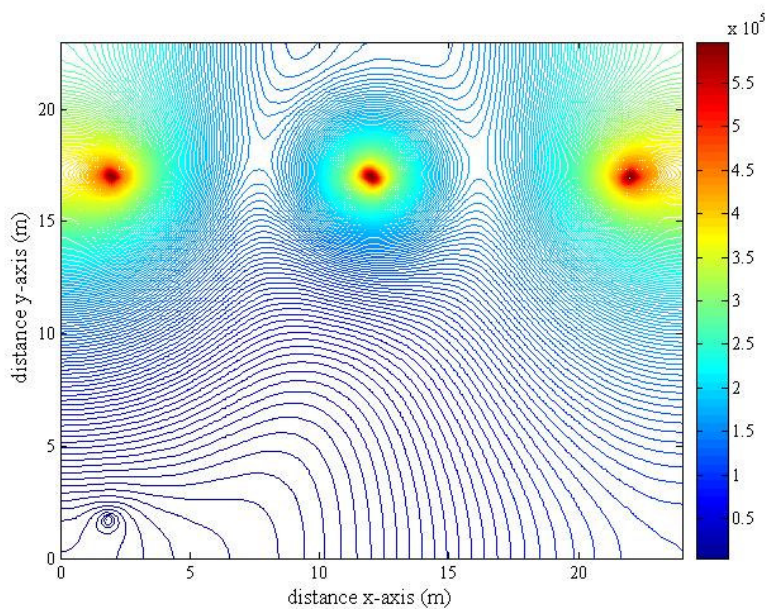
ระบบสายส่งไฟฟ้า 3 เฟสบนด้วย 500 kV เมื่อมนุษย์ใช้งานโทรศัพท์มือถือ ณ ตำแหน่งใด ๆ นั้น ได้ทำการพิจารณาลักษณะของระบบไฟฟ้า 3 เฟสสมดุลออกเป็น 3 กรณี คือ

$$\text{เมื่อ } V_A = 500\angle 0^\circ \text{ kV } V_B = 500\angle -120^\circ \text{ kV } V_C = 500\angle 120^\circ \text{ kV}$$

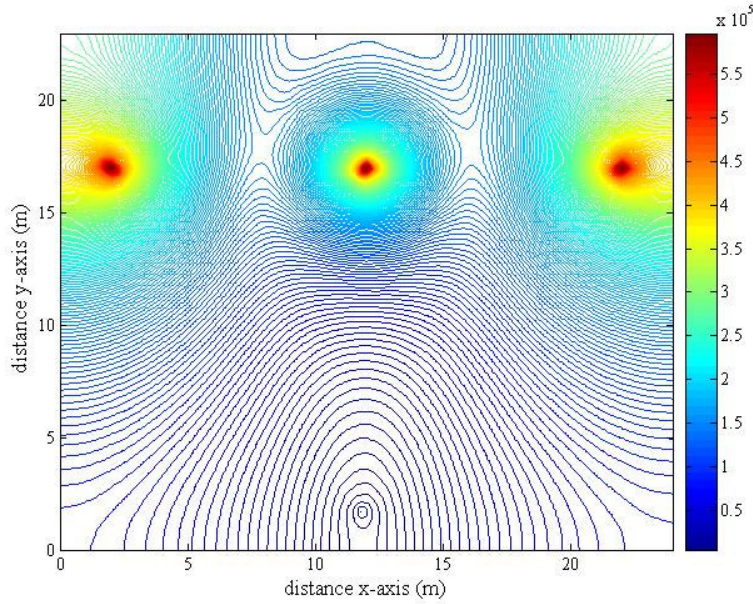
$$\text{เมื่อ } V_A = 500\angle 120^\circ \text{ kV } V_B = 500\angle 0^\circ \text{ kV } V_C = 500\angle -120^\circ \text{ kV}$$

$$\text{เมื่อ } V_A = 500\angle -120^\circ \text{ kV } V_B = 500\angle 120^\circ \text{ kV } V_C = 500\angle 0^\circ \text{ kV}$$

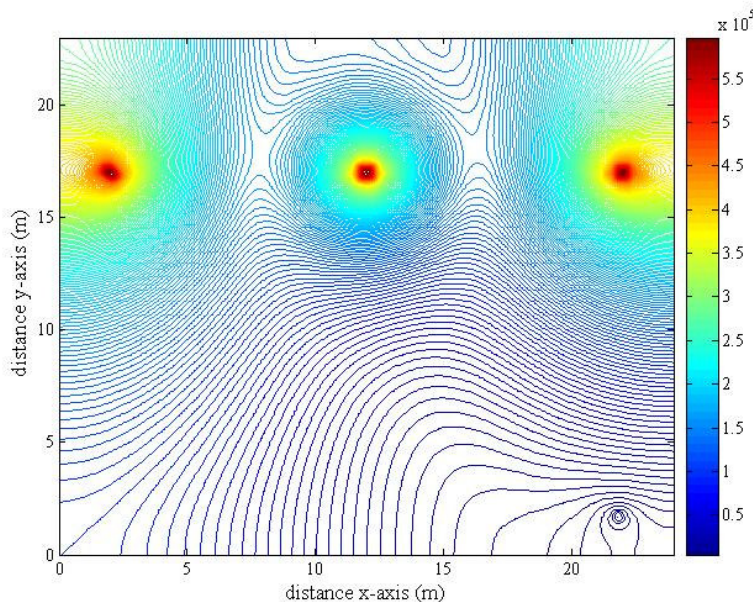
โดยลักษณะการกระจายค่าสนามไฟฟ้าและค่อนหัวร์ค่าสนามไฟฟ้าของระบบสายส่งไฟฟ้า 3 เฟสบนด้วย 500 kV ทั้ง 3 กรณี จะให้ลักษณะที่เหมือนกันในทุกรูป แม้ว่าจะพิจารณาตำแหน่งที่มนุษย์ใช้งานโทรศัพท์มือถือ ณ ตำแหน่งใดก็ตาม โดยได้แสดงผลลัพธ์ในกรณีที่มนุษย์ใช้งานโทรศัพท์มือถือ ณ ตำแหน่ง $x = 2 \text{ m}, 12 \text{ m}$ และ 22 m ตามลำดับ พร้อมทั้งแสดงการเปรียบเทียบค่าสนามไฟฟ้านริเวณศีรษะมนุษย์จากการใช้งานโทรศัพท์มือถือ ณ ตำแหน่งดังกล่าว



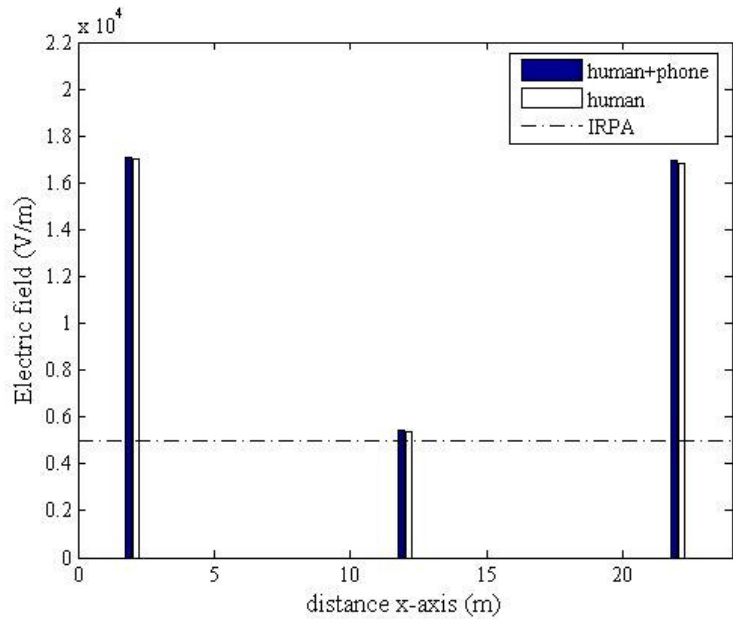
รูปที่ 6.69 การกระจายค่าสนามไฟฟ้า (V/m) ของระบบสายส่งไฟฟ้า 3 เฟสสมดุลขนาด 500 kV ณ ตำแหน่ง $x = 2 \text{ m}$



รูปที่ 6.70 การกระจายค่าสนามไฟฟ้า (V/m) ของระบบสายส่งไฟฟ้า 3 เฟสสมดุลขนาด 500 kV
ณ ตำแหน่ง $x = 10$ m



รูปที่ 6.71 การกระจายค่าสนามไฟฟ้า (V/m) ของระบบสายส่งไฟฟ้า 3 เฟสสมดุลขนาด 500 kV
ณ ตำแหน่ง $x = 22$ m



รูปที่ 6.72 เปรียบเทียบค่าสนามไฟฟ้า (V/m) บริเวณศีรษะมนุษย์จากการใช้งานโทรศัพท์มือถือ ณ ตำแหน่งต่างๆ ของระบบไฟฟ้า 3 เฟสสามคูลขนาด 500 kV

6.5.3 ระบบสายส่งไฟฟ้า 3 เฟสไม่สมดุล

สำหรับระบบไฟฟ้า 3 เฟสไม่สมดุลจะเลือกพิจารณาเนพาะขนาด 230 kV เท่านั้น โดยจะแบ่งการจำลองผลออกเป็น 2 กรณี คือ กรณีขนาดไม่สมดุล กับ กรณีมุมไฟฟ้าไม่สมดุล ซึ่งแต่ละกรณีจะแยกการพิจารณาออกเป็น 3 แบบ เพื่อให้เห็นผลกระทบของสนามไฟฟ้าที่เปลี่ยนแปลงไป อันเนื่องมาจากความไม่สมดุลที่เกิดจากขนาดและมุมไฟฟ้าของแรงดันภายในสายส่ง โดยมีรายละเอียดดังต่อไปนี้

กรณีขนาดไม่สมดุล ($\pm 10\%$ ของขนาดไฟฟ้าอ้างอิง) ประกอบด้วยการพิจารณา 3 แบบ คือ

แบบที่ 1 เมื่อ $V_A = 230 \angle 0^\circ$ kV $V_B = 207 \angle -120^\circ$ kV $V_C = 253 \angle 120^\circ$ kV

แบบที่ 2 เมื่อ $V_A = 253 \angle 0^\circ$ kV $V_B = 230 \angle -120^\circ$ kV $V_C = 207 \angle 120^\circ$ kV

แบบที่ 3 เมื่อ $V_A = 207 \angle 0^\circ$ kV $V_B = 253 \angle -120^\circ$ kV $V_C = 230 \angle 120^\circ$ kV

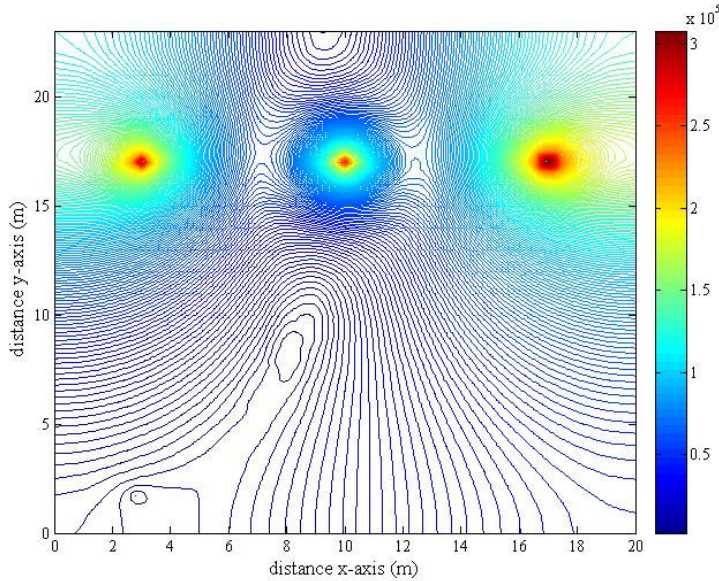
กรณีมุมไฟฟ้าไม่สมดุล ($\pm 30^\circ$ ของมุมไฟฟ้าอ้างอิง) ประกอบด้วยการพิจารณา 3 แบบ คือ

แบบที่ 1 เมื่อ $V_A = 230 \angle 0^\circ$ kV $V_B = 230 \angle -150^\circ$ kV $V_C = 230 \angle 150^\circ$ kV

แบบที่ 2 เมื่อ $V_A = 230 \angle 30^\circ$ kV $V_B = 230 \angle -120^\circ$ kV $V_C = 230 \angle 90^\circ$ kV

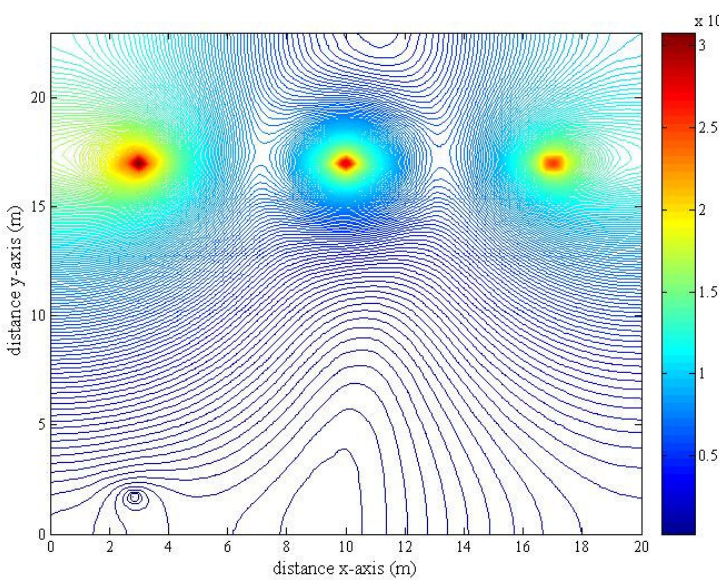
แบบที่ 3 เมื่อ $V_A = 230 \angle -30^\circ$ kV $V_B = 230 \angle -90^\circ$ kV $V_C = 230 \angle 120^\circ$ kV

- กรณีขนาดไม่สมดุล ($\pm 10\%$ ของขนาดเฟสอ้างอิง)



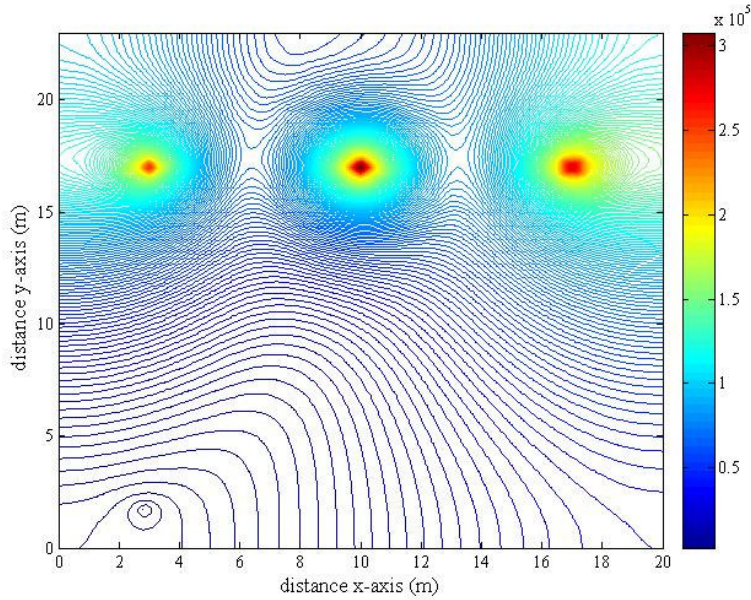
รูปที่ 6.73 การกระจายค่าสนามไฟฟ้า (V/m) ของระบบสายส่งไฟฟ้า 3 เฟสไม่สมดุล เมื่อ

$$V_A = 230 \angle 0^\circ \text{ kV} \quad V_B = 207 \angle -120^\circ \text{ kV} \quad V_C = 253 \angle 120^\circ \text{ kV} \text{ ณ ตำแหน่ง } x = 3 \text{ m}$$



รูปที่ 6.74 การกระจายค่าสนามไฟฟ้า (V/m) ของระบบสายส่งไฟฟ้า 3 เฟสไม่สมดุล เมื่อ

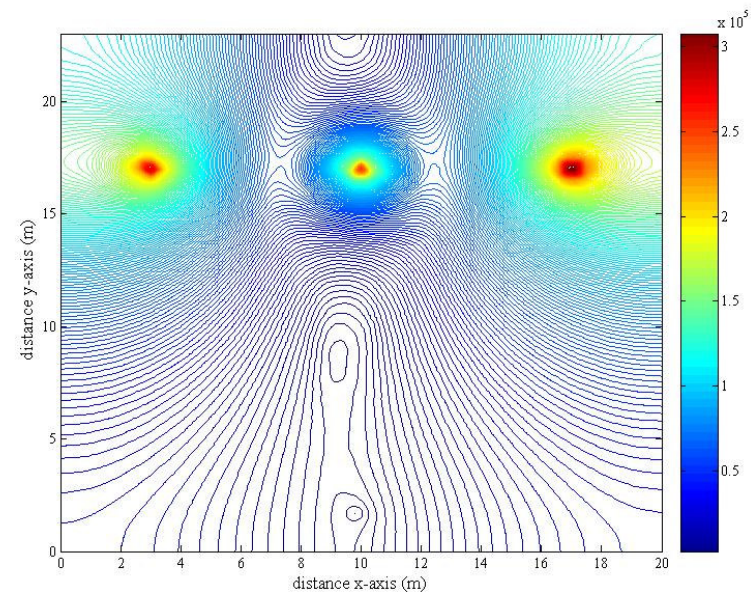
$$V_A = 253 \angle 0^\circ \text{ kV} \quad V_B = 230 \angle -120^\circ \text{ kV} \quad V_C = 207 \angle 120^\circ \text{ kV} \text{ ณ ตำแหน่ง } x = 3 \text{ m}$$



รูปที่ 6.75 การกระจายค่าสนามไฟฟ้า (V/m) ของระบบสายส่งไฟฟ้า 3 เฟส ไม่สมดุล เมื่อ

$$V_A = 207\angle 0^\circ \text{ kV} \quad V_B = 253\angle -120^\circ \text{ kV} \quad V_C = 230\angle 120^\circ \text{ kV}$$

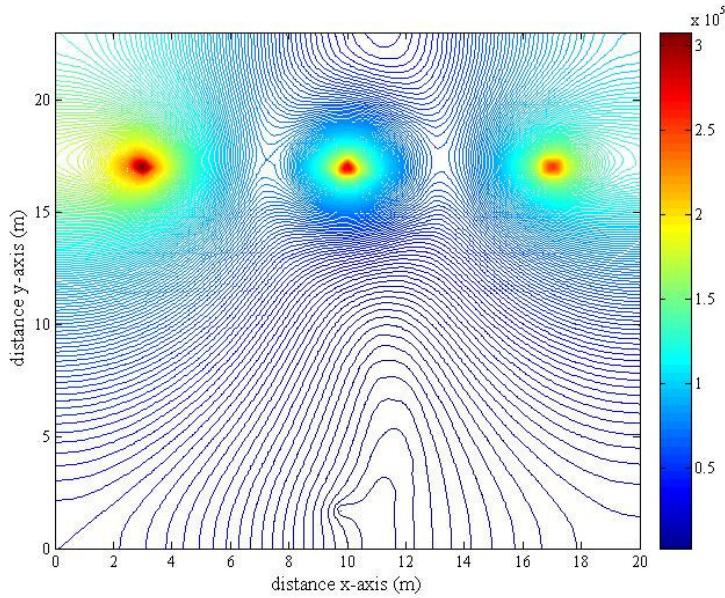
ณ ตำแหน่ง $x = 3 \text{ m}$



รูปที่ 6.76 การกระจายค่าสนามไฟฟ้า (V/m) ของระบบสายส่งไฟฟ้า 3 เฟส ไม่สมดุล เมื่อ

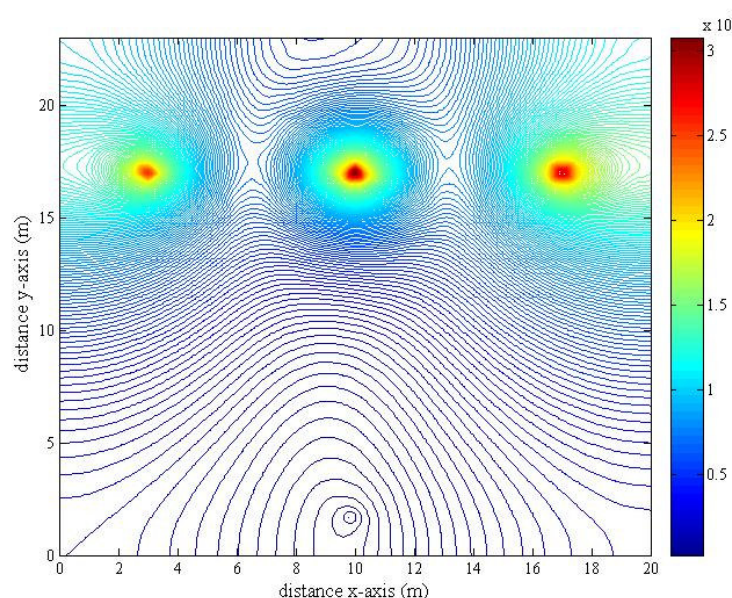
$$V_A = 230\angle 0^\circ \text{ kV} \quad V_B = 207\angle -120^\circ \text{ kV} \quad V_C = 253\angle 120^\circ \text{ kV}$$

ณ ตำแหน่ง $x = 10 \text{ m}$



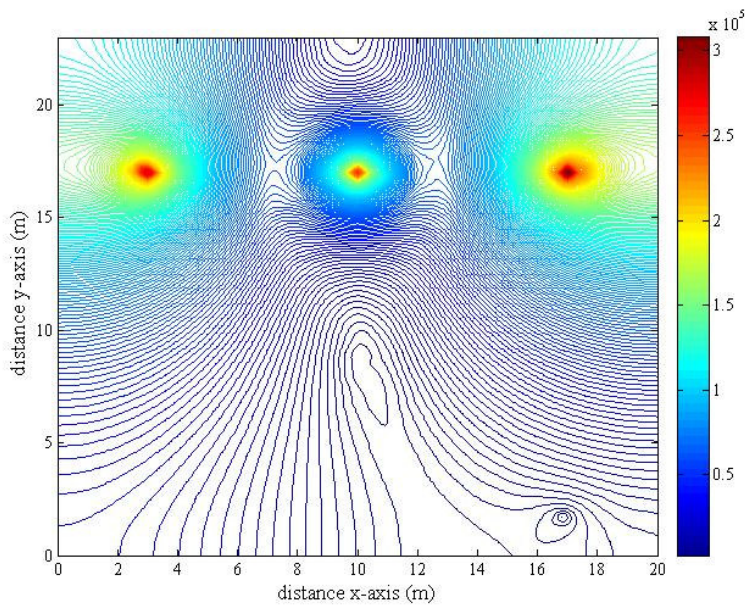
รูปที่ 6.77 การกระจายค่าสนามไฟฟ้า (V/m) ของระบบสายส่งไฟฟ้า 3 เฟส ไม่สมดุล เมื่อ

$$V_A = 253\angle 0^\circ \text{ kV} \quad V_B = 230\angle -120^\circ \text{ kV} \quad V_C = 207\angle 120^\circ \text{ kV} \quad \text{ณ ตำแหน่ง } x=10 \text{ m}$$

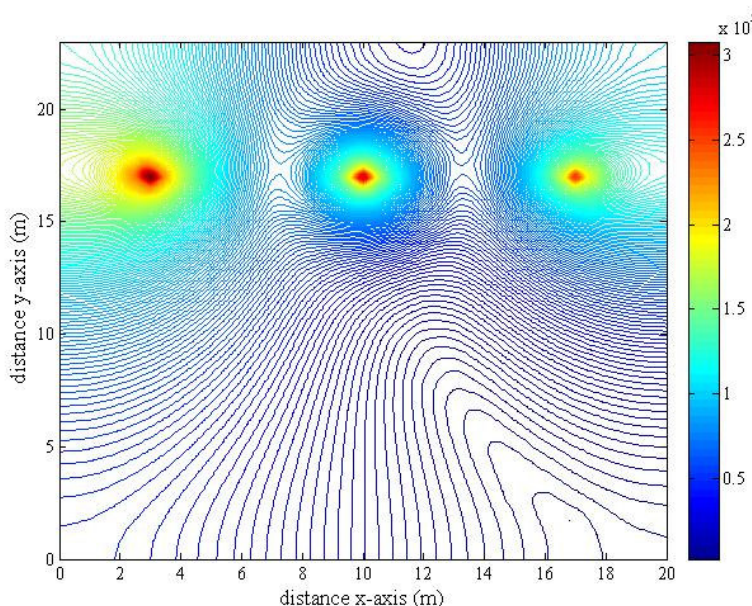


รูปที่ 6.78 การกระจายค่าสนามไฟฟ้า (V/m) ของระบบสายส่งไฟฟ้า 3 เฟส ไม่สมดุล เมื่อ

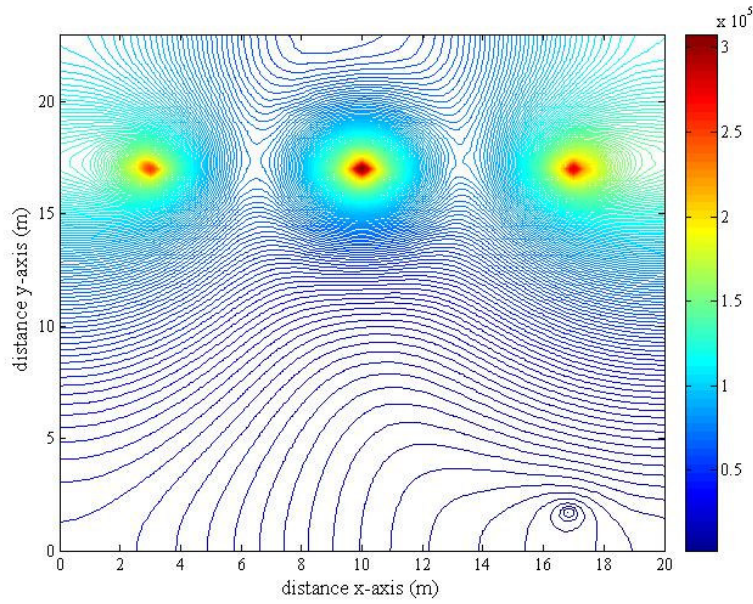
$$V_A = 207\angle 0^\circ \text{ kV} \quad V_B = 253\angle -120^\circ \text{ kV} \quad V_C = 230\angle 120^\circ \text{ kV} \quad \text{ณ ตำแหน่ง } x=10 \text{ m}$$



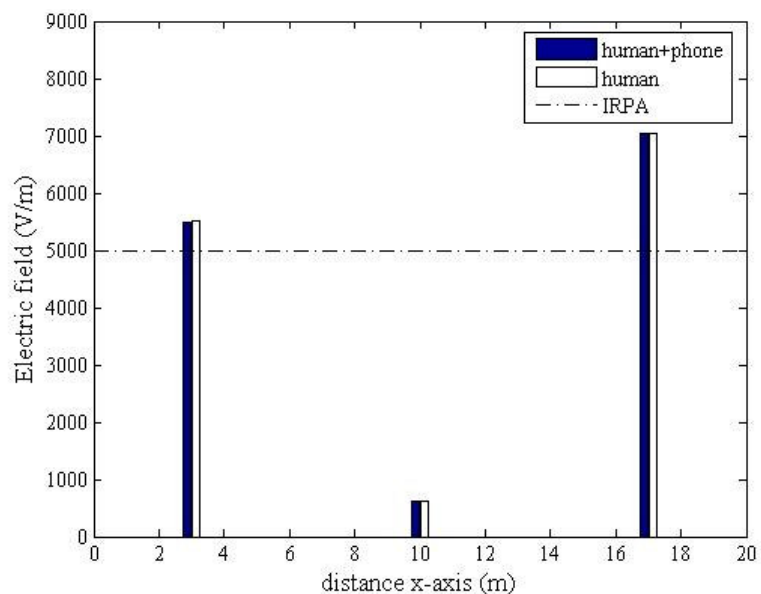
รูปที่ 6.79 การกระจายค่าสนามไฟฟ้า (V/m) ของระบบสายส่งไฟฟ้า 3 เฟส ไม่สมดุล เมื่อ
 $V_A = 230\angle 0^\circ \text{ kV}$ $V_B = 207\angle -120^\circ \text{ kV}$ $V_C = 253\angle 120^\circ \text{ kV}$ ณ ตำแหน่ง $x = 17 \text{ m}$



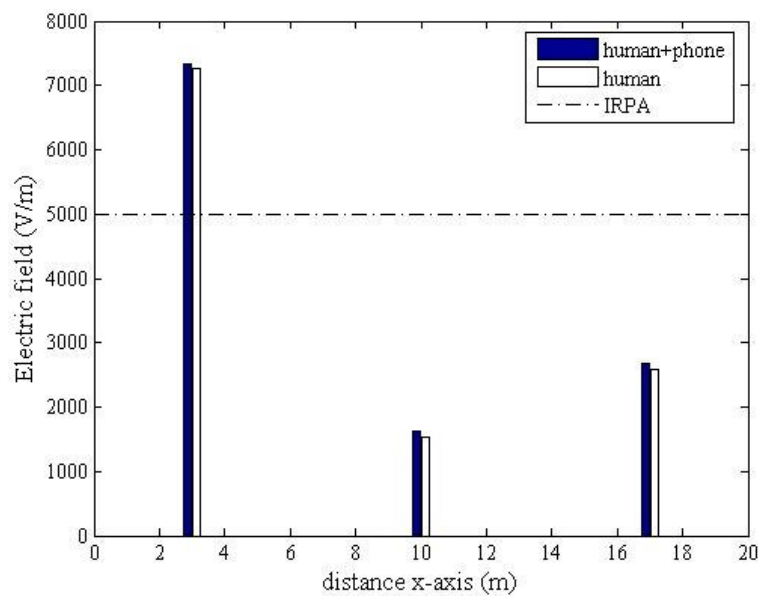
รูปที่ 6.80 การกระจายค่าสนามไฟฟ้า (V/m) ของระบบสายส่งไฟฟ้า 3 เฟส ไม่สมดุล เมื่อ
 $V_A = 253\angle 0^\circ \text{ kV}$ $V_B = 230\angle -120^\circ \text{ kV}$ $V_C = 207\angle 120^\circ \text{ kV}$ ณ ตำแหน่ง $x = 17 \text{ m}$



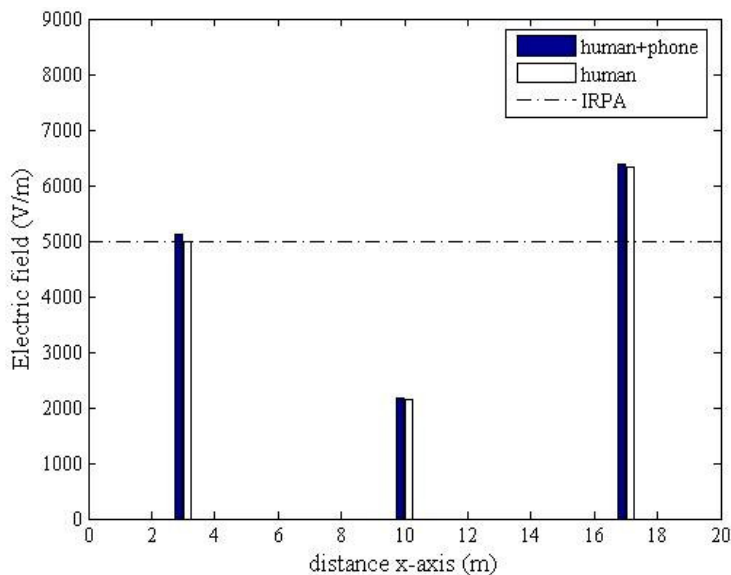
รูปที่ 6.81 การกระจายค่าสนามไฟฟ้า (V/m) ของระบบสายส่งไฟฟ้า 3 เฟส ไม่สมดุล เมื่อ
 $V_A = 207\angle 0^\circ \text{ kV}$ $V_B = 253\angle -120^\circ \text{ kV}$ $V_C = 230\angle 120^\circ \text{ kV}$ ณ ตำแหน่ง $x = 17 \text{ m}$



รูปที่ 6.82 เปรียบเทียบค่าสนามไฟฟ้า (V/m) บริเวณศีรษะมนุษย์จากการใช้งานโทรศัพท์มือถือ
 ณ ตำแหน่งต่างๆ ของระบบไฟฟ้า 3 เฟส ไม่สมดุล (ขนาด) 230 kV แบบที่ 1

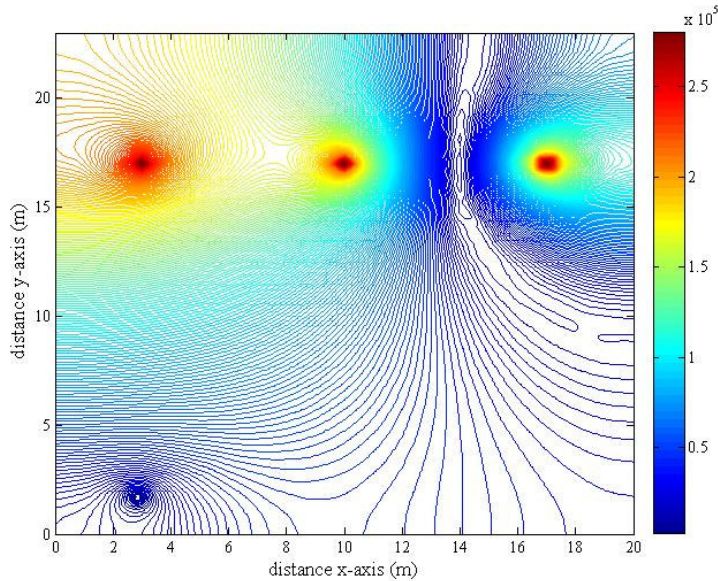


รูปที่ 6.83 เปรียบเทียบค่าสนามไฟฟ้า (V/m) บริเวณศีรษะมนุษย์จากการใช้งานโทรศัพท์มือถือ ณ ตำแหน่งต่าง ๆ ของระบบไฟฟ้า 3 เฟส ไม่สมดุล (ขนาด) 230 kV แบบที่ 2

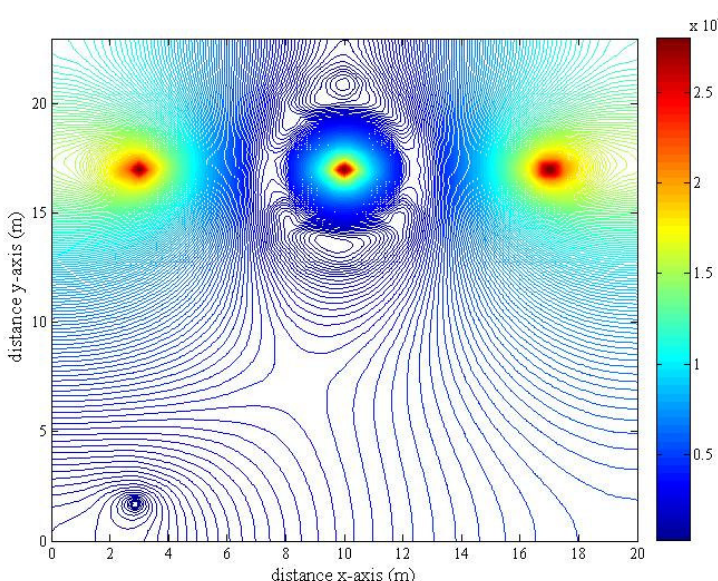


รูปที่ 6.84 เปรียบเทียบค่าสนามไฟฟ้า (V/m) บริเวณศีรษะมนุษย์จากการใช้งานโทรศัพท์มือถือ ณ ตำแหน่งต่าง ๆ ของระบบไฟฟ้า 3 เฟส ไม่สมดุล (ขนาด) 230 kV แบบที่ 3

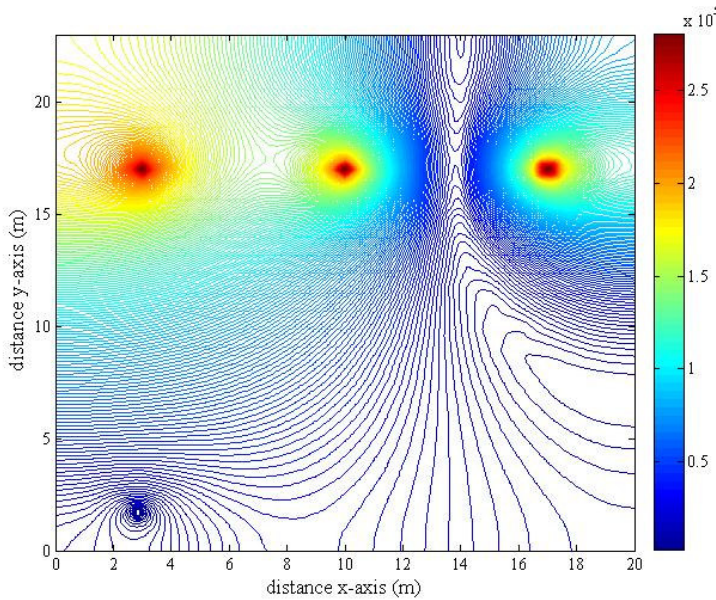
- กรณีมุมไฟฟ้าไม่สมดุล ($\pm 30^\circ$ ของมุมไฟฟ้าอ้างอิง)



รูปที่ 6.85 การกระจายค่าสนามไฟฟ้า (V/m) ของระบบสายสั้นไฟฟ้า 3 เฟสไม่สมดุล เมื่อ
 $V_A = 230\angle 0^\circ$ kV $V_B = 230\angle -150^\circ$ kV $V_C = 230\angle 150^\circ$ kV ณ ตำแหน่ง $x = 3$ m



รูปที่ 6.86 การกระจายค่าสนามไฟฟ้า (V/m) ของระบบสายสั้นไฟฟ้า 3 เฟสไม่สมดุล เมื่อ
 $V_A = 230\angle 30^\circ$ kV $V_B = 230\angle -120^\circ$ kV $V_C = 230\angle 90^\circ$ kV ณ ตำแหน่ง $x = 3$ m

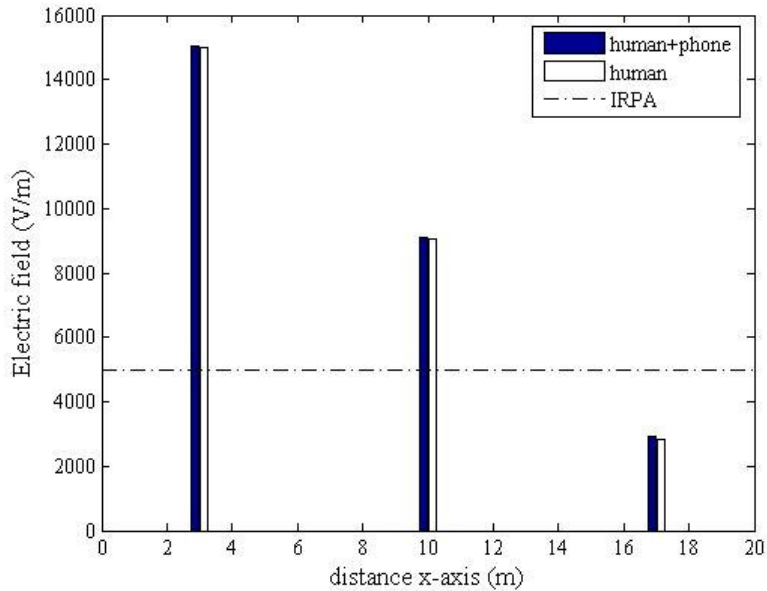


รูปที่ 6.87 การกระจายค่าสนามไฟฟ้า (V/m) ของระบบสายส่งไฟฟ้า 3 เฟสไม่สมดุล เมื่อ

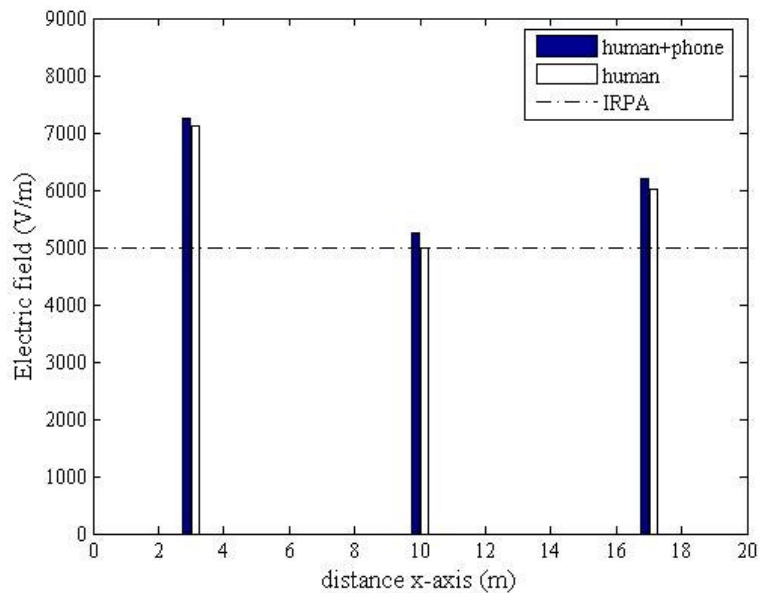
$$V_A = 230\angle -30^\circ \text{ kV} \quad V_B = 230\angle -90^\circ \text{ kV} \quad V_C = 230\angle 120^\circ \text{ kV}$$

ณ ตำแหน่ง $x = 3 \text{ m}$

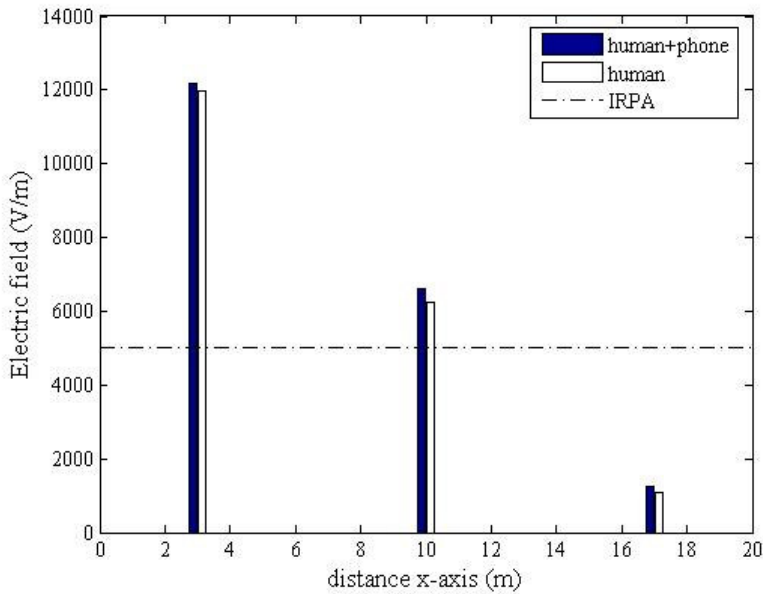
ส่วนการกระจายค่าสนามไฟฟ้าของระบบสายส่งไฟฟ้า 3 เฟสไม่สมดุล เมื่อมนุษย์ใช้งานโทรศัพท์มือถือ ณ ตำแหน่ง $x = 10 \text{ m}$ และ 17 m จะมีลักษณะการกระจายตัวคล้ายกันกับ เมื่อพิจารณา ณ ตำแหน่ง $x = 3 \text{ m}$ ที่ผ่านมาทุกประการ โดยจะมีความแตกต่างกันตรงขนาดเท่านั้น จึงไม่ขอนำเสนอในที่นี้ แต่ได้แสดงเปรียบเทียบค่าสนามไฟฟ้าบริเวณศีรษะมนุษย์จากการใช้งานโทรศัพท์มือถือ ณ ตำแหน่งดังกล่าว ได้ดังรูป



รูปที่ 6.88 เปรียบเทียบค่าสนามไฟฟ้า (V/m) บริเวณศีรษะมนุษย์จากการใช้งานโทรศัพท์มือถือ ณ ตำแหน่งต่าง ๆ ของระบบไฟฟ้า 3 เฟส ไม่สมดุล (เฟส) 230 kV แบบที่ 1



รูปที่ 6.89 เปรียบเทียบค่าสนามไฟฟ้า (V/m) บริเวณศีรษะมนุษย์จากการใช้งานโทรศัพท์มือถือ ณ ตำแหน่งต่าง ๆ ของระบบไฟฟ้า 3 เฟส ไม่สมดุล (เฟส) 230 kV แบบที่ 2



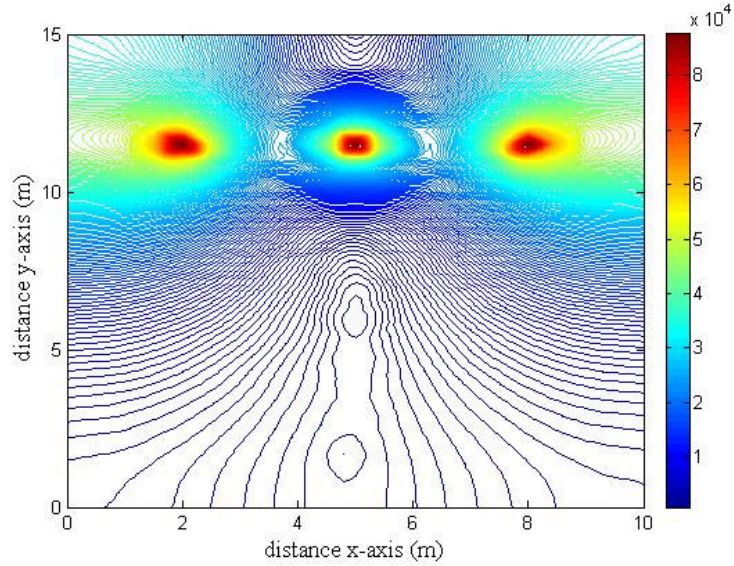
รูปที่ 6.90 เปรียบเทียบค่าสนามไฟฟ้า (V/m) บริเวณศีรษะมนุษย์จากการใช้งานโทรศัพท์มือถือ ณ ตำแหน่งต่าง ๆ ของระบบไฟฟ้า 3 เฟสไม่สมดุล (เฟส) 230 kV แบบที่ 3

เมื่อสังเกตการณ์เปรียบเทียบผลเฉลยค่าสนามไฟฟ้าของระบบเบียบวิธีไฟในที่ดิฟเฟอร์เรนท์ และระบบไฟในท่ออลิเมนท์ จะเห็นว่าภาพลักษณะการกระจายค่าสนามไฟฟ้า และกราฟเส้นคงที่ว่าระบบเบียบวิธีที่ส่องภายในระบบสายส่งไฟฟ้า 1 เฟสและ 3 เฟสขนาดต่าง ๆ มีลักษณะใกล้เคียงกัน และเกือนเหมือนกันทุกภาคการจำลอง ซึ่งสอดคล้องเป็นไปในทำนองเดียวกันตามทฤษฎี

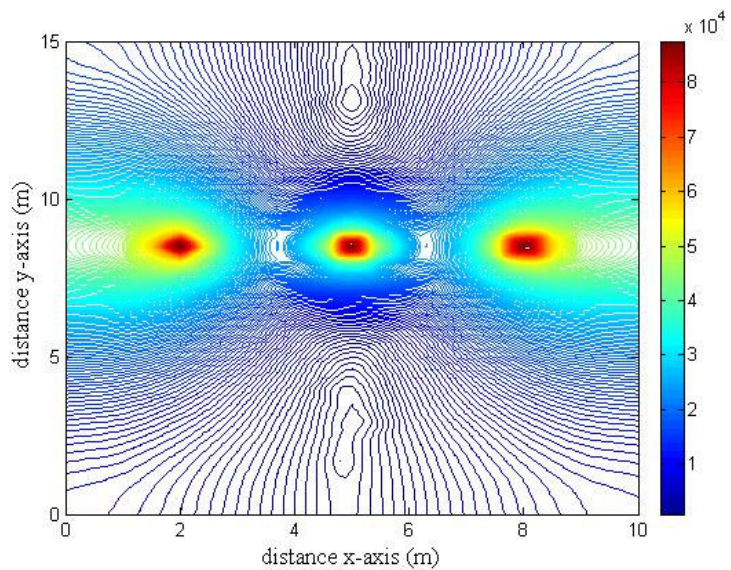
6.6 ผลการจำลองเมื่อพิจารณาสายส่งในสภาวะตอกห้องช้าง

ในแต่ละระบบของสายส่งไฟฟ้าแรงสูงสามารถพิจารณาสภาวะการเปลี่ยนแปลงความสูงของตำแหน่งตัวนำตามลักษณะการหยอดของสายส่งคิดเป็น 3 ระดับ คือ 100% 75% และ 50% ของระดับความสูงตัวนำสายส่ง เนื่องจากผลเฉลยค่าสนามไฟฟ้าของระบบเบียบวิธีไฟในที่ดิฟเฟอร์เรนท์ และระบบไฟในท่ออลิเมนท์มีลักษณะสอดคล้องไปในทำนองเดียวกัน เพื่อให้เนื้อหาวิทยานิพนธ์มีความกระชับ จึงอนุญาตให้ผลเฉลยจากการเปลี่ยนแปลงของแต่ละระบบ เมื่อคำนึงถึงสภาวะตอกห้องช้างจากการใช้งานโทรศัพท์มือถือบริเวณศีรษะมนุษย์ได้ดังนี้

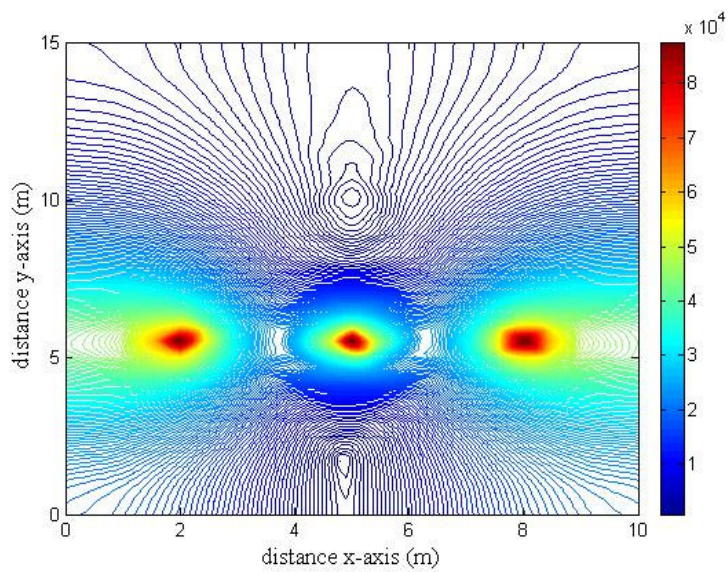
- ระบบไฟฟ้า 3 เฟสสมดุลขนาด 69 kV



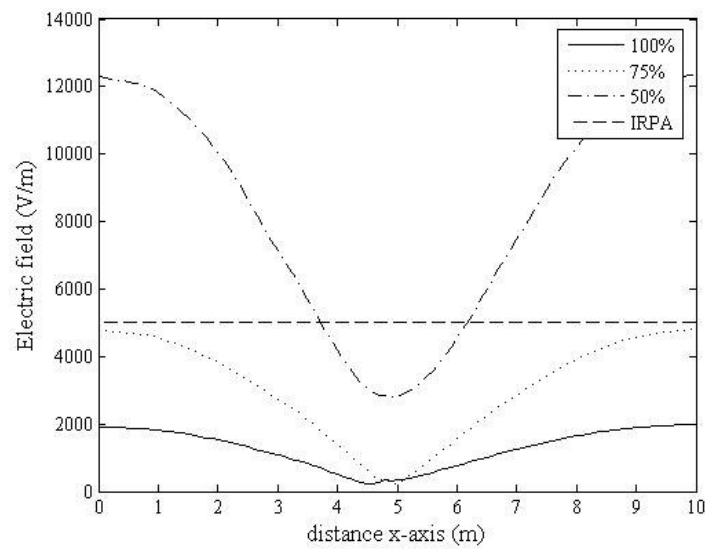
รูปที่ 6.91 การกระจายค่าสนามไฟฟ้า (V/m) ของระบบไฟฟ้า 3 เฟสสมดุลขนาด 69 kV
เมื่อของระดับความสูงของตัวนำที่ 100%



รูปที่ 6.92 การกระจายค่าสนามไฟฟ้า (V/m) ของระบบไฟฟ้า 3 เฟสสมดุลขนาด 69 kV
เมื่อของระดับความสูงของตัวนำที่ 75%

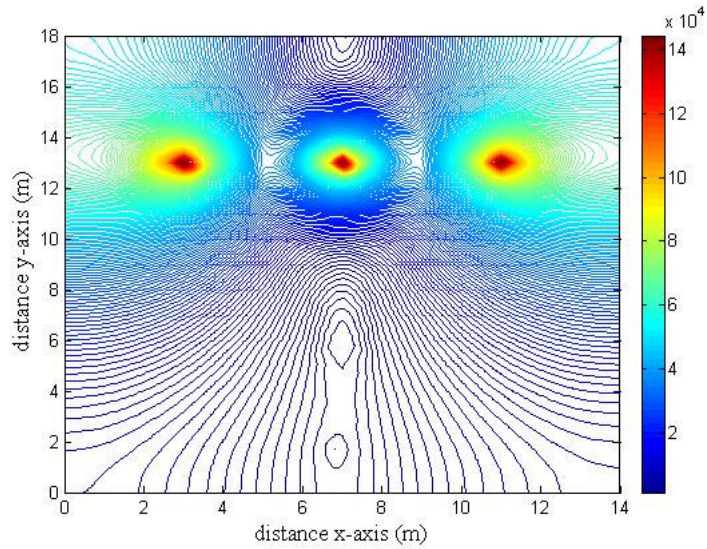


รูปที่ 6.93 การกระจายค่าสนามไฟฟ้า (V/m) ของระบบไฟฟ้า 3 เฟสสมดุลขนาด 69 kV
เมื่อของระดับความสูงของตัวนำที่ 50%

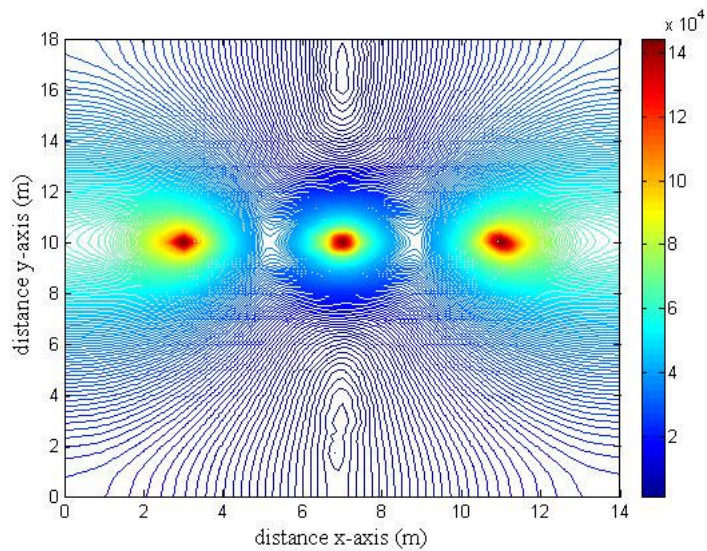


รูปที่ 6.94 เปรียบเทียบค่าสนามไฟฟ้า (V/m) ที่เปลี่ยนแปลงตามระดับความสูงของตัวนำ
ของระบบไฟฟ้า 3 เฟสสมดุลขนาด 69 kV

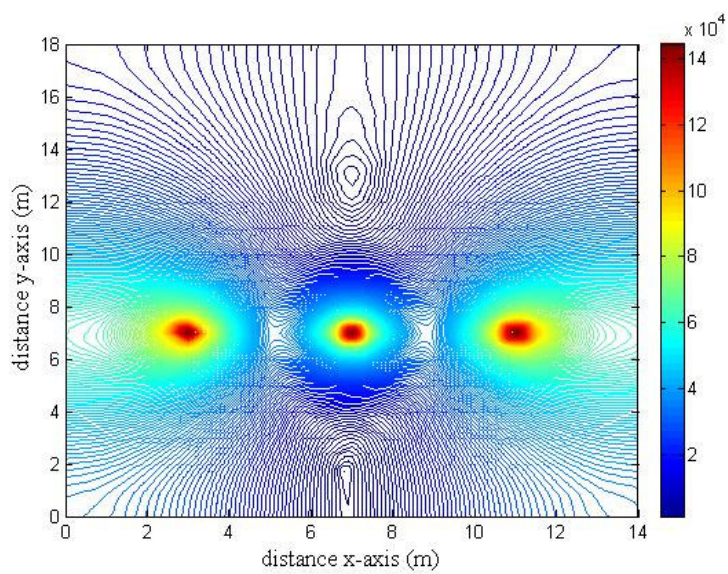
- ระบบไฟฟ้า 3 เฟสสมดุลขนาด 115 kV



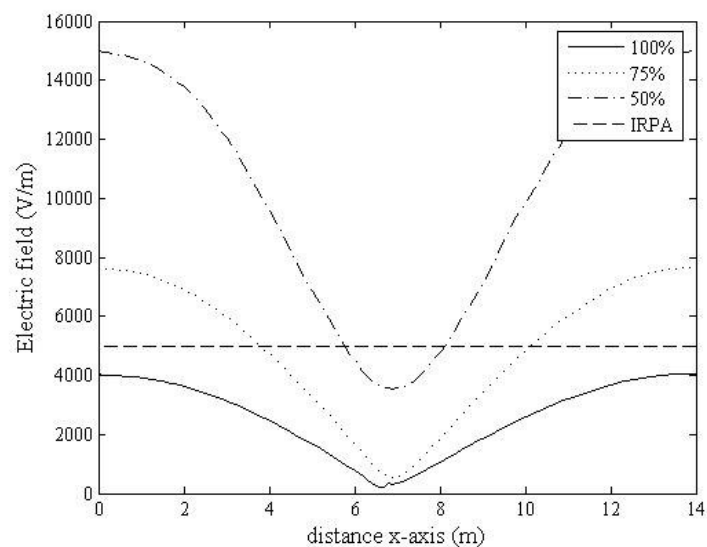
รูปที่ 6.95 การกระจายค่าสนามไฟฟ้า (V/m) ของระบบไฟฟ้า 3 เฟสสมดุลขนาด 115 kV
เมื่อของระดับความสูงของตัวนำที่ 100%



รูปที่ 6.96 การกระจายค่าสนามไฟฟ้า (V/m) ของระบบไฟฟ้า 3 เฟสสมดุลขนาด 115 kV
เมื่อของระดับความสูงของตัวนำที่ 75%

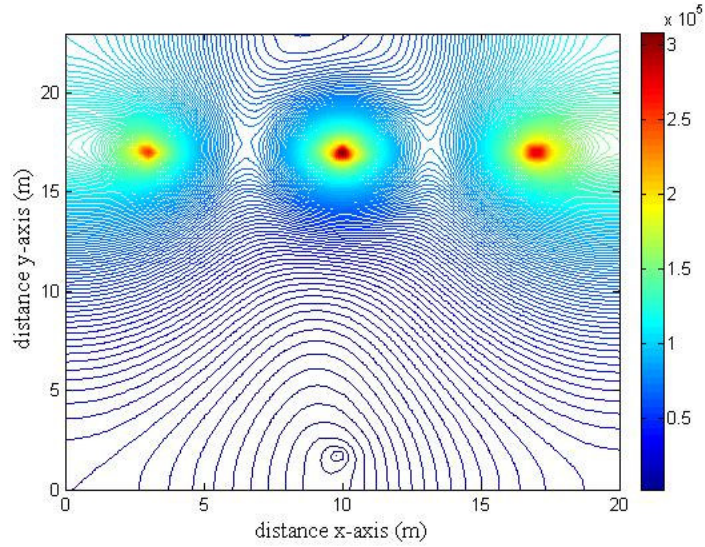


รูปที่ 6.97 การกระจายค่าสนามไฟฟ้า (V/m) ของระบบไฟฟ้า 3 เฟสสมดุลขนาด 115 kV
เมื่อของระดับความสูงของตัวนำที่ 50%

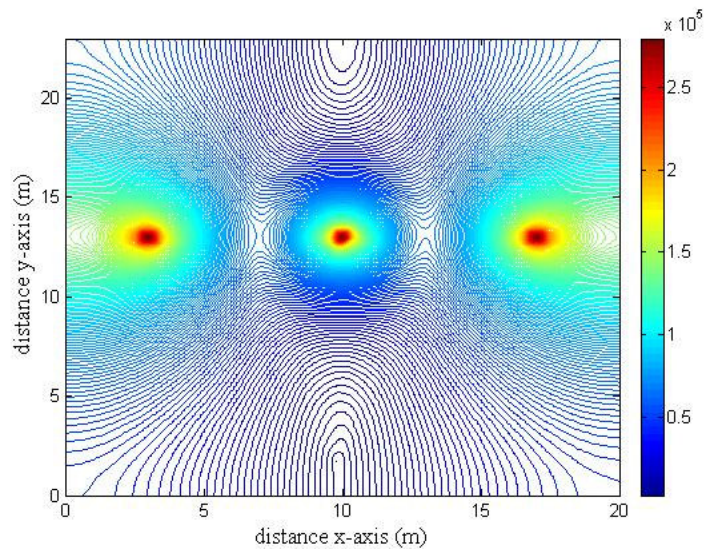


รูปที่ 6.98 เปรียบเทียบค่าสนามไฟฟ้า (V/m) ที่เปลี่ยนแปลงตามระดับความสูงของตัวนำ
ของระบบไฟฟ้า 3 เฟสสมดุลขนาด 115 kV

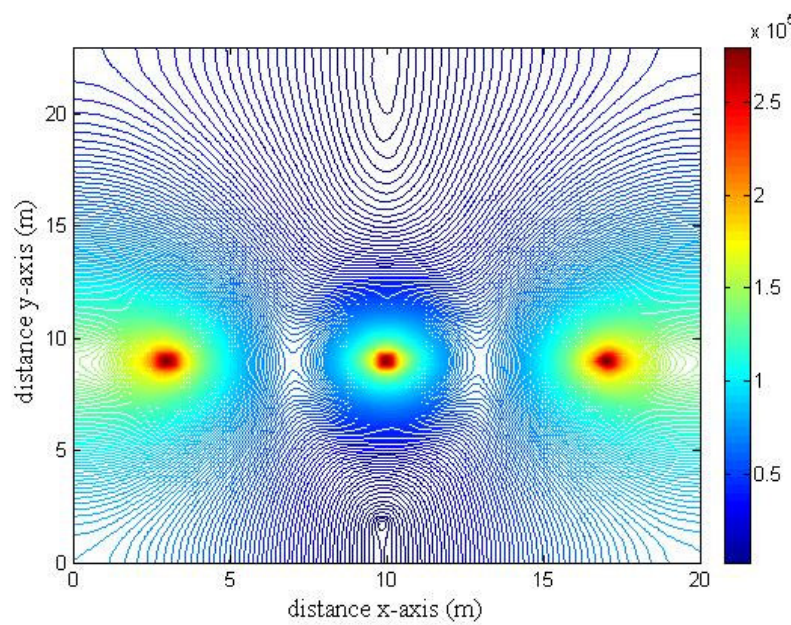
-ระบบไฟฟ้า 3 เฟสบนภาค 230 kV



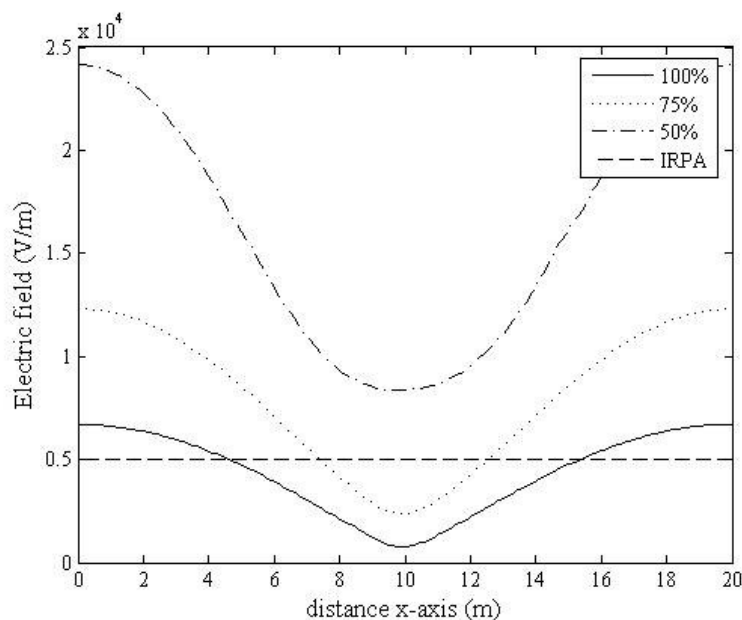
รูปที่ 6.99 การกระจายค่าสนามไฟฟ้า (V/m) ของระบบไฟฟ้า 3 เฟสบนภาค 230 kV
เมื่อของระดับความสูงของตัวนำที่ 100%



รูปที่ 6.100 การกระจายค่าสนามไฟฟ้า (V/m) ของระบบไฟฟ้า 3 เฟสบนภาค 230 kV
เมื่อของระดับความสูงของตัวนำที่ 75%

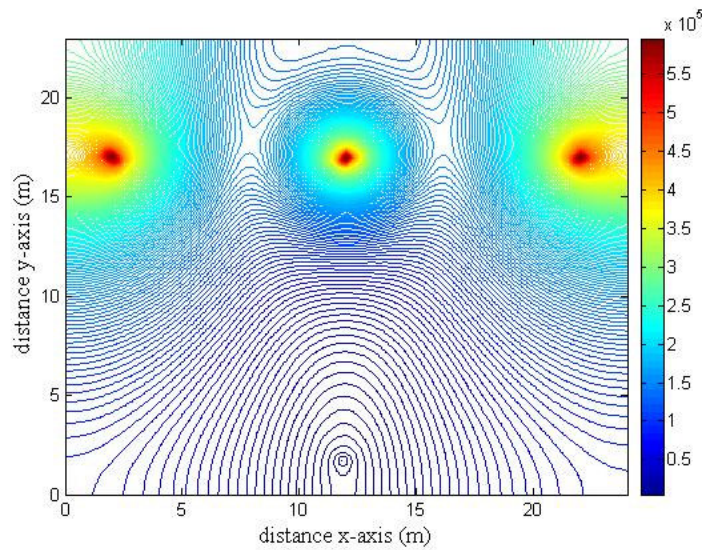


รูปที่ 6.101 การกระจายค่าสนามไฟฟ้า (V/m) ของระบบไฟฟ้า 3 เฟสสมดุลขนาด 230 kV
เมื่อของระดับความสูงของตัวนำที่ 50%

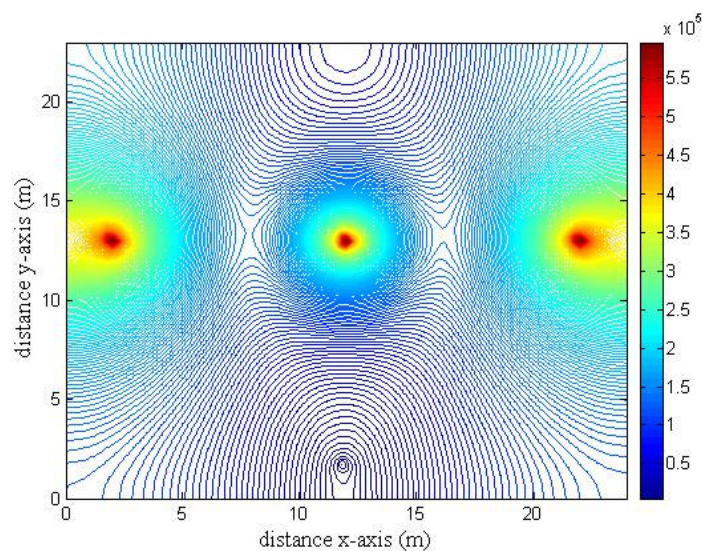


รูปที่ 6.102 เปรียบเทียบค่าสนามไฟฟ้า (V/m) ที่เปลี่ยนแปลงตามระดับความสูงของตัวนำ
ของระบบไฟฟ้า 3 เฟสสมดุล 230 kV

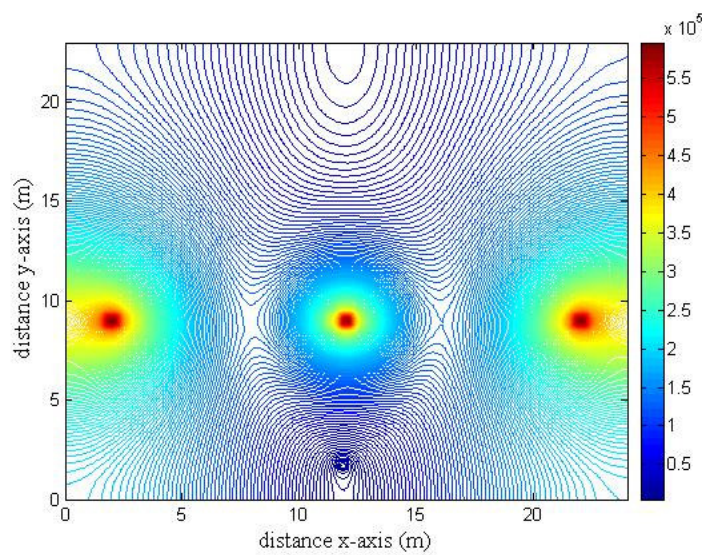
- ระบบไฟฟ้า 3 เฟสบนภาค 500 kV



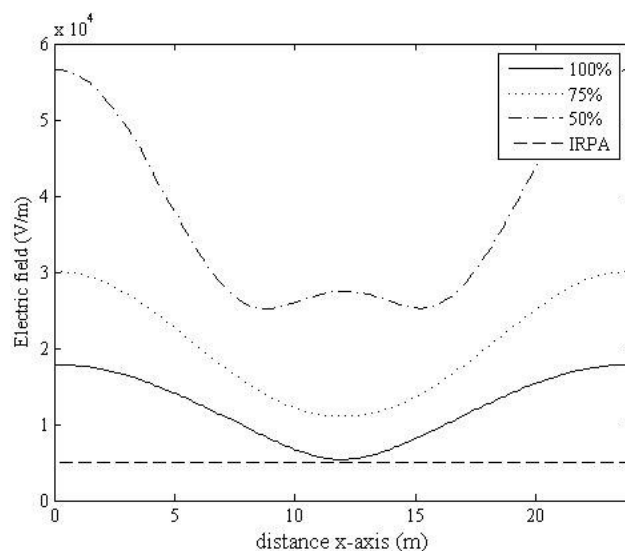
รูปที่ 6.103 การกระจายค่าสนามไฟฟ้า (V/m) ของระบบไฟฟ้า 3 เฟสสมดุลขนาด 500 kV
เมื่อของระดับความสูงของตัวนำที่ 100%



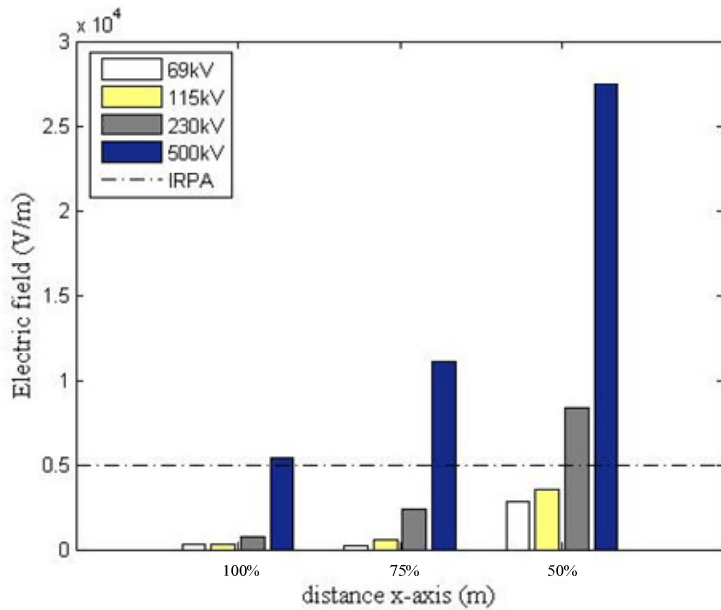
รูปที่ 6.104 การกระจายค่าสนามไฟฟ้า (V/m) ของระบบไฟฟ้า 3 เฟสสมดุลขนาด 500 kV
เมื่อของระดับความสูงของตัวนำที่ 75%



รูปที่ 6.105 การกระจายค่าสนามไฟฟ้า (V/m) ของระบบไฟฟ้า 3 เพสสมดุลขนาด 500 kV
เมื่อของระดับความสูงของตัวนำที่ 50%



รูปที่ 6.106 เปรียบเทียบค่าสนามไฟฟ้า (V/m) ที่เปลี่ยนแปลงตามระดับความสูงของตัวนำ
ของระบบไฟฟ้า 3 เพสสมดุล 500 kV



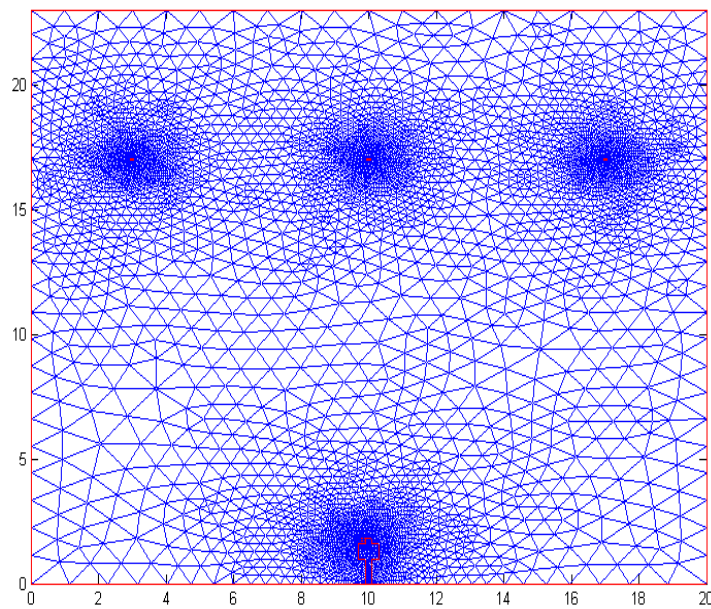
รูปที่ 6.107 เปรียบเทียบค่าสนามไฟฟ้า (V/m) ในแต่ละระบบ
ตามระดับความสูงของตัวนำ

6.7 เปรียบเทียบผลการจำลองแบบ 2 มิติ กับโปรแกรมสำเร็จรูป

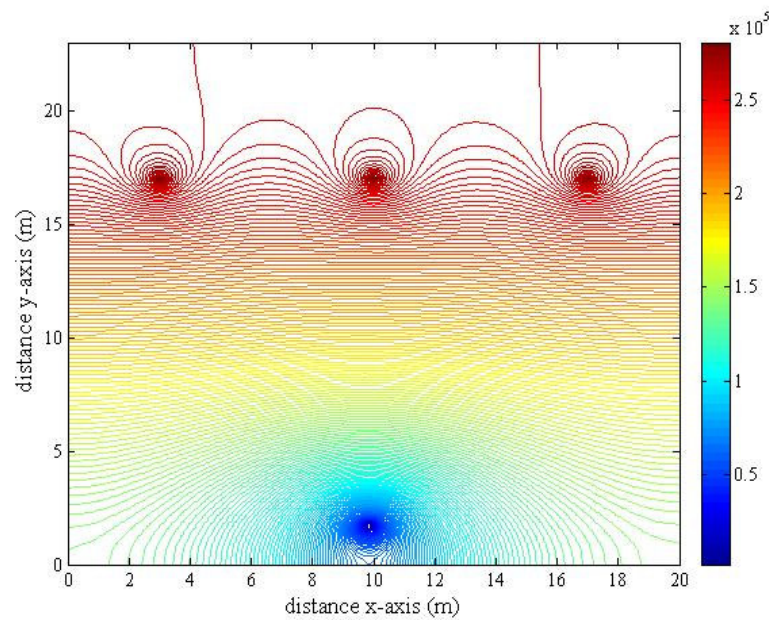
เพื่อขึ้นยั่นความถูกต้องของโปรแกรมที่พัฒนาขึ้นทึ้งสองวิธี คือ ระเบียบวิธีไฟในที่ดิฟเฟอร์เรนท์ และระเบียบวิธีไฟในท่อลิเมนท์ จะทำการเปรียบเทียบผลเฉลยค่าสนามไฟฟ้ากับโปรแกรมสำเร็จรูป PDETOOL โดยจะขอยกตัวอย่างอย่างง่ายเพื่อเปรียบเทียบผลเฉลยค่าสนามไฟฟ้าด้วยระบบสายส่งไฟฟ้า 3 เฟสขนาด 230 kV จากโปรแกรม PDETOOL สามารถกำหนดค่าพารามิเตอร์ต่าง ๆ ของระบบได้ดังนี้ (การเปรียบเทียบผลในครั้งนี้ จะพิจารณาเฉพาะขนาดแรงดันของสายส่ง ส่วนมุมไฟฟ้าไม่นำมาพิจารณา ทั้งนี้เพราะโปรแกรม PDETOOL มีข้อจำกัดในส่วนของจำนวนเชิงช้อน)

ตารางที่ 6.2 กำหนดค่าพารามิเตอร์สำหรับโปรแกรม PDETOOL

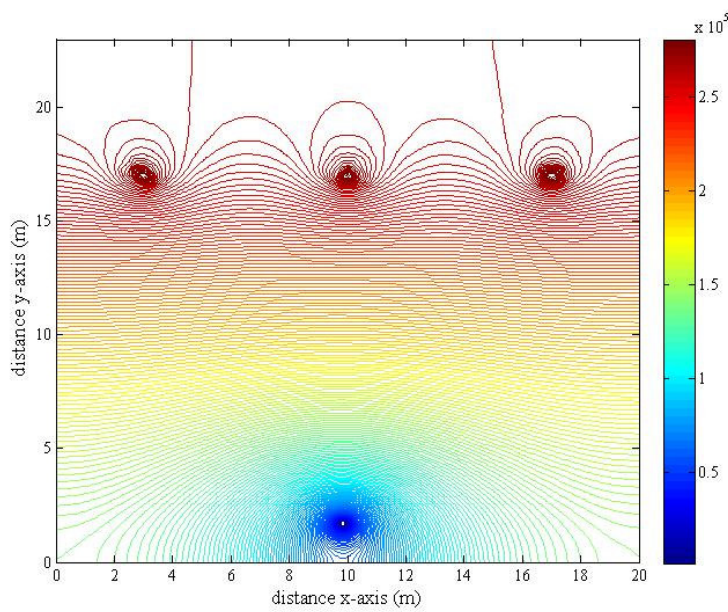
ตัวนำในสายส่ง 230 kV	
พารามิเตอร์	ค่า
ค่าสนามไฟฟ้าในตัวนำที่ 1 (E_1)	2.8203×10^5 V/m
ค่าสนามไฟฟ้าในตัวนำที่ 2 (E_2)	2.8203×10^5 V/m
ค่าสนามไฟฟ้าในตัวนำที่ 3 (E_3)	2.8203×10^5 V/m
ความถี่ (f)	50 Hz
รัศมีตัวนำ (r)	0.01 m
อากาศ	
พารามิเตอร์	ค่า
สภาพชานชีมได้ทางแม่เหล็กในสูญญากาศ (μ_0)	$4\pi \times 10^{-7}$ H/m
สภาพชานชีมได้ทางแม่เหล็กสัมพัทธ์ในอากาศ (μ_r)	1.00000037
สภาพย้อมได้ทางไฟฟ้าในสูญญากาศ (ϵ_0)	8.854×10^{-12} F/m
สภาพย้อมได้ทางไฟฟ้าสัมพัทธ์ในอากาศ (ϵ_r)	1
มนุษย์	
พารามิเตอร์	ค่า
สภาพชานชีมได้ทางแม่เหล็กในสูญญากาศ (μ_0)	$4\pi \times 10^{-7}$ H/m
สภาพชานชีมได้ทางแม่เหล็กสัมพัทธ์ในมนุษย์ (μ_r)	1.00000037
สภาพย้อมได้ทางไฟฟ้าในสูญญากาศ (ϵ_0)	8.854×10^{-12} F/m
สภาพย้อมได้ทางไฟฟ้าสัมพัทธ์ในมนุษย์ (ϵ_r)	5
โทรศัพท์มือถือ	
พารามิเตอร์	ค่า
บริเวณขอบบนซ้ายของตัวเครื่อง (P_1)	45.5 V/m
บริเวณขอบบนขวาของตัวเครื่อง (P_2)	45.5 V/m
บริเวณขอบด้านซ้ายของตัวเครื่อง (P_3)	33.5 V/m
บริเวณขอบด้านขวาของตัวเครื่อง (P_4)	48.2 V/m
บริเวณขอบล่างซ้ายของตัวเครื่อง (P_5)	48.5 V/m
บริเวณขอบล่างขวาของตัวเครื่อง (P_6)	48.5 V/m



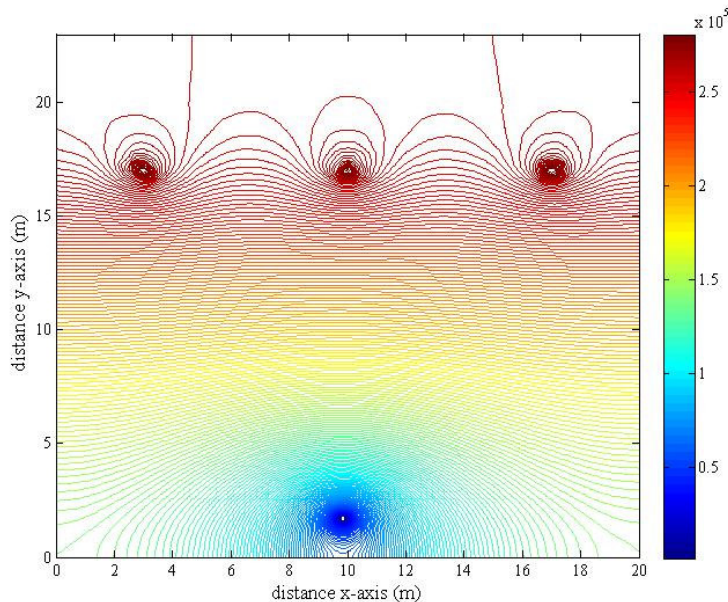
รูปที่ 6.108 การออกแบบกริดด้วย PDETOOL ของระบบสายส่งไฟฟ้าบนภาค 230 kV



รูปที่ 6.109 การกระจายสนามไฟฟ้าที่กระจายรอบสายส่งไฟฟ้า 3 เฟสบนภาค 230 kV
ด้วย PDETOOL



รูปที่ 6.110 การกระจายค่าสนามไฟฟ้าของระบบสายส่งไฟฟ้า 3 เฟสขนาด 230 kV
ด้วยระเบียบวิธีไฟไนท์ดิฟเฟอร์เรนท์



รูปที่ 6.111 การกระจายค่าสนามไฟฟ้าของระบบสายส่งไฟฟ้า 3 เฟสขนาด 230 kV
ด้วยระเบียบวิธีไฟไนท์อิเลิมเม้นท์

หลังการออกแบบกริดของระบบสายส่งไฟฟ้า 230 kV ด้วยโปรแกรม PDETOOL จะสามารถออกแบบได้ดังรูปที่ 6.108 จากนั้นทำการหาค่าผลเฉลยที่ได้จาก PDETOOL และนำค่าผลเฉลยที่ได้มาjad กราฟใหม่ในโปรแกรม MATLABTM โดยรูปที่ 6.109 คือ กราฟการกระจายค่าสนามไฟฟารอบสายส่ง และสามารถแสดงผลเฉลยดังกล่าวด้วยระเบียนวิธีไฟในที่ดินเฟอร์เรนท์ กับระเบียนวิธีไฟในท่ออลิเมนท์ได้ดังรูปที่ 6.110 และรูปที่ 6.111 ตามลำดับ

จะสังเกตเห็นว่าผลเฉลยค่าสนามไฟฟ้าของระบบสายส่งไฟฟ้า 3 เฟสขนาด 230 kV ของโปรแกรม PDETOOL จะมีผลเฉลยใกล้เคียงกับระเบียนวิธีไฟในท่ออลิเมนท์ และระเบียนวิธีไฟในท่ออลิเมนท์ และเพื่อให้เห็นถึงความถูกต้องในการคำนวณมากยิ่งขึ้น จึงทำการเปรียบเทียบ คำตอบระหว่างโอนค่าต่อโอนของแต่ละวิธี โดยอาศัยตำแหน่งพิกัดคำตอบของระเบียนไฟในท่ออลิเมนท์เป็นหลักในการอ้างอิง (847 โอน) ซึ่งสามารถสรุปขั้นตอนการดำเนินการได้ดังนี้

ดำเนินการที่ PDETOOL:

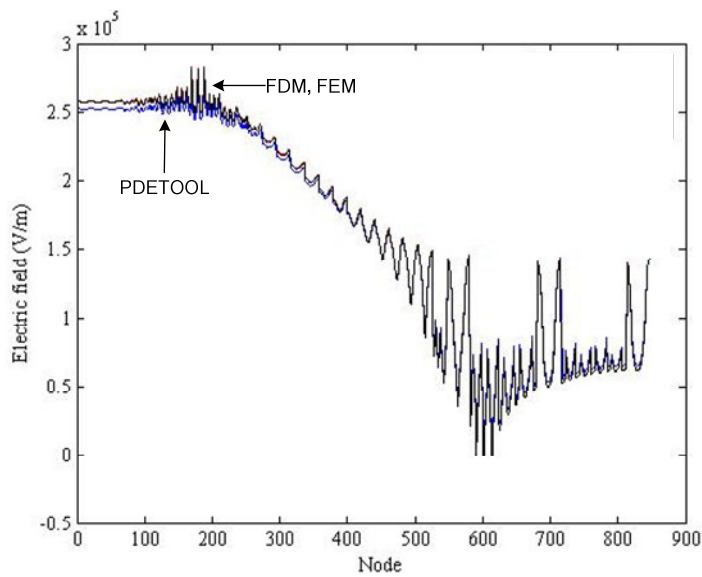
1. สร้างระบบสายส่งไฟฟ้า 3 เฟสขนาด 230 kV
2. เก็บค่าผลเฉลยจาก PDETOOL และค่าตำแหน่งพิกัดของแต่ละโอน
3. ใช้คำสั่ง griddata ของโปรแกรม MATLABTM ในการหาคำตอบตามโอนอ้างอิงของระบบ ตามระเบียนไฟในท่ออลิเมนท์ โดยอาศัยข้อมูลในการคำนวณจากขั้นตอนที่ 2

ดำเนินการที่ระเบียนวิธีไฟในท่ออลิเมนท์:

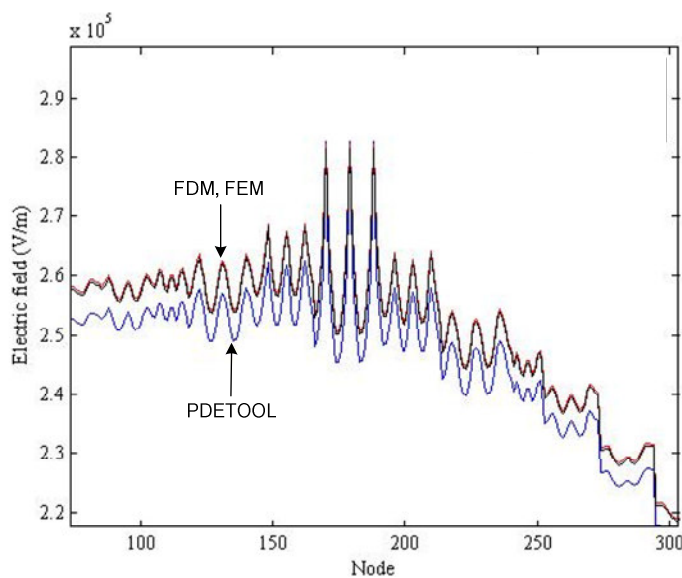
4. สร้างระบบสายส่งไฟฟ้า 3 เฟสขนาด 230 kV
5. เก็บค่าผลเฉลยจาก ระเบียนวิธีไฟในท่ออลิเมนท์ และค่าตำแหน่งพิกัดของแต่ละโอน
6. ใช้คำสั่ง griddata ของโปรแกรม MATLABTM ในการหาคำตอบตามโอนอ้างอิงของระบบ ตามระเบียนไฟในท่ออลิเมนท์โดยใช้ข้อมูลในการคำนวณจากขั้นตอนที่ 5
7. เปรียบเทียบคำตอบโอนค่าต่อโอนระหว่างผลเฉลยค่าสนามไฟฟ้าของระเบียนวิธีทั้งสอง คือ ระเบียนวิธีไฟในท่ออลิเมนท์ และ ระเบียนไฟในท่ออลิเมนท์ กับโปรแกรมสำเร็จรูป PDETOOL

จากวิธีดำเนินการตามขั้นตอนดังกล่าวสามารถเปรียบเทียบผลเฉลยค่าสนามไฟฟ้าของ ระเบียนวิธีไฟในท่ออลิเมนท์ และ ระเบียนไฟในท่ออลิเมนท์ กับโปรแกรมสำเร็จรูป PDETOOL ซึ่งสามารถแสดงได้ตามรูปที่ 6.112 โดยรูปดังกล่าวจะเปรียบเทียบคำตอบแบบโอนค่าต่อโอนทั้งหมด ภายในระบบสายส่งไฟฟ้า 3 เฟสขนาด 230 kV

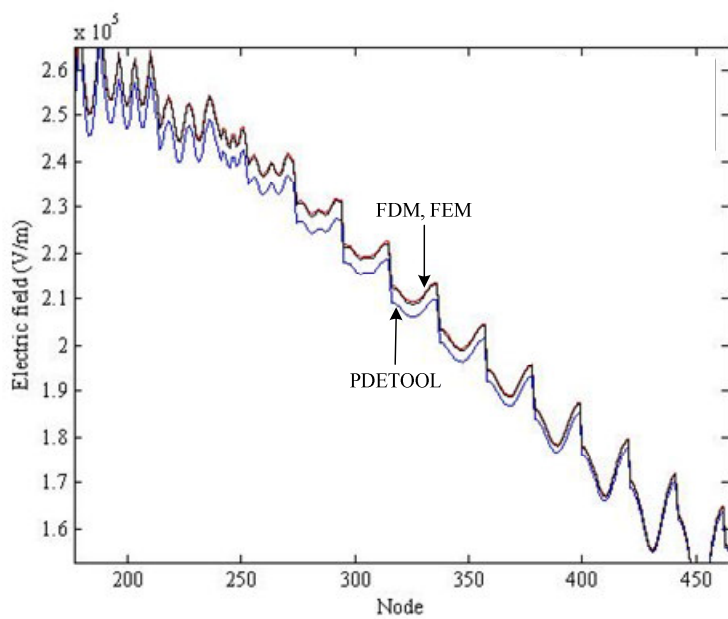
นอกจากรูปที่ 6.113-6.115 ได้แสดงผลการคำนวณโดยใช้ FDM, FEM และ PDETOOL สำหรับรูปที่ 6.112 ได้แสดงผลการคำนวณโดยใช้ FDM, FEM และ PDETOOL สำหรับช่วงโหนดที่ 1-847 ซึ่งแสดงผลลัพธ์ที่คล้ายกันมาก แต่ในรูปที่ 6.113 ได้แสดงผลการคำนวณโดยใช้ FDM, FEM และ PDETOOL สำหรับช่วงโหนดที่ 100-300 ซึ่งแสดงผลลัพธ์ที่คล้ายกันมาก



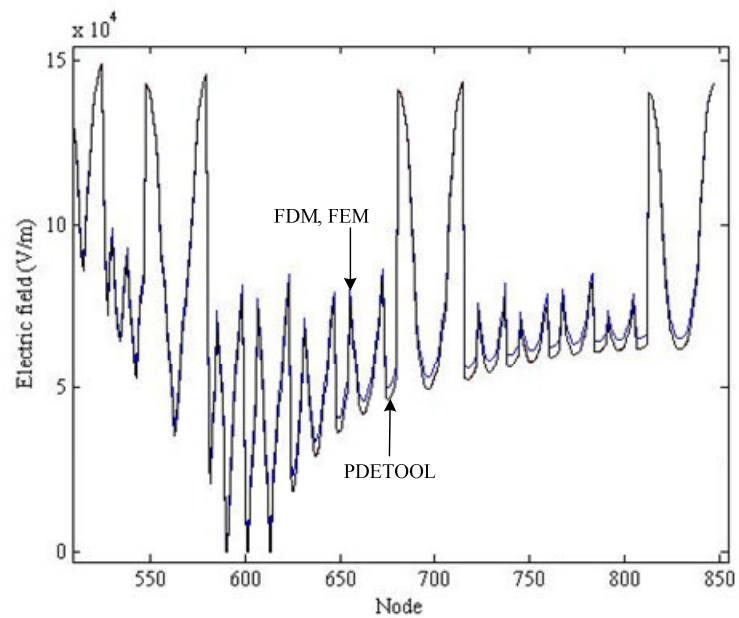
รูปที่ 6.112 คำตอณ์โหนดต่อโหนดภายในช่วงโหนด 1-847



รูปที่ 6.113 คำตอณ์โหนดต่อโหนดภายในช่วงโหนด 100-300



รูปที่ 6.114 คำตوبโนนดต่อโนนดภายในช่วงโนนด 200-450



รูปที่ 6.115 คำตوبโนนดต่อโนนดภายในช่วงโนนด 550-847

เมื่อสังเกตการเปรียบเทียบผลเฉลยค่าสนามไฟฟ้าของระเบียนวิธีไฟในท่อฟเฟอร์เรนท์ และระเบียนไฟในท่ออลิเมนท์ กับ โปรแกรมสำหรับ PDETOOL จะเห็นว่าเส้นกราฟจากระเบียนวิธีไฟในท่อฟเฟอร์เรนท์ และระเบียนไฟในท่ออลิเมนท์มีลักษณะใกล้เคียงกันมากและเกือบทั้งทันพอดี ตลอดทุกช่วงโนดดังปรากฏในรูปที่ 6.112 ในขณะที่ผลเฉลยค่าสนามไฟฟ้าจากโปรแกรมสำหรับ PDETOOL จะมีลักษณะเด่นกราฟในทำนองเดียวกับระเบียนวิธีทั้งสองช่วงกัน แต่จะให้ผลเฉลยที่แตกต่างบ้างในบางช่วงคำตอบซึ่งสามารถสังเกตได้จากรูปที่ 6.113-6.115 โดยสาเหตุความคลาดเคลื่อนที่เกิดขึ้นอาจมาจากการกำหนดค่ารัศมีตัวนำของสายส่งภายในโปรแกรมสำหรับ PDETOOL เพราะเนื่องจากการคำนวณด้วยระเบียนวิธีไฟในท่อฟเฟอร์เรนท์ และ ระเบียนไฟในท่ออลิเมนท์จะกำหนดให้ตัวนำมีลักษณะเป็นจุด ในขณะที่โปรแกรม PDETOOL ไม่สามารถกำหนดให้ตัวนำเป็นจุดได้ จะต้องทำการป้อนค่ารัศมีตัวนำทุกครั้งที่ทำการคำนวณ จึงเป็นสาเหตุให้เกิดความแตกต่างของผลเฉลยที่ได้

ตารางที่ 6.3 เปรียบเทียบค่าสนามไฟฟ้าระหว่างการใช้งานและไม่ใช้งานโทรศัพท์มือถือ

ระบบไฟฟ้า 1 เฟส						
ระบบ ไฟฟ้า	ค่าสนามไฟฟ้านิเวณศีรษะมนุษย์ (V/m)					
	ตำแหน่งที่ 1		ตำแหน่งที่ 2		ตำแหน่งที่ 3	
	ใช้งาน	ไม่ใช้งาน	ใช้งาน	ไม่ใช้งาน	ใช้งาน	ไม่ใช้งาน
220V	59.44	57.378	60.345	50.86	59.44	51.47
22kV	711.2	708.2	713.9	709.3	712.9	708.2
69kV	990.59	990.16	999.5	994.97	990.6	990.16
ระบบไฟฟ้า 3 เฟสสมดุล						
ระบบ ไฟฟ้า	ค่าสนามไฟฟ้านิเวณศีรษะมนุษย์ (V/m)					
	ตำแหน่งที่ 1		ตำแหน่งที่ 2		ตำแหน่งที่ 3	
	ใช้งาน	ไม่ใช้งาน	ใช้งาน	ไม่ใช้งาน	ใช้งาน	ไม่ใช้งาน
69kV	1.623×10^3	1.509×10^3	342.83	270.09	1.4813×10^3	1.509×10^3
115kV	3.093×10^3	3.036×10^3	337.22	225.16	3.036×10^3	2.964×10^3
230kV	5.969×10^3	5.877×10^3	796.597	721.04	5.775×10^3	5.755×10^3
500kV	1.713×10^4	1.703×10^4	5.419×10^3	5.357×10^3	1.688×10^4	1.683×10^4

ตารางที่ 6.3 เปรียบเทียบค่าสนามไฟฟ้าระหว่างการใช้งานและไม่ใช้งานโทรศัพท์มือถือ (ต่อ)

ระบบไฟฟ้า 3 เฟสไม่สมดุล (ขนาด)						
ระบบ ไฟฟ้า	ค่าสนามไฟฟ้านิเวณศีรษะมนุษย์ (V/m)					
	ตำแหน่งที่ 1		ตำแหน่งที่ 2		ตำแหน่งที่ 3	
	ใช้งาน	ไม่ใช้งาน	ไม่ใช้งาน	ไม่ใช้งาน	ใช้งาน	ไม่ใช้งาน
230kV#1	5.510×10^3	5.646×10^3	959.28	952.27	7.039×10^3	6.973×10^3
230kV#2	7.488×10^3	7.344×10^3	1.862×10^3	1.627×10^3	2.812×10^3	2.633×10^3
230kV#3	5.107×10^3	4.993×10^3	2.182×10^3	2.152×10^3	6.378×10^3	6.335×10^3
ระบบไฟฟ้า 3 เฟสไม่สมดุล (เฟส)						
ระบบ ไฟฟ้า	ค่าสนามไฟฟ้านิเวณศีรษะมนุษย์ (V/m)					
	ตำแหน่งที่ 1		ตำแหน่งที่ 2		ตำแหน่งที่ 3	
	ใช้งาน	ไม่ใช้งาน	ใช้งาน	ไม่ใช้งาน	ใช้งาน	ไม่ใช้งาน
230kV#1	1.513×10^4	1.501×10^4	9.131×10^3	9.054×10^3	3.034×10^3	2.911×10^3
230kV#2	7.361×10^3	7.054×10^3	5.493×10^3	5.045×10^3	6.353×10^3	6.154×10^3
230kV#3	1.283×10^4	1.25×10^4	7.072×10^3	6.799×10^3	1.698×10^3	1.629×10^3

ตารางที่ 6.4 ผลต่างค่าสนามไฟฟ้าระหว่างการใช้งานและไม่ใช้งานโทรศัพท์มือถือ

ระบบไฟฟ้า 1 เฟส			
ระบบ ไฟฟ้า	ผลต่างค่าสนามไฟฟ้า (V/m)		
	ตำแหน่งที่ 1	ตำแหน่งที่ 2	ตำแหน่งที่ 3
220V	2.062	9.485	7.970
22kV	3.000	4.600	4.700
69kV	0.430	4.530	0.440
ระบบไฟฟ้า 3 เฟสสมดุล			
ระบบ ไฟฟ้า	ผลต่างค่าสนามไฟฟ้า (V/m)		
	ตำแหน่งที่ 1	ตำแหน่งที่ 2	ตำแหน่งที่ 3
69kV	0.114×10^3	72.740	0.028×10^3
115kV	0.057×10^3	112.060	0.072×10^3

ตารางที่ 6.4 ผลต่างค่าสนามไฟฟ้าระหว่างการใช้งานและไม่ใช้งานโทรศัพท์มือถือ (ต่อ)

ระบบไฟฟ้า 3 เฟสสมดุล			
ระบบ ไฟฟ้า	ผลต่างค่าสนามไฟฟ้า (V/m)		
	ตำแหน่งที่ 1	ตำแหน่งที่ 2	ตำแหน่งที่ 3
230kV	0.092×10^3	75.557	0.020×10^3
500kV	0.010×10^4	0.062×10^3	0.005×10^4
ระบบไฟฟ้า 3 เฟสไม่สมดุล (ขนาด)			
ระบบ ไฟฟ้า	ผลต่างค่าสนามไฟฟ้า (V/m)		
	ตำแหน่งที่ 1	ตำแหน่งที่ 2	ตำแหน่งที่ 3
230kV#1	0.136×10^3	7.010	0.066×10^3
230kV#2	0.144×10^3	0.235×10^3	0.179×10^3
230kV#3	0.114×10^3	0.030×10^3	0.043×10^3
ระบบไฟฟ้า 3 เฟสไม่สมดุล (เฟส)			
ระบบ ไฟฟ้า	ผลต่างค่าสนามไฟฟ้า (V/m)		
	ตำแหน่งที่ 1	ตำแหน่งที่ 2	ตำแหน่งที่ 3
230kV#1	0.0120×10^4	0.0770×10^3	0.1230×10^3
230kV#2	0.3070×10^3	0.4480×10^3	0.1990×10^3
230kV#3	0.033×10^4	0.2730×10^3	0.0690×10^3

ตารางที่ 6.5 ระดับสูงสุดของสนามไฟฟ้าที่มนุษย์สามารถสัมผัสได้อย่างปลอดภัย

สถานที่	ค่าสนามไฟฟ้า (E) (kV/m)
สถานประกอบการ	
- ตลอดชั่วโมงการทำงาน	10
- ช่วงเวลาสั้น	30
สำนักงาน	
- ตลอด 24 ชั่วโมง	5
- 2-3 ชั่วโมง	10

จากมาตรฐานขององค์กร International Radiation Protection Association (IRPA) ได้ระบุข้อกำหนดระดับค่าสนามไฟฟ้าสูงสุดที่มนุษย์สามารถสัมผัสได้อย่างปลอดภัยค้างตารางที่ 6.5 จากข้อกำหนดดังกล่าวจะใช้เป็นเกณฑ์ในการตรวจสอบระยะห่างของมนุษย์จากสายส่งที่เหมาะสม โดยคุณภาพค่าสนามไฟฟ้าที่ปลอดภัยสำหรับมนุษย์ ในนี้จะเลือกใช้ระดับสูงสุดของสนามไฟฟ้าที่มนุษย์สัมผัสได้อย่างปลอดภัยเท่ากับ 5 kV/m (สาธารณะ) เพราะเนื่องจากระบบที่ศึกษาเปรียบเสมือนบริเวณพื้นที่โล่งที่มีผู้คนผ่านไปมาอยู่ตลอดเวลา รวมถึงการใช้งานโทรศัพท์มือถือต่อสารในบริเวณดังกล่าวด้วย จากผลการจำลองค่าสนามไฟฟ้าทั้งหมดของระบบสายส่งไฟฟ้า 1 เฟสขนาด $220 \text{ V} 22 \text{ kV}$ และ 69 kV ระบบไฟฟ้า 3 เฟสไม่สมดุลขนาด $69 \text{ kV} 115 \text{ kV} 230 \text{ kV}$ และ 500 kV ระบบไฟฟ้า 3 เฟสไม่สมดุลขนาด 230 kV และระบบไฟฟ้า 3 เฟสสมดุลเมื่อคำนึงถึงสภาพการทำงานที่ต้องซึ่งกันมุนญ์อย่างชัดเจนภายในแต่ละระบบ โดยสามารถนำเสนอในรูปแบบของตารางที่ 6.3 และ 6.4 จะเห็นว่าภายในระบบไฟฟ้า 1 เฟส จะมีค่าสนามไฟฟ้าสูงสุดไม่เกิน 5 kV/m ด้วยเหตุนี้การใช้งานโทรศัพท์มือถือในบริเวณระบบดังกล่าวจึงไม่ก่อให้เกิดอันตรายแก่มนุษย์ที่ใช้งานโทรศัพท์มือถือในบริเวณนี้ ในขณะที่ระบบไฟฟ้า 3 เฟสสมดุล และ 3 เฟสไม่สมดุลจะมีปริมาณค่าสนามไฟฟ้าเกิน 5 kV/m โดยเฉพาะอย่างยิ่งในระบบไฟฟ้า 3 เฟสสมดุลและ 3 เฟสไม่สมดุลขนาด 230 kV และ 500 kV ที่มีค่าสนามไฟฟ้าสูงถึง $2.5 \times 10^5 \text{ V/m}$ และ $5.5 \times 10^6 \text{ V/m}$ ตามลำดับ ซึ่งอาจก่อให้เกิดอันตรายอย่างยิ่งต่อมนุษย์ที่ใช้งานโทรศัพท์มือถือในขณะที่เข้าใกล้บริเวณระบบไฟฟ้า 3 เฟสสมดุล นอกจากนี้การลดหย่อนของสายส่งไฟฟ้าแรงสูงที่เป็นสาเหตุสำคัญสาเหตุหนึ่งที่สามารถก่อให้เกิดอันตรายต่อมนุษย์ผู้ใช้โทรศัพท์มือถือได้เช่นกัน

6.7 สรุป

บทที่ 6 เป็นการจำลองผลเพื่อศึกษาถึงผลกระทบค่าสนามไฟฟ้าที่เกิดขึ้นจากการใช้งานโทรศัพท์มือถือของมนุษย์ภายในบริเวณสายส่งไฟฟ้าขนาดต่าง ๆ ด้วยระเบียนวิธีไฟในที่ดิฟเฟอร์เรนท์ และระเบียนไฟในท่อสิเมนท์แบบ 2 มิติ จากการจำลองผลของระบบสายส่งไฟฟ้า 1 เฟสขนาด $220 \text{ V} 22 \text{ kV}$ และ 69 kV ระบบไฟฟ้า 3 เฟสสมดุลขนาด $69 \text{ kV} 115 \text{ kV} 230 \text{ kV}$ และ 500 kV และระบบไฟฟ้า 3 เฟสไม่สมดุล จะได้ผลเฉลยไปในทิศทางเดียวกัน และมีค่าใกล้เคียงกันทั้งสองระเบียนวิธี โดยสามารถตรวจสอบความถูกต้องด้วยโปรแกรมสำเร็จรูป PDETOOL ที่มีความเชื่อถือได้ ซึ่งให้ผลเฉลยสอดคล้องไปในทิศทางเดียวกันกับระเบียนวิธีทั้งสอง นอกจากนี้ยังสามารถระบุระบบที่มีความเสี่ยงต่อความปลอดภัยจากการใช้งานโทรศัพท์มือถือของมนุษย์ภายในบริเวณสายส่งได้ตามมาตรฐานของ IRPA

บทที่ 7

การจำลองสนามไฟฟ้าของสายส่งโดยระเบียนวิธีไฟในท่ออิเล็กทรอนิกส์แบบ 3 มิติ

7.1 บทนำ

บทที่ 5 และ บทที่ 6 เป็นการคำนวณหาค่าสนามไฟฟ้าด้วยระเบียนวิธีไฟในท่อเฟอร์เรนท์ และระเบียนวิธีไฟในท่ออิเล็กเมนท์ ตามลำดับ ซึ่งทั้ง 2 บทเป็นการคำนวณหาค่าสนามไฟฟ้าแบบ 2 มิติ สำหรับบทที่ 7 จะเป็นบทที่นำเสนอการคำนวณหาค่าสนามไฟฟ้าแบบ 3 มิติ เพื่อให้เห็นลักษณะการกระจายค่าสนามไฟฟ้าที่สอดคล้องกับเหตุการณ์จริงมากยิ่งขึ้น โดยการวิเคราะห์ค่าสนามไฟฟ้าแบบ 3 มิติของระบบสายส่ง จะอาศัยโปรแกรมสำเร็จรูป COMSOL™ Multiphysics Version 3.4 ในการหาผลเฉลยของระบบไฟฟ้า 1 เฟสขนาด 220 V 22 kV และ 69 kV กับระบบไฟฟ้า 3 เฟสสามจุดขนาด 69 kV 115 kV 230 kV และ 500 kV ซึ่งโปรแกรมสำเร็จรูปดังกล่าวเป็นโปรแกรมที่ใช้ระเบียนวิธีไฟในท่ออิเล็กเมนท์ในการหาผลเฉลย

7.2 การกำหนดพารามิเตอร์และเงื่อนไขขอบเขต

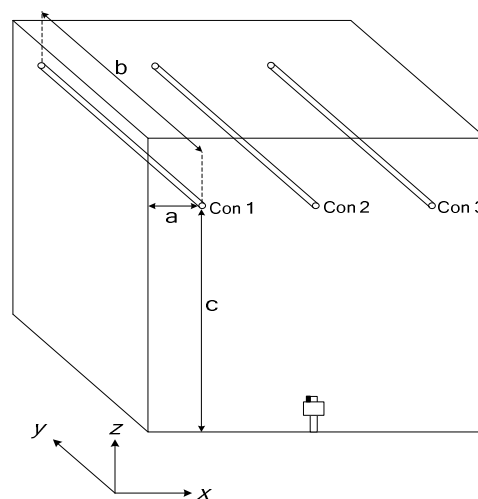
การกำหนดค่าพารามิเตอร์ของโปรแกรมสำเร็จรูป COMSOL™ Multiphysics Version 3.4 ให้กับระบบสายส่งจะประกอบไปด้วย 2 ส่วนประกอบหลัก ๆ คือ พารามิเตอร์การขึ้นรูปโครงสร้างของระบบขนาดต่าง ๆ และค่าพารามิเตอร์ที่แสดงคุณสมบัติทางไฟฟ้า ซึ่งได้แก่ ค่าสนามไฟฟ้าภายในด้านนำสายส่ง ค่าสนามไฟฟ้าของโทรศัพท์มือถือ ค่าสภาพชาร์จทางแม่เหล็ก และค่าสภาพยอนทางไฟฟ้า เป็นต้น เพื่อใช้ในการกำหนดเงื่อนไขขอบเขต ซึ่งเป็นค่าพารามิเตอร์ที่เคยกล่าวไปแล้วในบทก่อนหน้านี้ ดังนั้นในหัวข้อนี้จะกล่าวเฉพาะรายละเอียดการกำหนดพารามิเตอร์สำหรับการขึ้นรูปโครงสร้างของระบบขนาดต่าง ๆ เท่านั้น โดยสามารถแสดงค่าพารามิเตอร์ได้ดังตารางที่ 7.1 - 7.2 และสามารถพิจารณาภาพประกอบตามรูปที่ 7.1

ตารางที่ 7.1 การกำหนดค่าพารามิเตอร์โครงสร้างของระบบไฟฟ้าแบบ 3 มิติ

ระบบไฟฟ้า 1 เฟส	มิติของพื้นที่ศึกษา (m)		
	แกน x	แกน y	แกน z
220 V	10	10	10
22 kV	15	15	15

ตารางที่ 7.1 การกำหนดค่าพารามิเตอร์โครงสร้างของระบบไฟฟ้าแบบ 3 มิติ (ต่อ)

ระบบไฟฟ้า 1 เฟส	มิติของพื้นที่ศึกษา (m)		
	แกน x	แกน y	แกน z
69 kV	15	15	20
ระบบไฟฟ้า 3 เฟส	มิติของพื้นที่ศึกษา (m)		
	แกน x	แกน y	แกน z
69 kV	15	15	15
115 kV	20	20	20
230 kV	20	20	23
500 kV	25	25	25
มนุษย์	มิติของพื้นที่ศึกษา (m)		
	แกน x	แกน y	แกน z
ส่วนที่ 1	0.2	0.2	1.8
ส่วนที่ 2	0.6	0.2	0.6
โทรศัพท์มือถือ	มิติของพื้นที่ศึกษา (m)		
	แกน x	แกน y	แกน z
ส่วนที่ 1	0.1	0.2	0.2



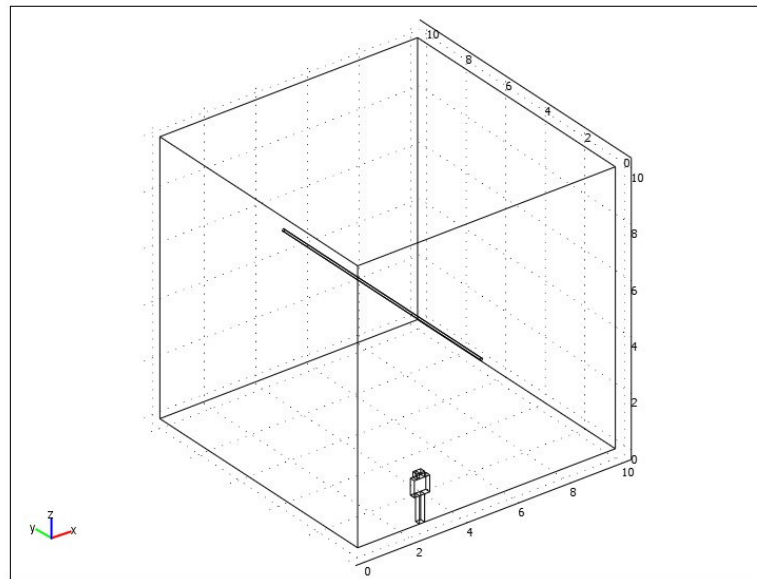
รูปที่ 7.1 ลักษณะการกำหนดค่าพารามิเตอร์โครงสร้างของระบบไฟฟ้าแบบ 3 มิติ

ตารางที่ 7.2 ค่าพารามิเตอร์การวางแผนตำแหน่งตัวนำของระบบไฟฟ้าแบบ 3 มิติ

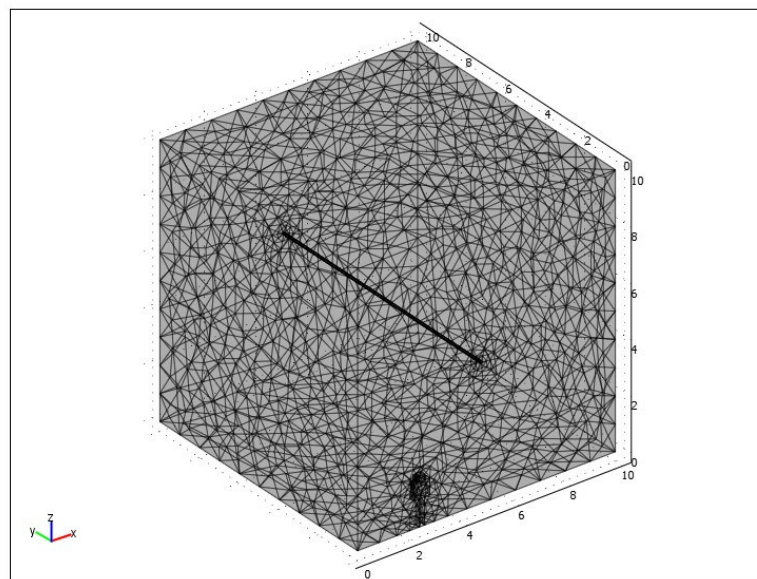
ระบบไฟฟ้า 1 เฟส			
ตัวนำ	ตำแหน่งการวางแผนตัวนำ (m)		
	a	b	c
220 V	5	10	4.8
22 kV	7.5	15	10.5
69 kV	7.5	15	12
ระบบไฟฟ้า 3 เฟส			
69 kV	ตำแหน่งการวางแผนตัวนำ (m)		
	a	b	c
ตัวนำที่ 1	4	15	12
ตัวนำที่ 2	7.5	15	12
ตัวนำที่ 3	11	15	12
115 kV	ตำแหน่งการวางแผนตัวนำ (m)		
	a	b	c
ตัวนำที่ 1	5.5	20	13
ตัวนำที่ 2	10	20	13
ตัวนำที่ 3	14.5	20	13
230 kV	ตำแหน่งการวางแผนตัวนำ (m)		
	a	b	c
ตัวนำที่ 1	3	20	17
ตัวนำที่ 2	10	20	17
ตัวนำที่ 3	17	20	17
500 kV	ตำแหน่งการวางแผนตัวนำ (m)		
	a	b	c
ตัวนำที่ 1	2.5	25	20
ตัวนำที่ 2	12.5	25	20
ตัวนำที่ 3	22.5	25	20

7.3 ระบบสายส่งไฟฟ้า 1 เฟส

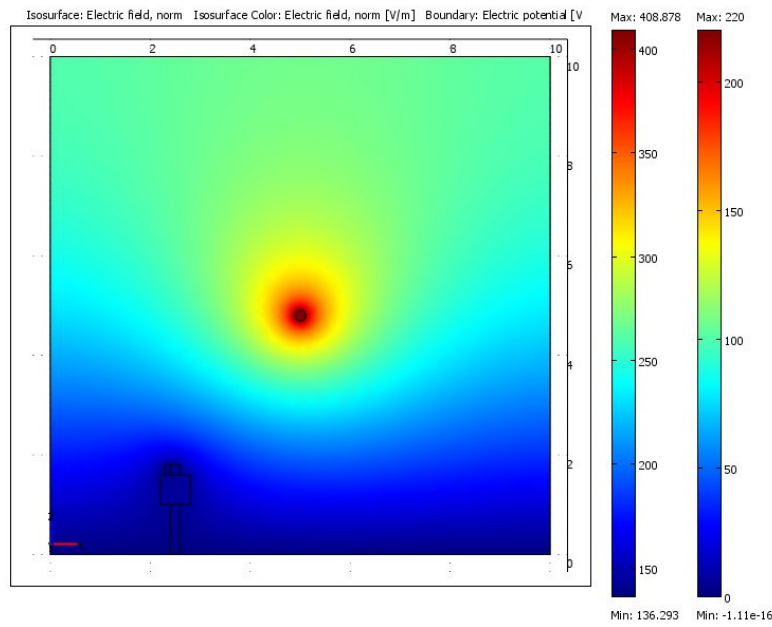
- ระบบสายส่งไฟฟ้า 1 เฟสขนาด 220V



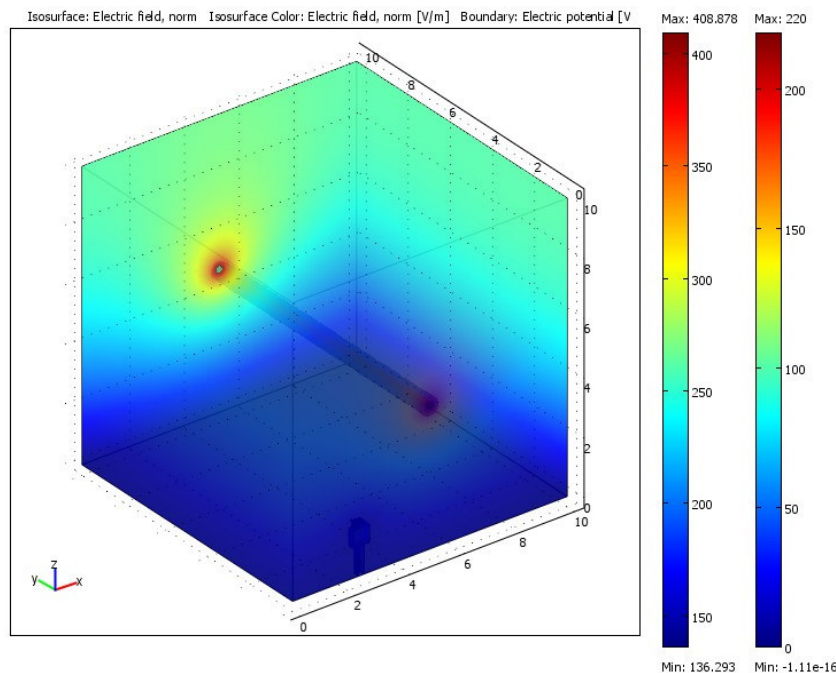
รูปที่ 7.2 โครงสร้างของระบบสายส่งไฟฟ้า 1 เฟสขนาด 220 V ($x = 2 \text{ m}$)



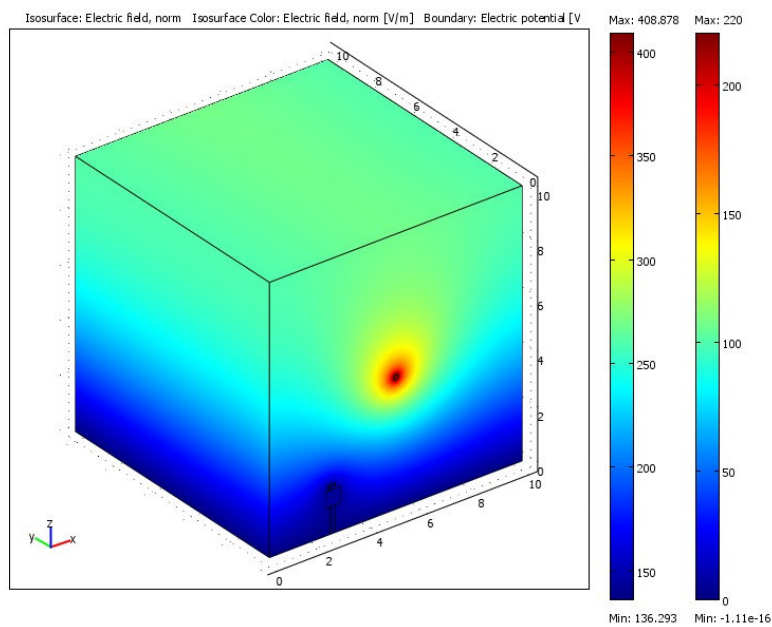
รูปที่ 7.3 การออกแบบกริดของระบบสายส่งไฟฟ้า 1 เฟสขนาด 220 V ($x = 2 \text{ m}$)



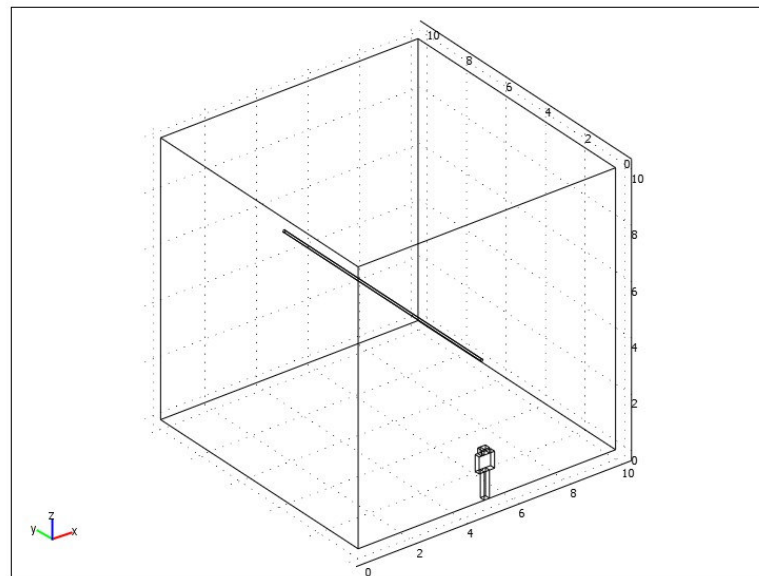
รูปที่ 7.4 ค่อนทั่ว์ค่าสนามไฟฟ้าแบบ 2 มิติของระบบสายส่งไฟฟ้า 1 เพศขนาด 220 V ($x = 2 \text{ m}$)



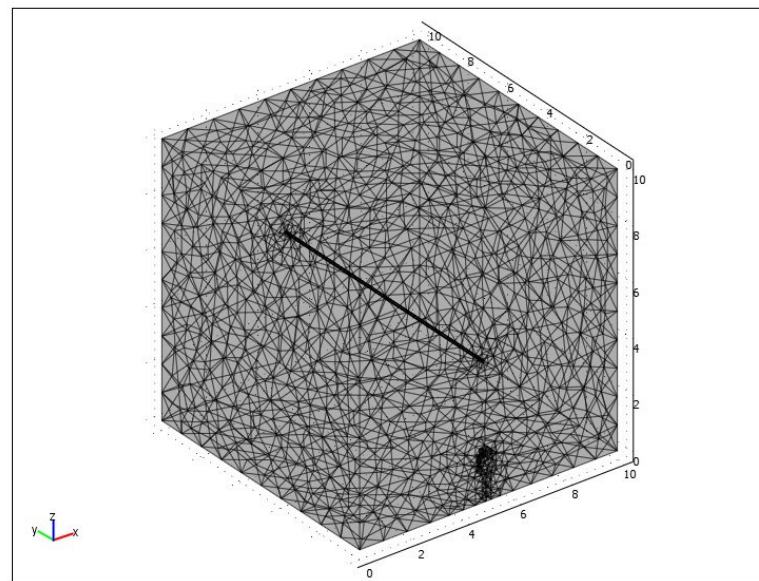
รูปที่ 7.5 ลักษณะค่าสนามไฟฟ้าแบบ 3 มิติบริเวณภายในระบบสายส่งไฟฟ้า 1 เพศขนาด 220 V ($x = 2 \text{ m}$)



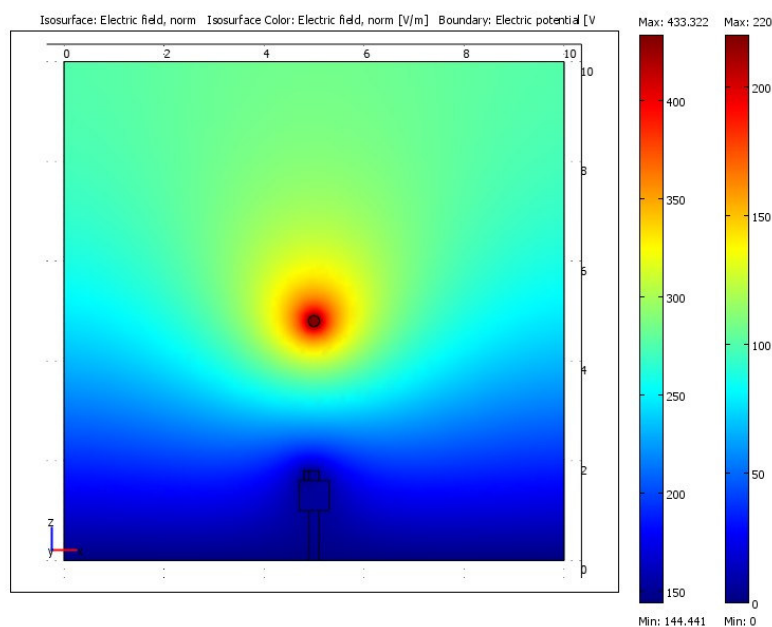
รูปที่ 7.6 ลักษณะค่าสนามไฟฟ้าแบบ 3 มิติบริเวณพื้นผิวภายนอกของระบบสายส่งไฟฟ้า 1 เฟสขนาด 220 V ($x = 2 \text{ m}$)



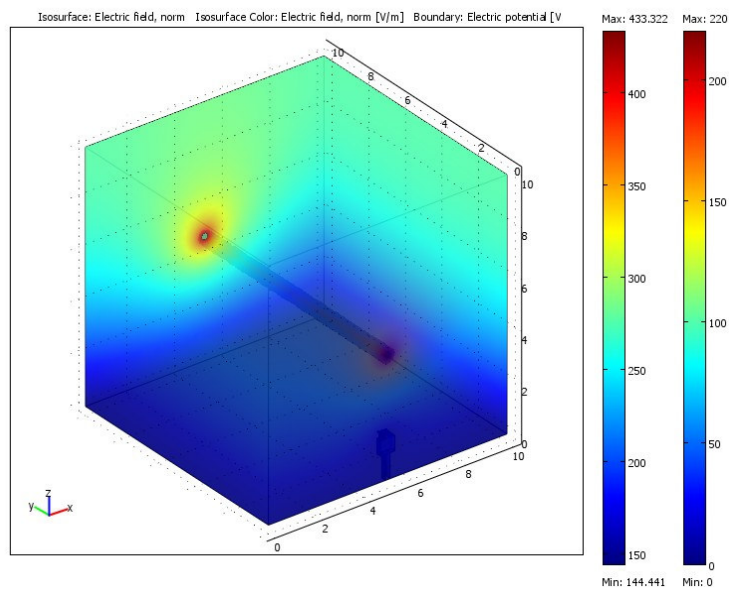
รูปที่ 7.7 โครงสร้างของระบบสายส่งไฟฟ้า 1 เฟสขนาด 220 V ($x = 5 \text{ m}$)



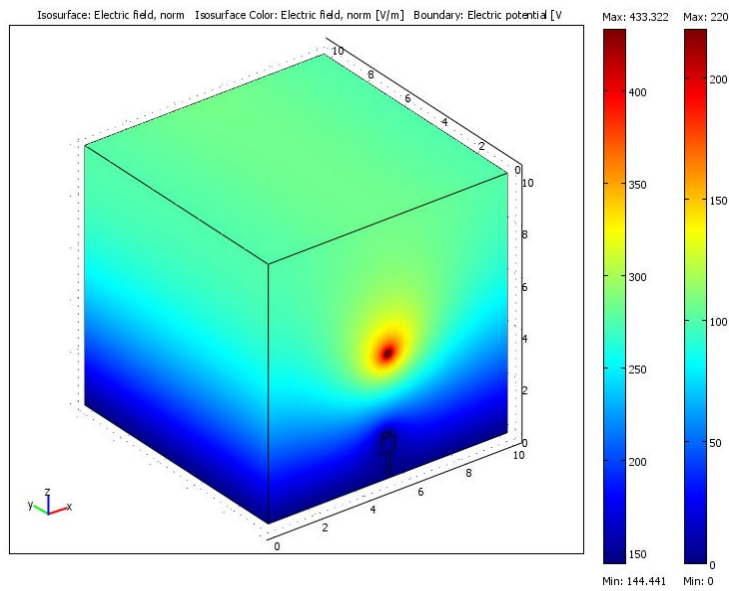
รูปที่ 7.8 การออกแบบกริดของระบบสายส่งไฟฟ้า 1 เฟสบนด 220 V (x = 5 m)



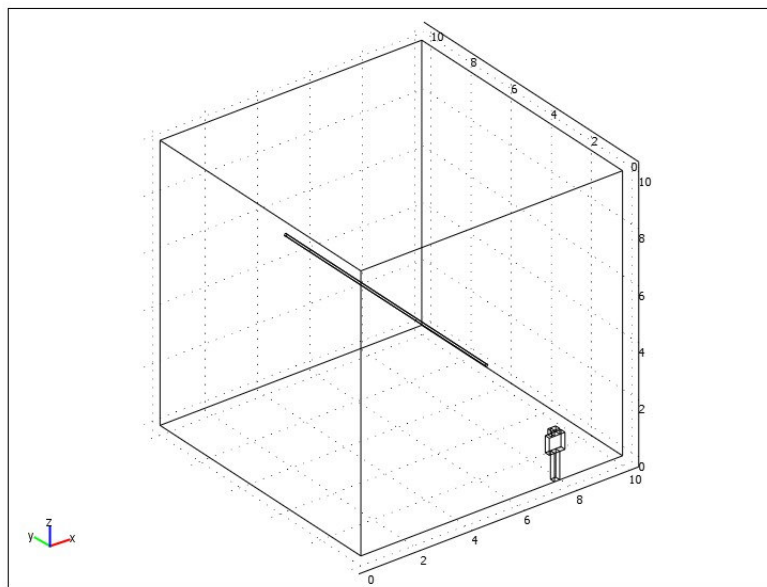
รูปที่ 7.9 ค่าทัวร์ค่าสนามไฟฟ้าแบบ 2 มิติของระบบสายส่งไฟฟ้า 1 เฟสบนด 220 V (x = 5 m)



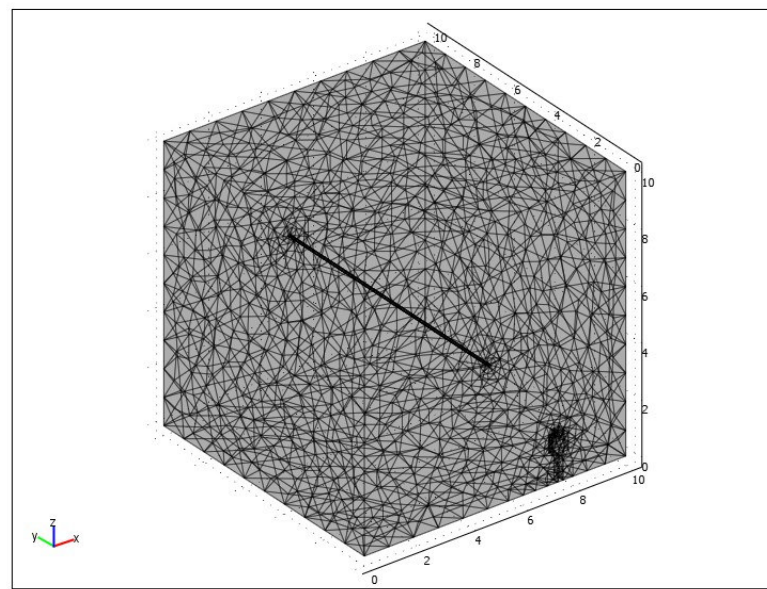
รูปที่ 7.10 ลักษณะค่าสนามไฟฟ้าแบบ 3 มิติบริเวณภายในระบบสายส่งไฟฟ้า 1 เฟสขนาด 220 V
($x = 5 \text{ m}$)



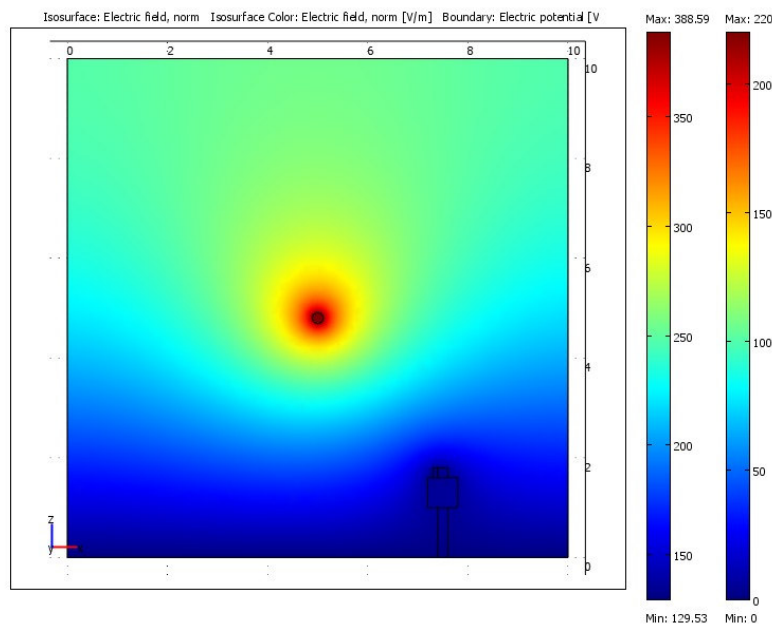
รูปที่ 7.11 ลักษณะค่าสนามไฟฟ้าแบบ 3 มิติบริเวณพื้นผิวภายนอกของ
ระบบสายส่งไฟฟ้า 1 เฟสขนาด 220 V ($x = 5 \text{ m}$)



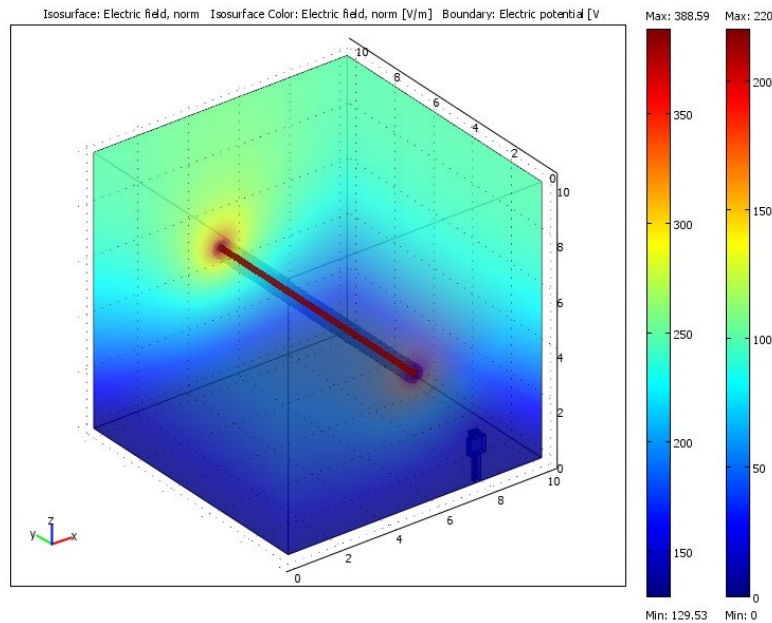
รูปที่ 7.12 โครงสร้างของระบบสายส่งไฟฟ้า 1 เฟสขนาด 220 V ($x = 8 \text{ m}$)



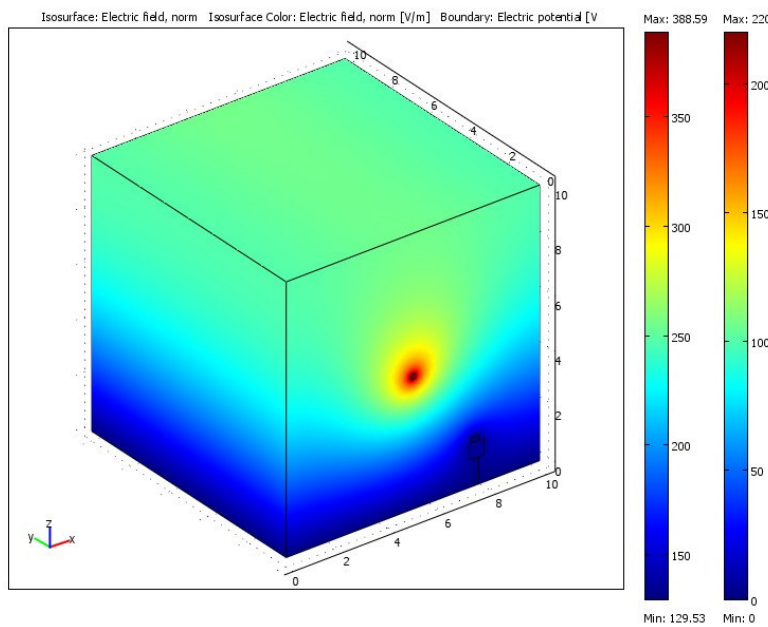
รูปที่ 7.13 การออกแบบกริดของระบบสายส่งไฟฟ้า 1 เฟสขนาด 220 V ($x = 8 \text{ m}$)



รูปที่ 7.14 ค่อนทัวร์ค่าสนามไฟฟ้าแบบ 2 มิติของระบบสายส่งไฟฟ้า 1 เฟสบนด้วย 220 V ($x = 8 \text{ m}$)



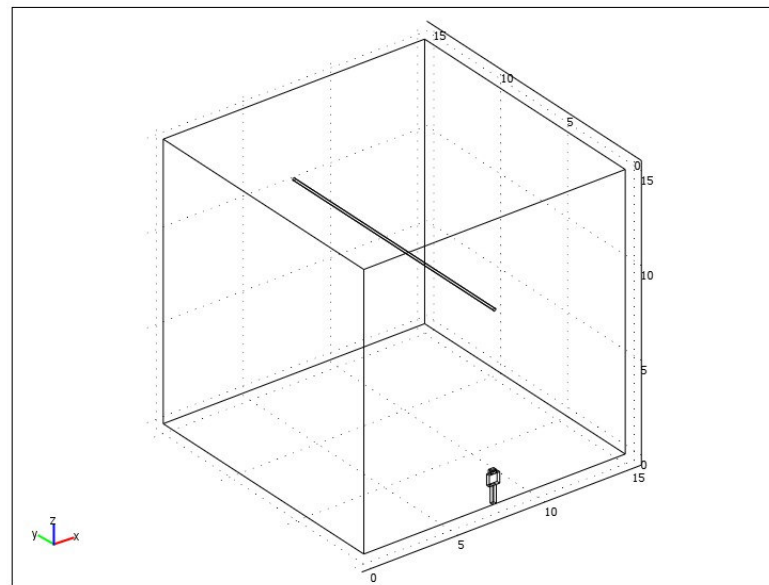
รูปที่ 7.15 ลักษณะค่าสนามไฟฟ้าแบบ 3 มิติบริเวณภายในระบบสายส่งไฟฟ้า 1 เฟสบนด้วย 220 V ($x = 8 \text{ m}$)



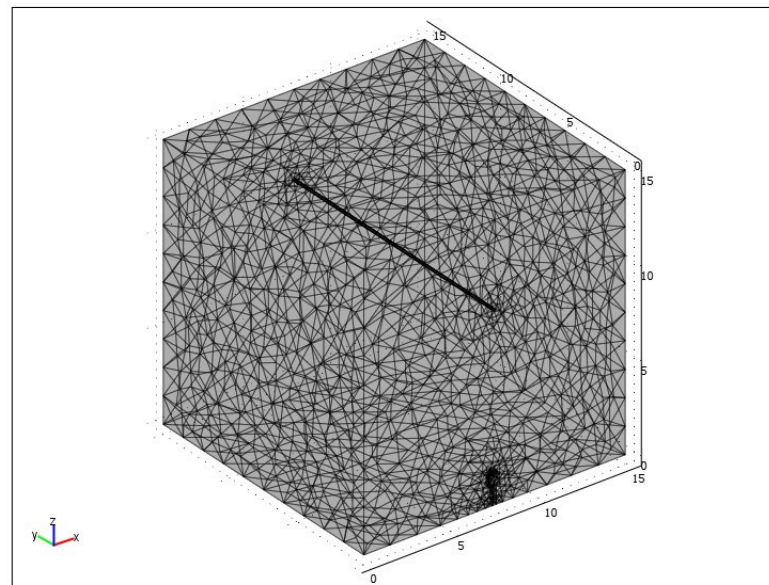
รูปที่ 7.16 ลักษณะค่าสนามไฟฟ้าแบบ 3 มิติบริเวณพื้นผิวภายนอกของระบบสายส่งไฟฟ้า 1 เฟสขนาด 220 V ($x = 8 \text{ m}$)

- ระบบสายส่งไฟฟ้า 1 เฟสขนาด 22 kV

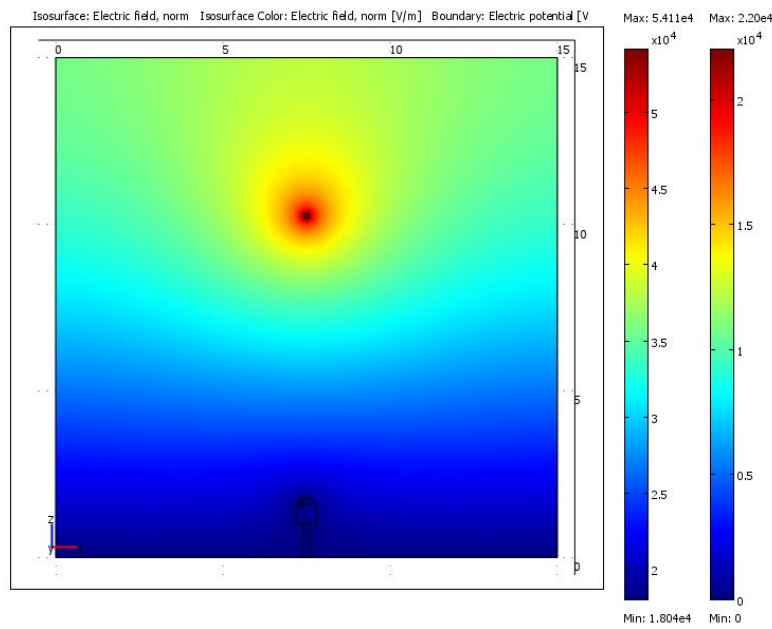
เนื่องจากการจำลองผลการกระจายค่าสนามไฟฟ้าแบบ 3 มิติของระบบสายส่งไฟฟ้า 1 เฟสขนาด 220 V ที่ก่อตัวผ่านมาข้างต้น โดยแตกต่างที่ค่าสนามไฟฟ้าของตัวนำในสายส่ง กับขนาดพื้นที่ทดสอบของระบบ ดังนั้นจึงขอนำเสนอผลลักษณะการกระจายค่าสนามไฟฟ้าของระบบสายส่งไฟฟ้าขนาด 22 kV และ 69 kV เพียง 1 กรณี คือ การใช้งานโทรศัพท์มือถือของมนุษย์ ณ ตำแหน่งกึ่งกลางของระบบเท่านั้น เพื่อให้เนื้อหาที่นำเสนอภายในวิทยานิพนธ์มีความกระชับมากยิ่งขึ้นเหมือนในบทที่ 6 ที่ผ่านมา



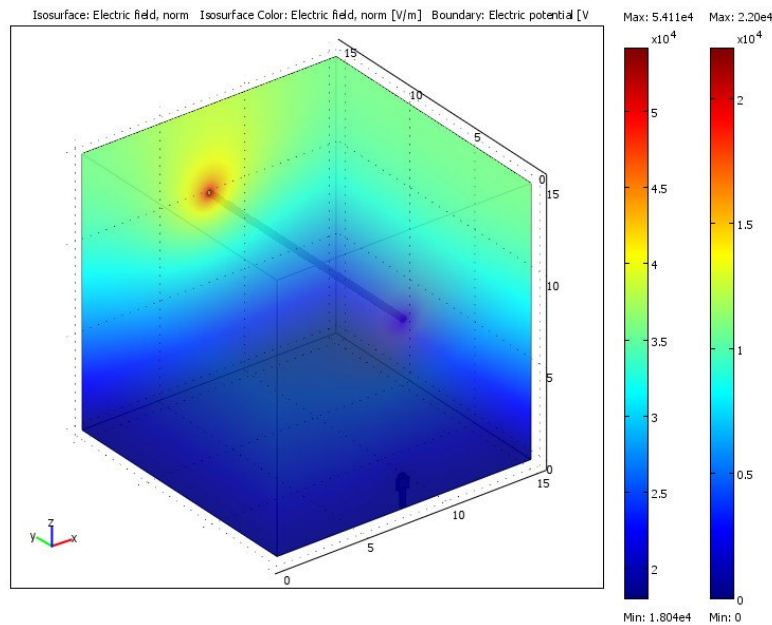
รูปที่ 7.17 โครงสร้างของระบบสายส่งไฟฟ้า 1 เฟสบนภาค 22 kV ($x = 7.5 \text{ m}$)



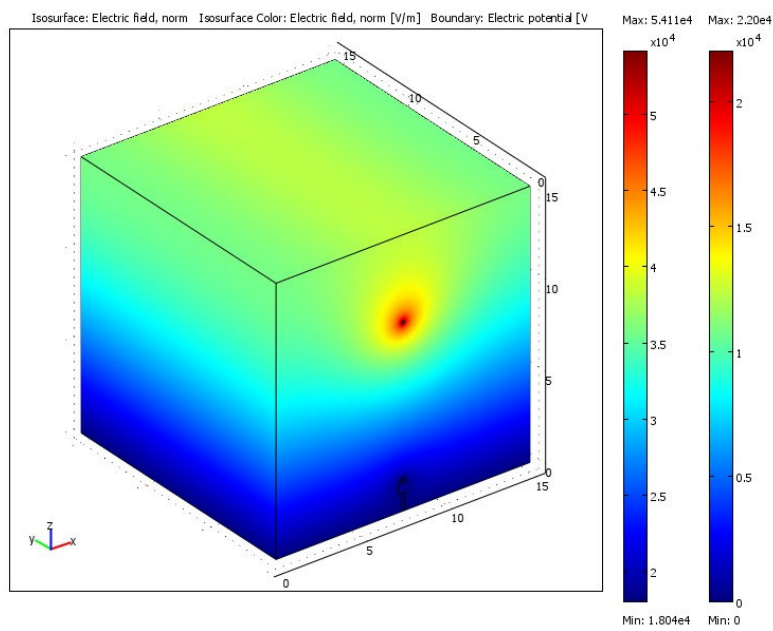
รูปที่ 7.18 การออกแบบกริดของระบบสายส่งไฟฟ้า 1 เฟสบนภาค 22 kV ($x = 7.5 \text{ m}$)



รูปที่ 7.19 ค่อนหัวร์ค่าสนามไฟฟ้าแบบ 2 มิติของระบบสายส่งไฟฟ้า 1 เฟสขนาด 22 kV ($x = 7.5$ m)

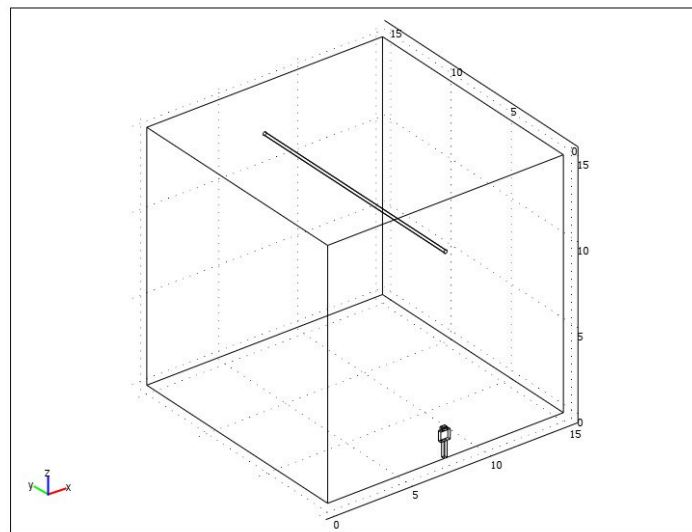


รูปที่ 7.20 ลักษณะค่าสนามไฟฟ้าแบบ 3 มิติบริเวณภายในระบบสายส่งไฟฟ้า 1 เฟสขนาด 22 kV
($x = 7.5$ m)

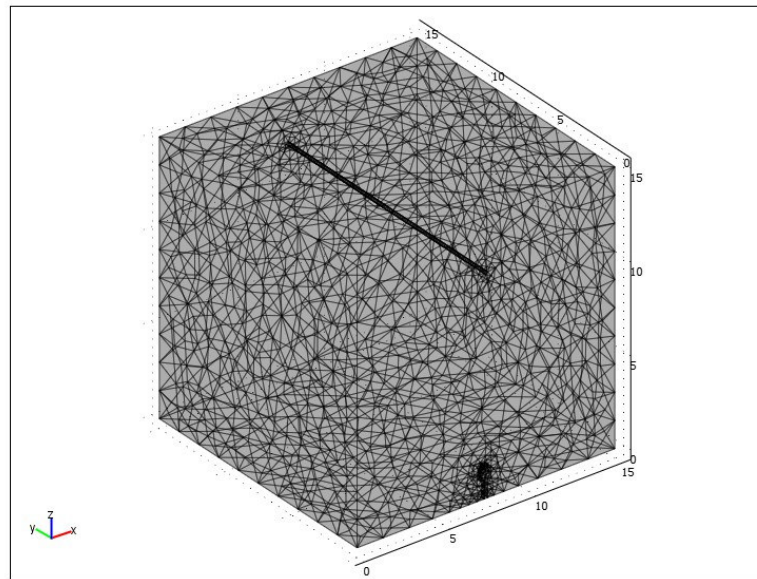


รูปที่ 7.21 ลักษณะค่าสนามไฟฟ้าแบบ 3 มิติบริเวณพื้นผิวภายนอกของระบบสายส่งไฟฟ้า 1 เฟสขนาด 22 kV ($x = 7.5$ m)

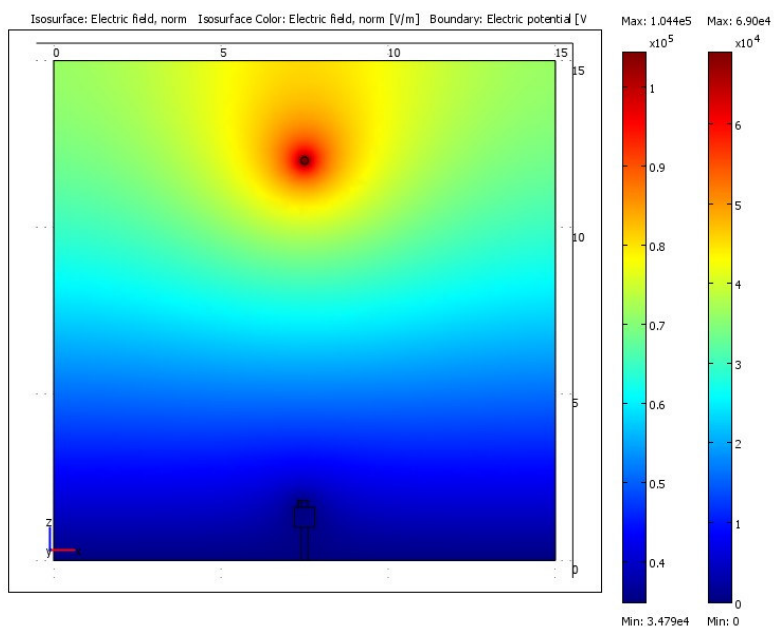
- ระบบสายส่งไฟฟ้า 1 เฟสขนาด 69 kV



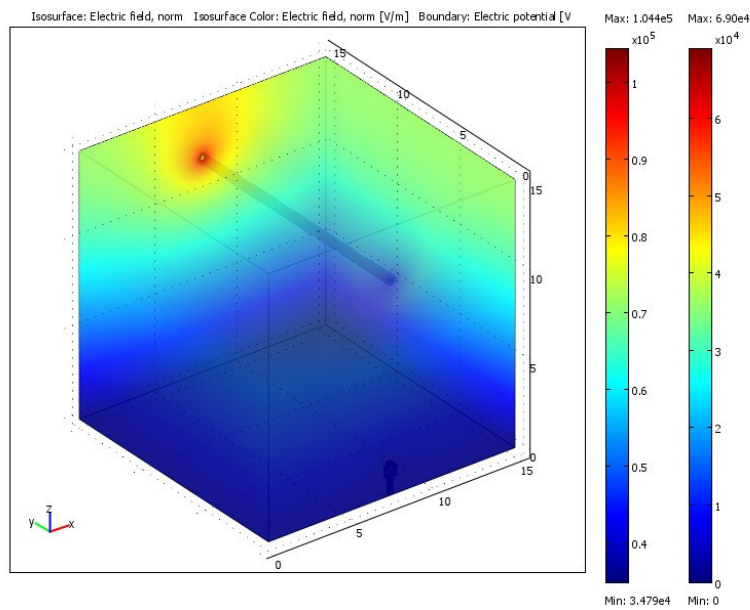
รูปที่ 7.22 โครงสร้างของระบบสายส่งไฟฟ้า 1 เฟสขนาด 69 kV ($x = 7.5$ m)



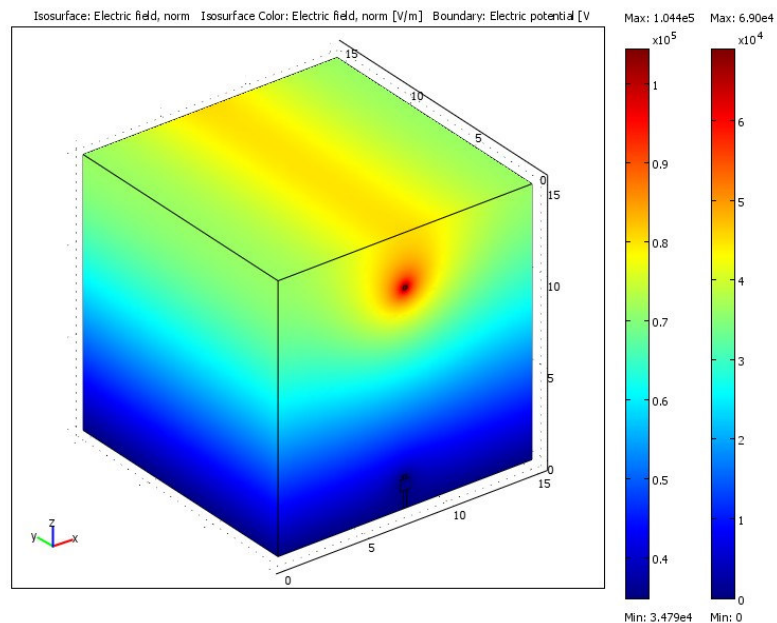
รูปที่ 7.23 การออกแบบกริดของระบบสายส่งไฟฟ้า 1 เฟสขนาด 69 kV ($x = 7.5$ m)



รูปที่ 7.24 ค่าหัวร์ค่าสนามไฟฟ้าแบบ 2 มิติของระบบสายส่งไฟฟ้า 1 เฟสขนาด 69 kV ($x = 7.5$ m)



รูปที่ 7.25 ลักษณะค่าสนามไฟฟ้าแบบ 3 มิติบริเวณภายในระบบสายส่งไฟฟ้า 1 เฟสขนาด 69 kV
($x = 7.5$ m)



รูปที่ 7.26 ลักษณะค่าสนามไฟฟ้าแบบ 3 มิติบริเวณพื้นผิวภายนอกของ
ระบบสายส่งไฟฟ้า 1 เฟสขนาด 69 kV ($x = 7.5$ m)

7.4 ระบบสายส่งไฟฟ้า 3 เฟสสมดุล

- ระบบสายส่งไฟฟ้า 3 เฟสบนด้วย 69 kV

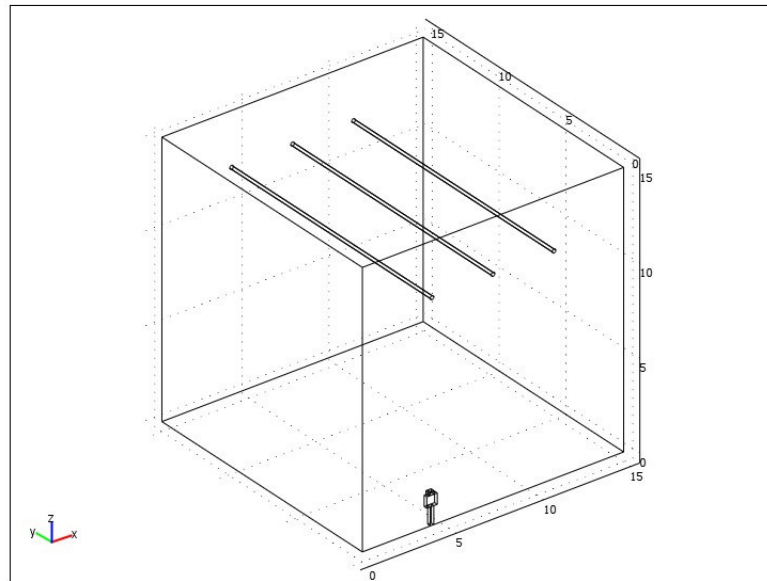
ระบบสายส่งไฟฟ้า 3 เฟสบนด้วย 69 kV เมื่อมนูย์ใช้งานโทรศัพท์มือถือ ณ ตำแหน่งใด ๆ ได้ทำการพิจารณาลักษณะของระบบไฟฟ้า 3 เฟสสมดุล ออกเป็น 3 กรณี คือ

$$\text{เมื่อ } V_A = 69\angle 0^\circ \text{ kV } V_B = 69\angle -120^\circ \text{ kV } V_C = 69\angle 120^\circ \text{ kV}$$

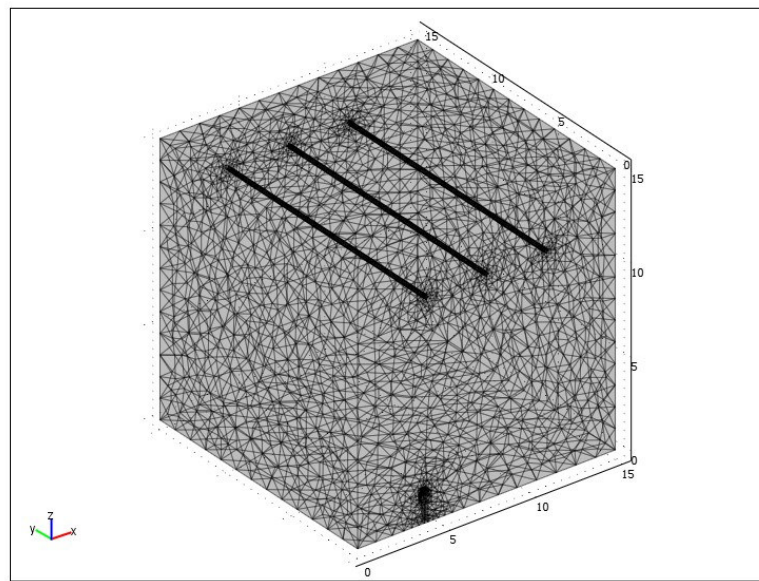
$$\text{เมื่อ } V_A = 69\angle 120^\circ \text{ kV } V_B = 69\angle 0^\circ \text{ kV } V_C = 69\angle -120^\circ \text{ kV}$$

$$\text{เมื่อ } V_A = 69\angle -120^\circ \text{ kV } V_B = 69\angle 120^\circ \text{ kV } V_C = 69\angle 0^\circ \text{ kV}$$

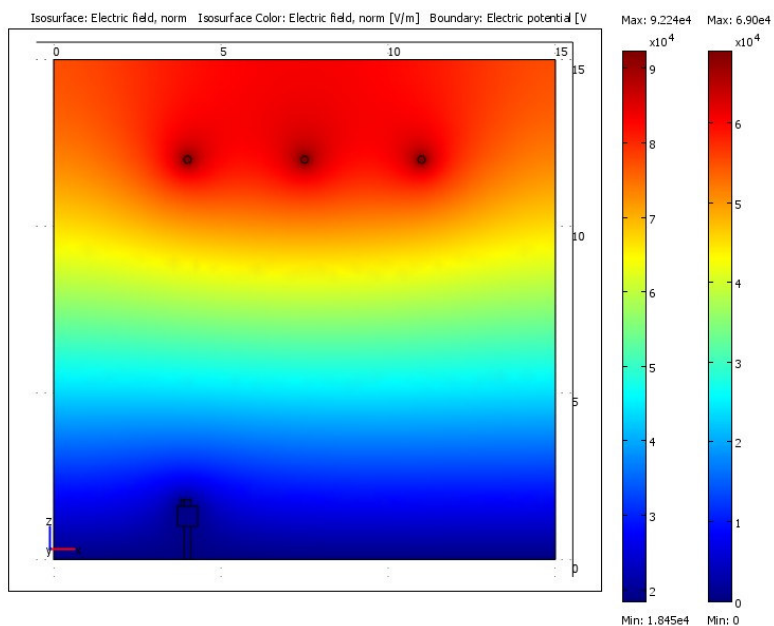
โดยลักษณะการกระจายค่าสนามไฟฟ้าและคงที่รักษาสนามไฟฟ้าของระบบสายส่งไฟฟ้า 3 เฟสบนด้วย 69 kV ทั้ง 3 กรณี จะให้ลักษณะการจำลองผลที่เหมือนกัน ในทำนองเดียวกับบทที่ 6 ที่ผ่านมา ดังนั้นการนำเสนอการจำลองผลสนามไฟฟ้าแบบ 3 มิติของระบบไฟฟ้า 3 เฟสบนด้วย 115 kV 230 kV และ 500 kV จะนำเสนอในลักษณะเดียวกับระบบไฟฟ้า 3 เฟสบนด้วย 69 kV ซึ่งมีรายละเอียดการนำเสนอดังนี้



รูปที่ 7.27 โครงสร้างของระบบสายส่งไฟฟ้า 3 เฟสบนด้วย 69 kV ($x = 4.5 \text{ m}$)

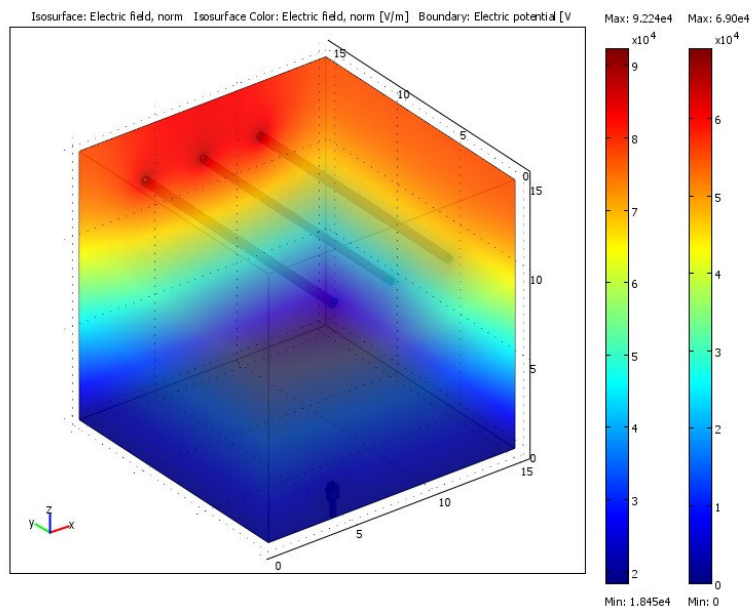


รูปที่ 7.28 การออกแบบกริดของระบบสายส่งไฟฟ้า 3 เฟสบนด า 69 kV ($x = 4.5 \text{ m}$)

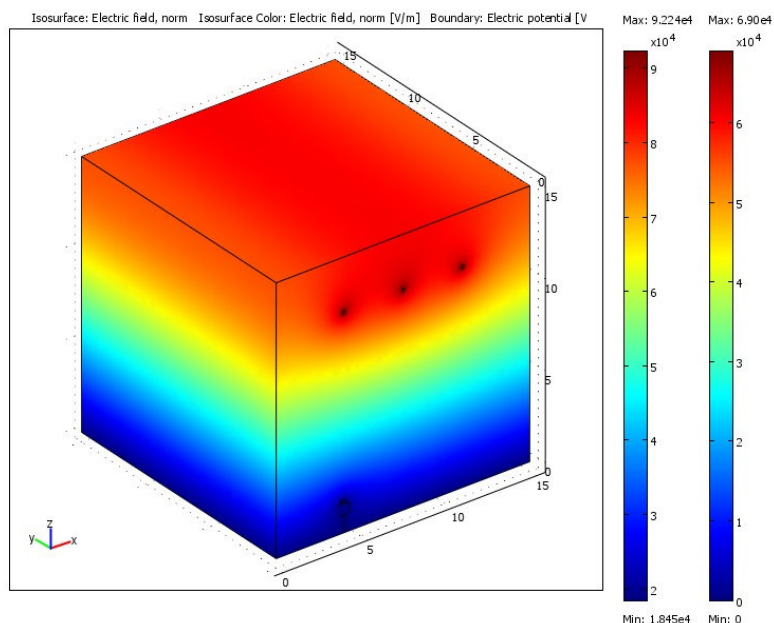


รูปที่ 7.29 ค่อนทัวร์ค่าสนามไฟฟ้าแบบ 2 มิติของระบบสายส่งไฟฟ้า 3 เฟสบนด า 69 kV

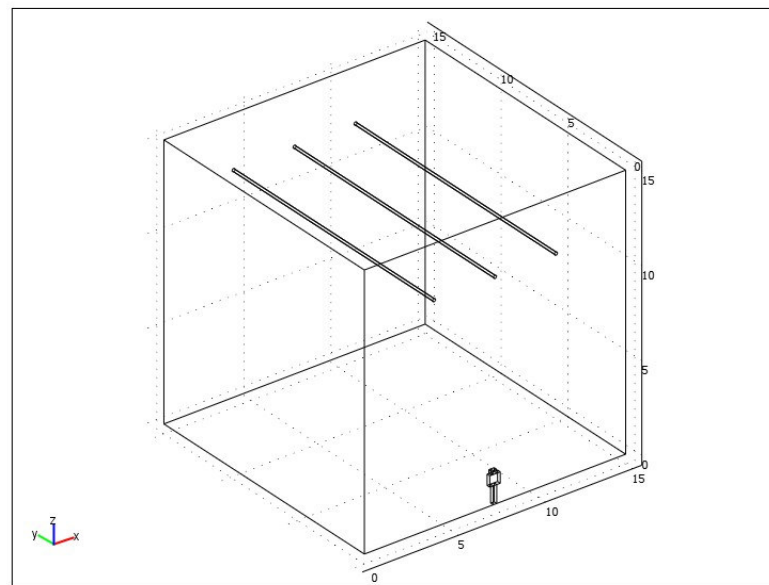
เมื่อ $V_A = 69\angle 0^\circ \text{ kV}$ $V_B = 69\angle -120^\circ \text{ kV}$ $V_C = 69\angle 120^\circ \text{ kV}$ ($x = 4.5 \text{ m}$)



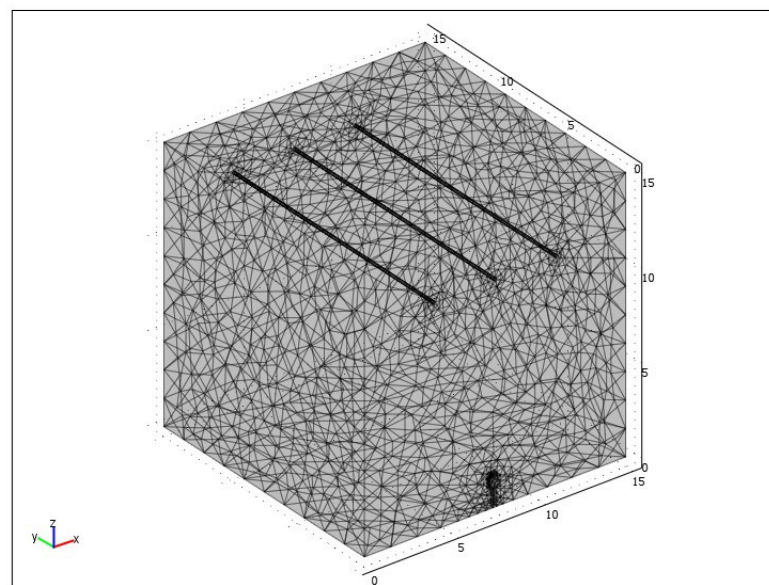
รูปที่ 7.30 ลักษณะค่าสนามไฟฟ้าแบบ 3 มิติบริเวณภายในระบบสายส่งไฟฟ้า 3 เฟสขนาด 69 kV
เมื่อ $V_A = 69\angle 0^\circ$ kV $V_B = 69\angle -120^\circ$ kV $V_C = 69\angle 120^\circ$ kV ($x = 4.5$ m)



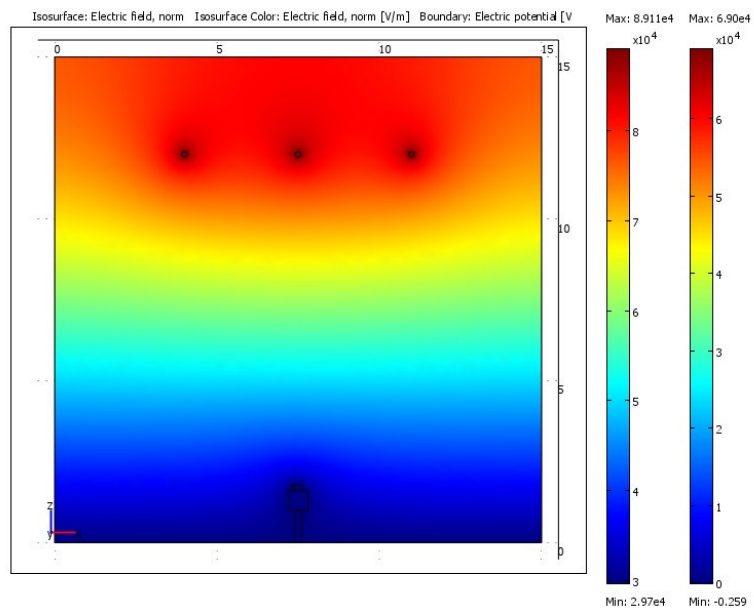
รูปที่ 7.31 ลักษณะค่าสนามไฟฟ้าแบบ 3 มิติบริเวณพื้นผิวภายนอกของระบบไฟฟ้า 3 เฟส 69 kV
เมื่อ $V_A = 69\angle 0^\circ$ kV $V_B = 69\angle -120^\circ$ kV $V_C = 69\angle 120^\circ$ kV ($x = 4.5$ m)



รูปที่ 7.32 โครงสร้างของระบบสายส่งไฟฟ้า 3 เฟสขนาด 69 kV ($x = 7.5 \text{ m}$)

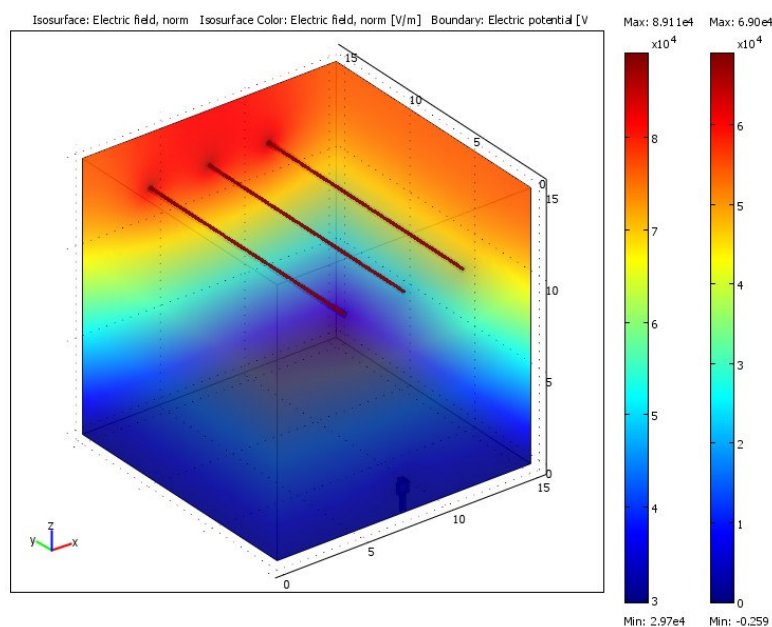


รูปที่ 7.33 การออกแบบกริดของระบบสายส่งไฟฟ้า 3 เฟสขนาด 69 kV ($x = 7.5 \text{ m}$)



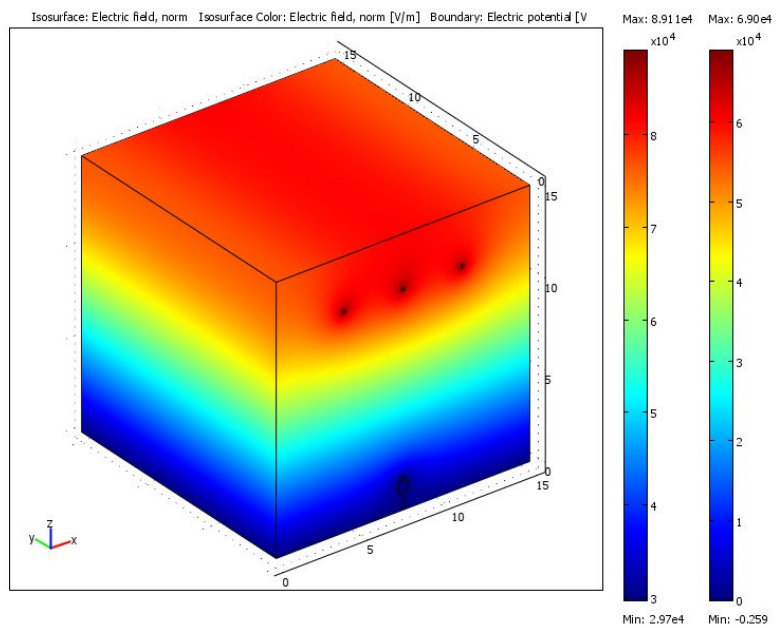
รูปที่ 7.34 ค่อนหัวร์ค่าสนามไฟฟ้าแบบ 2 มิติของระบบสายส่งไฟฟ้า 3 เฟสขนาด 69 kV

$$\text{เมื่อ } V_A = 69\angle 0^\circ \text{ kV } V_B = 69\angle -120^\circ \text{ kV } V_C = 69\angle 120^\circ \text{ kV} \quad (x = 7.5 \text{ m})$$



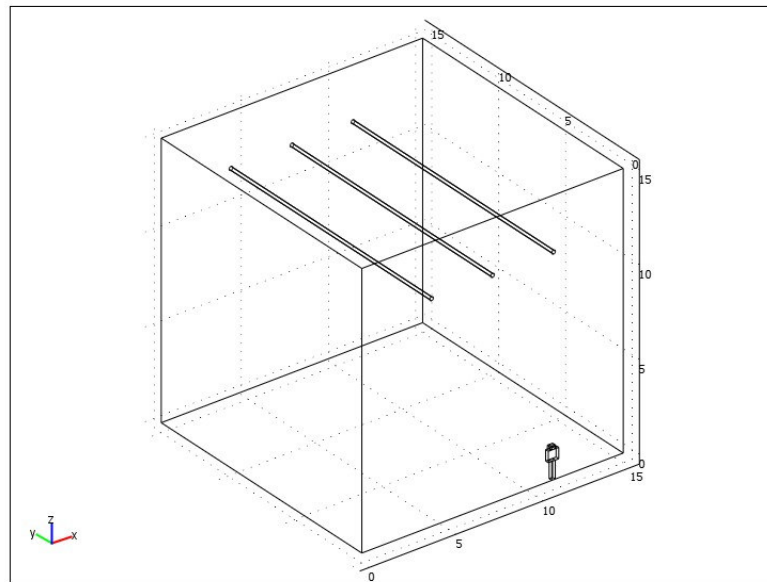
รูปที่ 7.35 ลักษณะค่าสนามไฟฟ้าแบบ 3 มิติบริเวณภายในระบบสายส่งไฟฟ้า 3 เฟสขนาด 69 kV

$$\text{เมื่อ } V_A = 69\angle 0^\circ \text{ kV } V_B = 69\angle -120^\circ \text{ kV } V_C = 69\angle 120^\circ \text{ kV} \quad (x = 7.5 \text{ m})$$

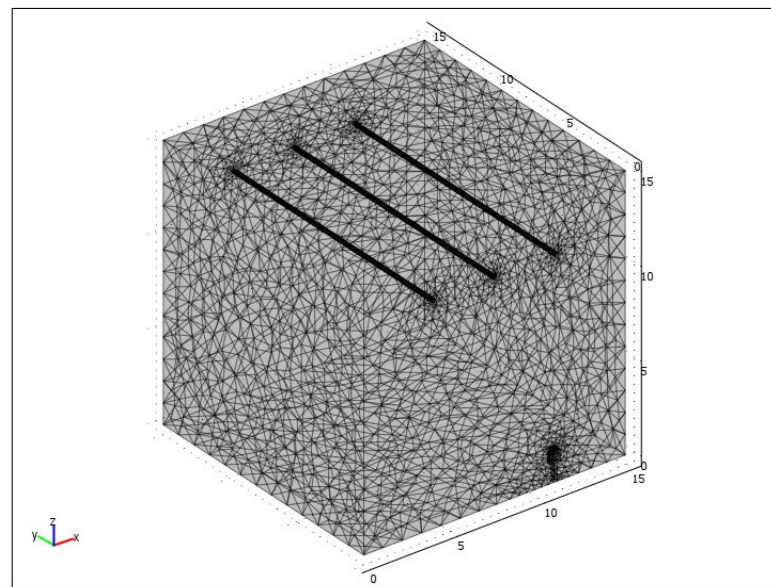


รูปที่ 7.36 ลักษณะค่าสนามไฟฟ้าแบบ 3 มิติบริเวณพื้นผิวภายนอกของระบบไฟฟ้า 3 เฟส 69 kV

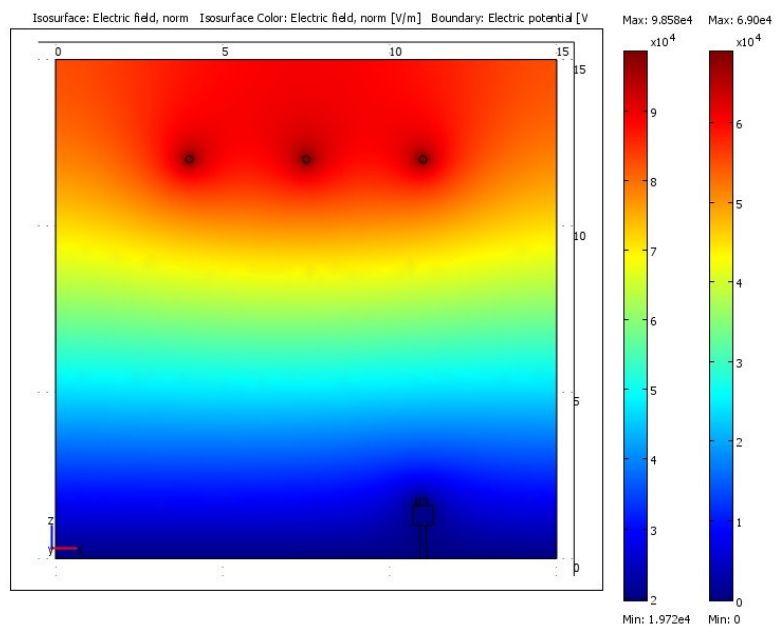
เมื่อ $V_A = 69\angle 0^\circ$ kV $V_B = 69\angle -120^\circ$ kV $V_C = 69\angle 120^\circ$ kV ($x = 7.5$ m)



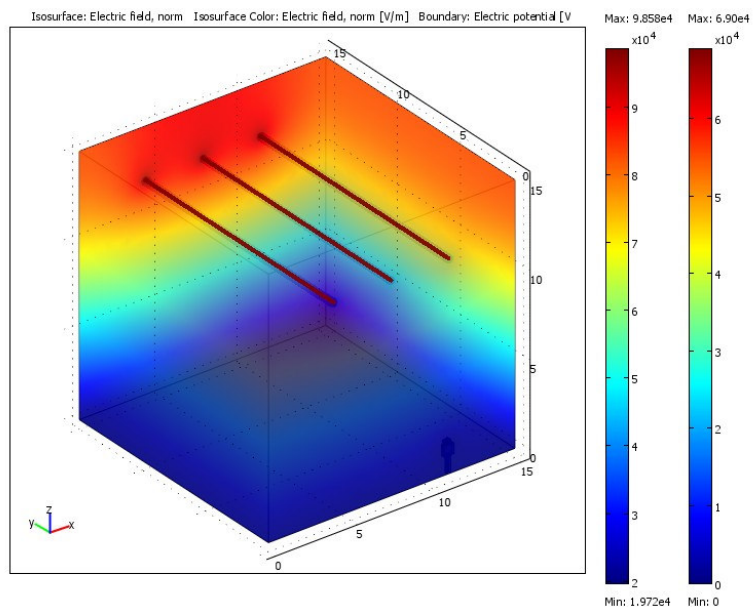
รูปที่ 7.37 โครงสร้างของระบบสายส่งไฟฟ้า 3 เฟสขนาด 69 kV ($x = 10.5$ m)



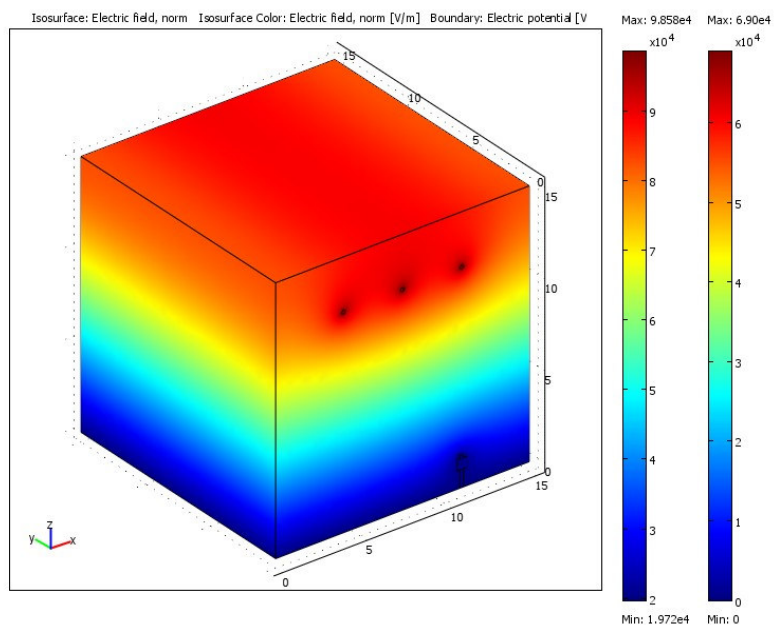
รูปที่ 7.38 การออกแบบกริดของระบบสายส่งไฟฟ้า 3 เฟสบนด า 69 kV ($x = 10.5 \text{ m}$)



รูปที่ 7.39 คณทวาร์ค่าสนามไฟฟ้าแบบ 2 มิติของระบบสายส่งไฟฟ้า 3 เฟสบนด า 69 kV
เมื่อ $V_A = 69\angle 0^\circ \text{ kV}$ $V_B = 69\angle -120^\circ \text{ kV}$ $V_C = 69\angle 120^\circ \text{ kV}$ ($x = 10.5 \text{ m}$)

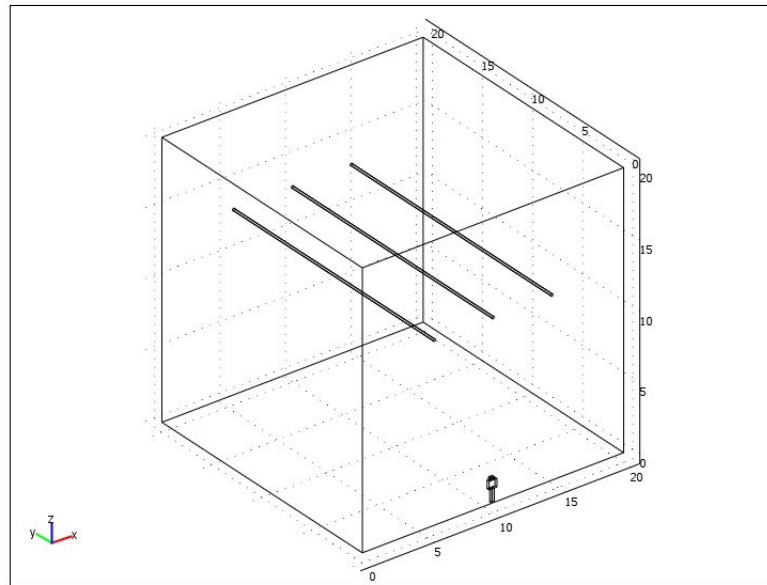


รูปที่ 7.40 ลักษณะค่าสนามไฟฟ้าแบบ 3 มิติบริเวณภายในระบบสายส่งไฟฟ้า 3 เฟสขนาด 69 kV
เมื่อ $V_A = 69\angle 0^\circ$ kV $V_B = 69\angle -120^\circ$ kV $V_C = 69\angle 120^\circ$ kV ($x = 10.5$ m)

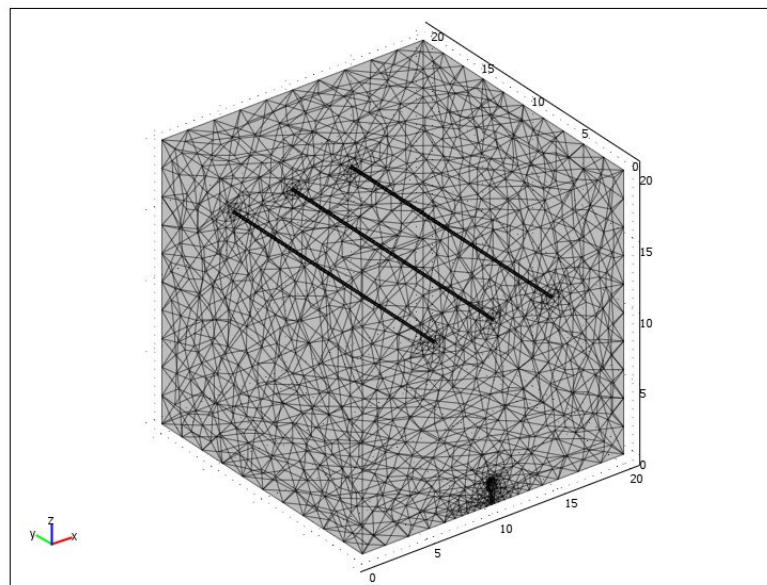


รูปที่ 7.41 ลักษณะค่าสนามไฟฟ้าแบบ 3 มิติบริเวณพื้นผิวภายนอกของระบบไฟฟ้า 3 เฟส 69 kV
เมื่อ $V_A = 69\angle 120^\circ$ kV $V_B = 69\angle 0^\circ$ kV $V_C = 69\angle -120^\circ$ kV ($x = 10.5$ m)

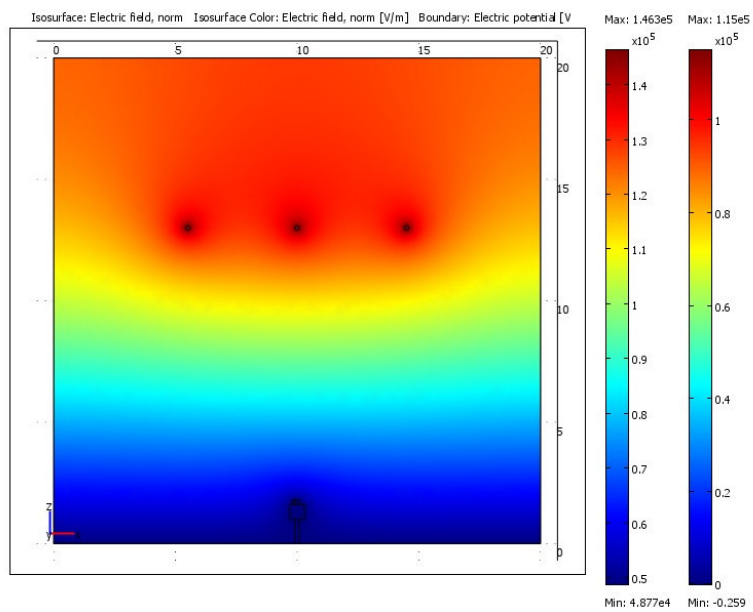
- ระบบสายส่งไฟฟ้า 3 เฟสขนาด 115 kV



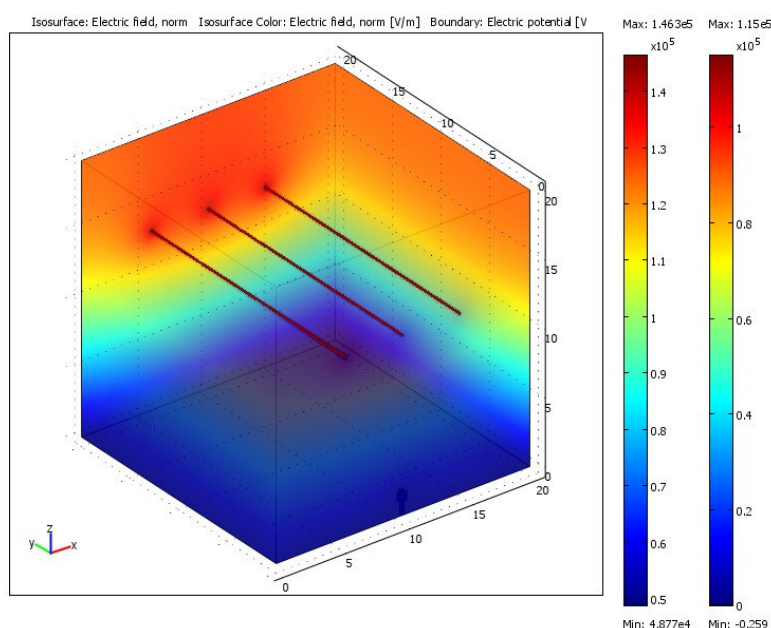
รูปที่ 7.42 โครงสร้างของระบบสายส่งไฟฟ้า 3 เฟสขนาด 115 kV ($x = 10 \text{ m}$)



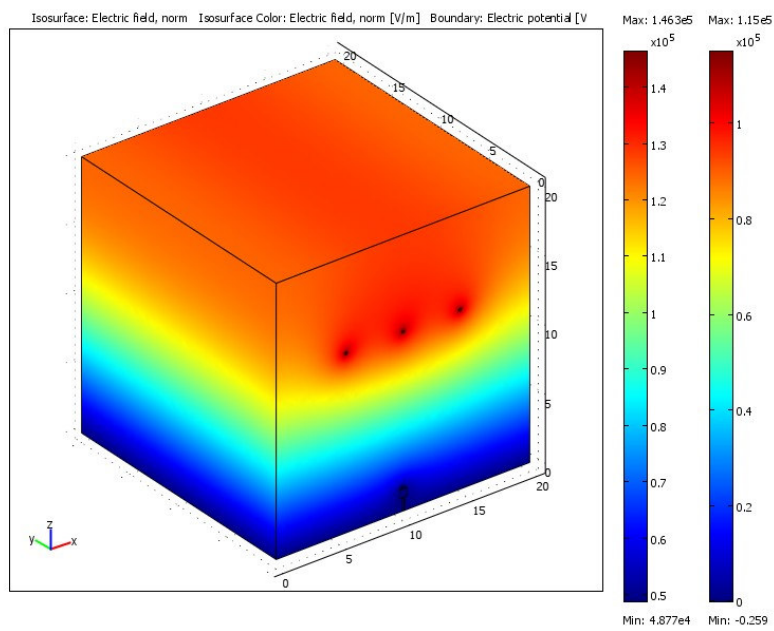
รูปที่ 7.43 การออกแบบกริดของระบบสายส่งไฟฟ้า 3 เฟสขนาด 115 kV ($x = 10 \text{ m}$)



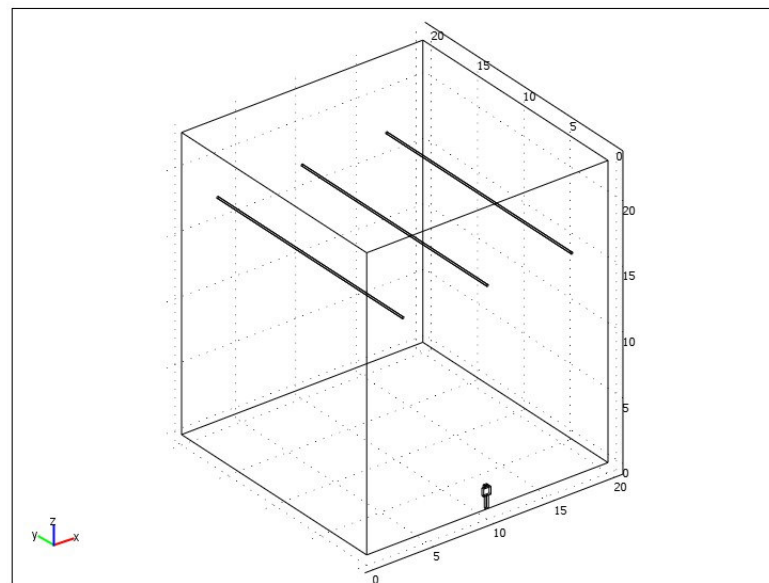
รูปที่ 7.44 ค่าทั่วไปสำหรับไฟฟ้าแบบ 2 มิติของระบบสายส่งไฟฟ้า 3 เฟสขนาด 115 kV
เมื่อ $V_A = 115\angle 0^\circ$ kV $V_B = 115\angle -120^\circ$ kV $V_C = 115\angle 120^\circ$ kV ($x = 10$ m)



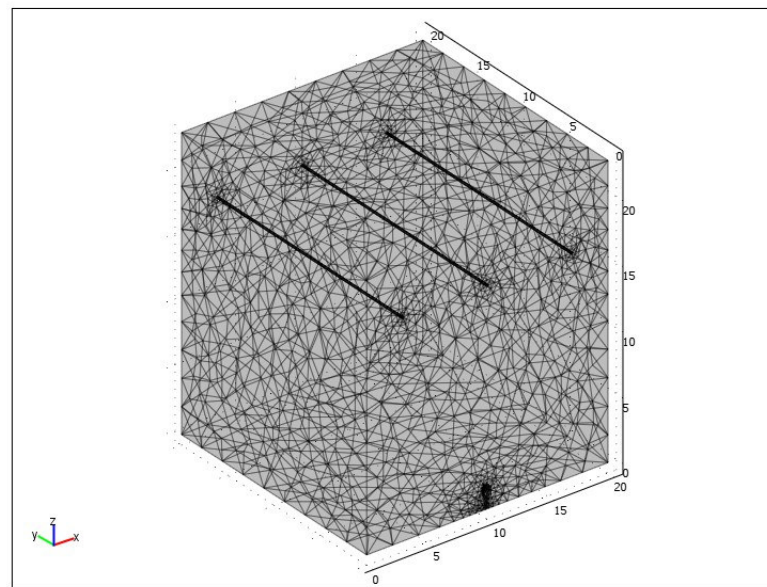
รูปที่ 7.45 ลักษณะค่าสนามไฟฟ้าแบบ 3 มิติบริเวณภายในระบบสายส่งไฟฟ้า 3 เฟสขนาด 115kV
เมื่อ $V_A = 115\angle 0^\circ$ kV $V_B = 115\angle -120^\circ$ kV $V_C = 115\angle 120^\circ$ kV ($x = 10$ m)



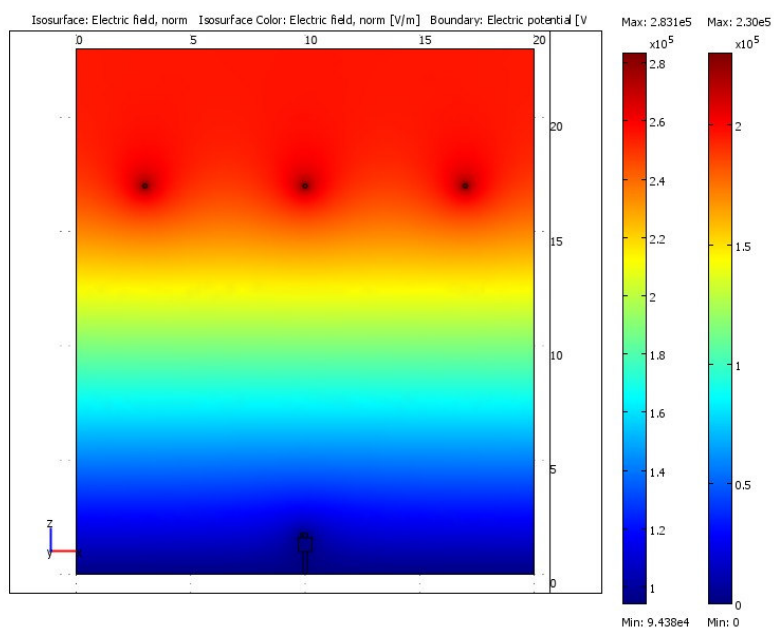
รูปที่ 7.46 ลักษณะค่าสนามไฟฟ้าแบบ 3 มิติบริเวณพื้นผิวภายนอกของระบบไฟฟ้า 3 เฟส 115 kV
 เมื่อ $V_A = 115\angle 0^\circ$ kV $V_B = 115\angle -120^\circ$ kV $V_C = 115\angle 120^\circ$ kV ($x = 10$ m)



รูปที่ 7.47 โครงสร้างของระบบสายส่งไฟฟ้า 3 เฟสขนาด 230 kV ($x = 10$ m)

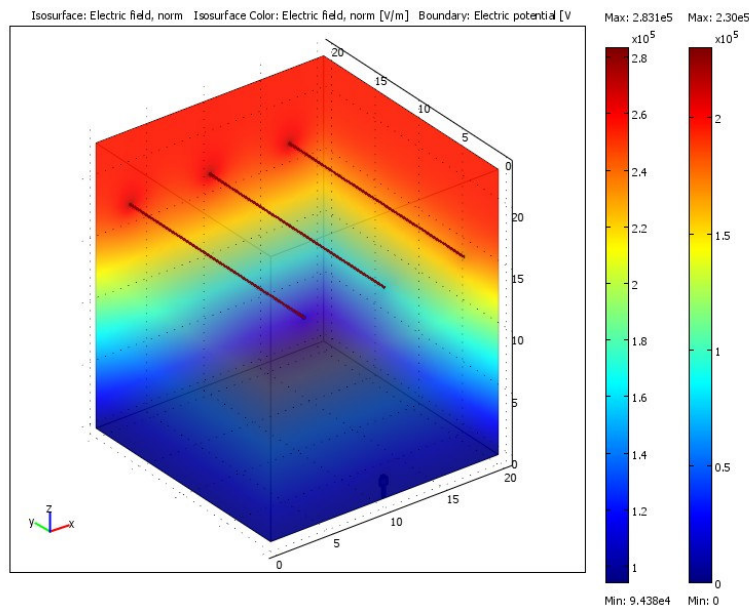


รูปที่ 7.48 การออกแบบกริดของระบบสายส่งไฟฟ้า 3 เฟสบนด้วย 230 kV ($x = 10$ m)



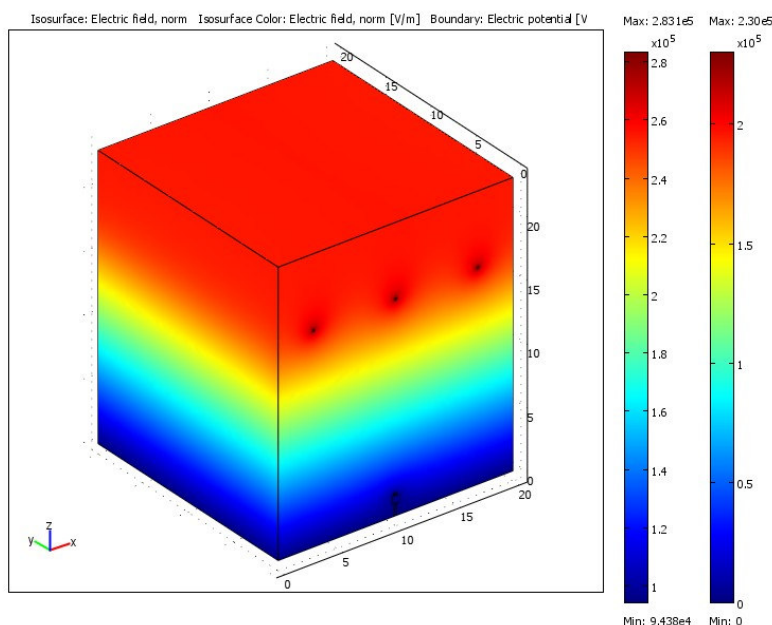
รูปที่ 7.49 ค่าหัวร์ค่าสนามไฟฟ้าแบบ 2 มิติของระบบสายส่งไฟฟ้า 3 เฟสบนด้วย 230 kV

เมื่อ $V_A = 230\angle 0^\circ$ kV $V_B = 230\angle -120^\circ$ kV $V_C = 230\angle 120^\circ$ kV ($x = 10$ m)



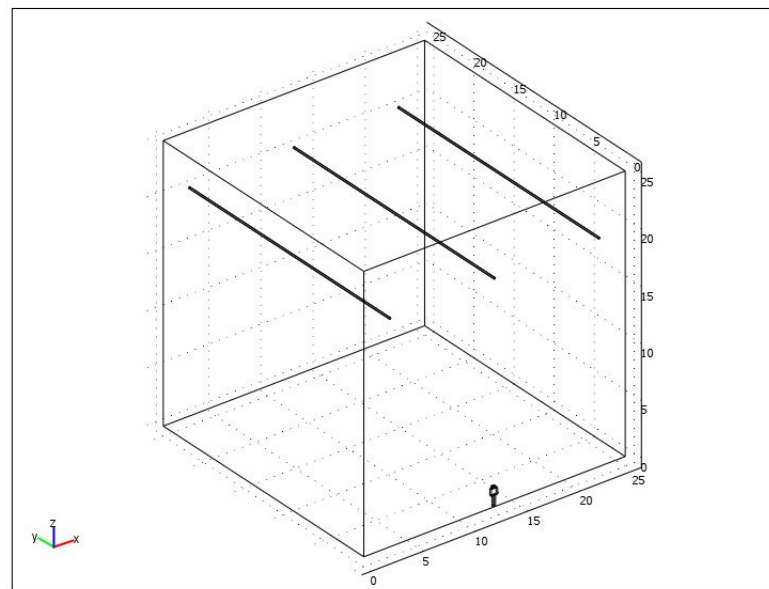
รูปที่ 7.50 ลักษณะค่าสนามไฟฟ้าแบบ 3 มิติบริเวณภายในระบบสายส่งไฟฟ้า 3 เฟสขนาด 230 kV

เมื่อ $V_A = 230\angle 0^\circ$ kV $V_B = 230\angle -120^\circ$ kV $V_C = 230\angle 120^\circ$ kV ($x = 10$ m)

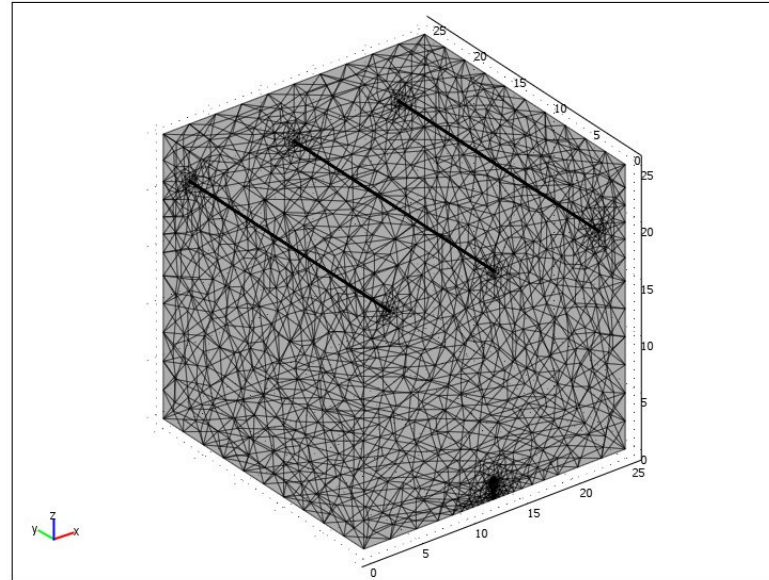


รูปที่ 7.51 ลักษณะค่าสนามไฟฟ้าแบบ 3 มิติบริเวณพื้นผิวภายนอกของระบบไฟฟ้า 3 เฟส 230 kV

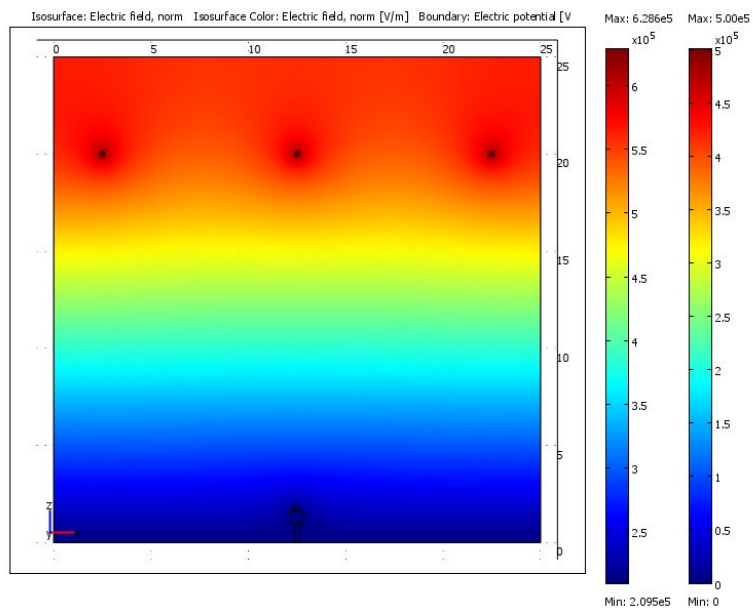
เมื่อ $V_A = 230\angle 0^\circ$ kV $V_B = 230\angle -120^\circ$ kV $V_C = 230\angle 120^\circ$ kV ($x = 10$ m)



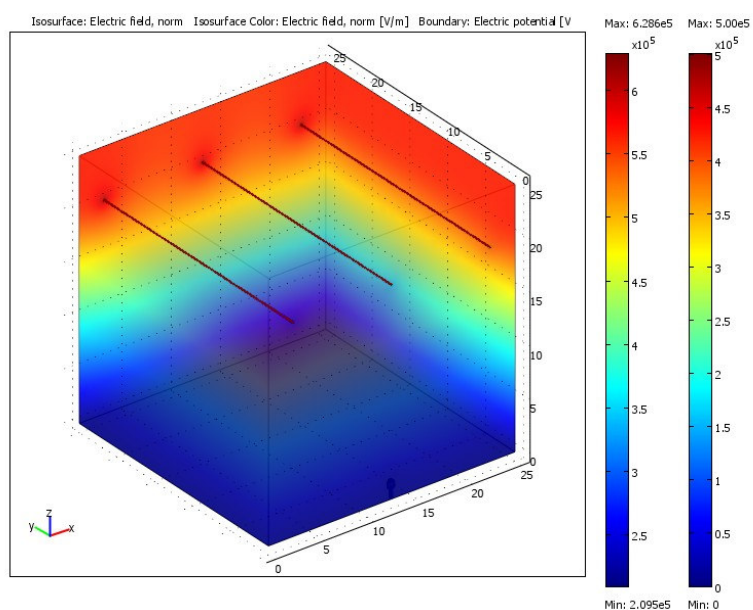
รูปที่ 7.52 โครงสร้างของระบบสายส่งไฟฟ้า 3 เฟสบนดิน 500 kV ($x = 12.5 \text{ m}$)



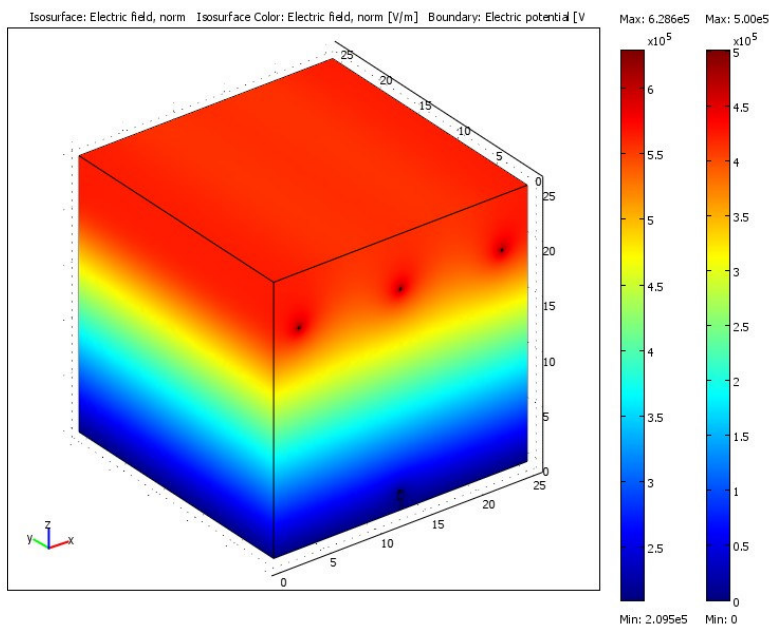
รูปที่ 7.53 การออกแบบกริดของระบบสายส่งไฟฟ้า 3 เฟสบนดิน 500 kV ($x = 12.5 \text{ m}$)



รูปที่ 7.54 ค่อนทั่ว์ค่าสนามไฟฟ้าแบบ 2 มิติของระบบสายส่งไฟฟ้า 3 เพลสนาด 500 kV
เมื่อ $V_A = 500\angle 0^\circ$ kV $V_B = 500\angle -120^\circ$ kV $V_C = 500\angle 120^\circ$ kV ($x = 12.5$ m)



รูปที่ 7.55 ลักษณะค่าสนามไฟฟ้าแบบ 3 มิติบริเวณภายในระบบสายส่งไฟฟ้า 3 เพลสนาด 500 kV
เมื่อ $V_A = 500\angle 120^\circ$ kV $V_B = 500\angle 0^\circ$ kV $V_C = 500\angle -120^\circ$ kV ($x = 12.5$ m)



รูปที่ 7.56 ลักษณะค่าสนามไฟฟ้าแบบ 3 มิติบริเวณพื้นผิวภายนอกของระบบไฟฟ้า 3 เฟส 500 kV
เมื่อ $V_A = 500\angle 0^\circ$ kV $V_B = 500\angle -120^\circ$ kV $V_C = 500\angle 120^\circ$ kV ($x = 12.5$ m)

7.5 สรุป

การจำลองผลเพื่อศึกษาผลผลกระทบค่าสนามไฟฟ้าที่เกิดขึ้น จากการใช้งานโทรศัพท์มือถือ ของมนุษย์ภายในบริเวณสายส่งไฟฟ้าขนาดต่าง ๆ แบบ 3 มิติด้วยโปรแกรมสำเร็จรูป COMSOL™ Multiphysics Version 3.4 สามารถแสดงให้เห็นลักษณะการกระจายค่าสนามไฟฟ้าที่เกิดขึ้นรอบ ๆ โทรศัพท์มือถือ ณ ขณะที่มนุษย์ใช้งานโทรศัพท์บริเวณสายส่งไฟฟ้า นอกจากนี้ยังเห็นการเปลี่ยนแปลงของสนามไฟฟ้า เมื่อตัวนำในสายส่งมีการเปลี่ยนขนาดค่าสนามไฟฟ้าไป รวมถึงปริมาณค่าสนามไฟฟ้าสูงสุดและต่ำสุดของระบบไฟฟ้า โดยเฉพาะอย่างยิ่งระบบไฟฟ้า 3 เฟสสมดุลขนาด 230 kV และ 500 kV ที่มีปริมาณค่าสนามไฟฟ้าเกิน 5 kV/m ซึ่งผลการจำลองแบบ 3 มิติก็มีผลสอดคล้องเหมือนแบบ 2 มิติในบทที่ 6 ที่ผ่านมาทุกประการ ซึ่งอาจก่อให้เกิดอันตรายอย่างยิ่งต่อมนุษย์ที่ใช้งานโทรศัพท์มือถือในขณะที่เข้าใกล้บริเวณระบบไฟฟ้า 3 เฟสสมดุล

บทที่ 8

สรุปและข้อเสนอแนะ

8.1 สรุป

งานวิจัยวิทยานิพนธ์นี้ ได้นำเสนอแบบจำลองทางคณิตศาสตร์และการจำลองผลค่าสนามไฟฟ้าที่เกิดขึ้นภายในระบบสายส่งไฟฟ้า 1 เฟส 3 เฟสสมดุล และ 3 เฟสไม่สมดุล เพื่อต้องการคุณลักษณะของค่าสนามไฟฟ้าที่เกิดขึ้นกับมนุษย์ในขณะใช้งานโทรศัพท์มือถือในบริเวณดังกล่าว โดยระบบสายส่งไฟฟ้า 1 เฟสเป็นระบบขนาด 220 V, 22 kV และ 69 kV ส่วนระบบไฟฟ้า 3 เฟสเป็นระบบขนาด 69 kV, 115 kV, 230 kV และ 500 kV การจำลองผลด้วยโปรแกรมที่ประดิษฐ์ขึ้นเองได้ใช้ระเบียบวิธีไฟไนท์ดิฟเฟอร์เรนท์ และระเบียบวิธีไฟไนท์อิลิเมนท์แบบ 2 มิติ โดยตรวจสอบความถูกต้องในการคำนวณด้วยการเปรียบเทียบ กับผลที่ได้จากโปรแกรมสำเร็จรูป PDETOOL โดย PDETOOL เป็นกล่องเครื่องมืออันหนึ่งภายในโปรแกรม MATLABTM ซึ่งเป็นโปรแกรมที่ได้รับความเชื่อถือ และได้รับความนิยมอย่างแพร่หลายในงานวิจัยทางค้านิวเคลียร์ ที่สำคัญในการจำลองผลค่าสนามไฟฟ้า คือ การค้นหาสมการเชิงอนุพันธ์ที่สามารถอธิบายพฤติกรรมการกระจายค่าสนามไฟฟ้าของสายส่งได้อย่างถูกต้อง ในงานวิจัยนี้ยังได้ทำการจำลองผลค่าสนามไฟฟ้าของระบบสายส่งไฟฟ้า 3 เฟสสมดุล ขณะที่มนุษย์ใช้งานโทรศัพท์มือถือในบริเวณดังกล่าวแบบ 3 มิติด้วยโปรแกรมสำเร็จรูป COMSOLTM Multiphysics Version 3.4 ซึ่งโปรแกรมนี้ก็ได้ใช้ระเบียบวิธีไฟไนท์อิลิเมนท์ในการหาผลลัพธ์

สำหรับการสำรวจปริศนาวรรณกรรมและงานวิจัยที่เกี่ยวข้องภายในบทที่ 2 ถือเป็นฐานที่สำคัญในการดำเนินงานวิจัยวิทยานิพนธ์ วัดถูกประสงค์เพื่อเป็นแนวทางสำหรับการประยุกต์ และพัฒนาต่อยอดองค์ความรู้ในงานวิจัย นอกจากนี้การศึกษาทฤษฎีและหลักการต่างๆ ที่เกี่ยวข้องกับงานวิจัยในบทที่ 3 ทั้งเรื่องสนามไฟฟ้า ระบบสายส่งไฟฟ้า โทรศัพท์มือถือ ระเบียบวิธีไฟไนท์ดิฟเฟอร์เรนท์ และระเบียบวิธีไฟไนท์อิลิเมนท์ได้ถูกนำมาใช้ในการดำเนินงานวิจัย ส่วนการดำเนินงานในบทที่ 4 เป็นขั้นตอนการพัฒนาแบบจำลองทางคณิตศาสตร์ของสนามไฟฟ้าในระบบสายส่งไฟฟ้า และขั้นตอนต่างๆ ในการประยุกต์ใช้ระเบียบวิธีไฟไนท์ดิฟเฟอร์เรนท์ ในทำนองเดียวกันสามารถพัฒนาแบบจำลองทางคณิตศาสตร์ของสนามไฟฟ้าในระบบสายส่งไฟฟ้า ด้วยระเบียบวิธีไฟไนท์อิลิเมนท์ได้เช่นกัน โดยขั้นตอนต่างๆ ในการประยุกต์ใช้ระเบียบวิธีไฟไนท์อิลิเมนท์ จะสามารถแสดงรายละเอียดไว้ใน บทที่ 5 หลังจากทราบรายละเอียดของระเบียบวิธี

ในการคำนวณหาค่าสนามไฟฟ้าของระบบสายส่งจึงสามารถแสดงผลการคำนวณของระเบียบวิธีทั้งสองแบบ 2 มิติ ได้ภายในบทที่ 6 โดยหัวข้อนี้จะนำเสนอผลการจำลองการกระจายค่าสนามไฟฟ้าของระบบสายส่งไฟฟ้า 1 เฟสขนาด 220 V, 22 kV และ 69 kV ระบบไฟฟ้า 3 เฟสขนาด 69 kV, 115 kV, 230 kV และ 500 kV ที่เกิดจากการคำนวณด้วยระเบียบวิธีไฟในท่อฟเฟอร์เรนท์ และระเบียบวิธีไฟในท่ออลิเมนท์ โดยการจำลองผลของระบบแต่ละขนาดทั้งกรณีระบบสายส่งไฟฟ้า 1 เฟส ระบบสายส่งไฟฟ้า 3 เฟสสมดุล และระบบสายส่งไฟฟ้า 3 เฟสไม่สมดุล จะทำการเลื่อนตำแหน่งของมนุษย์ ในขณะใช้งานโทรศัพท์มือถือด้วยกัน 3 ตำแหน่ง เพื่อให้เห็นความแตกต่างของลักษณะการกระจายค่าสนามไฟฟ้าที่อาจส่งผลกระทบต่อมนุษย์ได้ หลังจากนั้นทำการเปรียบเทียบผลเฉลยค่าสนามไฟฟ้าของระเบียบวิธีไฟในท่อฟเฟอร์เรนท์ และระเบียบวิธีไฟในท่ออลิเมนท์ กับโปรแกรมสำเร็จรูป PDETOOL เพื่อยืนยันความถูกต้องจากการคำนวณผลดังกล่าว ซึ่งได้ผลออกมาเป็นที่น่าพอใจ โดยผลลัพธ์ที่ได้มีความสอดคล้องไปในทางเดียวกัน การดำเนินการในบทที่ 7 เป็นการใช้โปรแกรมสำเร็จรูป COMSOL Multiphysics Version 3.4 โดยนำเสนอผลการจำลองการกระจายค่าสนามไฟฟ้าของระบบสายส่งไฟฟ้า 1 เฟสขนาด 220 V, 22 kV และ 69 kV ระบบไฟฟ้า 3 เฟสสมดุล และระบบไฟฟ้า 3 เฟสขนาด 69 kV, 115 kV, 230 kV และ 500 kV จากรายละเอียดภายในแต่ละบท ได้ดำเนินการบรรลุวัตถุประสงค์ของงานวิจัยที่น่าสนใจที่สุด โดยสามารถสรุปประเด็นได้ว่า จากการจำลองค่าสนามไฟฟ้าทั้งหมดของระบบสายส่งไฟฟ้า 1 เฟสขนาด 220 V, 22 kV และ 69 kV ระบบไฟฟ้า 3 เฟสไม่สมดุลขนาด 230 kV จะเห็นว่าระบบไฟฟ้า 1 เฟส การใช้งานโทรศัพท์มือถือในบริเวณระบบดังกล่าวไม่ก่อให้เกิดอันตรายแกมนุษย์ที่ใช้งานโทรศัพท์มือถือ เพราะเนื่องจากค่าสนามไฟฟ้าสูงสุดของระบบไม่เกินค่ามาตรฐานขององค์กร IRPA (the international radiation protection association) 5 kV/m ในขณะที่ระบบไฟฟ้า 3 เฟสสมดุลและ 3 เฟสไม่สมดุลจะมีปริมาณค่าสนามไฟฟ้าสูงเกิน 5 kV/m จึงอาจเป็นเหตุก่อให้เกิดอันตรายต่อมนุษย์ที่ใช้งานโทรศัพท์มือถือในขณะที่เข้าใกล้บริเวณระบบไฟฟ้า 3 เฟส ได้

8.2 ข้อเสนอแนะงานวิจัยในอนาคต

1. ปรับเปลี่ยนการแก้สมการเชิงเส้นจากการใช้มีเมทริกซ์ปกผัน มาเป็นวิธีไบ-คอนจูเกต เกรเดียนต์ (bi-conjugate gradient: BCG) เพราะเนื่องจากเมทริกซ์ของระบบสมการรวมของงานวิจัย นี้เป็นเมทริกซ์ขนาดใหญ่ ซึ่งวิธีดังกล่าวจะเหมาะสมกับปัญหาที่มีขนาดใหญ่ โดยการมีขนาดของ เมทริกซ์มากกว่า $1,000 \times 1,000$ บีน ໄປ ซึ่งจะช่วยลดระยะเวลาในการแก้สมการเชิงเส้นของระบบ
2. การแก้สมการเชิงเส้นสามารถพัฒนาการแก้สมการ ได้โดยอาศัยการแก้สมการเฉพาะช่วง ความกว้างແแคบ หรือ แบนด์วิดท์ (bandwidth) ของเมทริกซ์ เนื่องจากลักษณะการวางแผนข้อมูลภายใน เมทริกซ์ระบบสมการรวมมีความเป็นระเบียบสูง โดยปรากฏค่าที่ไม่เป็นศูนย์ในบริเวณแนวเส้น ทแยงมุมเป็นส่วนใหญ่ ซึ่งจะช่วยประยุกต์หน่วยความจำและลดระยะเวลาในการแก้สมการลง
3. พัฒนาการออกแบบกริดของระบบเบียบวิธีไฟฟ้าในท่อโลหะอัตโนมัติ เพื่อ เพิ่มความสะดวกในการวิเคราะห์ค่าสนามไฟฟ้าหรือในงานวิจัยด้านอื่น ๆ
4. ขยายผลงานวิจัย โดยการคำนวณหาค่าสนามไฟฟ้าของระบบสายส่งที่มีการวางแผนตัวนำใน ลักษณะต่าง ๆ ที่นอกเหนือไปจากงานวิจัย
5. ขยายผลงานวิจัย โดยพิจารณาความไม่เป็นเชิงเส้นของสายส่งตัวนำ ซึ่งต้องพิจารณา พื้นที่หน้าตัดของตัวนำด้วย (พิจารณาตัวนำที่ไม่เป็นจุด)

รายการอ้างอิง

- เฉลิมพล น้ำค้าง. (2538). **ทฤษฎีสนามไฟฟ้าและสนามแม่เหล็ก** (พิมพ์ครั้งที่ 4). กรุงเทพฯ: ศูนย์สื่อเสริมกรุงเทพ.
- นิรันดร์ คำประเสริฐ. (2544). **วิศวกรรมแม่เหล็กและวิศวกรรมไมโครเวฟ เล่ม2.** (พิมพ์ครั้งที่ 3). กรุงเทพฯ: ศูนย์สื่อเสริมกรุงเทพ.
- นุชิต ทิพย์เจริญ, พิทักษ์ ปีนองค์, และศิริวัฒน์ โพธิเวชกุล. (2546). การวิเคราะห์ผลกระบวนการ
ไฟฟ้าระหว่างสายส่งไฟฟ้าแรงสูงกระแสตรงและสายส่งไฟฟ้าแรงสูงกระแสสลับบริเวณใกล้
สายส่งไฟฟ้าแรงสูง. การประชุมวิชาการทางวิศวกรรมไฟฟ้า ครั้งที่26.
- ปราโมทย์ เดชะอําไฟ. (2542). **ไฟฟ้าตัวอย่างในงานวิศวกรรม** (พิมพ์ครั้งที่ 2). กรุงเทพฯ:
จุฬาลงกรณ์มหาวิทยาลัย.
- ปราโมทย์ เดชะอําไฟ. (2544). **ระเบียบวิธีเชิงตัวเลขในงานวิศวกรรม** (พิมพ์ครั้งที่ 3). กรุงเทพฯ:
จุฬาลงกรณ์มหาวิทยาลัย.
- สมาคมวิศวกรรมสถานแห่งประเทศไทยในพระบรมราชูปถัมภ์. (2547). **แนวทางการออกแบบสาย
ส่งและจ่ายไฟฟ้า** (พิมพ์ครั้งที่ 1). กรุงเทพฯ: คณะกรรมการวิชาการสาขาวิศวกรรมไฟฟ้า.
- Bickford, W. B. (1994). **A first course in the finite element method** (2nd ed.). USA: IRWIN.
- Bo, Z., et al. (2006). Numerical analysis of electric field distribution around composite insulator
and head of transmission tower. **IEEE Transactions on Power Delivery**. 21(2):
959-965.
- Chari, M. V. K., and Silvester, P. P. (1980). **Finite elements in electrical and magnetic field
problems**. New York: John Wiley & Sons, Inc.
- Clayton R. P. (2004). **Electromagnetics for engineerins** (2nd ed.). United State of America:
John Wiley & Sons, Inc.
- Daniele, D., Massimo, G., and Enrico, P. (2004). MV line electric field evaluation near a concrete
pole. **IEEE Transactions on Magnetics**. 40(2): 718-721.
- Dragan, P. (2007). **Advanced modeling in computational electromagnetic compatibility** (1st
ed.). New Jersey: John Wiley & Sons, Inc.

- El, S. T. E. D. (2005). A probabilistic approach to exposure assessment of power lines electric field. **IEEE Transactions on power delivery.** 20(2): 887-893.
- Elhimbawy, M. A., Nguyen, T. T., Jennings, L., and Keerthipala, W. W. L. (2002). Calculation of electromagnetic field established by power transmission line using finite difference techniques. **IEEE Transactions on Electrical and Computer Engineering.** 9(2): 311-316.
- Farzaneh, M., Volat, C. (2000). Electric Field Modelling Around and Ice-covered Insulator Using Boundary Element Method. **Conference Record of the 2000 IEEE International Symposium on Electrical Insulation.** : 349-355.
- Gao, Y., and Yu, L. (1998, October 22-24). Determination of Dangerous Region of the Electromagnetic Pollution Caused by the Electric Fields around Power Line. **1998 International Conference on Communication Technology Proceedings, ICCT'98.** 4(1): 787-791.
- George, A., and Liu, J. W. (1981). Computer solution of large sparse linear positive definite Systems. Prentice-Hall.
- Hadi, S. (1999). Power System Analysis. Senior Consulting Edition (3rd ed.). New York: McGraw Hill.
- Huebner, K. H., Dewhirst, D. L., Smith, D. E., and Byrom, T. G. (2001). **The finite element method for engineers** (4th ed.). USA: John Wiley & Sons, Inc.
- Janischewskyj, G. G. (1979). Finite element solution for electric fields of coronating DC transmission lines. **IEEE Transactions on PAS.** 98(3): 1000-1012.
- Jinliang, H., et al. (2004). Electromagnetic environment analysis of a software park near transmission lines. **IEEE Transactions on Industry Applications.** 40(4): 995-1002.
- Kanya Kumari, M., Rajesh Kumari, O., Nambudiri, P.V.V., and Srinivasan, K.N. (1999). Computation of electrical environmental effects of transmission lines. **1999 Eleventh International Symposium (Conf. Publ. No. 467) on High Voltage Engineering.**: 160-163.

- Kay, H., Ronny, M., and Ronnie B. (1995). Numerical method to evaluate the electromagnetic field below overhead transmission lines and their measurement. **Proceedings of the 1995 First IEEE International Caracas Conference on Devices, Circuits and Systems.**:32-36.
- Kothari, N. (2003). **Modern Power System Analysis** (3rd ed.). New Delhi: Mc-Graw Hill.
- Krajewski, W. (1997). BEM analysis of electric field excited by overhead HV lines erected in built-up areas. **IEEE Proceeding-Science, Measurement and Technology**.: 81-86.
- Kwon, Y. W., and Bang H. (2000). **The finite element method using MATLAB** (2nd ed.). Boca Raton: CRC Press.
- Larry, J. S. (1984). Applied finite element analysis (2nd ed.). USA: John Wiley & Sons, Inc.
- Lin, Z. (2000). The Electromagnetic Radiant and Environment Effect Evaluation of The High Voltage Transmission Line. **Electric Environment Protection**, 16(1): 35-38.
- Masashi, O., and Tatsuya, F. (2000). Numerical electric field analysis of simulated human brain. **IEEE Transactions on Magnetics**. 36(4): 712-716.
- Matthew N.O., Sadiku, Ph.D. (2000). **Numerical Techniques in Electromagnetics** (2nd ed.). New York: CRC.
- Qiong, W., et al. (2000). Electromagnetic environment of the overhead transmission line and electromagnetic pollution. **High Voltage Engineering**. 26(5): 24-26.
- Salon, S. J. (1995). **Finite element analysis of electrical machines**. USA: Kluwer Academic Publishers.
- Selim, S. S., Gokhan, A., and Cigden, G. C. (2003). Electric field measurements of different mobile handsets in near zone. **2003 IEEE International Symposium on Electromagnetic Compatibility**.:411-414.
- Shen, L. C., and Kong, J. A. (1995). **Applied electromagnetism** (3rd ed.). Boston: PWS Publishing Company.
- Silvester, P. P., and Ferrari, R. L. (1996). **Finite elements for electrical engineers** (3rd ed.). New York: Cambridge University Press.
- Shen, L. C., and Kong, J. A. (1995). **Applied electromagnetism** (3rd ed.). Boston: PWS Publishing Company.

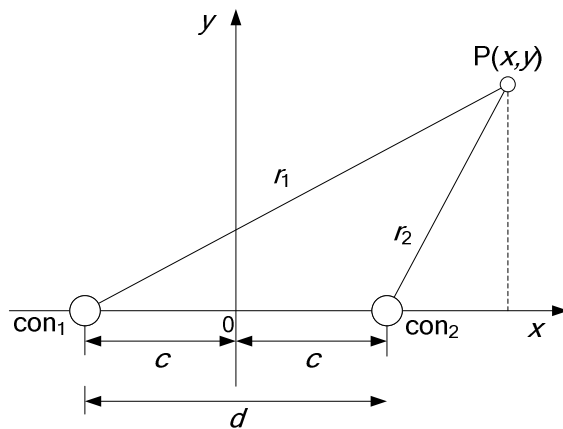
- Silvester, P. P., and Ferrari, R. L. (1996). **Finite elements for electrical engineers** (3rd ed.). New York: Cambridge University Press.
- Tomotaka, S. (1995). Calculation of large ion densities under HVDC transmission lines by the finite difference method. **IEEE Transactions on Power Delivery**. 10(4): 3562-3565.
- William, H. H., Jr. (1989). **Engineering electromagnetics** (5th ed.). Singapore: McGraw-Hill.
- Zhao, T., Sebo, S. A., and Kasten D.G. (1996). Calculation of single phase AC and monopolar DC hybrid corona effects. **IEEE Transactions on Power Delivery**. 11(3): 1454-1463.

ภาคผนวก ก

การพิสูจน์สมการคำนวณหาค่าสนามไฟฟ้าภายใต้ระบบสายสั้ง

การพิสูจน์สมการคำนวณหาค่าสถานที่ไฟฟ้าภายในใต้ระบบสายสั่ง

จากทฤษฎี: ประจุตัวนำและประจุตัวนำเทียมที่มีลักษณะเป็นเส้นที่มีความยาวอนันต์ทางห่างกันเป็นระยะทาง d ตามรูปที่ ก.1



รูปที่ ก.1 ประจุตัวนำและประจุตัวนำเทียมที่เป็นเส้นยาวอนันต์

- โดยที่ con_1 คือ ประจุตัวนำเทียม
 con_2 คือ ประจุตัวนำ
 $P(x, y)$ คือ จุดที่ต้องการพิจารณา
 d คือ ระยะห่างระหว่างประจุตัวนำและประจุตัวนำเทียม (m)
 c คือ ระยะห่างระหว่างตำแหน่งประจุกับแกน y (m)
 r_1 คือ ระยะห่างระหว่าง con_1 กับ $P(x, y)$ (m)
 r_2 คือ ระยะห่างระหว่าง con_2 กับ $P(x, y)$ (m)

จาก

$$\begin{aligned}
 v_p &= -\int_{r_0}^{r_1} \mathbf{E}_r dr + \left(-\int_{r_0}^{r_2} \mathbf{E}_r dr \right) \\
 &= \frac{\lambda}{2\pi\epsilon_0} \left(\ln \frac{r_0}{r_1} + \ln \frac{r_2}{r_0} \right) \\
 &= \frac{\lambda}{2\pi\epsilon_0} \ln \left(\frac{r_1}{r_2} \right)
 \end{aligned} \tag{ก-1}$$

จากรูปที่ ก.1 สามารถหาค่า r_1 และ r_2 โดยอาศัยความรู้พื้นฐานตรีโกณมิติจะได้ดังสมการที่ (ก-2) และ(ก-3) ตามลำดับ

$$r_1 = \sqrt{(x+c)^2 + y^2} \tag{ก-2}$$

$$r_2 = \sqrt{(x-c)^2 + y^2} \tag{ก-3}$$

แทนค่าสมการที่ (ก-2) และ (ก-3) ในสมการที่ (ก-1) จะได้ดังสมการ (ก-4)

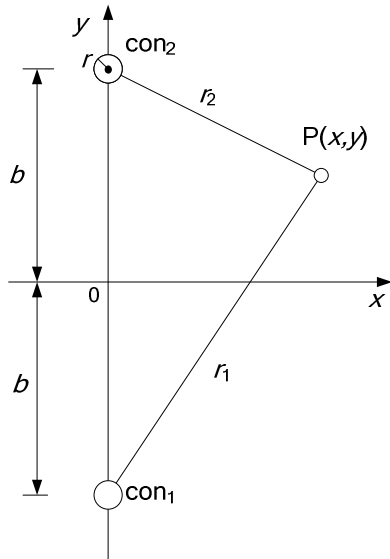
$$v_p = \frac{\lambda}{2\pi\epsilon_0} \ln \left(\frac{\sqrt{(x+c)^2 + y^2}}{\sqrt{(x-c)^2 + y^2}} \right) \tag{ก-4}$$

ดังนั้นถ้าระบบสายส่งมีตำแหน่งประจุตัวนำและประจุตัวนำเทียบตามรูปที่ ก.2 จะได้สมการที่ (ก-5) ที่ประดิษฐ์ขึ้นในทำนองเดียวกับสมการที่ (ก-4) เป็น

$$v_p = \frac{\lambda}{2\pi\epsilon_0} \ln \left(\frac{\sqrt{x^2 + (b+y)^2}}{\sqrt{x^2 + (b-y)^2}} \right) \tag{ก-5}$$

เมื่อ

$$r_1 = \sqrt{x^2 + (b+y)^2} \text{ และ } r_2 = \sqrt{x^2 + (b-y)^2}$$



รูปที่ ก.2 ประจุตัวนำและประจุตัวนำเทียมในระบบสายสั่ง

โดยที่ B คือ ระยะห่างระหว่างตำแหน่งประจุกับแกน x (m)

r คือ รัศมีภายในตัวนำ (m)

ถ้าพิจารณาค่า self potential ที่เกิดขึ้นเฉพาะตัวนำสายสั่งจะได้

$$\nu = \frac{\lambda}{2\pi\epsilon_0} \ln\left(\frac{2b}{r}\right) \quad (\text{ก-6})$$

นำสมการที่ (ก-5) หารด้วย (ก-6) หารกันตลอดทั้งสมการจะได้สมการที่ (ก-7)

$$\frac{v_p}{v} = \frac{\left(\frac{\lambda}{2\pi\varepsilon_0}\right) \ln\left(\frac{\sqrt{x^2 + (b+y)^2}}{\sqrt{x^2 + (b-y)^2}}\right)}{\left(\frac{\lambda}{2\pi\varepsilon_0}\right) \ln\left(\frac{2b}{r}\right)}$$

$$v_p = \frac{v}{n_{l1}} n_{lp} \quad (\text{ก-7})$$

เมื่อ

$$n_{lp} = \ln\left(\sqrt{\frac{x^2 + (b+y)^2}{x^2 + (b-y)^2}}\right) \text{ และ } n_{l1} = \ln\left(\frac{2b}{r}\right)$$

สามารถหาค่าสนามไฟฟ้าที่จุด $P(x,y)$ ณ ตำแหน่งใด ๆ ได้ดังสมการที่ (ก-8)

$$\mathbf{E} = \sqrt{\left|\frac{\partial v_p}{\partial x}\right|^2 + \left|\frac{\partial v_p}{\partial y}\right|^2}$$

$$\mathbf{E} = \frac{2bv}{n_{l1} \sqrt{x^4 + y^4 + b^4 + 2b^2x^2 + 2x^2y^2 - 2b^2y^2}} \quad (\text{ก-8})$$

ภาคผนวก ข

การประยุกต์ใช้เครื่องมือวัดค่าของเขต

การประยุกต์เงื่อนไขค่าขอบเขต

หลังจากได้ระบบสมการรวม ขั้นตอนสำคัญที่ต้องดำเนินการก่อนการแก้สมการหาผลเฉลย ทุกครั้ง คือ การประยุกต์เงื่อนไขค่าขอบเขต โดยในส่วนของภาคผนวกนี้ จะขอยกตัวอย่าง เมทริกซ์ ของระบบสมการรวมขนาดเล็ก เพื่อให้พอเห็นภาพการประยุกต์เงื่อนไขค่าขอบเขตดังกล่าว กำหนดให้ระบบสมการรวมที่เกิดขึ้นประกอบด้วย 4 สมการย่อยตามสมการที่ (ค-1)

$$\begin{bmatrix} 1 & 2 & 3 & 4 \\ 2 & 3 & 4 & 1 \\ 3 & 4 & 1 & 2 \\ 4 & 1 & 2 & 3 \end{bmatrix} \begin{bmatrix} x_1 \\ x_2 \\ x_3 \\ x_4 \end{bmatrix} = \begin{bmatrix} 10 \\ 20 \\ 30 \\ 40 \end{bmatrix} \quad (\text{ค-1})$$

โดยสมมติให้ ปัญหาดังกล่าวเป็นปัญหาค่าสถานะไฟฟ้าภายในระบบสายส่งซึ่งทราบค่า $x_3 = 100$ V/m จากสมการที่ (ค-1) สามารถดัดแปลงให้อยู่ในรูปของการประยุกต์เงื่อนไขค่าขอบเขตได้ดัง สมการที่ (ค-2)

$$\begin{bmatrix} 1 & 2 & 0 & 4 \\ 2 & 3 & 0 & 1 \\ 0 & 0 & 1 & 0 \\ 4 & 1 & 0 & 3 \end{bmatrix} \begin{bmatrix} x_1 \\ x_2 \\ x_3 \\ x_4 \end{bmatrix} = \begin{bmatrix} 10 - 3(100) \\ 20 - 4(100) \\ 100 \\ 40 - 2(100) \end{bmatrix} \quad (\text{ค-2})$$

ถ้าระบบที่พิจารณาไม่มีการกำหนดค่าเงื่อนไขขอบเขตทั้งหมด n โนด จะต้องดำเนินการตามขั้นตอน ข้างต้นทั้งหมด n ครั้ง ถึงจะสามารถนำเมทริกซ์ของระบบสมการรวมไปแก้สมการหาผลเฉลยได้

ภาคผนวก ค

การเผยแพร่ผลงานในขณะศึกษา

การเผยแพร่ผลงานในขณะศึกษา

รายชื่อบทความวิจัยที่ได้รับการตีพิมพ์ในการประชุมวิชาการนานาชาติ

1. R. Boonwutiwiwat, T. Kulworawanichpong, and P. Pao-la-or. (2007). **Electric Field Estimation around an Overhead Power Transmission Line using Neural Network Model.** The 7th WSEAS International Conference on Systems. Crete island, Agios, Greece.: 97-102.
2. R. Boonwutiwiwat, T. Kulworawanichpong, and P. Pao-la-or. (2007). **Electric Field Estimation around an Overhead Power Transmission Line using Neural Network Model.** The 24th IASTED International Conference on Applied Simulation and Modelling. Palma de Mallorca, Spain.
3. R. Boonwutiwiwat, T. Kulworawanichpong, and P. Pao-la-or. (2007). **Electric Field Distribution Resulting from a Mobile-Phone-Human Interfacing With an Overhead Power Transmission Line.** The 11th WSEAS International Conference on Systems. Beijing, China.: 300-303.

รายชื่อบทความวิจัยที่ได้รับการตีพิมพ์ในการประชุมวิชาการภายในประเทศ

1. รัฐธรงค์ บุญวุฒิวิวัฒน์ ชนดชัย กุลวรรณิชพงษ์ และ เพ็ชร์ เพ่าละอ. (2550). ผลการจำลองเชิงตัวเลขของการกระจายสนามไฟฟ้าจากการใช้งานโทรศัพท์มือถือของมนุษย์. การประชุมวิชาการทางวิศวกรรมไฟฟ้า ครั้งที่ 30 (EECON30) ณ โรงแรมเฟลิกซ์เรสอร์ท จังหวัดกาญจนบุรี วันที่ 25-26 ตุลาคม: 273-276.

ประวัติผู้เขียน

นายรัฐธงค์ บุญฤทธิ์วิวัฒน์ เกิดเมื่อวันที่ 7 มิถุนายน พ.ศ.2525 เกิดที่อำเภอเมือง จังหวัด พิจิตร สำเร็จการศึกษาระดับมัธยมศึกษาตอนปลายจากโรงเรียนพิจิตรพิทยาคม เมื่อ พ.ศ. 2544 ภายหลังได้เข้าศึกษาต่อระดับปริญญาตรีวิศวกรรมศาสตรบัณฑิต (วิศวกรรมไฟฟ้า) จาก มหาวิทยาลัยเทคโนโลยีสุรนารี จังหวัดนครราชสีมา และสำเร็จการศึกษาระดับปริญญาตรีวิศวกรรมศาสตรบัณฑิต (วิศวกรรมไฟฟ้า) จากมหาวิทยาลัยเทคโนโลยีสุรนารี จังหวัดนครราชสีมา เมื่อ พ.ศ.2548 ภายหลังสำเร็จการศึกษาได้เข้าศึกษาต่อระดับบัณฑิตศึกษาหลักสูตรวิศวกรรมศาสตรมหาบัณฑิต สาขาวิชาวิศวกรรมไฟฟ้า 从 มหาวิทยาลัยเทคโนโลยีสุรนารี ภายในปีเดียวกัน โดยได้เป็นผู้ช่วยสอนปฏิบัติการของสาขาวิชาวิศวกรรมไฟฟ้า สำนักวิศวกรรมศาสตร์ มหาวิทยาลัยเทคโนโลยีสุรนารีจำนวน 4 รายวิชา ได้แก่ (1) ปฏิบัติการวิศวกรรมไฟฟ้ามูลฐาน (2) ปฏิบัติการวิศวกรรมไฟฟ้า 1 (3) ปฏิบัติการระบบไฟฟ้ากำลัง 2 และ (4) ปฏิบัติการระบบควบคุม ทั้งนี้มีความสนใจในด้านการวิเคราะห์ระบบไฟฟ้ากำลัง และการประยุกต์ใช้ระบบวิชีไฟฟ้าในท่อเหล็กและระบบไฟฟ้ากำลัง และระบบวิชีไฟฟ้าในอุตสาหกรรมที่ในงานระบบไฟฟ้ากำลัง

ผลงานวิชาการที่ได้รับการตีพิมพ์ในหนังสือ:

- ผลการจำลองเชิงตัวเลขของการกระจายสนามไฟฟ้าจากการใช้งานโทรศัพท์มือถือของมนุษย์.
- Electric Field Distribution Resulting from a Mobile-Phone-Human Interfacing With an Overhead Power Transmission Line.
- Electric Field Estimation around an Overhead Power Transmission Line using Neural Network Model.